

Azərbaycanda Buğda Genotiplərində Gövdə Pasının TKTTF Ras Qrupuna Effektiv Davamlı *Sr11*, *Sr26* və *Sr31* Genlərinin İdentifikasiyası

S.M. Rüstəmov, A.T. Hacıyeva, Ş.F. Sadıqov, Ə.Ç. Məmmədov, İ.M. Hüseynova*

AMEA Molekulyar Biologiya və Biotexnologiyalar İnstitutu, Mətbuat prospekti, 2A, Bakı AZ1073, Azərbaycan; *E-mail: i_guseynova@mail.ru

İlk dəfə olaraq KASP (Kompetitive Allele Specific PCR) genotipləşdirmə texnologiyası tətbiq olunmaqla buğdanın rüseyim plazması yoxlanılmış və gövdə pasının Azərbaycanda yayılan TKTTF ras qrupuna effektiv davamlı gen mənbələri xarakterizə edilmişdir. Diallel tipli KASP_6BL_BS0074288_51 praymeri ilə aparılan Real zamanda gedən PZR (RT-PZR) analizləri nəticəsində 34 buğda genotipindən 9-nun, KASp_6BL_Tdurum contig55744_822 praymeri ilə 10 genotipdən 7-nin 6B xromosomunda *Sr11* geni identifikasiya edilmişdir. Dominant STS marker *Sr26#43* ilə aparılan PZR nəticəsində 42 buğda genotipindən 11-də *Sr26* geni üçün diaqnostik amplikon hesab olunan 207 bp uzunluğunda fraqment sintez olunmuşdur. 42 buğda genotipinin 1BL.1RS translokasiyasında yerləşən *Lr26-Sr31-Yr9* lokusun spesifik İag95 praymeri ilə analizi zamanı 8 genotipdə *Sr31* geni üçün xarakterik 1100 bp uzunluğunda DNT fraqmentin sintezi müəyyən edilmişdir.

Açar sözlər: Buğda, *Puccinia graminis* f. sp. *tritici*, *Sr11*, *Sr26*, *Sr31*, KASP-genotipləşdirmə, RT-PZR

GİRİŞ

Dənli bitkilərin pas xəstəlikləri dünyanın bir çox ölkələrində olduğu kimi, Azərbaycanda da kifayət dərəcədə təhlükəli xəstəlik hesab olunur. Bunlardan biri də *Puccinia graminis* Pers. f. sp. *tritici* tərəfindən törədilən gövdə pası xəstəliyidir. Gövdə pası əkinlərə dağıdıcı təsir göstərən ən təhlükəli xəstəlik hesab olunur (Singh et al., 2008; Yu et al., 2017). İlk dəfə gövdə pası xəstəliyi Azərbaycanda 1927-ci ildə müşahidə edilmiş və 1975-ci ilə qədər geniş yayılmışdır. 1979-cu ildən uzun müddət ərzində bu xəstəliyin depressiyaya uğramasına baxmayaraq, 2013-cü ildə yenidən İCARDA-dan introduksiya edilmiş 11thRWKLDN-CWAC-12 yumşaq buğda sortunda vegetasiyanın sonunda 20-30S səviyyəsində gövdə pası müşahidə edilmişdir. 2014-2015-ci illərdə isə artıq Azərbaycanın müxtəlif bölgələrində, o cümlədən Gəncə-Qazax bölgəsinin Samux rayonu ərazisində, Tərtər Bölgə Təcrübə Stansiyasında, İsmayıl rayonunda və Abşeron ərazisində becərilmiş buğda və bəzən də yulaf bitkilərində aşağı (10-20S) və yuxarı (50S) səviyyədə gövdə pasının yayıldığı müəyyən edilmişdir. Hal-hazırda dünyada buğda məhsulunu həttə 90-100% məhv edən gövdə pasının yeni "Ug99" rəs yayılmağa başlamışdır (Beard et al., 2006; Yu et al., 2014). Ug99 ras qrupunun fəal olduğu sahələrdə aparılan test işlərində beynəlxalq buğda genetik materialının 80-90%-nin bu rasa qarşı həssas olduğu bildirilir. Gövdə pasının Ug99 rəsı Yaxın Şərq ölkələrində geniş yayılmış və Mərkəzi Asiya ölkərinə də miqrasiya edir (Bara-nova et al., 2015). İran İslam Respublikasının Azərbaycanla

400-500 km məsafəlik ərazisində də bu təhlükəli rasaya rast gəlinmişdir. Buna görə də respublikamızda təsadüf olunan gövdə pası nümunələrinin ras tərkibini molekulyar səviyyədə müəyyənləşdirmək məqsədilə AMEA Molekulyar Biologiya və Biotexnologiyalar İnstitutu ilə ABŞ Kənd Təsərrüfatı Departamenti Bitki xəstəlikləri laboratoriyası ilə birgə tədqiqatlar aparmışdır. 2014-2015-ci illərdə Azərbaycanın müxtəlif regionlarından toplanmış buğda genotiplərini yoluxdurmuş gövdə pası *Puccinia graminis* f. sp. *tritici* (Pgt) izolyatlarının molekulyar diaqnostikası və genotipləşdirilməsi məqsədi ilə ikimərhələli skrining aparılmışdır. İlk olaraq Ug99 ras qrupunu aşkar etmək üçün qPZR-analiz həyata keçirilmiş və mənfəi nəticə alınmışdır. İkinci mərhələdə yüksək keçirici SNP (*Single nucleotide polymorphism*) genotipləşdirmə metodu ilə yerli Ptg populyasiyasında 17 Multi-lokus üzrə genotipləşdirmə (MLGs) səviyyəsində genetik müxtəliflik aşkar edilmiş, bunların 18,5%-nin TKTTF ras qrupuna, yerdə qalan nümunələrin elm üçün yeni olan fərqli ras qrupuna aid olduğu müəyyənləşdirilmişdir (Hüseynova et al., 2015).

Gövdə pası obliqat parazit olub təbiətdə böyüməsi və çoxalması üçün sahib bitki toxumasına ehtiyacı var. *Puccinia graminis tritici* patogeninin inkişafı iki sahib bitkidə, zirinc və taxıl bitkilərində gedir. O, 5 fərqli spor mərhələsi ilə tamamlanan heterozis tipli pas göbələyidir, sahib bitkiyə qeyri-cinsi çoxalma mərhələsi müddətində yoluxur (Leonard and Szabo, 2005; Olivera et al., 2015). Gövdə pasına yoluxmuş bitki yarpaqlarında fotosintezin intensivliyinin sağlam yarpaqlara nisbətən 30% azaldığı bildirilir. Gövdə pasına yoluxmuş taxılların gövdə

və yarpaqlarında çoxlu sayda uredium yataqları formalaşır. Qırmızı-qəhvəyi rəngli urediniosporlar gövdə və yarpağın hər iki səthində ləkələr şəklində meydana gəlir. Göbələk pustulaları gövdənin epidermisini dağıtdığı üçün ilkin olaraq transpirasiya prosesi zəifləyir və bu bitkinin ümumi metabolizminə mənfi təsir göstərir. Həmçinin, bitkinin vaskulyar sistemi zədələnir. Vaxt keçdikcə bir-birinə yaxın yerləşən ləkələr bir-birilə birləşir və fotosintez sahəsini azaldaraq, məhsuldarlığın aşağı düşməsinə səbəb olur. Eyni zamanda göbələyin mitseliləri sahib bitkinin hüceyrəarası məsamələrinə daxil olur və haustorilərlə bitki toxumasının inkişafını təmin edən əsas qida maddələrini sorur və bitkinin zəifləməsinə səbəb olur (Schumann et al., 2011; Singh et al., 2002).

Dünyanın müxtəlif ölkələrində buğda sortlarında pas xəstəliklərinə davamlı genlərinin identifikasiyasına və onların müxtəlif coğrafi regionlarda effektivliyinin tədqiqinə dair çoxlu miqdarda tədqiqat işləri aparılır. Genetik davamlılıq gövdə pasının idarə olunmasında istifadə olunan ən effektiv üsullardan biridir. *Komugi Wheat Genetics Resource Database* verilənlər bazasında 69 gövdə pasına qarşı davamlılıq geni (o cümlədən, 45 identifikasiya olunmuş *Sr* geni və 24-müvəqqəti təyinatlı genlər) qeydiyyatdan keçirilmişdir. Davamlı buğdanın yaradılmasında maksimum effektiv nail olmaq üçün davamlılıq genlərinin düzgün kombinasiyalarından istifadə etmək vacibdir (Nirmala et al., 2016).

Tədqiqat işinin əsas məqsədi gövdə pasının Azərbaycanda yayılan TKTTF ras qrupuna effektiv davamlılıq *Sr11*, *Sr26* və *Sr31* genlərinin identifikasiya edilməsidir.

MATERIAL VƏ METODLAR

Tədqiqat obyektini kimi Əkinçilik Elmi-Tədqiqat İnstitutunun buğda genofondunda saxlanılan, xəstəliklərə davamlılığına, məhsuldarlığına və digər fizioloji əlamətlərinə görə fərqlənən bərk və yumşaq buğda genotiplərindən istifadə edilmişdir.

DNT-nin ekstraksiyası. Bitki nümunələrindən CTAB metodu ilə (Murry and Thompson, 1980) nüvə DNT-si ayrılmışdır. Təzə yarpaqlar götürülərək maye azot vasitəsilə toz halına salınmış və su hamamında 60°C-yə qədər qızdırılmış CTAB ekstraksiya buferində (100 mM Tris-HCl, pH 8,0; 20 mM EDTA, pH 8,0; 1,4 mM NaCl; 40 mM β-merkaptotanol) lizis edilmişdir. Ekstraksiya olunan DNT nümunələri TE (10 mM Tris-HCl, pH 8; 1 mM EDTA) buferində saxlanılmışdır.

DNT-nin təmizlik dərəcəsinin və optik sıxlığının təyini. Spektrofotometrik yolla ayrılmış DNT nümunələrinin təmizlik dərəcəsi yoxlanılmışdır (ULTROSPEC 3300 PRO ("AMERSHAM", ABŞ)). DNT nümunələrinin optik sıxlığı 260 və 280 nm dalğa uzunluğunda təyin edilmiş və $1,8 \leq [D_{260}/D_{280}] \geq 2$ şərti ödəyən DNT nümunələri növbəti təcrübələr üçün götürülmüşdür.

KASP-genotipləşdirmə. KASP (Kompetitive Allele Specific PCR - rəqəbatlı allel-spesifik PZR) genotipləşmə sistemi homogen, fluorescent genotipləşmə texnologiyasıdır. Tədqiqat zamanı bir nümunə üçün ümumi reaksiyanın həcmi 20 µl (10 µl kDNT-si + 10 µl reaksiya qarışığı) təşkil etmişdir. RT-PZR reaksiyası üçün istifadə edilən DNT nümunələrinin qatılığı 50 ng/µl olmuşdur. Reaksiyanın daha optimal getməsi üçün Kasp Master Miksə final qatılığında 1x 2,5 mM olmaqla MgCl₂ əlavə edilmişdir. Kasp assay miksin tərkibinə iki allel-spesifik və bir ümumi revers praymer daxildir. Universal Kasp Master miks PZR reaksiyası üçün lazım olan bütün komponentlərə malikdir. Kasp Master miksin tərkibinə iki ədəd fluorescent nişanlanmış kasset, Kasp Taq polimeraza fermenti, dNTPs (dATP, dCTP, dGTP və dTTP), reaksiya üçün lazım olan müxtəlif duzlar və reaksiya buferi daxildir. KASP-genotipləşdirmə texnologiyası ilə *Sr11* genini identifikasiya etmək üçün rəqəbatlı allel-spesifik PZR-i aparmağa imkan verən iki müxtəlif KASP markerindən istifadə edilmişdir (cədvəl 1).

Praymer miksin hazırlanması üçün uyğun KASp_6BL_BS00074288_51 A1 praymerindən 6

Cədvəl 1. *Sr11* geninin identifikasiyası üçün istifadə olunan KASP praymerlərin nukleotid ardıcılıqları

N	Praymerlər	Nukleotid ardıcılığı (5' → 3')
Miks #1	KASp_6BL_BS00074288_51 A1	GAAGGTGACCAAGTTCATGCTATGTAAATGTTGA GATACCTTAGCTGAAAT
	KASp_6BL_BS00074288_51 A2	GAAGGTCGGAGTCAACGGATTGTAAATGTTGAGATACCTTA GCTGAAAC
	KASp_6BL_BS00074288_51 C	GGAAAACCGTCATCTCGCGTATGTA
Miks #2	Tdurum_contig55744_822 A1	GAAGGTGACCAAGTTCATGCTAAACTCAAAGCTAAAGGATA AACTAGATGT
	Tdurum_contig55744_822 A2	GAAGGTCGGAGTCAACGGATTCTCAAAGCTAAAGGATAAAC TAGATGG
	Tdurum_contig55744_822 C	CAACTGATCTAAGTTCCTTTGTCAATTCAT

µl, KASp_6BL_BS00074288_51 A2 praymerindən 6 µl, KASp_6BL_BS00074288_51 C praymerindən isə 15 µl götürülmüş və 23 µl Master Mix əlavə edilərək 54 mM qatılığa çatdırılmışdır. Analoji yolla T.durum_contig55744_822 praymeri üçün də miks hazırlanmışdır. Reaksiya yığıldıqdan sonra tərkiblər RT-PZR aparatına (Applied Biosystems 7500/7500 Fast Real-Time PCR System, USA) yerləşdirilmişdir.

RT-PZR analizin aparılması üçün reaksiya şəraiti cədvəl 2-də verilmişdir. İlk olaraq, reaksiya 94°C temperaturda DNT zəncirinin denaturasiyası ilə başlanmışdır. RT-PZR zamanı ampikon kiçik olduğundan, əvvəlki mərhələ ilə kombinə edildiyi üçün elongasiyanın getməsi üçün 60°C temperaturdan istifadə edilmişdir. Sonuncu mərhələdə fluoressen-siyanın oxunması 30°C temperaturda həyata keçirilmişdir.

Cədvəl 2. Rəqabətli allel-spesifik PZR üçün reaksiya şəraiti

Mərhələ	Reaksiya şəraiti	Tsikl sayı
1	30°C, 1"	10
2	94°C, 15 "	
3	94°C, 20 "	
4	61°C, 60 "	26
	94°C, 20 "	
	57°C, 60 "	
5	30°C, 1"	

Sr26 geninin identifikasiyası üçün PZR və gel-elektroforetik analiz. Sr 26 geninin təyini üçün Sr26#43F/Sr26#43R markerindən istifadə edilmişdir (Cədvəl 3). İlk olaraq, markerin DNT üzərinə oturma temperaturunu dəqiqləşdirmək məqsədilə, Multigene Gradient («Labnet», ABS) amplifikatorunda qradientli PZR aparılmışdır.

DNT-nin amplifikasiyası 10x bufer, 20 nq genom DNT, 0,2 mK praymer, hər birindən 200 mK olmaqla: dATP, dCTP, dGTP və dTTP, 2,5 mM MgCl₂ və 0,2 vahid Taq-polimerazadan ibarət 25 mK-lik inkubasiya buferində həyata keçirilmişdir. PZR aşağıdakı şəraitdə getmişdir: 1 tsikl: 94°C-də 4dəq; 10 tsikl: 94°C-də 1 dəq, 36°C -də 1 dəq və 72°C-də 1 dəq; 35 tsikl: 94°C-də 1 dəq, 36,2°C-də 1 dəq, 72°C-də - 1 dəq; Tamamlayıcı elonqasiya tsikli 72°C-də 15 dəq müddətində həya-

ta keçirilmişdir. Reaksiya məhsulları etidium-bromid əlavə edilmiş 1,2%-li aqaroza gəlində elektroforez aparılmaqla ayrılmış və UVITEK Gel Documentation System-in köməkliyi ilə sənədləşdirilmişdir.

Sr31 geninin identifikasiyası üçün PZR və gel-elektroforez analiz. Buğda genotiplərində Sr 31 geninin identifikasiyası məqsədilə iag95F/iag95R markeri tətbiq olunmuşdur. Markerin DNT üzərinə oturma temperaturunu dəqiqləşdirmək məqsədilə qradient PZR qoyulmuşdur. DNT-nin amplifikasiyası 10x bufer, 20 nq genom DNT, 0,2 mK praymer, hər birindən 200 mK olmaqla: dATP, dCTP, dGTP və dTTP, 2,5 mM MgCl₂ və 0,2 vahid Taq-polimerazadan ibarət 30 mK-lik inkubasiya buferində həyata keçirilmişdir. PZR aşağıdakı şəraitdə getmişdir: tsikl 1: 94°C-də 3dəq; tsikl 30: 30 san 94°C-də, 1 dəq 51,5°C -də və 70 san 72°C-də; Tamamlayıcı elonqasiya tsikli 72°C-də 10 dəq müddətində həyata keçirilmişdir. Reaksiya məhsulları etidium-bromid əlavə edilmiş 1%-li aqaroza gəlində elektroforez aparılmaqla ayrılmış və UVITEK Gel Documentation System-in köməkliyi ilə sənədləşdirilmişdir.

NƏTİCƏLƏR VƏ ONLARIN MÜZAKİRƏSİ

Puccinia graminis f. sp. tritici tərəfindən törədilən buğdanın gövdə pası xəstəliyi ciddi məhsul itkisinə səbəb olur. Genetik davamlılıqdan istifadə edilərək gövdə pasının idarə edilə bilməsinə baxmayaraq, *Puccinia graminis f. sp. tritici*-nin dinamik populyasiyası tez-tez buğdanın gövdə pasına davamlılıq genlərini üstələyir. Genetik baxımdan yeni davamlılıq genlərinin axtarışı, eyni zamanda ras-spesifik və qeyri-spesifik davamlılığı özündə cəmləşdirən sortların yaradılması bu xəstəliyə qarşı uzunmüddətli və effektiv davamlılığı təmin edir. Buna görə də davamlı sortların yaradılması üçün, daimi davamlılığın yeni donorlarının, başqa sözlə, hələlik seleksiyada istifadə olunmayan genlərlə müdafiə olunan, çarpazlaşdırma zamanı əlaməti asanlıqla verə bilən yüksək davamlı nümunələrin axtarılması tələb olunur.

Cədvəl 3. Buğdada gövdə pasına davamlılıq genlərinin identifikasiyası üçün istifadə olunmuş molekulyar markerlər haqqında məlumat

Praymerlər	Genlər	Nukleotid ardıcılığı (5'→3')	Xromo-somda lokalizasiyası	Gözlənilən fraqment (bp)	Ann. temp. (°C)
iag95F iag95R	Sr31	CTC TGT GGA TAG TTA CTT GAT CGA CCT AGA ACA TGC ATG GCT GTT ACA	1B	1100	51,5
Sr26#43F Sr26#43R	Sr26	AAT CGT CCA CAT TGG CTT CT CGC AAC AAA ATC ATG CAC TA	6A	207(250)	56,3

KASP-genotipləşdirmə texnologiyası ilə *Sr11* geninin molekulyar identifikasiyası. KASP (*Competitive Allele Specific PCR* – rəqabətli allel-spesifik PZR) genotipləşdirmə texnologiyası tətbiq olunmaqla, buğda genotiplərinin rüşeym plazması *Sr11* geninə görə skrining edilmişdir. Xromosom lokalizasiyası haqqında məlumatların mövcudluğuna baxmayaraq, buğda seleksiyası proqramlarında *Sr11* geninin seçilməsi üçün diaqnostik markerlər, demək olar ki, mövcud deyildi. 2016-cı ildə ABŞ Kənd Təsərrüfatı Departamenti Bitki xəstəlikləri laboratoriyasının əməkdaşları tərəfindən buğda genomunda *Sr11* genini identifikasiya etməyə imkan verən KASP markerləri işlənib hazırlanmışdır. Azərbaycanca ilk dəfə olaraq, bu texnologiyadan istifadə etməklə, tək nukleotid polimorfizminə əsaslanan (SNP) qPZR metodu tətbiq edilməklə, buğda genotiplərinin genomları *Sr11* geninə görə yoxlanılmışdır.

Diallel tipli *KASp_6BL_Tdurum contig55744_822* molekulyar markeri ilə aparılan Real zamanda gedən PZR nəticəsində analiz olunan 34 buğda genotipindən 9-nun (Səba, Mirvari, Xəzri, Pirşahin, Əlincə 84, Qaraqılçiq-2, Fərəhim, Farandole, Tigre) 6B xromosomunda *Sr11* geninin mövcudluğu aşkar olunmuşdur. İstifadə etdiyimiz markerlər rəqabətli allel-spesifik markerlər olduğundan, onlar genin hər iki allelini identifikasiya etməyə imkan verir. Cədvəl 4-də *KASp_6BL_Tdurum contig55744_822* markeri ilə aparılan qPZR-in nəticələri verilmişdir. Cədvəldən göründüyü kimi, bu marker tədqiq etdiyimiz genotiplərdə *Sr11* geninin yalnız bir allelini identifikasiya etmişdir. Bu onu göstərir ki, həmin genotiplər *Sr11* geninə görə heterozigotdur.

Tədqiqat zamanı istifadə olunan ikinci diallel tipli *KASP_6BL_BS0074288_51* markeri ilə aparılan qPZR-in nəticələri Cədvəl 5-də göstərilmişdir. Yoxlanılmış 10 genotipdən 7-də *Sr11* geninə görə müsbət nəticə əldə edilmişdir. Bunlar Mirbəşir-50, Qiymətli-2/17, Saratovskaya-29, Kollektivnaya-77, Farandole, Tigre, Tale-38 genotipləridir. *KASP_6BL_BS0074288_51* markeri də rəqabətli allel-spesifik marker olduğundan *Sr11* geninin hər iki allelini analiz etmək imkanı yaranır. Belə ki, Mirbəşir-50, Qiymətli-2/17, Saratovskaya-29 genotiplərində *Sr11* geninin bir allelini, Kollektivnaya-77, Farandole, Tigre, Tale-38 genotiplərində isə ikinci allelini təyin etmək mümkün olmuşdur. Başqa sözlə, *Sr11* geni bu genotiplərdə heterozigot haldadır. Bu markerlə aparılan qPZR nəticəsində 3 genotipdə (Dağdaş, Nurlu-99, Qırmızı buğda) müsbət nəticə əldə edilmişdir.

Sr11 geni buğda genomunun 6B xromosomunda, sentromerə yaxın olan inhibitor B2 genindən 60 santimorgan (cM) məsafədə yerləşir. *Sr11* geninin qonur yarpaq pasına davamlılıq geni *Lr3* ilə

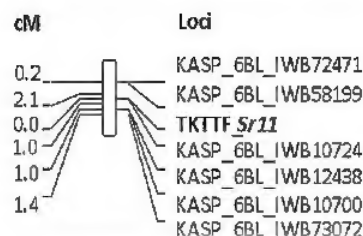
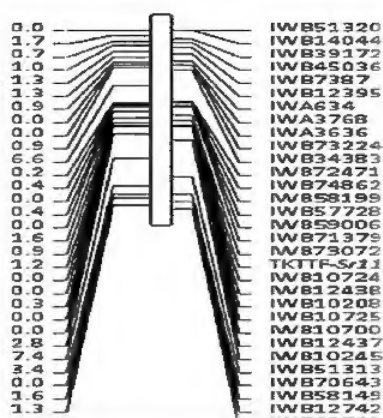
ilişikli olduğu göstərilmişdir (Sears, 1966). Bajgain və həmmüəllifləri tərəfindən göstərilmişdir ki, gövdə pasının TKTF ras qrupuna qarşı davamlılıq xromosomun 6 BL qolunda (Şəkil 1), SNP markerləri olan *IWB73072* (proksimal) və *IWB10724* (distal) arasında yerləşir.

Cədvəl 4. *Sr11* geni ilə assosiasiya təşkil edən diallel tipli *KASP_6BL_Tdurum contig 55744_822* markeri ilə aparılan qPZR-in nəticələri

N	Genotiplər	<i>Sr11</i> geni	
		Allel 1	Allel 2
1	Səba	+	-
2	Əlincə-84	+	-
3	Turan	-	-
4	Gilavar	-	-
5	Mirvari	+	-
6	Qaraqılçiq-2	+	-
7	Pərvin	-	-
8	Xəzri	+	-
9	Ləyaqətli-80	-	-
10	Fərəhim	+	-
11	Altun-2	-	-
12	Dağdaş	-	-
13	Əkinçi-84	-	-
14	Beltaqo	-	-
15	Pirşahin	+	-
16	Bərəkətli-95	-	-
17	Vüqar	-	-
18	Tərtər	-	-
19	Yaqut	-	-
20	Ruzi-84	-	-
21	Günəşli	-	-
22	Farandole	+	-
23	Qarabağ	-	-
24	Yeganə	-	-
25	Bəyaz	-	-
26	Mirbəşir-50	-	-
27	Qiymətli- 2/17	-	-
28	Saratovskaya- 29	-	-
29	Kollektivnaya- 77	-	-
30	Dağdaş	-	-
31	Nurlu 99	-	-
32	Qırmızı buğda	-	-
33	Tigre	+	-
34	Tale 38	-	-

Cədvəl 5. *Sr11* geni ilə assosiasiya təşkil edən diallel tipli *KASP_6BL_BS0074288_51* markeri ilə aparılan qPZR-in nəticələri

N	Genotiplər	<i>Sr11</i> geni	
		Allel 1	Allel 2
1	Mirbəşir-50	+	-
2	Kollektivnaya-77	-	+
3	Saratovskaya-29	+	-
4	Qiymətli-2/17	+	-
5	Şəfəq	-	+
6	Tigre	-	-
7	Şirvan	-	-
8	Tale- 38	-	+
9	Nurlu-99	-	-
10	Farandole	-	+



Şəkil 1. Buğdanın B genomunun 6-cı xromosomunda *Sr11* geninin lokalizasiyası (solda). 6BL xromosomunda *Sr11* geninin genetik əlaqə xəritəsi (sağda) (Olivera et al. 2015).

Bu iki marker *Sr11* ilə uyğun olaraq 0,7 və 0,3 məsafəsində lokalizasiya olunmuşdur (Bajgain et al., 2015). *Puccinia graminis* f. sp. *tritici*-nin TKTF ras qrupu 2013 və 2014-cü illərdə Efiopiyada Ug-99-a davamlı “*Digalu*”-da epidemiyaya səbəb olmuşdur (Olivera et al., 2015). *Sr11* geninin TKTF rasına qarşı davamlılığı “*Gabo 56*” genotipində sübut edilmişdir. Nirmala və həmmüəlliflər “*Gabo 56*” və “*Chinese Spring*” buğdaları ilə aparılmış təcrübədə *Sr11* ilə ilişikli 7 tək nukleotid polimorfizm markerlərini aşkar ediblər. “Berkut”/“*Scalavatis*” populyasiyasında *Sr11* üçün ayrılmış 5 SNP marker rəqabətli allel-spesifik polimeraz zəncir reaksiya (KASP) ilə təstiqlənmişdir (Nirmala et al., 2016).

Buğdanın rüşeym plazmasında *Sr26* geninin dominant STS markerlə təyini. Buğda genofonunda saxlanılan genotiplərin rüşeym plazması *Sr26* geninə görə yoxlanılmışdır. Bu məqsədlə buğdanın 6A xromosomunda *Sr26* genini identifikasiya etməyə imkan verən dominant *Sr26#43F/R* STS marker istifadə edilmişdir. Bu praymer *Sr26* geninə məlik olan genotiplərdə 207 bp ölçüsündə diagnostik ampikonun sintezinə cavabdehdir.

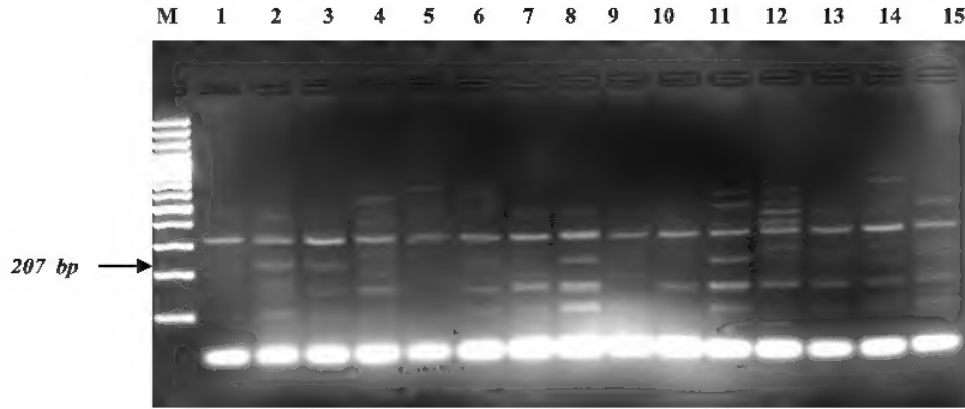
Tədqiqat zamanı 42 buğda genotipinin nüvə DNT-si ilə STS-PZR aparılmışdır. Amplifikasiya məhsullarının gel-elektroforez profilləri Şəkil 2-də göstərilmişdir. Şəkildən aydın olmuşdur ki, Qarabağ, Sarıçanaq-98, Ləyaqətli, Murov-2, Mironovka-808, Mirbəşir-128, Qiymətli-2/17, Əkinçi-84, Mirbəşir-50, 1st WEEERYT4, Günəşli buğda genotiplərində 207 n.c. uzunluğunda fraqmentlər amplifikasiya olunur. Bu fraqmentin *Sr26* üçün diaqnostik fraqment olduğunu nəzərə alaraq, belə bir nəticəyə gələ bilərik ki, yuxarıda adı çəkilən 11 buğda genotipinin 6A xromosomlarında *Sr26* geninin uyğun alleli mövcuddur. Tədqiq olunan genotiplərdən 31-də fraqment sintezi müşahidə olunmamışdır (Cədvəl 6).

Cədvəl 6. *Sr26* geni üçün spesifik dominant STS marker *Sr26#43* ilə aparılan PZR-in nəticələri

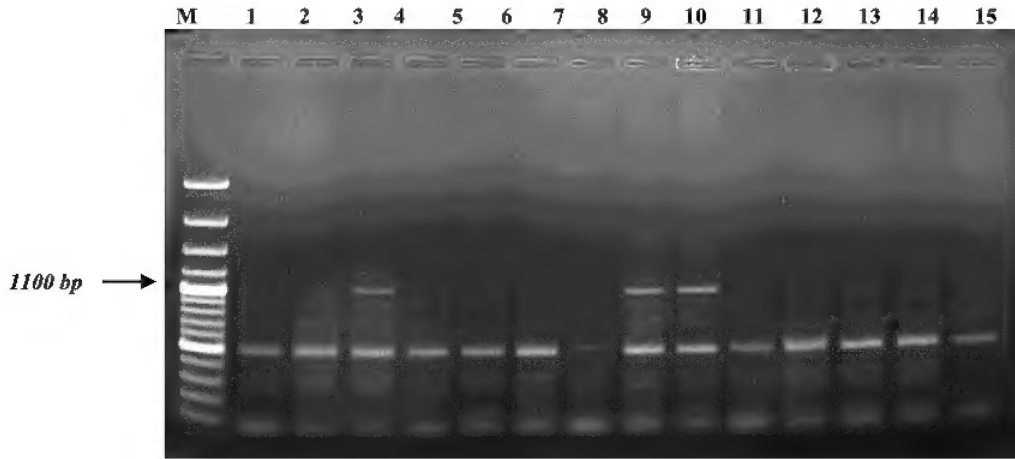
Nö	Genotiplər	207 bp	Nö	Genotiplər	207 bp
1	Bərəkatli-95	—	22	Qızıl buğda	—
2	Qarabağ	+	23	Zirvə	—
3	Sarıçanaq	+	24	Aran	—
4	Törtər	—	25	Azəri	—
5	Şarq	—	26	Fərəhim	—
6	Mironovka	+	27	Mirbəşir-50	+
7	Saratovskaya-29	—	28	Farandole	—
8	Ləyaqətli	+	29	Tigre	—
9	Dağdaş	—	30	Qaraqılıq-2	—
10	Mirbəşir-128	+	31	Şiraslan-23	—
11	Murov	+	32	Renon	—
12	Qırmızıgül	—	33	Fransa	—
13	Əlinca	—	34	Vüqar	—
14	Nurlu-99	—	35	1st WEEERYT4	+
15	Qiymətli-2/17	+	36	11thFAWWONN22	—
16	Əkinçi	+	37	A2	—
17	Əzəmətli-95	—	38	12thFAWWONN97	—
18	Tale-38	—	39	4th FEFWSN N50	—
19	Ruzi	—	40	Günəşli	+
20	Pirşahin-1	—	41	Pərzivan-2	—
21	Qırmızı buğda	—	42	Fatima	—

Sr26#43 dominant STS markeri *Sr26* genini identifikasiya etmək üçün işlənib hazırlanmışdır (Mago et al. 2002) və bu markerdən marker asılı seleksiya proqramlarında (marker-assisted selection - MAS) istifadə olunur (Bariana et al. 2007).

2007-ci ildə Keniyada *Sr26* geninə virulent TTTSK rası aşkar edilmişdir. Ədəbiyyat məlumatlarında göstərilir ki, *Sr26* və *Sr25* davamlılıq genləri TTTSK və TTTSK ras qruplarına qarşı effektivdir. Bu genlər TTTSK və TTTSK rasları daxil olan TTKS qrupuna qarşı mübarizədə istifadə edilən bir neçə əsas genlər sırasındadır (Singh et al., 2006; Jin et al., 2007). Hər iki gen *Thinopyrum* (Th) *ponticum* (Podp.)-dan buğdaya köçürülmüşdür. *Sr26* daşıyan seqment 6A buğda xromosomu-



Şəkil 2. *Sr26* geni üçün *Sr26#43* dominant STS praymeri ilə əldə edilmiş PZR məhsullarının 1,2%-li aqaroza gelində analizinin profilləri. Ox işarəsi 207 n.c.uzunluğunda DNT fraqmentini göstərir. M–DNT markeri-100 bp. 1–Bərəkətli-95, 2–Qarabağ, 3–Sarıcanaq 98, 4 – Tərtər, 5 – Şərq, 6 – Miranovka 808, 7 – Saratovskaya-29, 8–Ləyaqətli, 9–Dağdaş, 10 - Mirbəşir 128, 11 - Murov 2, 12 – Qırmızı gül-1, 14 – Nurlu 99, 15 – Qiymətli-2/17.



Şəkil 4. Buğdanın IBL.1RS translokasiyasında *Sr31* geni üçün spesifik iag95 praymerinin tətbiqi ilə əldə edilmiş PZR məhsullarının 1%-li aqaroza gelində analizinin profilləri. Ox işarəsi 1100 bp uzunluğunda DNT fraqmentini göstərir. M – DNT markeri -100 bp. 1 – Bərəkətli-95, 2 - Qarabağ, 3 – Sarıcanaq-98, 4 – Tərtər, 5 – Şərq, 6 – Miranovka- 808, 7 – Saratovskaya-29, 8 – Ləyaqətli, 9 – Dağdaş, 10 - Mirbəşir-128, 11 – Murov-2, 12 – Qırmızı gül-1, 13–Əlinc-84, 14 –Nurlu- 99, 15 – Qiymətli-2/17.

nun uzun qoluna köçürülmüşdür (Şəkil 3) və Avstraliyada davamlılıq mənbəyi kimi istifadə edilir (Friebe et al., 1994). Buğdaya bu genin köçürülməsi nəticəsində qısaldılmış yad seqment ilə yeni xətt inkişaf etdirilmiş və bu zaman məhsul itkisi baş verməmişdir.

Əldə olunmuş PZR profillərindən görünür ki, axtarılan 207 bp uzunluqda olan fraqmentdən əlavə müxtəlif ölçülü digər fraqmentlər də sintez olunmuşdur. İstifadə edilən buğda genotiplərinin əksəriyyətində 303 bp ölçüsündə DNT fraqmentləri aydın görünür. Bu fraqmentlərin izahını vermək üçün ko-dominant markerlərdən istifadə edilməsi məqsəduyğun sayılır. Homoziqotları heteroziqotlardan ayırmaq üçün ko-dominant markerlərə ehtiyac du-

yulduğundan *Sr26* geni üçün ko-dominant markerlər test edilmişdir. Həmçinin, 6AL xromosomuna spesifik 5 markerin heç biri *Eagle* buğdasının PZR məhsulunda amplifikasiya olunmamışdır. *Sr26* geninin heteroziqot və homoziqot olmasını fərqləndirmək üçün 6AL-spesifik BE518379 və SR26 markerləri *Sr26#43* markeri ilə birlikdə multipleks halda istifadə olunmaqla PZR aparılmışdır. 6AL-spesifik markeri BE518379 sürətli işləmiş və 303 bp uzunluğundakı allel *Sr26#43* markeri tərəfindən amplifikasiya olunmuş 207 n.c.uzunluğundakı fraqmentlərdən aqaroza gelində aydın ayrılmışdır. Əlavə buğda xətlərini genotipləşdirmək üçün BE518379 və *Sr26#43* praymerləri bərabər miqdarda kombinə edilmişdir.

Cədvəl 7. *Sr31* geni üçün spesifik *lag95* praymeri ilə aparılan PZR-in nəticələri.

Nö	Genotiplər	1100 bp	Nö	Genotiplər	1100 bp
1	Bərəkətli-95	--	22	Qızıl	--
2	Qarabağ	--	23	Zirvə- 85,	+
3	Sarıcanaq- 98	--	24	Aran	+
4	Tərtər	--	25	Azəri	--
5	Şərq	--	26	Fərəhim	--
6	Mirnovka- 808	--	27	Mirbaşır- 50	--
7	Saratovskaya- 29	+	28	Farandole	--
8	Ləyaqətli	--	29	Tigre	--
9	Dağdaş	--	30	Qaraqılçiq-2	--
10	Mirbaşır- 128	--	31	Şiraslan- 23	--
11	Murov	--	32	Renon	--
12	Qırmızı gül- 1	+	33	Fransa	--
13	Əlinca- 84	--	34	Vüqar	--
14	Nurlu- 99	+	35	1st WVEERYT4	--
15	Qiyətli- 2/17	--	36	11thFAWWONN22	--
16	Əkinçi - 84	--	37	A2	--
17	Əzəmətli- 95	--	38	12thFAWWONN97	+
18	Tale- 38	+	39	4th FEFWSN N50	--
19	Ruzi- 84	--	40	Günəşli	+
20	Pirşahin- 1	--	41	Pərzivan- 2	--
21	Qırmızı buğda	--	42	Fatima	--

Buğdanın 1BL.1RS translokasiyasında *Sr31* geninin spesifik *lag95* praymeri ilə identifikasiyası. Buğda genotiplərində 1BL.1RS translokasiyasında yerləşən Lr26-Sr31-Yr9 lokusu spesifik *lag95* praymeri ilə yoxlanılmışdır. Aparılan PZR nəticələrinin gel-elektroforetik profilləri şəkil 4-də göstərilmişdir. *lag95* praymeri 1100 bp ölçüsündə ampikonun sintezi üçün cavabdehdir. Şəkildən göründüyü kimi, 8 buğda genotipində gözlənilən fraqmentlər amplifikasiya olunmuşdur. Bu nəticə onu göstərir ki, Saratovskaya-29, Qırmızı gül-1, Nurlu-99, Tale-38, Zirvə-85, Aran, 12th FAWWON N97, Günəşli genotiplərinin genomlarında 1BL.1RS translokasiyasında *Sr31* geni mövcuddur. Digər 24 buğda genotipində isə *Sr31* geni aşkar olunmamışdır (Cədvəl 7).

Son zamanlar inkişaf etdirilmiş Sec-1 lokusu-nu daşımayan, 1RS-i daşıyan buğda-çovdar rekombinant xətləri çovdardan gövdə pası davamlılığını keyfiyyət itkisi olmadan köçürməyə imkan verir (Lukaszewski, 2000). Gövdə pasına qarşı davamlılıq geni daşıyan çovdar seqmenti üçün PZR əsaslı markerlərin dizayn etdirilməsi bu genlərin köçürülməsinə imkan yaradacaqdır. Bu artıq gövdə pasına davamlılıq geni daşıyan xətlərə çovdar seqmentinin köçürülməsi zamanı da vacibdir. *lag95* praymeri 1RS xromosomunda lokalizasiya olunan *Sr31* geninin 1100 bp uzunluğunda DNT fraqmentlərinin amplifikasiyası üçün dizayn olunmuşdur. *Sr31* gövdə pası davamlılıq geni çovdar bitkisinin 1-ci xromosomunun qısa qolunda yerləşir. Bu gen Avstraliyada gövdə pası patogeninə qarşı effektiv şəkildə istifadə olunur. *Sr31* üçün hazırlanan 1BL.1RS (Pavon wheat/Petkus rye) və ya 1DL.1RS (Gabo

wheat/Imperial rye) markerləri translokasiya xromosomu olan buğda genotiplərinin ilkin identifikasiyası üçün istifadə edilmişdir. Daha sonra bu markerlər 1RS qolunun sadəcə bir hissəsini daşıyan buğda-çovdar rekombinant xətlərində olan xüsusi seqmentlər üçün spesifik olaraq hazırlanmışdır.

Beləliklə, müasir molekulyar-bioloji metod və texnologiyalar tətbiq olunmaqla buğda genotiplərində *Puccinia graminis* Pers. f. sp. *tritici* patogenə qarşı effektiv davamlı *Sr* genlərini identifikasiya etməklə, yerli sortların genetik cəhətdən davamlılıq potensialını qiymətləndirmək mümkündür. Alınan nəticələr gələcəkdə müxtəlif seleksiya proqramlarında istifadə oluna bilər.

ƏDƏBİYYAT

- Bajgain P., Rouse M.N., Bulli P. et al. (2015) Association mapping of North American spring wheat breeding germplasm reveals loci conferring resistance to Ug99 and other African stem rust races. *BMC Plant Biol.*, **15**: 249 (19 p.).
- Baranova O.A., Lapochkina I.F., Anisimova A.V. et al. (2016) Identification of *Sr* genes in new common wheat sources of resistance to stem rust race Ug99 using molecular markers. *Russian Journal of Genetics: Applied Research*, **6**(3): 344-350.
- Beard C., Jayasena K., Thomas G., Loughman R. (2006) Managing stem rust of wheat. *Plant Pathology, Department of Agriculture. Western Australia: Farmnote* 73/2004.
- Friebe B., Jiang J., Knott D.R., Gill B.S. (1994) Compensation indexes of radiation-induced wheat *Agropyron elongatum* translocations conferring resistance to leaf rust and stem rust. *Crop Sci.*, **34**: 400-404.
- Huseynova I.M., Ibrahimov E.R., Rustamova S.M., Hajiyeva A.T., Sadigov Sh.F., Aghayeva D.N., Szabo L.J., Aliyev J.A. (2016) Molecular Study Of Pgt Races In Azerbaijan. *International Conference "Innovative Approaches to Conservation of Biodiversity" dedicated to the 80th Anniversary of the Institute of Botany, Azerbaijan National Academy of Science*, p. 151.
- Jin Y., Singh R.P., Ward R.W., Wanyera R., Kinyua M., Njau P., Pretorius Z.A. (2007) Characterization of seedling infection types and adult plant infection responses of monogenic *Sr* gene lines to race TTKS of *Puccinia graminis* f. sp. *tritici*. *Plant Dis.*, **91**: 1096-1099.
- Leonard K.J., Szabo L.J. (2005). Stem rust of small grains and grasses caused by *Puccinia graminis*. *Molecular plant pathology*, **6**(2): 99-111.
- Lukaszewski A.J. (2000) Manipulation of the 1RS. 1BL translocation in wheat by induced homoeologous recombination. *Crop Sci.*, **40**: 216-225.

- Mago R., Spielmeier W., Lawrence G.J., Lagudah E.S., Ellis J.G., Pryor A.** (2002) Identification and mapping of molecular markers linked to rust resistance genes located on chromosome 1RS of rye using wheat-rye trans-location lines. *Theor. Appl. Genet.*, **104**(8): 1317-1324.
- Murray M.G., Thompson W.F.** (1980). Rapid isolation of high molecular weight plant DNA. *Nucleic acids research*, **8**(19): 4321-4326.
- Nirmala J., Chao S., Olivera P. et al.** (2016) Markers linked to wheat stem rust resistance gene Sr11 effective to *Puccinia graminis* f. sp. *tritici* race TKTTF. *Phytopathology*, **106**(11): 1352-1358.
- Oliveira P., Newcomb M., Szabo L.J. et al.** (2015) Phenotypic and genotypic characterization of race TKTTF of *Puccinia graminis* f. sp. *tritici* that caused a wheat stem rust epidemic in Southern Ethiopia in 2013-2014. *Phytopathology*, **105**(7): 917-928.
- Schumann G.L., Leonard K.J.** (2011) Stem rust of wheat (black rust). *The Plant Health Instructor*.
- Sears E.R.** (1966) Chromosome mapping with aid of telocentrics. *Proc. of 2nd Int. Wheat Genet. Symp. Hereditas Suppl.* Sweden: Lund, p. 370-381.
- Singh R.P., Hodson D., Huerta-Espino J. et al.** (2008) Will stem rust destroy the world's wheat crop? *Advances in Agronomy*, **98**: 272-309.
- Singh R.P., Hodson D.P., Jin Y., Huerta-Espino J.** (2006) Current status, likely migration and strategies to mitigate the threat to wheat from race Ug99 (TTKS) of stem rust pathogen. *CAB Rev. Perspect. Agric. Vet. Sci. Nutr. Nat. Resour.*, **1**: 1-13.
- Singh R.P., Huerta-Espino J., Roelfs A.P.** (2002) The wheat rusts. *Bread Wheat: Improvement and production, FAO Plant Production and Protection Series*, No. 30.
- Yu G., Champouret N., Steuernagel B.** ((2017) Discovery and characterization of two new stem rust resistance genes in *Aegilops sharonensis*. *Theor. Appl. Genet.*, **30**(6): 1207-1222.
- Yu L.-X., Barbier H., Rouse M.N. et al.** (2014). A consensus map for Ug99 stem rust resistance loci in wheat. *TAG. Theoretical and Applied Genetics. Theoretische Und Angewandte Genetik*, **127**(7): 1561-1581.

Идентификация Генов *Sr11*, *Sr26* и *Sr31* Эффективной Устойчивости к Расе Стеблевой Ржавчины TKTTF у Генотипов Пшеницы в Условиях Азербайджана

С.М. Рустамова, А.Е. Гаджиева, Ш.Ф. Садыгов, А.Ч. Мамедов, И.М. Гусейнова

Институт молекулярной биологии и биотехнологий НАН Азербайджана

Впервые с применением технологии генотипирования KASP (Kompetitive Allele Specific PCR) исследована зародышевая плазма пшеницы и дана характеристика генетических источников эффективной устойчивости против распространенной на территории Азербайджана стеблевой ржавчины расовой группы TKTTF. В результате анализов ПЦР (ОТ-ПЦР) в реальном времени, проведенных с использованием диаллельного праймера KASP_6BL_BS0074288_51, в 6В хромосоме 9 из 34 генотипов, а при использовании праймера KASp_6BL_Tdurum contig55744_822 - 7 из 10 генотипов идентифицирован ген *Sr11*. При проведении ПЦР с использованием доминантного STS маркера Sr26#43, в 11 из 42 генотипов выявлен фрагмент размером 207 н.п., считающийся диагностическим ампликоном гена *Sr26*. При использовании специфического праймера *lag95* для анализа, расположенного в 1BL.1RS транслокации локуса Lr26-Sr31-Yr9 в 8 из 42 генотипов выявлено наличие продуктов синтеза ПЦР длиной 1100 н.п., характерных для гена *Sr31*.

Ключевые слова: Пшеница, *Puccinia graminis* f. sp. *tritici*, *Sr11*, *Sr26*, *Sr31*, KASP-генотипирование, ОТ-ПЦР

Identification Of *Sr11*, *Sr26* and *Sr31* Genes Effective Resistant To Stem Rust Rase TKTTF in Wheat Genotypes in Azerbaijan

S.M. Rustamova, A.T. Hacıyeva, Sh.F. Sadıgov, A.Ch. Məmmədov, I.M. Hüseynova

Institute of Molecular Biology and Biotechnologies, Azerbaijan National Academy of Sciences

For the first time wheat germplasm has been examined and gene sources effective resistant to TKTTF ras group of stem rust spread in Azerbaijan have been characterized using KASP (Kompetitive Allele Specific PCR) genotyping technology. Real-time PCR (RT-RCR) analysis with diallel-type KASP_6BL_BS0074288_51 primer identified *Sr11* gene on 6B chromosome of 9 wheat genotypes from 34 ones, and it was identified in 7 genotypes from 10 ones when using KASp_6BL_Tdurum contig55744_822. A fragment of 207bp, which is considered to be the diagnostic amplicon for the *Sr26* gene has been synthesized in 11 wheat genotypes from 42 ones as a result of PCR performed with a dominant STS marker Sr26#43. Lr26-Sr31-Yr9 locus located in 1BL.1RS translocation of 42 wheat genotypes was analyzed using specific lag95 primer and 1100 bp PCR products, characteristic of *Sr31* gene were found to be synthesized in 8 genotypes.

Keywords: *Wheat, Puccinia graminis f. sp. tritici, Sr11, Sr26, Sr31, KASP-genotyping, RT-PZR*

7 Ali Bitkinin Zülal Kodlaşdıran Nüvə Genlərinin Potensial Transkripsiya Start Saytlarının Müəyyənəşdirilməsi

H.F. Quliyeva*, Ə.Ü. Abduləzimova, N.Ş. Mustafayev, İ.Ə. Şahmuradov

AMEA Molekulyar Biologiya və Biotexnologiya İnstitutu, Mətbuat prospekti, 2A, Bakı AZ1073, Azərbaycan;
*E-mail: aliyeva-hokume@mail.ru

Birləpəli *Oryza sativa* və *Zea mays*, ikiləpəli *Arabidopsis thaliana*, *Glycine max*, *Medicago truncatula*, *Populus trichocarpa* və *Vitis vinifera* bitkilərinin müvafiq surətdə 22258, 23330, 17896, 18226, 17645, 38702 və 11035 zülal kodlaşdıran nüvə genlərinin [1000:+101] 5'-nahiyyələrində (+1: genlərin annotasiya olunmuş start nöqtəsi) TSSPlant kompüter proqramının köməyi ilə potensial transkripsiya start saytlarının (TSS) - promotorların axtarışı həyata keçirilmişdir. Nəticədə 7 bitki növündən 149092 genin hər biri üçün ən azı bir potensial TSS müəyyənəşdirilmişdir. Aşkar olunmuş promotorların həm bütün genlər üzrə, həm də ayrıca olaraq plastid və mitoxondri təyinəti genlər üzrə müqayisəli təhlili aşkar etmişdir ki, bu orqanizmlərin hamısında bütün hallarda qeyri-TATA promotorlar aşkar üstünlük təşkil edirlər (~30% TATA/70% qeyri-TATA). Hər bir gen üçün annotasiya olunmuş gen başlanğıcına ən yaxın TSS götürülməklə, potensial TSS (TSSp) və gen başlanğıcı arasındakı məsafələrin təhlili göstərmişdir ki, bütün orqanizmlər üzrə genlərin təxminən 70%-i üçün bu məsafə 100 nc-dən çox deyildir. Bu müşahidə TSSPlant proqramının kifayət qədər yüksək axtarış dəqiqliyinə dəlalət edir.

Açar sözlər: Ali bitki, genom, gen, TATA-boks, promotor, TSS, kompüter analizi

GİRİŞ

Hazırda, insan, gəmiricilər və meymunlar da daxil olmaqla, genomların oxunması üzrə doqquz yüzə yaxın layihə vardır (<http://www.ncbi.nlm.nih.gov/genomes/leuks.cgi>) və hazırda nukleotid ardıcılığı məlum olan genomların quruluş və funksiya baxımından annotasiyası nəzəri və praktiki baxımdan ən aktual məsələlərdən biridir.

Genom annotasiyasının mühüm problemlərindən biri promotorların müəyyənəşdirilməsidir. Lakin bu gün genom ardıcılıqlarında promotorların tapılması sadə məsələ deyildir. Promotor ardıcılıqlarının gen-səciyyəvi arxitekturası və bu sahədə mövcud biliklərin məhdud olması onların axtarışı üçün ümumi strategiyanın yaradılmasını müşkül problem edir. Genom nahiyyələrinin transkripsiyasını tənzimləyən transkripsiya faktorlarının (TF) qısa (5-15 nukleotid cütü, nc) nukleotid ardıcılıqlarından ibarət birləşmə saytları (TFBS) əsasən promotorlarda yerləşir. Hər bir promotor belə tənzimləyici elementlərin unikal tərkibi ilə səciyyələnir ki, bu da özünəməxsus gen ekpressiyasını müəyyən edir. Eukariotlarda zülal kodlaşdıran genlərin və həmçinin bəzi kiçik RNT genlərinin transkripsiyası RNT II polimeraza (Pol II) vasitəsilə həyata keçirilir. Transkripsiyanın start saytının (TSS) daxil olduğu Pol II promotor nüvəsi ("core promoter") TSS-na (+1) nəzərən -60:+40 rayonunu əhatə edir. Həmin nüvədən əvvəl yerləşən 200-300 nc uzunluğundakı nahiyyə isə proksimal promotordur. Proksimal promotorda transkripsiyanın özünəməxsus qaydada

tənzimlənməsi üçün tələb olunan çoxsaylı TFBS-ları yerləşir. Bundan başqa, promotorun proksimal promotordan əvvəldə yerləşən distal hissəsində də TFBS-ları (enhanserlər, saylenslər, insuleytorlar) vardır (Hebing et al., 2015; Geetu et al., 2014; Tak-Ming et al., 2012; Fred et al., 2016.).

Heyvan və bitki orqanizmlərinin promotorlarının təxminən 30-50%-ində TSS-dan 25-45 nc məsafəsində yerləşən və TATA-boks adlanan element vardır - bu promotorlar TATA-promotor adlanır. Eukariot promotorlarında indiyədək aşkar edilmiş ən konservativ element TATA-boks yüksək dərəcədə ekpressiya olunan genlərin çoxunun promotorunda vardır (Smale et al., 2003; Butler et al., 2002; Lemon et al., 2001; Sandelin et al., 2007; Zuo et al., 2011).

Lakin bir çox gen qruplarında (məsələn, "ev təsərrüfatı genləri; housekeeping genes") TATA-boks yoxdur - belə promotorlar qeyri-TATA (*TATA-less*) promotorlar adlanır. Bu tip promotorlarda TSS-nin mövqeyi CpG adaları və/ya "inisiyasiya elementi" (*initiator element*), Inr, və/ya DPE (*downstream promoter element*) vasitəsilə tənzimlənir (Suzuki et al., 2001; Cooper et al., 2006; Xu et al., 2016).

İndiyədək tədqiq olunmuş promotorların əksəriyyətində çoxsaylı, alternativ TSS-lər aşkar olunmuşdur (Suzuki et al., 2001; Carninci et al., 2006; Taylor et al. 2006; Davuluri et al., 2008). TSS-ları əksər hallarda gen başlanğıcından əvvəldə yerləşsə də, onlara genlərin "daxilində" - transkripsiya olunan hissələrdə olması da nadir hadisə deyildir (Koch et al., 2008; Shahmuradov et al., 2016).

Hazırda bitkilərin təcrübi yolla müəyyənləşdirilmiş 2 tip promotor (TSS) kolleksiyaları mövcuddur.

- 1) Tam uzunluqlu komplementar DNT (TUKDNT; *full-length cDNA*, *FL-cDNA*) ardıcılıqlarının genom ardıcılıqları ilə müqayisəsi əsasında müəyyənləşdirilən kolleksiyalar; məsələn, RARGE DB (Sakurai et al., 2005; Akiyama et al., 2014) və ppdb (Yamamoto et al., 2008; Hieno et al., 2014).
- 2) TSS da daxil olmaqla, promotor dəstləri birbaşa təcrübi yollarla müəyyənləşdirilmiş kolleksiyalar; məsələn, EPD (Dreos et al., 2013, 2015), PlantProm DB (Shahmuradov et al., 2003).

Birinci tip bazalar içərisində ppdb ən böyük məlumat resursudur. Bu bazanın son buraxılışında (versiya 3.0; Hieno et al., 2014; <http://ppdb.agr.gifu-u.ac.jp/ppdb.cgi-bin/index.cgi>) kəsəkotu (*Arabidopsis thaliana*), düyü (*Oryza sativa*), qovaq (*Populus trichocarpa*) və mamır (*Physcomitrella patens*) bitkilərindən on minlərlə Pol II promotorları üzrə məlumat toplanmışdır. O cümlədən, bu bazada kəsəkotunun zülal kodlaşdırın genlərinin hamısı (27206) və duyunun annotasiya olunmuş 32325 zülal kodlaşdırın genindən 12535 gen üçün TSS məlumatı vardır. Digər tərəfdən, bizim analiz aşkar etmişdir ki, kəsəkotunun və duyunun müvafiq surətdə 7878 (~29%) və 1554 (~13%) geni üçün xəritələşdirilmiş TSS ilə müvafiq genin kodlaşdırın DNT ardıcılığının (KDA; *coding DNA sequences CDS*) annotasiya olunmuş başlanğıc nöqtəsi arasındakı məsafə, d(TSS,KDA), 10 nc-dən azdır. Məlumdur ki, TSS və KDA başlanğıcı arasındakı nəhiyyə - 5'-translyasiya olunmayan rayon (TOR; untranslated region, UTR) ribosomların mRNT ilə birləşməsi translyasiyanı həyat keçirməsi üçün tələb olunur. İndiyədək 5'-TOR-un minimum uzunluğu məlum olmasa da, belə hesab olunur ki, translyasiyanın düzgün və tələb olunan səviyyədə getməsi üçün həmin rayonun uzunluğu, ən azı, 20 nukleotid olmalıdır (Chen et al., 2011; Kim et al., 2014; Hinnebusch et al., 2016). Bu halda belə nəticə hasil olur ki, ppdb bazasında minlərlə gen üçün TSS məlumatları yeni təcrübələrlə dəqiqləşdirilməlidir.

İkinci tip bazalar içərisində ilk buraxılışı 2003-cü ildə təqdim olunmuş PlantProm DB həm tərkibindəki TSS-larının ümumi sayına, həm də toplanmış məlumatların təhlil olunma aspektlərinə görə ən böyük resursdur. Bu bazanın hazırkı buraxılışı 86 bitki növündən hər bir TSS üçün ayrılıqda birbaşa təcrübə vasitəsi ilə müəyyənləşdirilmiş və çap olunmuş məqalə ilə təsbit olunmuş 576 TSS üzrə məlumatlar toplanmışdır (Shahmuradov et al., 2012; <http://www.softberry.com/plantprom2016/>).

Bu uğurlara baxmayaraq, bitkilərin təcrübi yolla müəyyənləşdirilmiş promotor kolleksiyaları

bitki promotorlarının çox kiçik bir hissəsini təşkil edir. Ümumiyyətlə, TSS-larının təcrübi yolla müəyyənləşdirilməsi hələ də bahalı və çətin prosesdir. Bu səbəbdən kompüter analizi vasitəsi ilə TSS-larının aşkar edilməsi səmərəli yanaşma olaraq qalır (Mundade et al., 2014; Suryamohan et al., 2015; Levati et al., 2016).

Son 20 ildə promotorların (TSS-larının) axtarışı üzrə bir sıra kompüter proqramları yaradılmışdır, o cümlədən: EP3 (Abeel et al., 2008), TSSP-TCM (Shahmuradov et al., 2005), TSSP (<http://www.softberry.com/berry.phtml?topic=tssp&group=programs&subgroup=promoter>), PromPredict (Rangannan et al., 2009; Morey et al., 2011). Bu yaxınlarda bitkilərin Pol II promotorlarının axtarışı üzrə yeni bir proqram, TSSPlant, yaradılmışdır (Shahmuradov et al., 2017). Həmin proqram bu sahədə indiyədək yaradılmış digər proqramlarla müqayisədə ən yüksək axtarış dəqiqliyi ilə səciyyələnir.

Təqdim olunan işin əsas məqsədi birləpəli və ikiləpəli bitkilərin bəzi nümayəndələrinin (cəmi 7 növün) plastid və mitoxondri təyinatlı zülal kodlaşdırın nüvə genlərinin və onların potensial TSS xəritələrinin kompüter vasitəsi ilə müəyyənləşdirilməsi olmuşdur. Aşağıda həmin araşdırmaların nəticələri verilir və müzakirə olunur.

MATERIAL VƏ METODLAR

Ali bitki genomunda güman edilən promotorların (TSS-larının) axtarışı üçün 7 bitki növünün nüvə genomunun annotasiyasından istifadə edilmişdir (<http://plants.ensembl.org/info/website/ftp/index.html>): birləpəli düyü (*Oryza sativa*, 35655 gen; genom assemblyası IRGSP-1.0) və qarğıdalı (*Zea mays*; 36988 gen; genom assemblyası AGPv3), ikiləpəli kəsəkotu (*Arabidopsis thaliana*; 27201 gen; genom assemblyası TAIR10), qara yonca (*Medicago truncatula*; 47202 gen; genom assemblyası MedtrA17 4.0), qovaq ağacı (*Populus trichocarpa*; 38449 gen; genom assemblyası JGI2.0), şərab üzümü (*Vitis vinifera*; 26118 gen; genom assemblyası İGGP 12x) və soya (*Glycine max*; 53151 gen genom assemblyası; v1 0). Analiz üçün, getseqPP kompüter proqramından (Shahmuradov, çap olunmamışdır) istifadə etməklə, annotasiya olunmuş zülal ardıcılıqları və müvafiq genlərin [-1000: +101] rayonları (+1: genin start nöqtəsi) götürülmüşdür. Promotor axtarışı üçün yalnız uzunluğu 20 nc və daha çox olan 5'-TOR ilə annotasiya olunmuş zülal kodlaşdırın genlər seçilmişdir; bir neçə başlanğıc nöqtəsi annotasiya olunmuş genlər üçün ən uzun 5'-TOR-a uyğun başlanğıc nöqtəsi götürülmüşdür.

Genomda gen duplikasiyaları nəticəsində bir neçə nüsxə ilə təmsil olunan genlərdən və müvafiq zülallardan yalnız biri seçilmişdir. Bu məqsədlə əvvəlcə zülalların və müvafiq genlərin promotor nahiyyələrinin BLAST proqram paketi (Altschul et al., 2004) vasitəsi ilə növdaxili cüt cüt müqayisəsi aparılmış və daha sonra BLAST nəticələri BLAN və getseqPP (Şahmuradov, çap olunmamışdır) kompüter proqramlarının köməyi ilə təhlil edilmiş, tam uzunluqlu və oxşarlıq dərəcəsi 90%-dən aşağı olmayan ardıcılıqlardan yalnız biri götürülmüşdür. Nəticədə, *O. sativa*, *Z. mays*, *A. thaliana*, *M. truncatula*, *P. trichocarpa*, *V. vinifera* və *G. max* bitkilərindən müvafiq surətdə 22258, 23330, 17896, 18226, 17645, 11035 və 38702 zülal və promotor ardıcılıqları seçilmişdir.

TSS-larının axtarışı Şahmuradov, Umarov və Solovyov tərəfindən bu yaxınlarda yaradılmış TSSPlant kompüter proqramı (www.cbrc.kaust.edu.sa/download/files/TSSPlant linux.tar.gz) vasitəsi ilə aparılmışdır.

Zülalların mümkün təyinat yerləri ProtComp proqramının vasitəsi ilə müəyyənləşdirilmişdir (<http://www.softberry.com/berry.phtml?topic=protcomppl&group=programs&subgroup=proloc>).

NƏTİCƏLƏR VƏ ONLARIN MÜZAKİRƏSİ

Plastid və mitoxondri təyinatlı genlərin proqnozlaşdırılması. *O. sativa*, *Z. mays*, *A. thaliana*, *M.*

truncatula, *P. trichocarpa*, *V. vinifera* və *G. max* bitkilərindən 149092 zülal ardıcılığı ProtComp kompüter proqramı vasitəsi ilə analiz edilmişdir və hər növ üçün potensial plastid və mitoxondri təyinatlı zülal ardıcılıqları dəstləri müəyyənləşdirilmişdir. Kəsəkotunda 3997 plastid və 1533 mitoxondri; soyada 5256 plastid və 2339 mitoxondri; qara yoncada 3759 plastid və 1569 mitoxondri, qovaq ağacında 3215 plastid və 1307 mitoxondri, şərab üzümündə 2093 plastid və 832 mitoxondri, düyüdə 4525 plastid və 1761 mitoxondri, qarğıdalıda 5159 plastid və 1933 mitoxondri təyinatlı nüvə genləri aşkar edilmişdir (Cədvəl 1). Bu analizin maraqlı nəticələrindən biri tranzit peptidlərinə görə plastidlərə yaxud mitoxondrilərə ünvanlanması güman edilən zülalların ümumi sayı üzrə növlərəarası böyük fərq müşahidə olunur. Çox güman ki, müşahidə olunan fərq müxtəlif növlərdə annotasiya olunmuş genlərin (zülalların) sayında olan fərqlə bağlıdır. Lakin həmin fərq hər bir növün özünəməxsus xüsusiyyətləri ilə də bağlı ola bilər. Hazırda bu istiqamətdə araşdırmalarımız davam edir.

Potensial transkripsiya start saytlarının müəyyənləşdirilməsi. TSSPlant proqramının köməyi ilə 7 bitki növündən 149092 genin hər birinin 5'-nahiyəsində ən azı bir potensial promotor (TSS) aşkar edilmişdir. Aşkar olunmuş promotorlar həm bütün genlər üzrə, həm də ayrıca olaraq plastid və mitoxondri təyinatlı genlər üzrə müqayisəli təhlil olunmuşdur. Alınmış nəticələrin əsas integral məqamları Cədvəl 1-də verilmişdir. Bu analizin məqamları

Cədvəl 1. 7 alı bitkinin zülal kodlaşdıran nüvə genlərinin potensial transkripsiya start saytları üzrə ümumi statistik göstəricilər

Orqanizm	Zülal genləri dəsti	Dəstdəki genlərin sayı	TATA promotorlar	Qeyri-TATA promotorlar	TATA/qeyri-TATA, %
<i>A.t.</i>	Bütün genlər	17896	5534	12362	30.9/69.1
	Plastid təyinatlı	3994	1266	2728	31.7/68.3
	Mitoxondri təyinatlı	1532	469	1063	30.6/69.4
<i>G.m.</i>	Bütün genlər	38702	5833	32896	15.1/84.9
	Plastid təyinatlı	5252	669	4583	12.7/87.3
	Mitoxondri təyinatlı	2339	332	2007	14.2/85.8
<i>M.t.</i>	Bütün genlər	18226	3600	14626	19.8/80.2
	Plastid təyinatlı	3759	657	3102	17.5/82.5
	Mitoxondri təyinatlı	1569	268	1301	17.1/82.9
<i>P.t.</i>	Bütün genlər	17645	4016	13629	22.8/77.2
	Plastid təyinatlı	3215	623	2592	19.4/80.6
	Mitoxondri təyinatlı	1307	264	1043	20.2/79.8
<i>V.v.</i>	Bütün genlər	11035	2999	8036	27.2/72.8
	Plastid təyinatlı	2083	467	1616	22.4/77.6
	Mitoxondri təyinatlı	829	201	628	24.2/75.8
<i>O.s.</i>	Bütün genlər	22258	7457	14801	33.5/66.5
	Plastid təyinatlı	4508	1310	3198	29.1/70.9
	Mitoxondri təyinatlı	1756	519	1237	29.6/70.4
<i>Z.m.</i>	Bütün genlər	23330	8949	14381	38.4/61.6
	Plastid təyinatlı	5137	1825	3312	35.5/64.5
	Mitoxondri təyinatlı	1921	681	1240	35.5/64.5

A.t. – *Arabidopsis thaliana*; *M.t.* – *Medicago truncatula*; *P.t.* – *Populus trichocarpa*; *G.m.* – *Glycine max*; *V.v.* – *Vitis vinifera*; *O.s.* – *Oryza sativa*; *Z.m.* – *Zea mays*.

Cədvəl 1-də verilmişdir. Bu analizin aşkar etdiyi ümumi və maraqlı fakt odur ki, tədqiq olunmuş orqanizmlərin hamısında həm bütün genlər, həm də yalnız plastid yaxud mitoxondri təyinatlı genlərdə qeyri-TATA tipli promotorlar aşkar üstünlük təşkil edirlər.

Daha sonra, hər bir orqanizm üçün ayrılıqda həm bütün genlər, həm də yalnız plastid və mitoxondri təyinatlı genlər üzrə aşkar edilmiş potensial TSS-ları ilə müvafiq genlərin annotasiya olunmuş gen başlanğıcı arasındakı məsafələr hər iki promotor sinfi (TATA və qeyri-TATA) üzrə birlikdə və ayrı-ayrılıqda təhlil olunmuşdur (Cədvəl 2, 3, 4). Əlavə olaraq, nümunə kimi, şəkil 1-də bütün genlər üzrə qeyd olunan məsafələrin paylanma histoqramı da verilir.

Hər bir gen üçün annotasiya olunmuş gen başlanğıcına ən yaxın TSS götürülməklə, TSSPlant vasitəsi ilə tapılmış potensial TSS (TSSp) və gen başlanğıcı arasındakı məsafə hesablanmışdır: analiz olunmuş genlərin ~51,2%-ində potensial TSS annotasiya olunmuş gen başlanğıcının yaxınlığında (<50 nc məsafədə) yerləşir; TSSp və gen başlanğıcı arasında məsafə 100 nc dən çox olmayan genlər isə bütün genlərin ~70%-ini təşkil edir. O cümlədən, genlərin annotasiya olunmuş başlanğıcı ətrafında (≤50 nc məsafədə):

- bütün genlər üzrə, kəsəkotunda 10355, soyada 20202, qara yoncada 10477, qovaq ağacında 8222, şərab üzümündə 4970, düyüdə 11827 və qarğıdalıda 11993 TSS aşkar olunmuşdur;
- plastid təyinatlı genlər üzrə, kəsəkotunda 2268, soyada 2701, qara yoncada 2197, qovaq ağacında 1444, şərab üzümündə 928, düyüdə 2411 və qarğıdalıda 2658 TSS aşkar olunmuşdur;
- mitoxondri təyinatlı genlərdə kəsəkotunda 871, soyada 1183, qara yoncada 898, qovaq ağacında 586, şərab üzümündə 376, düyüdə 936 və qarğıdalıda 986 TSS aşkar edilmişdir.

Bu nəticələr göstərir ki, TSSPlant proqramı vasitəsi ilə müəyyənləşdirilmiş potensial TSS-ları əksər hallarda annotasiya olunmuş gen başlanğıcı ətrafında yerləşir. Potensial TSS-larının annotasiya başlanğıcından nisbətən uzaqda yerləşdiyi hallar ilə bağlı qeyd etmək lazımdır ki, istifadə olunmuş genom annotasiyalarında genləri başlanğıcı mRNT (transkriptom) məlumatlarının məhdudluğu üzündən bir çox hallarda dəqiq deyildir.

Cədvəl 2. 7 ali bitkının zülal kodlaşdırın nüvə genlərinin annotasiya olunmuş başlanğıc nöqtəsi ilə həmin başlanğıca ən yaxın potensial TSS arasındakı məsafə üzrə ümumi statistik göstəricilər (bütün genlər üçün)

Orqanizm	Promotor sinfi	Potensial TSS və annotasiya olunmuş genin başlanğıcı arasındakı məsafə, nc					
		0-50	51-100	101-200	201-400	401-600	≥ 600
<i>A.t.</i>	cəmi	10355	2447	3474	1583	28	9
	TATA	3489	688	907	421	22	7
	qeyri-TATA	6866	1759	2567	1162	6	2
<i>G.m.</i>	cəmi	20202	5470	8902	4075	40	13
	TATA	4084	596	787	347	18	1
	qeyri-TATA	16118	4874	8115	3728	22	12
<i>M.t.</i>	cəmi	10477	2361	3610	1760	15	3
	TATA	2578	377	461	175	8	1
	qeyri-TATA	7899	1984	3149	1585	7	2
<i>O.s.</i>	cəmi	11827	2745	4351	2853	309	173
	TATA	3986	759	1436	1070	139	67
	qeyri-TATA	7841	1986	2915	1783	170	106
<i>P.t.</i>	cəmi	8222	2447	4526	2392	50	8
	TATA	2632	433	609	321	17	4
	qeyri-TATA	5590	2014	3917	2071	32	4
<i>V.v.</i>	cəmi	4970	1497	2654	1688	148	78
	TATA	1724	359	487	316	76	37
	qeyri-TATA	3246	1138	2167	1372	72	41
<i>Z.m.</i>	cəmi	11993	2713	4751	3169	483	221
	TATA	4428	937	1894	1357	229	104
	qeyri-TATA	18995	1776	2857	1812	254	117

A.t. - *Arabidopsis thaliana*, *M.t.* - *Medicago truncatula*, *P.t.* - *Populus trichocarpa*, *G.m.* - *Glycine max*, *V.v.* - *Vitis vinifera*,

O.s. - *Oryza sativa*, *Z.m.* - *Zea mays*

Cədvəl 3 7 ali bitkinin zülal kodlaşdıran nüvə genlərinin annotasiya olunmuş başlanğıc nöqtəsi ilə həmin başlanğıca ən yaxın potensial TSS arasındakı məsafə üzrə ümumi statistik göstəricilər (yalnız plastid təyinatlı genlər üçün)

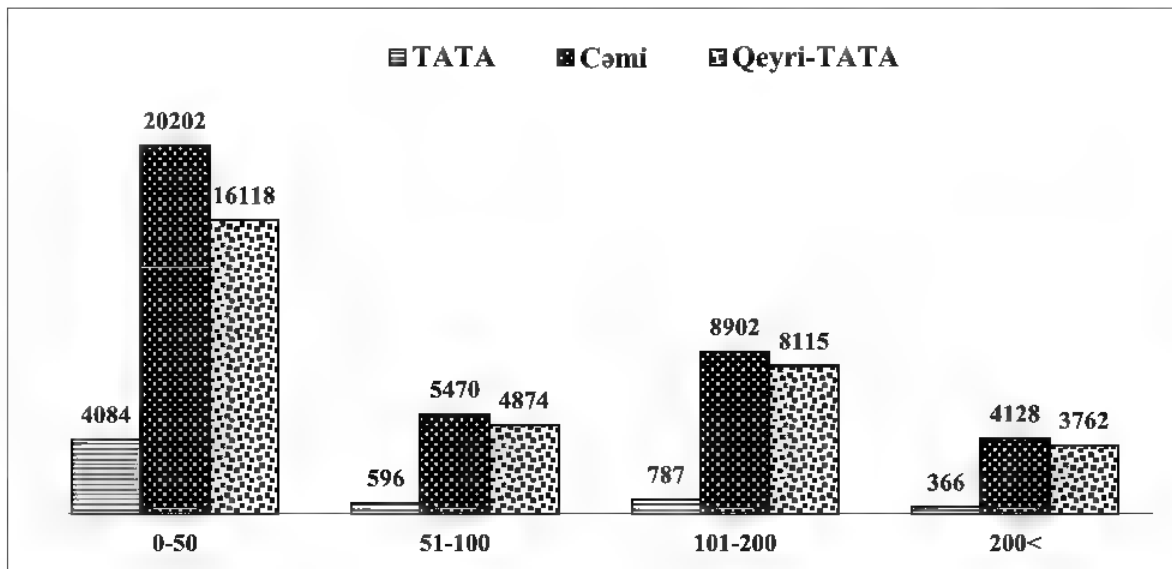
Orqanizm	Promotor sinfi	Potensial TSS və annotasiya olunmuş genin başlanğıcı arasındakı məsafə, nc					
		0-50	51-100	101-200	201-400	401-600	600
<i>A.t.</i>	cəmi	2268	592	765	360	5	4
	TATA	755	187	219	98	3	4
	qeyri-TATA	1513	405	546	262	2	0
<i>G.m.</i>	cəmi	2701	734	1267	546	3	1
	TATA	431	79	110	46	3	0
	qeyri TATA	2270	655	1157	500	0	1
<i>M.t.</i>	cəmi	2197	486	727	343	6	0
	TATA	442	85	84	43	3	0
	qeyri-TATA	1755	401	643	300	3	0
<i>O.s.</i>	cəmi	2411	536	899	584	54	24
	TATA	660	123	283	209	27	8
	qeyri TATA	1751	413	616	375	27	16
<i>P.t.</i>	cəmi	1444	483	856	417	12	3
	TATA	401	80	101	36	3	2
	qeyri-TATA	1043	403	755	381	9	1
<i>V.v.</i>	cəmi	928	290	503	325	13	14
	TATA	261	58	74	57	8	9
	qeyri TATA	667	232	429	268	15	5
<i>Z.m.</i>	cəmi	2658	596	1067	701	72	43
	TATA	844	221	415	296	68	19
	qeyri-TATA	1814	375	652	405	42	24

A.t. – *Arabidopsis thaliana*; *M.t.* – *Medicago truncatula*; *P.t.* – *Populus trichocarpa*; *G.m.* – *Glycine max*; *V.v.* – *Vitis vinifera*, *O.s.* – *Oryza sativa*, *Z.m.* – *Zea mays*

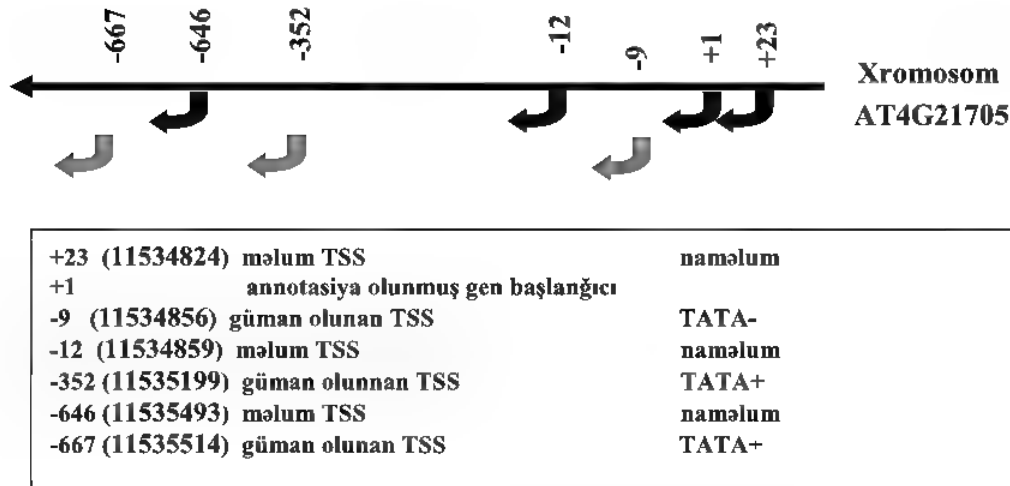
Cədvəl 4. 7 ali bitkinin zülal kodlaşdıran nüvə genlərinin annotasiya olunmuş başlanğıc nöqtəsi ilə həmin başlanğıca ən yaxın potensial TSS arasındakı məsafə üzrə ümumi statistik göstəricilər (yalnız mitoxondri təyinatlı genlər üçün)

Orqanizm	Promotor sinfi	Potensial TSS və annotasiya olunmuş genin başlanğıcı arasındakı məsafə, nc					
		0-50	51-100	101-200	201-400	401-600	600
<i>A.t.</i>	cəmi	871	215	296	146	4	0
	TATA	277	64	84	40	4	0
	qeyri-TATA	594	151	212	106	0	0
<i>G.m.</i>	cəmi	1183	361	529	262	3	1
	TATA	219	33	53	25	2	0
	qeyri-TATA	964	328	476	237	1	1
<i>M.t.</i>	cəmi	898	208	305	157	1	0
	TATA	184	25	38	21	0	0
	qeyri-TATA	714	183	267	136	2	0
<i>O.s.</i>	cəmi	936	196	346	236	33	9
	TATA	247	50	109	92	17	4
	qeyri-TATA	689	146	237	144	16	5
<i>P.t.</i>	cəmi	586	212	344	163	2	0
	TATA	174	32	42	16	0	0
	qeyri-TATA	412	80	302	147	2	0
<i>V.v.</i>	cəmi	376	116	179	139	15	4
	TATA	115	19	32	26	8	1
	qeyri-TATA	261	97	147	113	7	3
<i>Z.m.</i>	cəmi	986	251	385	251	30	18
	TATA	309	87	160	105	12	8
	qeyri TATA	677	164	225	146	18	10

A.t. – *Arabidopsis thaliana*; *M.t.* – *Medicago truncatula*; *P.t.* – *Populus trichocarpa*; *G.m.* – *Glycine max*; *V.v.* – *Vitis vinifera*, *O.s.* – *Oryza sativa*, *Z.m.* – *Zea mays*



Şəkil 1. Soya bitkisinin annotasiya olunmuş bütün nüvə genlərinin başlanğıcı ilə ona ən yaxın guman olunan TSS arasındakı məsafələrin TATA və qeyri-TATA sınıfları üzrə ayrı-ayrılıqda və birlikdə paylanması.



Şəkil 2. Kəşəkotu bitkisinin tərkibində pentatrikopeptid təkrarları olan zülali kodlaşdıran AT4G21705 geninin məlum və guman olunan TSS-larının annotasiya olunmuş gen başlanğıcına və bir-birinə nəzərən yerləşməsinin sxemi. TSS-larının xromosom koordinatları TAIR *A.thaliana* ver6.0 genom annotasiyasına uyğundur. “Naməlum”: promotor sinfi məlum deyildir

Əksər genlər üçün birdən çox potensial TSS-nin tapılması faktı əksər genlərin transkripsiyasının çoxsaylı alternativ promotorlardan (TSS-larından) həyata keçirilməsi ilə bağlı təcrübi faktlarla uzlaşır (Davuluri et al., 2008). Məsələn, kəşəkotu bitkisinin tərkibində pentatrikopeptid təkrarları olan zülali kodlaşdıran AT4G21705 genində təcrübi yolla 4 TSS müəyyənləşdirilmişdir (Lurin et al., 2004). Bizim TSSPlant analizimiz isə həmin genin promotor nahiyyəsində 3 potensial TSS aşkar etmişdir. Həmin təcrübi və potensial TSS-larının bir-birinə nə-

zərən yerləşməsinin müqayisəsi (şəkil 2) TSSPlant proqramının axtarış dəqiqliyi yüksəkdir.

MİNNƏTDARLIQ

Bu iş Azərbaycan Respublikasının Prezidenti yanında Elmin İnkişafı Fondunun maliyyə yardımı ilə yerinə yetirilmişdir. Qrant № EIF/GAM-3-2014-6(21)-24/16/3.

ƏDƏBİYYAT

- Abeel T., Saeys Y., Bonnet E., Rouze P., van de Peer Y. (2008) Generic eukaryotic core promoter prediction using structural features of DNA. *Genome Res.*, **18**: 310-23.
- Altschul S.F., Madden T.L., Schäffer A.A., Zhang J., Zhang Z., Miller W., Lipman D.J. (1997) Gapped BLAST and PSIBLAST: a new generation of protein database search programs. *Nucl. Acids Res.*, **25**: 3389-3402.
- Akiyama K., Kurotani A., Iida K., Kuromori T., Shinozaki K., Sakurai T. (2014) RARGE II: an integrated phenotype database of Arabidopsis mutant traits using a controlled vocabulary. *Plant Cell Physiol.* **55**(1): e4.
- Butler J.E., Kadonaga J.T. (2002) The RNA polymerase II core promoter: a key component in the regulation of gene expression. *Genes Dev.*, **16**: 2583-2592.
- Cooper S.J., Trinklein N.D., Anton E.D. et al. (2006) Comprehensive analysis of transcriptional promoter structure and function in 1% of the human genome. *Genome Res.*, **16**: 1-10.
- Carninci P., Sandelin A., Lenhard B. et al. (2006) Genome-wide analysis of mammalian promoter architecture and evolution. *Nat. Genet.*, **38**: 626-635.
- Chen Ch., Lin Hy., Pan C.L., Chen F. C. (2011) The genomic features that affect the lengths of 5' untranslated regions in multicellular eukaryotes. *BMC Bioinformatics*. **12** Suppl 9: S3.
- Davuluri R.V., Suzuki Y., Sugano S., Plass C., Huang T.H. (2008) The functional consequences of alternative promoter use in mammalian genomes. *Trends Genet.*, **24**: 167-177.
- Dreos R., Ambrosini G., Périer, R., Bucher, P. (2013) EPD and EPDnew, high-quality promoter resources in the next-generation sequencing era. *Nucl. Acids Res.*, **41**: D157-D164.
- Dreos R., Ambrosini G., Périer, R., Bucher, P. (2015) The Eukaryotic Promoter Database: expansion of EPDnew and new promoter analysis tools. *Nucl. Acids Res.* **43**: D92-D96.
- Fred Y.P., Zhiqiu H., Rong-Cai Y. (2016). Bioinformatic prediction of transcription factor binding sites at promoter regions of genes for photo period and vernalization responses in model and temperate cereal plants. *BMC Genomics*. **17**: 573.
- Geetu T., Karen Betancourt M., Tisha C., Jenny C., Aaron M.W., Gill B. (2014) Automated discovery of tissue-targeting enhancers and transcription factors from binding motif and gene function data. *PLoS Comput Biol.*, **10**(1): e1003449.
- Hieno A., Naznin H.A., Hyakumachi M., Sakurai T., Tokizawa M., Koyama H. et al. (2014) ppdb: plant promoter database version 3.0. *Nucl. Acids Res.*, **42**: D1188-D1192.
- Hebing C., Hao L., Feng L., Xiaofei Z., Shengqi W., Xiaochen B., Wenjie S. (2015) An integrative analysis of TFBS-clustered regions reveals new transcriptional regulation models on the accessible chromatin landscape. *Sci. Rep.*, **5**: 8465.
- Hinnebusch A.G., Ivanov I., Sonenberg N. (2016) Translational control by 5'-untranslated regions of eukaryotic mRNAs. *Science* **352**(6292): 1413-1416.
- Kim Y., Goeun L., Eunhyun J. et al. (2014) The immediate upstream region of the 5'-UTR from the AUG start codon has a pronounced effect on the translational efficiency in *Arabidopsis thaliana*. *Nucleic acid Res.* **42**(1): 485-498.
- Koch F., Jourquin F., Ferrier P., Andrau J-C. (2008) Genomewide RNA polymerase II: not genes only! *TIBS*, **33**: 265-273.
- Lemon B., Tjian R. (2000) Orchestrated response: a symphony of transcription factors for gene control. *Genes Dev.*, **14**: 2551-2569.
- Levati E., Sartini S., Ottonello S., Montanini B. (2016) Dry and wet approaches for genome-wide functional annotation of conventional and unconventional transcriptional activators. *Comput. Struct. Biotechnol. J.*, **14**: 262-270.
- Lurin C., Andrés C., Aubourg S., Bellaoui M., Bitton F., Bruyère C., Caboche M., Debast C., Gualberto J., Hoffmann B. et al. (2004) Genome-wide analysis of *Arabidopsis* pentatricopeptide repeat proteins reveals their essential role in organelle biogenesis. *Plant Cell.*, **16**: 2089-2103.
- Mundade R., Ozer H.G., Wei H., Prabhu L., Lu T. (2014) Role of ChIP-seq in the discovery of transcription factor binding sites, differential gene regulation mechanism, epigenetic marks and beyond. *Cell Cycle*, **13**: 2847-2852.
- Morey C., Mookherjee S., Rajasekaran G., Bansal M. (2011) DNA free energy-based promoter prediction and comparative analysis of *Arabidopsis* and rice genomes. *Plant Physiol.*, **156**: 1300-1315.
- Rangannan V., Bansal M. (2009) Relative stability of DNA as a generic criterion for promoter prediction: whole genome annotation of microbial genomes with varying nucleotide base composition. *Mol. Biosyst.*, **5**: 1758-1769.
- Sakurai T., Satou M., Akiyama K., Iida K., Seki M., Kuromori T., Ito T., Konagaya A., Toyoda T., Shinozaki K. (2005) RARGE: a large-scale database of RIKEN Arabidopsis resources ranging from transcriptome to phenome. *Nucleic Acids Res* **33**: D647-650.
- Shahmuradov I.A., Gammerman A.J., Hancock J.M., Bramley P.M., Solovyev V.V. (2003) Plant Prom: a database of plant promoter sequences. *Nucl. Acids. Res.*, **31**: 114-117.
- Shahmuradov I.A., Solovyev V.V. (2015) Nsite, NsiteH and NsiteM computer tools for studying

- transcription regulatory elements. *Bioinformatics*, **31**: 3544-3545.
- Shahmuradov I.A., Solovyev V.V., Gammernan A.J.** (2005) Plant promoter prediction with confidence estimation. *Nucl. Acids Res.*, **33**: 1069-1076.
- Shahmuradov I.A., Abdulazimova A.U., Khan F.Z., Solovyev V.V., Mustafayev N.Sh., Akbarova Y.Yu., Qamar R., Aliyev J.A.** (2012) The PlantProm DB: recent updates. In: *Proceedings of the 2012 International Conference on Biomedical Engineering and Biotechnology (iCBEB)*, China, Macau, 612-614.
- Shahmuradov I.A., Mohammad R.R., Bougouffa A., Radovanovich A., Bajic V.B.** (2017) bTSSfinder: a novel tool for the prediction of promoters in Cyanobacteria and *Escherichia coli*. *Bioinformatics*, **33** (3): 334-340
- Shahmuradov I.A., Umarov R.K., Solovyev V.V.** (2017) TSSPlant: a new tool for prediction of plant Pol II promoters. *Nucl Acids Res.*, doi: **10.1093/nar/gkw1353**.
- Smale S.T., Kadonaga J.T.** (2003) The RNA polymerase II core promoter. *Annu. Rev. Biochem.*, **72**: 449-479.
- Sandelin A.** (2007) Mammalian RNA polymerase II core promoters: insights from genome-wide studies. *Nature Reviews*, **8**: 424-436
- Suzuki Y. et al.** (2001) Identification and characterization of the potential promoter regions of 1031 kinds of human genes. *Genome Res.*, **11**: 677-684.
- Suryamohan K., Halfon M.S.** (2015) Identifying transcriptional cis-regulatory modules in animal genomes. *Wiley Interdiscip. Rev. Dev. Biol.*, **4**: 59-84.
- Taylor M.S.** (2006) Heterotachy in mammalian promoter evolution. *PLoS Genet.*, **2**: e30
- Tak-Ming C., Kwong-Sak L., Kin-Hong L., Man-Hon W., Terrence C.K.L., Stephen K.W.T.** (2012) Subtypes of associated protein-DNA (Transcription Factor-Transcription Factor Binding Site) patterns. *Nucleic Acids Res.*, **40**(19): 9392-9403.
- Xu M., Gonzalez-Hurtado E., Martinez E.** (2016) Core promoter-specific gene regulation: TATA box selectivity and Initiator dependent bidirectionality of serum response factor-activated transcription. *Biochim. Biophys. Acta*, **1859**(4): 553-563.
- Yamamoto Y.Y., Obokata J.** (2008) ppdb: a plant promoter database. *Nucl Acids Res.*, **33**: D977-D981.
- Zuo Y.C., Li Q.Z.** (2011) Identification of TATA and TATA less promoters in plant genomes by integrating diversity measure, GC-skew and DNA geometric flexibility. *Genomics*, **97**: 112-120.

Определение Потенциальных Сайтов Старта Транскрипции Белок-кодирующих Ядерных Генов в 7-и Высших Растениях

Х.Ф. Кулиева, А.У. Абдулазимова, Н.Ш. Мустафаев, И.А. Шахмуратов

Институт молекулярной биологии и биотехнологий НАН Азербайджана

С помощью компьютерной программы TSSPlant проведен поиск возможных сайтов старта транскрипции (CCT) промоторов в [-1000:+101] районах (+1: аннотированное начало гена) 22,258, 23,330, 17,896, 18,226, 17,645, 38,702 и 11,035 (всего 149,092) белок-кодирующих генов, соответственно у *Oryza sativa* и *Zea mays* (однодольные), *Arabidopsis thaliana*, *Glycine max*, *Medicago truncatula*, *Populus trichocarpa* (двудольные) и *Vitis vinifera*. Для каждого гена найден, как минимум, один CC. Сравнительный анализ этих CCT по классу промоторов для всех генов, в том числе, для плазмидных и митохондриальных генов в отдельности, выявил, что у всех растений подавляющее большинство промоторов относится к не-TATA промоторам (~70% не-TATA промоторы против ~30% TATA промоторы). Анализ расстояний между потенциальным TSSp и началом гена для всех изученных видов, показал, что при условии использования самого близкого к аннотированному началу гена CCT, для 70% и больше генов это расстояние составляет менее 100 нуклеотидов. Последнее наблюдение указывает на достаточно высокую предсказательную точность программы TSSPlant.

Ключевые слова: Высшее растение, геном, ген, TATA-бокс, промотор, CCT, компьютерный анализ

Identification Potential Transcription Start Sites of Protein Encoded Nuclear Genes in 7 Higher Plants

H.F. Guliyeva, A.U. Abdulazimova, N.Sh. Mustafayev, I.A. Shahmuradov

Institute of Molecular Biology and Biotechnologies, Azerbaijan National Academy of Sciences

Using the computer program TSSPlant, search for putative transcription start sites (TSS) promoters in [-1000:+101] regions (+1 is the annotated gene start) of 22,258, 23,330, 17,896, 18,226, 17,645, 38,702 and 11,035 (totally, 149,092) protein-coding genes from monocot *Oryza sativa* and *Zea mays*, dicot *Arabidopsis thaliana*, *Glycine max*, *Medicago truncatula*, *Populus trichocarpa* and *Vitis vinifera*, respectively, was performed. At least, one potential TSS for every gene was predicted. The comparative analysis of these TSSs by the promoter class for all genes, as well as for only plastid or mitochondrial genes revealed that in all plants TATA-less promoters prevail over the TATA-promoters (~70% TATA-less promoters vs ~30% TATA-promoters). Taking, for every gene, only the predicted TSS (TSSp) which is located closest to the annotated gene start, an analysis of distances between TSSp and gene starts showed that for 70% and more genes this distance is less than 100 bp. These findings indicate that the prediction accuracy of TSSPlant program is quite high.

Keywords: Higher plant, genome, gene, TATA-box, promoter, TSS, computational analysis

Arpanın Yetişməmiş Rüşeymlərindən İnduksiya Edilmiş Kallus və Morfogenez Proseslərinin Bəzi Xüsusiyyətləri

S.Ş. Əsədova^{1,2}

¹AMEA Molekulyar Biologiya və Biotexnologiyalar İnstitutu, Mətbuat prospekti, 2A, Bakı AZ 1073, Azərbaycan

²Azərbaycan Kənd Təsərrüfatı Nazirliyi Əkinçilik Elmi-Tədqiqat İnstitutu, Pırşağı qəsəbəsi, 2 saylı sovxoz, Bakı AZ1098, Azərbaycan, E-mail. biotexnoloqaz@mail.ru

Arpanın yerli seleksiya sortlarının süd və mum fazalarında təcrid edilmiş yetişməmiş rüşeymləri *in vitro* şəraitində eyni hormonal tərkibli qida mühitində kultivasiya edilmişdir. Eksplantlarda induksiya edilmiş kallus- və morfogeneza proseslərinin xüsusiyyətləri öyrənilmişdir.

Açar sözlər: Arpa bitkisi, *in vitro*, yetişməmiş rüşeym, kallus, morfogeneza

GİRİŞ

Məlumdur ki, torpaq tipi və iqlimi fərqli olan zonalarda taxıl bitkilərindən alınan məhsulun həcmi eyni olmur. Bu hal bir sıra səbəblərlə bağlıdır ki, bunlardan bitkilərin genetik determinə olunmuş mübadilə proseslərinin xüsusiyyəti, becərmə zonalarına uyğunlaşma dərəcəsi, aqroteknika tədbirlərinə cavabı və s. qeyd etmək olar. Azərbaycan torpaq-iqlim şəraitinin müxtəlifliyi ilə seçilən dövlətdir və Respublika üzrə arpanın orta məhsuldarlığı 20,0-25,8 s/ha təşkil edir (ARSK-nın məlumatları, 2014). Müxtəlif torpaq-iqlim zonalarında arpanın məhsuldarlığına dair aparılmış monitorinq göstərdi ki, heyvandarlığın və qida sənayesinin tələbatlarını ödəmək üçün yüksək məhsuldar sortların yaradılması seleksiyonların qarşısında duran vacib məsələlərdən biridir (Mamedov və dr., 2010). Dünyanın bir çox elm mərkəzlərində bu məqsədə nail olmaq üçün seleksiyanın həm ənənəvi, həm də molekulyar-genetik və biotexnologiya üsullarından istifadə edilir. Biotexnologiya üsulları vasitəsilə bitkidə gədən bir çox biokimyəvi və fizioloji proseslərin ilin fəsilindən asılı olmadan öyrənilə bilər. Tədqiqatın məvəffəqiyyətlə aparılması üçün əsas şərt regenerant bitkilərin stabil alınmasıdır (Mano et al., 1994; Ковалева, 2000; Dahleen, Bregitzer, 2002).

Qeyd etmək lazımdır ki, taxıl bitkilərinin içində *in vitro* regenerasiyanın alınması nöqtəy-nəzərdən arpa ən çətin obyekt hesab olunur və bunun səbəbləri hələ də bəlli deyil. (Карпель, Манешина, 1977; Исаева и др., 1980; Hanzel et al., 1985; Ковалева, 2000) Məlumdur ki, regenerasiya proseslərinə həm genotip, həm eksplant tipi, həm də süni qida mühitinin tərkibi təsir göstərir (Powell, Dunwell, 1987; Dahleen, Bregitzer, 2002; Əsədova, 2015; Бишимбаева и др., 2013).

Taxıl və arpa bitkiləri ilə aparılmış bir sıra tədqiqatlar kallusməhləgəlmə (Карпель, Мане-

шина, 1977; Исаева и др. 1980; Əsədova, 2015) və regenerasiya proseslərinin (Кушнаренко 1990; Лугова и др., 1994) genotiptən asılı olmasını təsdiq edirlər. Hətta regenerasiya tipinin də nə eksplantından, nə də qida mühitinin tərkibindən asılı olmadığı göstərilir (Чернов, Пендинен, 2011). Bundan başqa, qeyd edilir ki, regenerasiyanın effektivliyi eksplantın ölçüsündən asılı olsa belə, onun keyfiyyət göstəricisi genotiptən asılıdır (Ковалева, 2000; Чернов, Пендинен, 2011).

Lakin son illərdə aparılmış bir sıra tədqiqatlar becərmə mühitinin üstünlüyünü göstərmişdir. Belə ki, ədəbiyyat mənbələrində genotipin təsirini aradan qaldıran texnologiyaların işlənilməsi haqqında informasiya verilmişdir (Бишимбаева и др., 2013). Genotiplərin arasında olan morfogenetik reaksiyalarının fərqi qida mühitinin fitohormonal tərkibinin dəyişməsi yolu ilə aradan qaldırılmışdır. Bu yanaşmanın istifadəsi zamanı eyni morfogenetik reaksiyanı göstərən və regenerasiya qabiliyyətini uzun müddət saxlayan embriogen toxumaların alınması mümkünlüyü göstərilmişdir.

In vitro texnologiyasında istifadə edilən eksplant tiplərinin effektivliyi haqqında da olan informasiya bir qədər ziddiyyətli xarakter daşıyır. Əvvəlki illərdə taxıl bitkilərindən *in vitro* şəraitində regenerasiyanın alınması üçün yalnız yetişməmiş rüşeym və tozcuq kulturasından istifadə edilirdi (Foroughi Wehr, 1982; Breiman et al., 1985; Goldstein, Kronstadt, 1986; Ziauddin et al., 1990). Son zamanlar isə taxıl bitkilərinin, o cümlədən, arpanın müxtəlif orqanlarının toxumalarından embriogen kalluslar alınır (Дунаева и др., 2000; Dahleen, Bregitzer 2002; Ковалева, 2000; Чернов, Пендинен, 2011). Müəlliflər qeyd edirlər ki, ilkin kallusların alınması məqsədilə istifadə edilən eksplantların regenerasiya effektivliyi eksplantın inkişaf mərhələsindən (optimal və ya qeyri-optimal) (Ковалева, 2000; Чернов, Пендинен, 2011) asılı-

dır və təcrübədən təcrübəyə dəyişə bilər (Лытова и др., 1994; Чернов, Пендинен, 2011). Göstərilmişdir ki, regenerasiyanın kamıyyət göstəricisi eksplant tipindən asılı deyil və bəzi eksplantlardan alınmış kallus kütlələrinin morfogenetik potensialı çox aşağı olur (Картель, Манешина, 1977; Исаева и др. 1980). Arpa genotiplərinin aşağı regenerasiya potensialı ilə xarakterizə olmasının səbəbi isə kallus toxumalarının çətin əmələgəlməsi və zəif proliferasiya etməsi ilə izah edilir (Кушнаренко, 1990; Лытова и др., 1994; Ковалева, 2000).

Yuxarıda deyilənləri nəzərə alaraq biz arpa sortlarının yetişməmiş rüşeymlərini süd və mum inkişaf mərhələlərində *in vitro* kulturaya daxil etməklə bu eksplantların kallus- və morfogeneza xüsusiyyətlərinin öyrənilməsinə məqsədəuyğun bilmişik.

MATERIAL VƏ METODLAR

Tədqiqat obyektini kimi, Azərbaycanın Naxçıvan dənizi, Baxarlı, Sadlıq, Qarabaq 22, Qarabaq 7, Dəyənətli, Qarabaq 33, Qudrətli 48, Zəmi sortlarından istifadə edilmişdir.

Eksplant kimi *in vitro* kulturaya nümunələrin süd (1-ci variant) və mum (2-ci variant) inkişaf fazasında izole olunmuş yetişməmiş rüşeymləri daxil edilmişdir.

Eksplantlar 5 dəqiqə ərzində 70 % etanol, 18 dəqiqə ərzində 5% natrium hipoxloritlə ardıcıl sterilizasiya ediləndən sonra, üç dəfə steril su ilə yuyulmuşdular (hər yuyulmada 1dəqiqə). Kallusların induksiyası üçün rüşeymlər 2 mq/l 2,4-dixlorfenoksisirkə turşusu ilə əlavə edilmiş Qamborq (B₅) qida mühitində becərilmişdilər. Kultivasiya qaranlıqda, 26°C temperatur şəraitində aparılmışdır.

Morfogenezin induksiyasını əldə etmək üçün kalluslar 1 mq/l kinetin əlavə edilmiş Qamborq (B₅) qida mühitinə əkilmişdilər. Becərilmə 26°C temperatur və işıqlanma şəraitində aparılmışdır.

NƏTİCƏLƏR VƏ ONLARIN MÜZAKİRƏSİ

Tədqiq etdiyimiz arpa genotiplərinin *in vitro* metodu vasitəsilə öyrənilməsi üçün regenerasiyanın stabil alınması şəraiti müəyyən olunmalıdır. Bu məqsədlə biz müxtəlif eksplantların kallus əmələgətirmə və regenerasiya effektivliyini öyrənmək üçün *in vitro* kulturaya arpanın toxum (Asədova, Garibov, 2016), yetişmiş rüşeym, etiolizə edilmiş cücərti (Əsədova, 2015; Əsədova, 2016) və hazırkı işdə süd və mum inkişaf fazasında təcrid edilmiş yetişməmiş rüşeymlərini daxil etmişik.

Müşahidələr göstərdi ki, sortdan asılı olmayaraq mum mərhələsində inokulyasiya edilmiş rüşeymlərin kallus əmələgətirmə qabiliyyəti süd

mərhələsinə nisbətən daha effektiv idi. Tədqiqatın 2-ci variantında öyrənilən hər bir sortun eksplantları 5-7 gündən sonra proliferasiya edən kallus kütlələrini əmələ gətirirdilər. 1-ci variantda isə kallus toxumalarını Naxçıvan dənizi, Baxarlı, Sadlıq, Qarabaq 7, Dəyənətli, və Zəmi sortlarının eksplantlarından almaq mümkün oldu. 30 gün ərzində aparılmış becərilmə müddətində Qarabaq 22, Qarabaq 33, Qudrətli 48 sortlarının süd mərhələsində inokulyasiya edilmiş rüşeymlərində kallus əmələ gəlməmişdir, yalnız bölünməyən ayrı-ayrı kallus hüceyrələri müşahidə edilirdi. Əvvəlki illərdə eksplant kimi yetişmiş rüşeym və toxumlardan istifadə etdiyimiz zaman həm Qarabaq 33, həm də Qudrətli 48 sortlarından kallus kulturasiya alınmışdır. Hətta Qudrətli 48 sortu kallusogeneza prosesinin intensivliyi ilə seçilirdi (Əsədova, 2015.). Qarabaq 22 sortu ilkin eksperimentlərdə olduğu kimi hazırkı təcrübədə də kallus əmələgətirmə nəqteyi-nəzərindən qeyri-perspektiv sort olmuşdur. Bu sortun *in vitro* kulturada çoxaldılmasının çətinliyini bəzi bitkilərdə olduğu kimi, genotipin xüsusiyyəti ilə izah etmək olar (Картель, Манешина, 1977; Лытова и др., 1994).

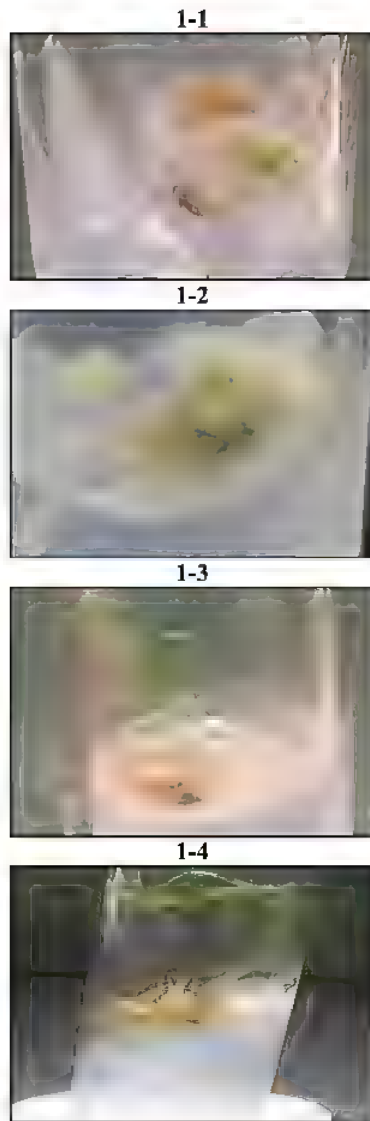
Qarabaq 33 və Qudrətli 48 sortlarının süd mərhələsində izole edilmiş eksplantlarından kallus toxumalarının alınmaması faktı isə becərilmə mühitinin rüşeymlərin dedifferensiasiyası üçün qeyri-optimal olduğunu göstərir. Qida mühitinin hormonal tərkibinin bitkilərdə kallus əmələgəlmə prosesinə bilavasitə təsiri haqqında ədəbiyyatda kifayət qədər məlumat var (Исаева и др., 1980; Hanzel et al., 1985; Лытова и др., 1994; Mano et al., 1994; Dahleen, Bregitzer, 2002). Hətta kallus induksiyası zamanı istifadə edilən 2,4-D-nin normal regenerant bitkilərin alınmasında oynadığı rolu haqqında informasiya mövcuddur (Powell, Dunwell, 1987; Asədova, 2002; Бишимбаева и др., 2013).

Bizim tədqiqatda aldığımız morfogeneza qabiliyyətli kallus kütlələrinin strukturu ilk əvvəl bərk olub, morfogenezin induksiyası zamanı isə tədricən yumşalırdı, bəzi kalluslarda isə hüceyrələrin zəif sulanması müşahidə edilirdi (Şəkil 1-1).

Morfogenezin induksiyası zamanı embriogeneza, rizogeneza, gemmogeneza və gemmorizogeneza (Şəkil. 1) halları qeydə alınmışdır.

Regenerant bitkilərtəcrübənin yalnız 2-ci variantında alınmışdır. Tədqiq edilən sortlardan ən yaxşı nəticələr Dəyənətli sortunun hüceyrə toxumasında qeydə alınmışdır.

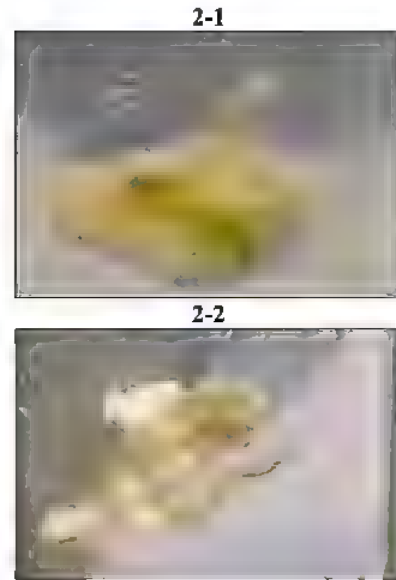
Təcrübənin 1-ci variantında fikse edilmiş vaxtda kallusların üzərində meristem ocaqlarının əmələ gəlməsinə baxmayaraq, regenerant bitkilərini almaq mümkün olmadı. Kalluslarda kök və gövdənin əmələ gəlməsinin yalnız başlanğıc mərhələləri müşahidə edilirdi ki, orqanların böyümə sürətinin çox zəif olması səbəbindən, onlar inkişafdan qalırdılar və morfogeneza prosesi başa çatmamışdı (Şəkil 2).



Şəkil 1. Kallus toxumalarında embriogeneza (1-1), rizogeneza (1-2), qemmozogeneza (1-3) və qemmorizogeneza (1-4)

Ehtimal var ki, istifadə etdiyimiz becərilmə şəraiti, xüsusilə də mühitin fitohormonal tərkibi süd fazasında inokulyasiya edilmiş rüşeymlər üçün qeyri-optimal olmuşdur, buna görə də təsvir etdiyimiz variantda biz morfogenezin normal gedişinə nail ola bilmədik. Lakin əldə etdiyimiz ədəbiyyat məlumatlarına görə donlu bitkilərin *in vitro* kulturasında regenerasiya proseslərinin induksiyasının bilavasitə rüşeymin inkişaf fazası ilə sıx bağlı olduğu göstərilmişdir (Кушнаренко, 1990; Дунаева и др., 2000; Ковалева, 2000; Круглова, Касатанова, 2009). Baxmayaraq ki, qida mühitinə 2,4-D-nin əlavə edilməsi əsas şərtlərdən biri sayılır (Hanzel et al., 1985; Powell, Dunwell, 1987; Dahleen, Bretzger, 2002; Бишимбаева и др., 2013), bu hormon analoqunun eyni qatılıqlarında müxtəlif inkişaf

fazasında olan rüşeymlərdən fərqli morfofizioloji reaksiyalar alınmışdır. Nəzarət variantlarında eksplantların həssaslığının 2,4-D-ə asılı olmaması isə müəllifləri belə fikrə gətirib ki, *in vitro* şəraitində rüşeymlərin hüceyrələrindən morfogen kallusların formalaşması üçün əsas və vacib şərt inokulyasiya zamanı eksplant hüceyrələrinin sitoloji statusunun, yəni meristemlik qabiliyyətinin olmasıdır (Ковалева, 2000; Круглова, Касатанова, 2009).



Şəkil 2. Süd inkişaf fazasında inokulyasiya edilmiş rüşeymlərin kallus toxumalarında meristematik ocaqlar: gövdənin (2-1) və kökün əmələ gəlməsinin başlanğıc mərhələsi (2-2)

Ümumiyyətlə, müəlliflərin əksəriyyəti yetişməmiş rüşeymlərin hüceyrələrini *in vitro* morfogenezdə nəyinki kompetent, hətta bütün morfogen imkanları olan və bu prosesi müxtəlif yollarla həyata keçirən meristematik hüceyrələrin sələfi sayırlar (Дунаева и др., 2000; Круглова Касатанова, 2009). Bəzi müəlliflər bu totipotent bitki hüceyrələrini sütun hüceyrələrin analoqu kimi qiymətləndirirlər (Гапоненко и др., 1985; Круглова, Касатанова, 2009).

Bizim tədqiqatda aldığımız nəticələrin əsasında deyə bilərik ki, tədqiqatda istifadə etdiyimiz arpa bitkilərindən 2016 ildə təcrid olunmuş və mum fazasında inokulyasiya edilən yetişməmiş rüşeymləri morfogeneza cəhətdən becərilmə şəraitinə daha yaxşı kompetentlik göstərmişdilər.

ƏDƏBİYYAT

- Əsədova S.Ş. (2015) Arpanın yerli seleksiya sort və sortnümunələrinin *in vitro* kulturaya daxil edilməsi. *AMEA Botanika institutunun elmi əsərləri*, XXXV: 173-178
- Əsədova S.Ş. (2016) Arpanın kallus toxumasının induksiyasına ammonium nitratın təsiri. *AMEA Xəbərləri, biol. və tibb elmləri*, 71(№1): 25-29.
- Акперов З.И., Мамедов А.Т. (2007) Информационная система по генетическим ресурсам растений Азербайджана [Электронный ресурс]. *Современные проблемы науки и образования*, 6: 9-13 (http://www.science-education.ru/download/2007/06/2007_06_01.pdf).
- Асадова С.Ш. (2002) Оптимизация питательных сред для микроразмножения люцерны. *AMEA-nın Xəbərləri, biol. elmləri seriyası*, №1-6: 365-372.
- Асадова С.Ш., Гарибов З.А. (2016) Введение в культуру *in vitro* некоторых сортообразцов ячменя, интродуцированных из Международного центра ICARDA. *Факторы экспериментальной эволюции организмов*. Киев, 19: 64-67.
- Бишимбаева Н.К., Амирова А.К., Карабаев М.К., Рахимбаев И.Р. (2013) Преодоление генотипической зависимости регенерации растений *in vitro* у зерновых злаков *Материалы X Международной конференции «Биология клеток растений in vitro и биотехнология»*. Казань: с. 101.
- Гапоненко А.К., Мунтян Г.А., Маликова Н.И., Созинов А.А. (1985) Регенерация растений пшеницы. *Цитология и генетика*, 19(№5): 335-342.
- Данные Государственного комитета по статистике Азербайджанской Республики (2014) <http://www.stat.gov.az/source/agriculture>
- Дунаева С.Е., Ковалева О.Н., Голубева Е.А., Москалева Г.И., Козырева О.Г. 2000. Способность незрелых зародышей к образованию растений-регенерантов в культуре *in vitro* у ранне- и позднеспелых сортов ячменя. 2. Морфологическая дифференциация зародышей как показатель компетентности их клеток к регенерации растений. *Физиология растений*, 47: 58-64.
- Исаева Г.А., Шумный В.К., Першина Л.А. (1980) Изучение особенностей каллусогенеза у разных видов ячменя. *Изв. Сибирского отд. АН СССР, сер. биологические науки*, 1(5): 70-74.
- Картель Н.А. Манешина Т.В. (1977) Каллусообразование у разных по генотипу растений ячменя. *Цитология и генетика*, 11(№6): 486-490.
- Ковалева О.Н. (2000) Цитологические аспекты регенерации сортов ячменя. *Автореф. дис. на соискан. учен. степени канд. биол. наук: спец. 03.00.05 «Ботаника»*. Санкт-Петербург: 19 с.
- Круглова Н.Н. (2008) Периодизация развития зародыша пшеницы для биотехнологических исследований. *Аграрная Россия*, №3: 20-22.
- Круглова Н.Н., Касатонина А.А. (2009) *Физиология и биохимия культурных растений*, 41(№2): 124-131.
- Кушнарченко С.В. (1990) Морфогенез и регенерация в культуре тканей пшеницы. *Автореф. канд. дисс.* Душанбе: 22 с.
- Лутова Л.А., Бондаренко Л.В., Вузовкина И.С. и др. (1994) Влияние генотипа растения на регенерационные процессы. *Генетика*, 30(№8): 106-1074.
- Мамедов З.А., Алиев Э.Б., Талаи Д.М., Мусавев А.Д. (2010) Роль и перспективы международного сотрудничества в развитии селекции ячменя в Азербайджане. *Сборник научных трудов АЗНИИЗ*, 12: 89-91.
- Чернов В.Е., Пендин Г.И. (2011) Сравнительная оценка каллусогенеза и регенерации у различных видов ячменя. *Сельскохозяйственная биология*, №1: 44-53.
- Breiman A. (1985) Plant regeneration from *Hordeum spontaneum* and *Hordeum bulbosum* immature embryo derived calli. *Plant Cell Rep.*, 2: 70-73.
- Dahleen L.S., Bregitzer P. (2002) An improved media system for high regeneration rates from barley immature embryo derived callus cultures of commercial cultivars. *Crop Sci.*, 42: 934-938.
- Foroughi W.B., Friedt W., Wenzel G. (1982) On the genetic improvement of androgenic haploid formation in *Hordeum vulgare* L. *Theor. Appl. Genet.*, 62: 233-239
- Goldstein C.S., Kronstadt W.E. (1986) Tissue culture and plant regeneration from immature embryo explants of barley *Hordeum vulgare* L. *Theor. Appl. Genet.*, 71: 631-636
- Hanzel J.J., Miller L.P., Brinkman M.A. et al. (1985) Genotype and media effects on callus formation and regeneration in barley. *Crop Sci.*, 25(1): 27-31.
- Mano Y., Rikishi K., Yasuda S. (1994) Генетические исследования роста каллуса и регенерация растений из незрелых зародышей ячменя. *Bull. Res. Inst. Bioresour. Okayama Univ.*, 2(1): 43-53.
- Powell W., Dunwell J.M. (1987) *In vitro* genetics of barley (*Hordeum vulgare* L.): Response of immature embryos to 2,4-dichlorophenoxyacetic acid *Heredity*, 8: 75-80.
- Ziauddin A., Simon E., Kasha K.J. (1990) Improved plant regeneration from shed microspore culture in barley (*Hordeum vulgare* L.) cv. Igri. *Plant Cell Reports*, 90: 69-72.

**Некоторые Особенности Процессов Каллусо- и Морфогенеза,
Индукцированных из Незрелых Зародышей Ячменя**

С.Ш. Асадова^{1,2}

¹*Институт молекулярной биологии и биотехнологий НАН Азербайджана*

²*Научно-исследовательский институт земледелия МСХ Азербайджана*

Незрелые зародыши сортов ячменя местной селекции на стадии молочной и восковой зрелости культивировались *in vitro* на питательных средах с одинаковым фитогормональным составом. Изучались особенности процессов каллусо- и морфогенеза, индуцированных из эксплантов разной стадии зрелости.

Ключевые слова: Ячмень, *in vitro*, незрелый зародыш, каллус, морфогенез

**Some Peculiarities of Calluso-and Morphogenesis Indused from
Immature Embryos of Barley**

S.Sh. Asadova^{1,2}

¹*Institute of Molecular Biology and Biotechnologies, Azerbaijan National Academy of Sciences*

²*Research Institute of Crop Husbandry, Ministry of Agriculture of the Republic of Azerbaijan*

Immature embryos of barley varieties of domestic breeding were cultured *in vitro* on nutrient media with the same phytohormonal composition at the stages of milk and wax ripeness. The peculiarities of the process of callus- and morphogenesis induced from explants at various stages of maturity were investigated.

Keywords: Barley, *in vitro*, immature embryos, callus, morphogenesis

Chenopodiaceae Və Poaceae Fəsilələrinin Bəzi Növlərində C₄-siklini Fermentlərinin Aktivliyinin Və Kinetik Parametrlərinin Tədqiqi

T.Y. Orucova*, U.A. Qurbanova, Ü.C. Mustafayeva, Ş.M. Bayramov

AMEA Molekulyar Biologiya və Biotexnologiyalar İnstitutu, Mətbuat prospekti 2A, Bakı AZ1073, Azərbaycan;

*E-mail: orucova.taliya@mail.ru

C₄-fotosintezin müxtəlif yarımtiplərinə aid olan *Salsola dendroides*, *Suaeda altissima*, *Neoa mucronata* (Chenopodiaceae) və *Sorghum bicolor* (Poaceae) növlərində fosfoenolpiruvat karboksilaza (PEPC), alaninaminotransferaza (AlAT), aspartataminotransferaza (AsAT) fermentlərinin aktivliyi və kinetik parametrləri substratın qatılığından və temperaturdan asılı olaraq öyrənilmişdir. NADP-ME yarımtipinə aid olan *S. bicolor* və *N. mucronata* növlərində C₄-siklinin ilkin fermenti olan fosfoenolpiruvat karboksilazanın aktivliyi NAD-ME yarımtipinə aid olan *S. dendroides* və *S. altissima* növləri ilə müqayisədə daha yüksək olmuşdur. Göstərilmişdir ki, alaninaminotransferaza və aspartataminotransferaza üçün reaksiyanın maksimal sürəti (V_{max}) *S. dendroides* və *S. altissima* növlərində daha yüksəkdir. Tədqiq olunan növlərdə temperaturun 5°C-dən 15°C-yə qədər yüksəlməsi fosfoenolpiruvat karboksilaza fermentinin aktivliyinin 3-4 dəfəyə qədər artmasına səbəb olmuşdur. Müəyyən edilmişdir ki, fosfoenolpiruvat karboksilaza fermentinin maksimal aktivliyi 35-45°C intervalında dəyişir.

Açar sözlər: Chenopodiaceae, Poaceae, fosfoenolpiruvat karboksilaza, alanin aminotransferaza, aspartat aminotransferaza

GİRİŞ

Ali bitkilərin 19 fəsiləsində fotosintezin C₄ yolu müşahidə olunur. C₄ fotosintezi həyata keçirən bitki növləri Azərbaycanın quraqlıq və yarımquraq ərazilərində yayılmış *Chenopodiaceae*, *Euphorbiaceae*, *Portulacaceae*, *Zygophyllaceae* və *Polygonaceae* fəsilələrinin nümayəndələri arasında rast gəlinir. Həmçinin *Poaceae* (təxminən 4600 növ, ümumi miqdarın 61%), *Cyperaceae* (1330 növ, ümumi miqdarın 18%-i) və *Chenopodiaceae* (təxminən 550 növ, ümumi miqdarın 7%) fəsilələrinin əksər nümayəndələri fotosintezin C₄ yolunu həyata keçirirlər (Sage et al. 1999; Pyankov et al. 2001). C₄ bitkilərin əksəriyyəti üçün karbonun fiksasiyasının karboksilləşmə və dekarboksilləşmə reaksiyalarının həyata keçirilməsində iki hüceyrə tipi mezofil hüceyrələr (MH) və örtük topa hüceyrələri (ÖTH) iştirak edirlər (Offermann et al., 2015).

C₄-fotosintez dekarboksilləşdirici fermentlərin. NADP-dən asılı malik enzim (NADP-ME), NAD-dan asılı malik enzim (NAD-ME) və fosfoenolpiruvatkarboksikinazanın (PEP-KK) iştirakından asılı olaraq, üç yarımtipə bölünür: NADP-ME, NAD-ME və PEPCK (Fahnenstich et al., 2008; W. Yu et al., 2014). NADP-ME yarımtipinə aid olan bitkilər təbiətdə daha geniş yayılmışdır və fotosintetik toxumalar arasında mübadilənin əsas metabolitləri malat

və piruvatdır. NAD-ME yarımtipinə aid bitkilərdə isə aspartat və alanindir. PEPCK yarımtipinə aid olan bitkilərdə isə mübadilənin əsas metaboliti aspartatdır. PEPCK yarımtipinə aid olan bitkilərə təbiətdə az təsadüf olunur. Son dövrlərdə belə güman edilir ki, C₄ növlər arasında qarışıq yarımtiplər də mövcuddur və C₄ fotosintezin PEPCK yarımtipi ya NADP-ME və ya NAD-ME yarımtipi ilə birlikdə fəaliyyət göstərir (Furbank, 2011).

Karbonun fiksasiyasının ilkin karboksilləşmə reaksiyası MH-də baş verir və bütün C₄ bitkilərdə bu reaksiyanı həyata keçirən fosfoenolpiruvat karboksilaza (PEPC, EC 4.1.1.3) fermentidir (Sage, 2004; Sommer et al., 2012). PEPC ilkin karboksilaza kimi fəaliyyət göstərərək, CO₂ qazını fosfoenolpiruvatla (PEP) birləşdirərək dörd karbonlu iki əsaslı oksaloasetat turşusu əmələ gətirir (Sage, 2004; Sommer et al., 2012). Sonra oksaloasetat malat və ya aspartata çevrilir. Karboksilləşmə mərhələsində əmələ gələn üzvi dikarbon turşularının (malat, aspartat) dekarboksilləşməsi isə ÖTH-də baş verir. ÖTH-a daşınan C₄-turşular dekarboksilazaların iştirakı ilə parçalanır, CO₂ ayrılır və Kalvin tsiklinə qoşulur. Hər iki karboksilləşmə reaksiyaları bir-biri ilə müsbət korrelyasiya təşkil edir (Furbank, 2011).

Alaninaminotransferaza (AlAT, EC 2.6.1.2) fermenti metabolik proseslərdə həlledici rol oynaya

yan fermentlərdən biridir. Bu ferment alanin və 2-oksoqlütaratın piruvata və qlütamata çevrilməsini kataliz edir. Pirodoksalfosfatdan asılı olan bu ferment bitki metabolizmində, xüsusilə də ilkin karbon metabolizmində və aminturşuların sintezində açar rolunu oynayır (Kendziorok et al., 2012; Duff et al., 2012; McAllister et al., 2013). Həmçinin, alaninaminotransferaza fototənəffüsün və bəzi bitkilərdə peroksisomlarda və mitoxondridə metabolizmin tənzimlənməsində iştirak edir (Shrawat et al., 2008).

Aspartataminotransferaza (AsAT, EC 2.6.1.1) bəkilərin müxtəlif hüceyrə kompartmentlərində əks transaminləşmə reaksiyasını həyata keçirərək, qlütamat və oksalasetatdan aspartat və 2-oksoqlütaratın əmələ gəlməsini kataliz edir (McAllister, 2016). AsAT-ın bir neçə izoforması müxtəlif subhüceyrə orqanoidlərində, sitozolda, xloroplastlarda, mitoxondrilərdə və peroksisomlarda lokalizasiya olunmuşdur (Duff et al., 2012). AsAT fermenti azotun ilkin assimilyasiyasında, reduksiyaedici ekvivalentlərin nəqlində və karbon və azotun müxtəlif hüceyrə komponentləri arasında paylanması mühüm rol oynayır (Torre, 2014; Gaufichon et al., 2015) *Che-nopodiaceae* və *Poaceae* fəsiləsinin nümayəndələri arasında strukturuna və metabolizmdə iştirak edən fermentlərin fiziki kimyəvi parametrlərinə görə bir-birindən kəskin fərqlənən C_4 növlərə rast gəlmək mümkündür. *Chenopodiaceae* fəsiləsinin C_4 növləri arasında iki müxtəlif dekarboksilləşdirici yarım tipə rast gəlinir (Voznesenskaya et al. 2013, Rao 2016, Maier et al. 2011). Lakin bəzi C_4 növlərin hansı yarım tipə aid olması hələ də mübahisəlidir. Bu məqsədlə *S. dendroides*, *S. atissima*, *N. mucronata* (*Chenopodiaceae*) və *S. bicolor* (*Poaceae*) növlərində PEPC, ALAT və AsAT fermentlərinin aktivlikləri substratın qatılığından və temperaturdan asılı olaraq müqayisəli şəkildə öyrənilmişdir.

MATERIAL VƏ METODLAR

Abşeron yarımadasında təbii mühit şəraitində bitən *S. dendroides*, *S. atissima*, *N. mucronata* və suni iqlim şəraitində yetişdirilmiş *S. bicolor* bitkilərinin yarpaqları və digər fotosintetik orqanları tədqiqat materialı kimi istifadə olunmuşdur. Bitkilər inkişafın aktiv fazasında, iyul avqust aylarında təcrübə üçün toplanmışdır. Maye azotda (77 K) dondurulmuş bitki materialı soyuq həvəndəstdə kvarts qumunun iştirakı ilə tərkibində 100 mM Tris HCl, 10 mM $MgCl_2$, 1 mM etilendiamintetra-asetat turşusu

(EDTA), 5 mM ditiotritol (DTT), 2 mM fenilmetilsulfonil flüorid (PMSF) və 2% (w/v) həll olmayan polivinilpirrolidon (PVP) olan homogenizasiya buferi əlavə edilməklə ferment preparatının alınması üçün istifadə edilmişdir. Alınan homogenat süzüləndən, sonra 5 dəqiqə ərzində 12000g-də sentrifüqalaşdırılmışdır. Alınan supernatant fermentlərinin aktivliklərinin təyini üçün istifadə olunmuşdur. Fermentləri aktivliyi spektrofotometrik üsulla (Ultrospec 3300 Pro, Amersham, USA) 340 nm dalğa uzunluğunda təyin olunmuşdur. Temperaturdan asılı olaraq fermentlərin aktivliyinin dəyişmə dinamikası hər 5°C-dən bir 5 dəqiqə inkubasiya edilməklə ölçülmüşdür.

Fosfoenolpiruvat karboksilaza fermentinin aktivliyini təyin etmək üçün reaksiya mühiti 1 ml-də tərkibində 50 mM Tris-HCl (pH 8,0) 10 mM $MgCl_2$, 2mM DTT, 10mM $NaHCO_3$, 0,2 mM NADH, 10 U/ml MDH, 10 mM PEP və 40µl ferment ekstraktı olan aktivlik buferindən ibarətdir. Sonda reaksiya mühitinə substrat (10 mM PEP) əlavə etməklə reaksiyanın başlanmasına start verilir (Pyankov 2000).

Alaninaminotransferaza aktivliyinin təyini üçün reaksiya mühitinin tərkibi aşağıdakı kimi olmuşdur: 100 mM Tris-HCl(8,5), 2 mM EDTA, 2,5 mM 2-oksoqlütarat, 10 µg/ml pirodoksalfosfat, 10 mM DTT, 12 U/ml laktat dehidrogenaza və 0,2 mM NADH, 20 µl yarpaq ekstraktı və 10 mM L-alanin ibarətdir. Reaksiya L-alanin əlavə edilməklə başlanır (Alfonso & Brüggemann, 2012).

Aspartataminotransferaza aktivliyinin təyini üçün reaksiya mühitinin tərkibi müvafiq olaraq, 100 mM HEPES-KOH (pH 7,4) və 100 mM Tris-HCl (pH 8,5), 2 mM EDTA, 2,5 mM 2-oksoqlütarat, 10µg/ml pirodoksalfosfat, 10 mM DTT, 12 U/ml MDH və 0,2 mM NADH, 20µl yarpaq ekstraktı və 2,5 mM L-aspartatdan ibarətdir. L-aspartatdan əlavə etdikdən sonra reaksiya başlanır (Alfonso & Brüggemann, 2012).

Umumi zülalların miqdarının təyini: Həllolan zülalın ümumi miqdarı spektrofotometrə 0,12%-li Coomassie Brilliant Blue G-250 məhlulunun köməyi ilə təyin olunmuşdur. (Sedmak & Grossberg, 1977). Cədvəl və qrafiklərdə verilən qiymətlər orta riyazi göstəricilər olub orta kvadratik kənara çıxmanı əks etdirirlər. Tədqiqatın nəticələrinin analizi zamanı orta riyazi səhvlər və kənarlanmalar ($M \pm m$) nəzərə alınmışdır. Ölçmələr bir neçə (üçdən az olmayaraq) bioloji və analitik təkrarlarda aparılmışdır. Standart səhvlər və kənarlanmalar Microsoft Office Excel proqramında hesablanmışdır ("Təsviri statistika" opsiyası).

NƏTİCƏLƏR VƏ ONLARIN MÜZAKİRƏSİ

Fosfoenolpiruvat karboksilaza, alaninamino transferaza, aspartataminotransferaza fermentlərinin kinetik parametrləri *Chenopodiaceae* fəsiləsinə aid olan bitən *S. dendroides*, *S. atissima*, *N. mucranata* və *Poaceae* fəsiləsinə aid olan *S. bicolor* bitkisinin müqayisəli şəkildə tədqiq edilmişdir.

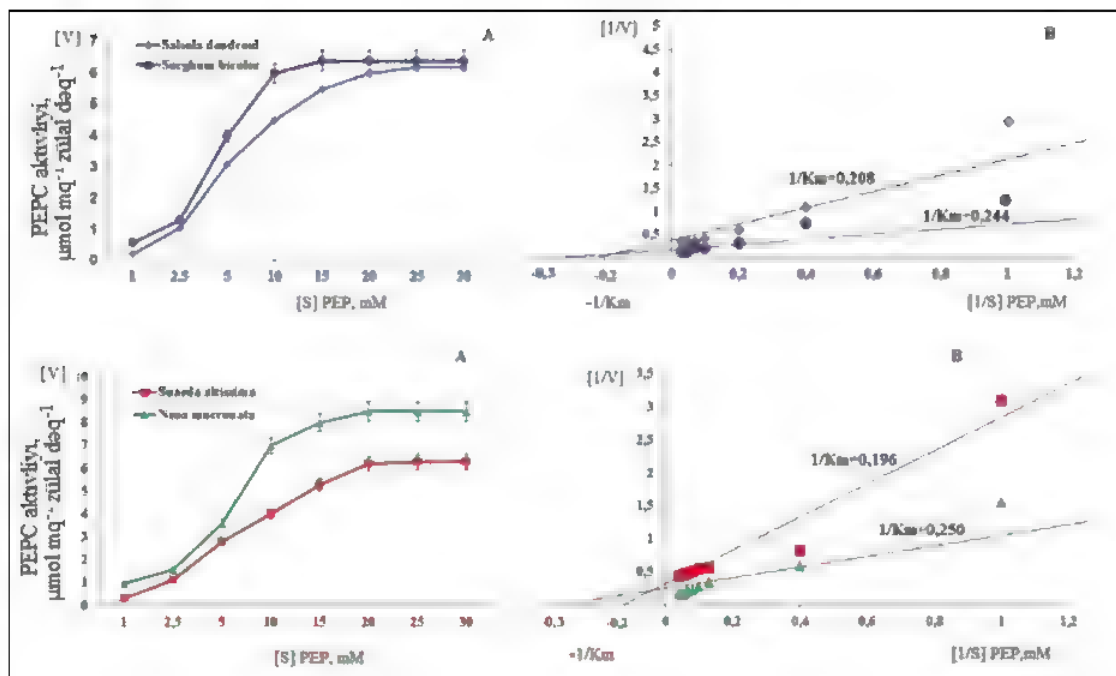
Bu məqsədlə, tədqiq olunan *Chenopodiaceae* və *Poaceae* fəsiləsinin nümayəndələrində inkişafın aktiv mərhələlərində PEPC fermentinin aktivliyi onun substratı olan PEP-dən (1-30 mM) asılı olaraq öyrənilmişdir (Şəkil 1). Şəkil 1-dən göründüyü kimi, *S. dendroides*-in yarpaqlarından ayrılmış sitozol fraksiyasında substratın qatılığının dəyişməsindən asılı olaraq PEPC-nin kataliz etdiyi reaksiyanın kinetik sabitləri K_m $4,8 \pm 0,1$ mM, V_{max} $-5,8 \pm 0,1$ $\mu\text{mol} \cdot \text{mq}^{-1}$ zülal $\text{d} \cdot \text{q}^{-1}$ olmuşdur. *S. altissima* yarpaqlarından ayrılmış sitozol fraksiyasında isə K_m $5,1 \pm 0,1$ mM, V_{max} $6,3 \pm 0,1$ $\mu\text{mol} \cdot \text{mq}^{-1}$ zülal $\text{d} \cdot \text{q}^{-1}$ olmuşdur. NADP-ME yarım tipinin hər iki nümayəndəsində isə yarpaqlarından ayrılmış sitozol fraksiyasında substratın qatılığının dəyişməsindən asılı olaraq PEPC-nin kataliz etdiyi reaksiyanın kinetik sabitlərinin qiyməti bir birinə yaxın olmuşdur. Belə ki, *S. bicolor* və *N. mucranata* yarpaqlarının sitozol fraksiyasında PEPC-nin kataliz etdiyi reaksiyanın substratın qatılığının dəyişməsindən asılı olaraq kinetik sabitləri isə müvafiq olaraq K_m $-4,1$ mM və K_m $-4,0$ mM, V_{max} $-7,0 \pm 0,15$ $\mu\text{mol} \cdot \text{mq}^{-1}$ zülal $\text{d} \cdot \text{q}^{-1}$ və V_{max} $-8,5 \pm 0,2$ $\mu\text{mol} \cdot \text{mq}^{-1}$ zülal $\text{d} \cdot \text{q}^{-1}$ olmuşdur.

Şəkil 1-dən göründüyü kimi, tədqiq olunan bütün bitkilərdə 15 mM PEP-in qatılığında bütün PEPC molekulları ferment-substrat qatılığı əmələ gətirərək fermentin aktiv mərkəzi tam doyma halına keçmişdir. Məhz buna görə də bu vəziyyətdə reaksiyanın sürətinin praktiki olaraq substratın qatılığından asılı olmadığı aydın görünür. Bu nəticələr Tovar-Méndez və əməkdaşlarının (Tovar-Méndez et al., 1998) apardığı tədqiqat işləri ilə uyğunluq təşkil edir. Belə ki, qarğıdalı (*Zea mays*) yarpaq-

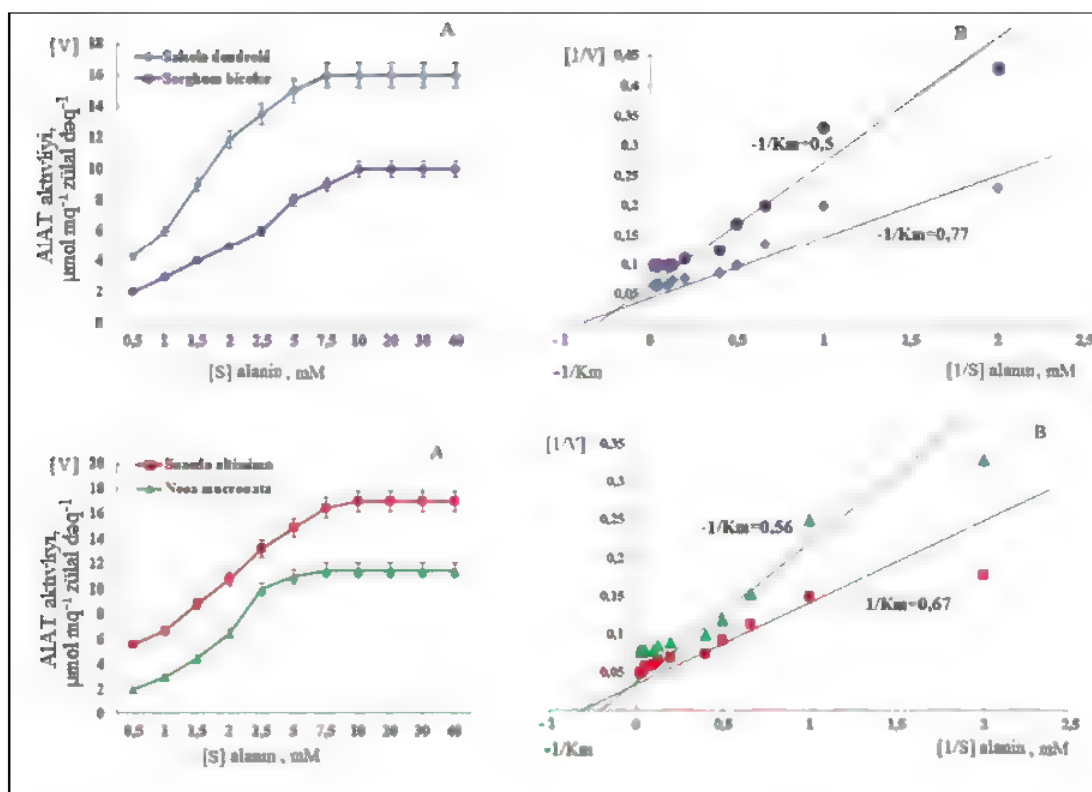
larında əgər substratın allosterik aktivatorlarının qatılıqları aşağı olarsa, substratın fizioloji qatılıqlarından asılı olmayaraq ferment inaktivləşir. Bu isə PEPC-nin əsas kinetik xüsusiyyətlərində dəyişikliklərə səbəb olur. Müxtəlif yarım tiplərə aid olan C_4 bitkilərdə PEPC-nin substratın qatılığından asılı olaraq və tənzimləyicilərin iştirakı ilə dəyişmə dinamikasının tədqiqi mühüm əhəmiyyət kəsb edir (Tovar-Méndez et al., 2000). Bəzi tədqiqatlarda göstərilir ki, allosterik effektorların və PEP-in sitozolik qatılıqlarında PEPC-ni analiz etməklə *in vivo* şəraitini imitasiya etmək lazımdır (Muramatsu, 2015; Takey et al., 2017).

PEPC-nin metabolitik effektorlarla (Doncaster and Leegood, 1987) və ya post transilyasion modifikasiya ilə tənzimlənməsi substratın doymamış qatılıqlarında müşahidə olunduğundan (Huber and Su-giyama, 1986; Echevarría et al., 1994), substratın yüksək qatılıqlarının istifadəsi *in vivo* da PEPC aktivliyinin və tənzimlənmə mexanizmlərinin düzgün qiymətləndirilməməsinə səbəb ola bilər (Alejandro Tovar-Méndez, 2000). PEPC allosterik fermentdir və onun aktivliyi müxtəlif metabolit effektorlarla tənzimlənir (O'Leary et al., 2011a).

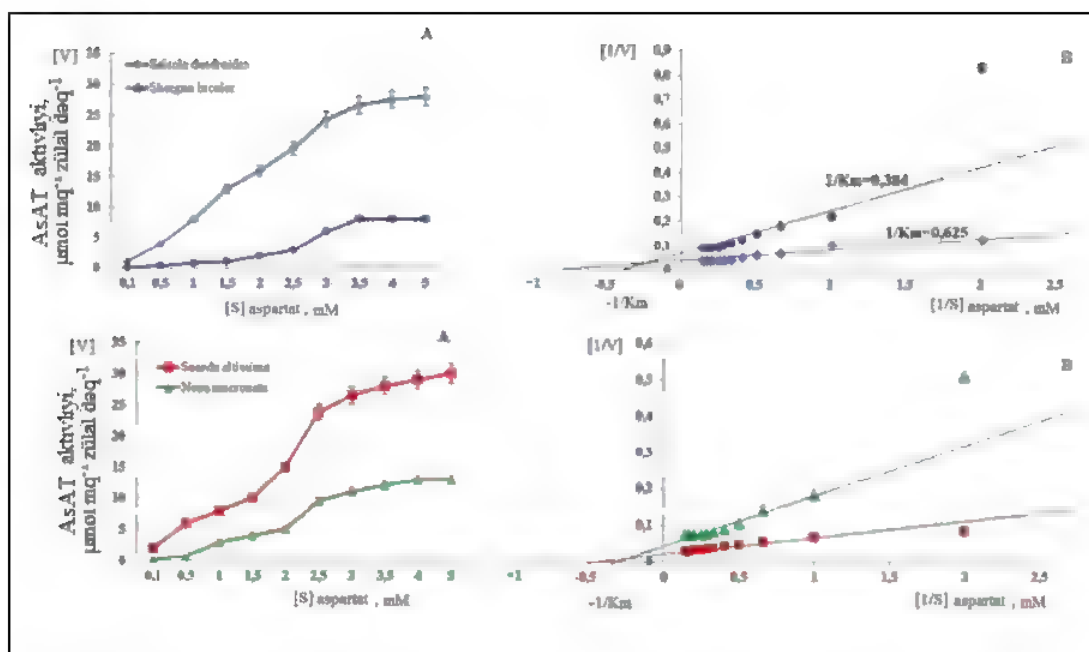
S. dendroides, *S. altissima*, *N. mucranata* və *S. bicolor* bitkilərinin sitozol fraksiyasından alınmış homogenatda PEPC-nin substratdan asılılığının Mi-xaelis-Menten və Laynuver-Berk ayrısı qurulmuşdur. Laynuver-Berk ayrısından görünür ki, substratın yüksək qatılıqlarında müəyyən kənarlanmalar vardır. Bu substrat ingibirləşməsinin mövcudluğunun əsas göstəricisidir. *S. bicolor* və *N. mucranata* bitkilərində ferment PEP-in daha aşağı konsentrasiyasında 15 mM-da, *S. dendroides* və *S. altissima* bitkilərində isə 20-25 mM ferment doyma halına çatır. *S. bicolor* və *N. mucranata* bitkilərində PEPC-nin aktivliyi *S. dendroides* və *S. altissima* bitkiləri ilə müqayisədə daha yüksək olması bitkilərin fizioloji vəziyyəti ilə izah etmək olar.



Şəkil 1. Substratın qatılığının dəyişməsindən asılı olaraq *N. mucronata*, *S. dendroides*, *S. altissima* və *S. bicolor* bitkilərində fosfoenolpiruvat karboksilaza aktivliyinin dəyişmə dinamikası (Laynuver-Berkə görə)



Şəkil 2. Substratın qatılığının dəyişməsindən asılı olaraq *N. mucronata*, *S. dendroides*, *S. altissima* və *S. bicolor* bitkilərində ALAT aktivliyinin dəyişmə dinamikası (Laynuver-Berkə görə)

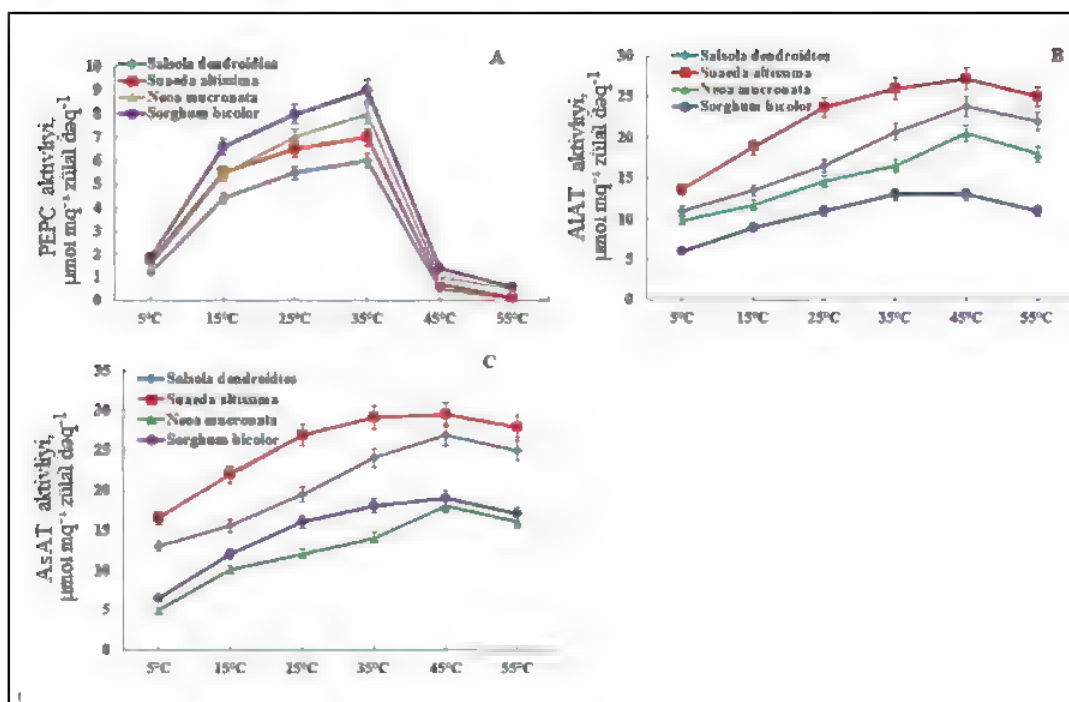


Şəkil 3. Substratın qatılığından dəyişməsindən asılı olaraq *N. mucronata*, *S. dendroides*, *S. altissima* və *S. bicolor* bitkilərində AsAT aktivliyinin dəyişmə dinamikası (Laynuver-Berkə görə)

Cədvəl. *S. dendroides*, *S. altissima*, *N. mucronata* və *S. bicolor* bitkilərində PEPC, ALAT, AsAT-ın kataliz etdiyi reaksiyanın substratın qatılığından asılı olaraq dəyişməsinin bəzi kinetik parametrləri

Species	PEP (1-30) mM		Alanin (0,5-40) mM		Aspartat (0,1-5) mM	
	V_{max}	K_m	V_{max}	K_m	V_{max}	K_m
<i>S. dendroides</i>	5,8±0,1	4,8±0,1	16±0,65	1,3±0,02	28,0±0,7	1,6±0,1
<i>S. bicolor</i>	7,0±0,15	4,1±0,09	10±0,20	2,0±0,08	8,0±0,3	2,6±0,1
<i>Suaeda altissima</i>	6,3±0,1	5,1±0,12	17±0,70	1,5±0,02	30,0±0,8	2,0±0,1
<i>Neoa mucronata</i>	8,5±0,2	4,0±0,09	11,5±0,25	1,8±0,02	13,0±0,3	2,4±0,15

Qeyd: (V_{max} - $\mu\text{mol mg}^{-1}$ zülal dəq⁻¹; K_m mM ilə ifadə olunmuşdur).



Şəkil 4. PEPC (A), AsAT(B), ALAT (C) fermentlərinin aktivliklərinin temperaturdan asılı olaraq dəyişməsi

C₄ bitkilərdə AlAT fermentinin mühüm fizioloji rolu nəzərə alınaraq *Chenopodiaceae* və *Poaceae* fəsilələrinin tədqiq olunan bütün nümayəndələrində alaninin müxtəlif qatılıqlarında AlAT-ın kinetik parametrləri tədqiq olunmuşdur. Şəkil 2-dən göründüyü kimi alanin qatılığı artdıqca reaksiyanın sürəti proporsional olaraq yüksəlir. *S. dendroid* və *S. altissima* bitkilərində reaksiyanın maksimal sürəti müvafiq olaraq $V_{\max} = 16,0 \pm 0,65 \text{ } \mu\text{mol} \cdot \text{mq}^{-1} \cdot \text{zülal} \cdot \text{dəq}^{-1}$ və $V_{\max} = 17,0 \pm 0,70 \text{ } \mu\text{mol} \cdot \text{mq}^{-1} \cdot \text{zülal} \cdot \text{dəq}^{-1}$ $K_m = 1,3 \pm 0,02$ və $K_m = 1,5 \pm 0,02$ olmuşdur. *S. bicolor* və *N. mucronata* bitkilərində isə kinetik sabitlər müvafiq olaraq $K_m = 2,0 \pm 0,08 \text{ mM}$, $V_{\max} = 10,0 \pm 0,2 \text{ } \mu\text{mol} \cdot \text{mq}^{-1} \cdot \text{zülal} \cdot \text{dəq}^{-1}$, $K_m = 1,8 \pm 0,02 \text{ mM}$, $V_{\max} = 11,5 \pm 0,25 \text{ } \mu\text{mol} \cdot \text{mq}^{-1} \cdot \text{zülal} \cdot \text{dəq}^{-1}$ olmuşdur. AlAT-ın fizioloji rolu ilə əlaqədar olaraq *S. dendroides* və *S. altissima* bitkilərində V_{\max} qiyməti *S. bicolor* və *N. mucronata* nisbətən daha yüksəkdir.

Şəkil 3-dən göründüyü kimi, tədqiq olunan bitkilərdə *S. dendroides* AsAT aktivliyinin substratın 0,1–5,0 mM qatılıqlarında dəyişməsi tədqiq olunub. Aspartatın qatılığı artdıqca (4 mM qədər) bütün tədqiq olunan bitkilərdə reaksiyanın maksimal sürəti paralel olaraq yüksəlir. *S. dendroides* və *S. altissima* bitkilərində müvafiq olaraq $V_{\max} = 28,0 \pm 0,7$ və $V_{\max} = 30,0 \pm 0,8$, *N. mucronata* və *S. bicolor* bitkilərinin yarpaqlarından ayrılmiş sitozol fraksiyasında müvafiq olaraq $V_{\max} = 8,0 \pm 0,3$ və $V_{\max} = 13,0 \pm 0,3$ olmuşdur (Cədvəl). *S. dendroides* və *S. altissima* bitkilərində V_{\max} qiyməti *N. mucronata* və *S. bicolor* ilə müqayisədə ~2 dəfə yüksək olması AsAT-ın bu bitkilərdə fizioloji rolu ilə izah oluna bilər. Bu nəticələr digər müəlliflərin məlumatları ilə uyğunluq təşkil edir (Griffith and Vance, 1989; Turano et al., 1992; Yagı et al., 1985).

Ətraf mühitin temperaturundan asılı olaraq, fermentlərin kinetikaşında müxtəliflik müşahidə olunmuşdur. PEPC fermentinin aktivliyi tədqiq olunan növlərdə 5–35°C temperturda artsada, 45°C azalmağa başlayır. Daha yüksək aktivlik *S. altissima* bitkisində müşahidə olunmuşdur. *S. dendroides* yarpaqlarında AsAT fermentinin aktivliyi oxşar şəkildə dəyişmişdir.

Şəkil 4 (A)-dan göründüyü kimi *Chenopodiaceae* fəsilələsinin bəzi nümayəndələrində temperaturun 5–15°C qiymətlərində PEPC-nin aktivliyi 3–4 dəfəyə qədər yüksəlir. 35°C qədər PEPC maksimal aktivlik nümayiş etdirir. Ədəbiyyat məlumatlarına əsasən C₄ fotosintez yüksək temperatur optimumuna (20–40°C) malikdir (Dwyer et al., 2007; Sage et al., 2011). *Chenopodiaceae* fəsilələsinin tədqiq olunan bütün nümayəndələrində 45°C də fermentativ reaksiyanın sürəti kəskin azalır. Bu nəticə digər tədqiqat işləri ilə üstünlük təşkil edir. Temperaturun dəyişməsindən asılı olaraq maksimal sürətin dəyişməsi digər tədqiqatlardan alınmış nəticələrlə uy-

ğunluq təşkil edir (Massad et al., 2007; Boyd, 2015). Şəkildən göründüyü kimi, temperaturun 45°C-yə qədər olan qiymətlərində bütün tədqiq olunan bitkilərdə transferazaların maksimal sürət (V_{\max}) artır. 55°C-də alaninaminotransferaza və aspartatamino-transferaza fermentlərinin aktivliyi azalır.

Fermentlərin yüksək temperaturda aktivlik göstərməsi, görünür transferazaların termostabillik xüsusiyyəti ilə bağlıdır (Turano et al., 1992). AlAT və AsAT fermentləri temperaturun aşağı qiymətlərində daha az aktivlik göstərir və buna müvafiq olaraq aktivləşmə enerjisinin (E_a) qiyməti də aşağı olur.

Alınan nəticələrə əsasən, fermentin aktivliyi ilə mühitin işıq və temperatur amilləri arasında korrelyasiyanın mövcud olduğu göstərilmişdir. Müəyyən edilmişdir ki, *Chenopodiaceae* və *Poaceae* fəsilələrinin bəzi nümayəndələrində PEPC, AlAT, AsAT fermentləri üçün reaksiyanın maksimal sürəti (V_{\max}) fərqli dəyişir. Bu isə C₄ fotosintezin tədqiq olunan NAD-ME və NADP-ME yarımtipinə aid bitkilərin metabolizmində baş verən adaptiv dəyişikliklərin mühitə adaptasiyası ilə izah oluna bilər.

ƏDƏBİYYAT

- Alejandro T.-M., Carlos M.-J., Rosario A.M.-C. (2000) Physiological implications of the kinetics of maize leaf phosphoenolpyruvate carboxylase. *Plant Physiology*, **123**: 149–160.
- Alfonso S.U., Brüggemann W. (2012) Photosynthetic responses of a C₃ and three C₄ species of the genus *Panicum* (s.l.) with different metabolic sub-types to drought stress. *Photosynthesis Research*, **112**: 175–191.
- De la Torre F., Cañas R.A., Pascual B.M., Avila C., Cánovas F.M. (2014) Plastidic aspartate aminotransferases and the biosynthesis of essential amino acids in plants. *J. Exp. Bot.*, **65**: 19.
- Doncaster H.D., Leegood R.C. (1987) Regulation of phosphoenolpyruvate carboxylase activity in maize leaves. *Plant Physiol.*, **84**(1): 82–87.
- Duff S.M.G., Rydel T.J., McClerren A.L., Zhang W., Li J.Y. et al. (2012) The enzymology of alanine aminotransferase (AlaAT) isoforms from *Hordeum vulgare* and other organisms, and the HvAlaAT crystal structure. *Arch. Biochem. Biophys.*, **518**(1): 90–101.
- Fahnenstich H., Saigo M., Niessen M. et al. (2008) Malate and fumarate emerge as key players in primary metabolism: *Arabidopsis thaliana* overexpressing C4-NADP-ME offer a way to manipulate the levels of malate and to analyse the physiological consequences. In: *Photosynthesis Energy from the Sun* (eds. J.F. Allen, E. Gantt, J.H. Golbeck, B. Osmond). Springer-Verlag: p. 971–975.

- Furbank R.** (2011) Evolution of the C_4 photosynthetic mechanism: are there really three C_4 acid decarboxylation types? *Journal of Experimental Botany*, **62**: 1-6
- Gaufichon L. et al.** (2016) Asparagine metabolic pathways in Arabidopsis. *Plant Cell Physiol.*, **57**(4): 675-689.
- Griffith S.M., Vance C.P.** (1989) Aspartate amino-transferase in alfalfa root nodules. I. Purification and partial characterization. *Plant Physiol.*, **90**(4): 1622-1629.
- Huber S.C., Sugiyama T.** (1986) Changes in sensitivity to effectors of maize leaf phosphoenolpyruvate carboxylase during light/dark transitions. *Plant Physiol.*, **81**: 674-677.
- Kendziorek M., Paszkowski A., Zagdanska B.** (2012) Differential regulation of alanine aminotransferase homologues by abiotic stresses in wheat (*Triticum aestivum* L.) seedlings. *Plant cell reports*, **31**: 1105-1117.
- Maier A., Zell M.B., Maurino V.G.** (2011) Malate decarboxylases: evolution and roles of NAD(P) ME isoforms in species performing C_4 and C_3 photosynthesis. *J. Exp. Bot.*, **62**: 3061-3069.
- McAllister C.H., Good A.G.** (2015) Alanine aminotransferase variants conferring diverse NUE phenotypes in *Arabidopsis thaliana* *PLoS One*, **10**: 1-27
- McAllister C.H., Facette M., Holt A., Good A.G.** (2013) Analysis of the enzymatic properties of a broad family of alanine aminotransferases. *PLoS ONE*, **8**: e55032
- McAllister C.H., Wolansky M., Good A.G.** (2016) The impact on nitrogen-efficient phenotypes when aspartate aminotransferase is expressed tissue-specifically in *Brassica napus*. *New Negatives in Plant Science*, **3-4**: 1-9.
- Muramatsu M., Suzuki R., Yamazaki T., Miyao M.** (2015) Comparison of plant-type phosphoenolpyruvate carboxylases from rice: identification of two plant-specific regulatory regions of the allosteric enzyme. *Plant Cell Physiol.*, **56**(3): 468-480.
- O'Leary B., Park J., Plaxton W.C.** (2011) The remarkable diversity of plant PEPC (phosphoenolpyruvate carboxylase): recent insights into the physiological functions and post-translational controls of non-photosynthetic PEPCs. *Biochem. J.*, **436**: 15-34
- Offermann S., Friso G., Doroshenko K.A., Sun Q. et al.** (2015) Developmental and subcellular organization of single-cell C_4 photosynthesis in *Bienertia sinuspersici* determined by largescale proteomics and cDNA assembly from 454 DNA sequencing. *J. Proteome Res.*, **14**: 2090-2108.
- Pyankov V., Ziegler H., Kuz'min A., Edwards G.** (2001) Origin and evolution of C_4 photosynthesis in the tribe *Salsola* (*Chenopodiaceae*) based on anatomical and biochemical types in leaves and cotyledons. *Plant Systematics and Evolution.*, **230**: 43-74.
- Pyankov V.I., Voznesenskaya E.V., Kuz'min A.N. et al.** (2000). Occurrence of C_3 and C_4 photosynthesis in cotyledons and leaves of *Salsola* species (*Chenopodiaceae*). *Photosynth. Res.*, **63**: p. 69-84
- Rao X., Dixon R.A** (2016) The differences between NAD-ME and NADP-ME subtypes of C_4 photosynthesis: more than decarboxylating enzymes. *Front. Plant Sci.*, **7**: 1525.
- Sage R.F.** (2004) The evolution of C_4 photosynthesis. *New Phytologist.*, **161**: 341-370.
- Sage R.F., Wedin D.A., Li M.** (1999) The biogeography of C_4 photosynthesis. In: *C₄ Plant Biology* (eds. R.F.Sage, R.K.Monson). USA: Academic Press, p. 313-373.
- Sage R.F., Christin P.A., Edwards E.J.** (2011) The C_4 plant lineages of planet Earth. *Journal of Experimental Botany*, **62**: 3155-3169.
- Sedmak J., Grossberg S.** (1977) A rapid, sensitive and versatile assay for protein using Coomassie brilliant blue G-250. *Anal. Biochem.*, **79**: 544-552.
- Shrawat A.K., Carroll R.T., DePauw M., Taylor G.J., Good A.G** (2008) Genetic engineering of improved nitrogen use efficiency in rice by the tissue-specific expression of alanine aminotransferase. *Plant Biotechnol J.*, **6**: 722-732.
- Sommer M., Bräutigam A., Weber A.P.M.** (2012) The dicotyledonous NAD malic enzyme C_4 plant *Cleome gynandra* displays age-dependent plasticity of C_4 decarboxylation biochemistry. *Plant Biology*, **14**: 621-629.
- Takeya M., Okota M.YH., Osanai T.** (2017) Allosteric inhibition of phosphoenolpyruvate carboxylases is determined by a single amino acid residue in cyanobacteria *Sci. Rep.*, **7**: 41080.
- Tovar-Méndez A., Rodríguez-Sotres R., López-Valentín D., Muñoz-Clares R.A.** (1998) Re-examination of the roles of PEP and Mg²⁺ in the reaction catalysed by the phosphorylated and non-phosphorylated forms of phosphoenolpyruvate carboxylase from leaves of *Zea mays*: effects of the activators glucose 6-phosphate and glycine *Biochem. J.*, **332**: 633-642.
- Tovar-Méndez A., Mújica-Jiménez C.** (2000) Physiological implications of the kinetics of maize leaf phosphoenolpyruvate carboxylases. *American Society of Plant Physiologists vol.*, **123**(1): 149-160.
- Turano F.J., Weisemann J.M., Matthews B.F.** (1992) Identification and expression of a cDNA clone encoding aspartate aminotransferase in carrot. *Plant Physiol.*, **100**: 374-381.

- Voznesenskaya E. V., Koteyeva N.K., Akhani H., Roalson E.H., Edwards G.E. (2013) Structural and physiological analyses in *Salsola* (*Che-nopodiaceae*) indicate multiple transitions among C₃, intermediate and C₄ photosynthesis. *Journal of Experimental Botany*, **64**: 3583-3604.
- Wang Y., Brautigam A., Weber A., Zhu X. (2014) Three distinct biochemical subtypes of C₄ photosynthesis? A modeling analysis. *J. of Exp. Botany*, **53**(7): 3568-3578
- Yagi T., Kagamiyama H., Nozaki M., Soda K. (1985) Glutamate-aspartate transaminase from microorganisms. *Methods Enzymol*, **113**: 83-89.
- Dwyer S.A., Ghannoum O., Nicotra A., Von Cammerer S. (2007) High temperature acclimation of C₄ photosynthesis is linked to changes in photosynthetic biochemistry. *Plant, Cell and Environ.*, **30**: 53-66
- Massad R.S., Tuzet A., Bethenod O. (2007) The effect of temperature on C₄-type leaf photosynthesis parameters. *Plant Cell Environ.*, **30**: 1191-1204.
- Boyd R.A., Gandin A., Cousins A.B. (2015) Temperature response of C₄ photosynthesis: biochemical analysis of Rubisco, phosphoenolpyruvate carboxylase and carbonic anhydrase in *Setaria viridis*. *Plant Physiology*, **169**: 1850-1861.

Исследование Активности И Кинетических Параметров Ферментов C₄ Цикла У Некоторых Видов Семейства *Chenopodiaceae* И *Poaceae*

Т. Я. Оруджева, У.А. Курбанова, У.Дж. Мустафаева, Ш.М. Байрамов

Институт молекулярной биологии и биотехнологий НАН Азербайджана

Проведено сравнительное изучение кинетических параметров PEPC, ALAT и AsAT в *S. dendroides*, *S. atissima*, *S. bicolor* и *N. mucranata* в зависимости от концентрации субстрата и температуры. Активность PEPC была выше у *S. bicolor* и *N. mucranata* по сравнению с *S. dendroides* и *S. altissima*. Максимальная скорость реакции (V_{max}) для аланинаминотрансферазы и аспаратаминотрансферазы была выше у *S. bicolor* и *N. mucranata* по сравнению с *S. dendroides* и *S. altissima*. В изученных видах семейства *Chenopodiaceae* повышение температуры от 5°C до 15°C вызывало приблизительно 3-4-х кратное увеличение активности PEPC. Максимальная активность PEPC наблюдалась в интервале 35-45°C. В отличие от PEPC, в связи с термостабильностью трансфераз, активность ALAT и AsAT резко снижалась при 55°C.

Ключевые слова: *Chenopodiaceae*, *Poaceae*, фосфоенолпируваткарбоксилаза, аланинаминотрансфераза, аспаратаминотрансфераза

The Study Of C₄ Cycle Enzyme Activities And Kinetic Properties In Some Species Of The *Chenopodiaceae* And *Poaceae* Families

T.Y. Orujova, U.A. Gurbanova, U.J. Mustafayeva, Sh.M. Bayramov

Institute of Molecular Biology and Biotechnologies, Azerbaijan National Academy of Sciences

Kinetic parameters of PEPC, ALAT and AsAT in the *S. dendroides*, *S. atissima*, *S. bicolor* and *N. mucranata* species have been studied comparatively depending on the substrate concentration and temperature. PEPC activity was higher in *S. bicolor* and *N. mucranata* compared with *S. dendroides* and *S. altissima*. The maximum reaction rate (V_{max}) for alanine aminotransferase and aspartate aminotransferase was higher in *S. bicolor* and *N. mucranata* compared with *S. dendroides* and *S. altissima*. In the studied species of the *Chenopodiaceae* family the rise in temperature from 5°C to 10°C caused approximately 3-4 fold increase in PEPC activity, and ~1.2-1.3 fold increase was detected for every 10°C rise in temperature. Maximum PEPC activity was observed at 35°C. Contrary to PEPC due to the thermostability of transferases ALAT and AsAT activities sharply decreased at 55°C.

Keywords: *Chenopodiaceae*, *Poaceae*, phosphoenolpyruvate carboxylase, alanine aminotransferase, aspartate aminotransferase

Лихенофлора Азербайджана

С.М. Алвердиева

Институт ботаники НАН Азербайджана, Бадамдарское шоссе, 40, Баку AZ1004, Азербайджан;
E-mail: sevdaaly@gmail.com

Исследовано разнообразие лишайников Азербайджана. В результате обобщения всех лихенологических данных по этому региону, в связи с номенклатурными изменениями, определен уровень разнообразия его лихенофлоры, состоящий из 811 видов, 202 родов и 67 семейств.

Ключевые слова: Лишайники, лихенофлора, семейство, род, вид, Азербайджан

ВВЕДЕНИЕ

Изучение и сохранение биологического разнообразия является одной из важнейших проблем современной биологии. Из-за нерациональной хозяйственной деятельности и антропогенного воздействия на экосистемы происходит разрушение естественных местообитаний лишайников, что приводит к сокращению численности и нередко к исчезновению видов. Поэтому выявление разнообразия лихенофлоры различных регионов, в том числе и Азербайджана имеет немаловажное значение.

Азербайджан расположен в южной части Кавказа на побережье Каспийского моря.

Около половины территории Азербайджана занято горами. На севере - хребет Большого Кавказа, на юге - хребет Малого Кавказа и низменность Куры, на юго-востоке - Талышские горы. Для Азербайджана типична растительность сухих степей, полупустынь и высокогорных альпийских лугов. Сухие низменности покрыты полупустынной и пустынной растительностью, а также эфемерово-субтропической растительностью. Местами встречаются солончаки. Высокие равнины предгорья заняты полынными степями, полупустынями. Южные части Большого Кавказа, некоторые районы Малого Кавказа и Талышские горы покрыты обширными лесами из дуба, граба, бука, каштана, акации, ясеня. Во влажных районах растут тугайные леса, ольховники и ольховолапиновые леса. В высокогорьях распространены субальпийские луга (Azərbaycan Respublikası, 2010).

Несмотря на то, что первые сборы лишайников на территории Азербайджана относятся к XIX столетию, целенаправленное лихенофлористическое исследование начиная с 1936 года было начато известным лихенологом Ш.О. Бархаловым, основной вклад которого отражен в его работах (Бархалов, 1975, 1969, 1983). Исследования Ш.О. Бархалова позже были продолжены В.С. Новрузовым, который обследовал лихено-

флору высокогорий Большого Кавказа (в пределах Азербайджана) (Новрузов, 1990); С.М. Алвердиевой, обследовавшей Абшерон, Малый Кавказ, а также некоторые районы Большого Кавказа (Alverdiyeva, 1992, 2004; Алвердиева, 1987, 1990, 2000, 2004, 2009, 2011, 2012, 2014, 2015, 2016).

В последующем, сведения по лишайникам Азербайджана были дополнены исследованиями Э.А. Новрузова Малый Кавказ: Гаразинский заповедник (Novruzov, 2003, 2004); А.А. Байрамовой

Малый Кавказ: северо-восточные районы (Bayramova, 2006, 2007); Д.Ш. Ганбаровым Нахчыван (Qənbərov, 2006, 2007); Т.Ю. Пашаевым - Нахчыван (Paşayev, 2005, 2008); С.М. Зарбалиевым (Zərbəliyev, 1995).

МАТЕРИАЛЫ И МЕТОДЫ

Основу работы составили оригинальные материалы, собранные на территории Азербайджана в различные годы (1980-1990, 1993-2014 гг.) и литературные данные (Бархалов, 1983; Алвердиева, Новрузов, 2014). Совершены ряд тематических поездок и экспедиций. Плановые исследования проводились маршрутно-полустационарным методом. Обработка и анализ собранного материала проводились в Отделе систематики низших растений Института ботаники НАНА по общепринятой в лихенологии методике в основу которой положен таксономический, географический, экологический и биоморфологический анализ (Определитель..., 1974).

Определение видов лишайников проводилось в основном, по "Определителям", "Флорам" и монографиям отечественных и зарубежных авторов (Бархалов, 1969; Определитель, 1975-1978; 1996, 1998, 2003, 2004, 2008).

Номенклатура таксонов приведена согласно «Списка лихенофлоры России» (2010), «Флоры лишайников России» (2014) с учетом новейших изменений (Arup et al., 2013; Cannon et al., 2008; Otálora et al., 2014 и др.).

В процессе работы были использованы сборы Ш.О.Бархалова, В.С.Новрузова, автора работы и других лихенологов (Э.А.Новрузова, Д.Ш.Ганбарова, Т.Ю.Пашаева, А.А.Байрамовой), а также материалы собранные другими ботаниками и хранящиеся в гербариях отдела споровых растений Ботанического института им. В.Л.Комарова РАН (Санкт-Петербург) и Государственном университете им. Ильи Чавчавадзе, Национальный ботанический сад Грузии.

При проведении биоморфологического анализа использовали работы зарубежных лихенологов (Окснер, 1974; Голубкова, 1974).

РЕЗУЛЬТАТЫ И ОБСУЖДЕНИЕ

В результате обобщения всех лихенологических данных по Азербайджану установлено, что флора лишайников в настоящее время насчитывает 811 видов, относящихся к 202 родам, 67 семействам, 24 порядкам. Из них 30 таксонов являются новыми для Азербайджана, 10- для Кавказа. Надо отметить, что ранее, лихенофлора исследуемого региона включала 828 видов (Алвердиева, 2014). В связи с номенклатурными изменениями, 17 видов из этого списка были переведены в синонимы, что привело к численному сокращению видового состава.

Таксономический анализ показал, что все многообразие лихенофлоры составили представители отдела *Ascomycota*, относящиеся к 7 классам: *Arthoniomycetes*, *Coniocybomycetes*, *Dothidiomycetes*, *Eurotiomycetes*, *Lecanoromycetes*, *Leotiomycetes*, *Lichinomycetes* (Алвердиева, 2016). Наибольшим видовым разнообразием представлен класс *Lecanoromycetes*, объединяющий 685 видов (84% от общего числа видов), 160 родов (79% от общего числа родов), 47 семейств (70% от общего числа семейств). Класс *Eurotiomycetes* включает 51 вид (6,29%), 12 родов (5,91%), 4 семейства (5,97%), *Arthoniomycetes* 38 видов (4,69%), 13 родов (6,44%), 5 семейств (7,46%), *Dothidiomycetes* 23 вида (2,84%), 10 родов (4,95%), 7 семейств (10,4%), *Lichinomycetes* 8 видов (0,99%), 4 рода (1,97%), 2 семейства (3,03%), *Coniocybomycetes* 5 видов (0,62%), 2 рода (0,98%), 1 семейство (1,49%), *Leotiomycetes* 1 вид (0,12%), 1 род (0,49%), 1 семейство (1,49%).

Основной объем видового разнообразия приходится на 12 порядков: *Lecanorales*, *Caliciales*, *Pertusariales*, *Peltigerales*, *Teloschistales*, *Verrucariales*, *Arthoniales*, *Lecideales*, *Ostropales*, *Acarosporales*, *Umbilicariales*, *Rhizocarpaceales* в сумме составляющие 752 вида (93% от общего числа видов). На остальные 12 порядков приходится 47 видов (5,80%) из 22 родов 16 семейств

Основу лихенофлоры составляет порядок *Lecanorales*, включающий 286 видов (35,3%), из 62 родов и 12 семейств. Доминирование порядка *Lecanorales* характерно для лихенофлор умеренной Голарктики.

В составе лихенофлоры 67 семейств. Среднее число видов в семействе 12. Уровень видового разнообразия выше этого среднего показателя имеют 16 семейств: *Parmeliaceae*, *Lecanoraceae*, *Physciaceae*, *Ramalinaceae*, *Teloschistaceae*, *Cladoniaceae*, *Verrucariaceae*, *Lecideaceae* и др. являющиеся ведущими в лихенофлоре исследуемого региона (таблица 1).

Таблица 1. Ведущие по числу видов семейства

Семейство	Число родов	Число видов	% от общего числа видов
<i>Parmeliaceae</i>	30	93	11,5
<i>Lecanoraceae</i>	7	61	7,52
<i>Physciaceae</i>	8	56	6,91
<i>Ramalinaceae</i>	8	55	6,78
<i>Teloschistaceae</i>	15	53	6,53
<i>Cladoniaceae</i>	2	50	6,16
<i>Verrucariaceae</i>	9	46	5,67
<i>Lecideaceae</i>	8	35	4,31
<i>Megasporaceae</i>	4	33	4,07
<i>Acarosporaceae</i>	6	26	3,20
<i>Collemaaceae</i>	7	24	2,96
<i>Pertusariaceae</i>	1	24	2,96
<i>Peltigeraceae</i>	2	21	2,59
<i>Arthoniaceae</i>	2	17	2,09
<i>Graphidaceae</i>	5	13	1,60
<i>Umbilicariaceae</i>	1	13	1,60
Всего:	115	620	76,4%

Эти 16 семейств объединяют 620 видов, т.е. 76,4% от общего числа флоры. На остальные 51 семейств приходится 191 вид (24%). Три семейства *Buelliaaceae* Zahlbr., *Rhizocarpaceae* и *Stereocaulaceae* включают по 12 видов (1,48%). Шесть семейств *Opegraphaceae*, *Ochroleciaceae*, *Caliciaceae*, *Gyalectaceae*, *Arthopyreniaceae*, *Roccelaceae* включают по 6-9 видов. В составе 30 семейств 2-8 видов, 12 семейств являются моновидовыми. Лишайники одновидовых семейств, как правило, не играют значительной роли в растительном покрове.

Доминирование семейств *Parmeliaceae*, *Lecanoraceae*, *Physciaceae*, можно объяснить широкой экологической пластичностью их представителей, которые произрастают на различных субстратах и в разных экологических условиях.

Высокое положение семейства *Teloschistaceae* обусловлено благоприятными условиями местообитаний.

Обилие представителей семейств *Verrucariaceae*, *Lecideaceae*, *Pertusariaceae*, *Rhizocarpaceae* связано с обилием горных пород.

Преобладание семейств *Cladoniaceae*, *Peltigeraceae* обусловлено богатством широколиственных лесов.

В целом, спектр ведущих семейств лишенофлоры Azerbaijan типичен для лишенофлор умеренной Голарктики, где высокий уровень биоразнообразия характерен, прежде всего для семейств *Parmeliaceae*, *Lecanoraceae*, *Physciaceae*, *Ramalinaceae*, *Teloschistaceae*, *Cladoniaceae*.

В составе лишенофлоры Azerbaijan насчитывается 202 рода. Среднее число видов в роде составляет 4,01. Видовое разнообразие выше этого среднего показателя имеют 39 родов (19,3% от общего числа родов), которые объединяют 510 видов, что составляет 63% от общего числа видов. Значительную долю в состав лишенофлоры вносят 18 крупнейших родов: *Cladonia*, *Lecanora*, *Caloplaca*, *Pertusaria*, *Aspicilia*, *Lecidea*, *Rinodina*, *Verrucaria*, *Peltigera*, *Physcia*, *Arhonia*, *Lecania*, *Ramalina*, *Usnea*, *Umbilicaria*, *Bacidia*, *Rhizocarpon*, число видов в которых превышает более 10 (табл. 2).

Таблица 2. Состав ведущих по числу видов родов

Род	Число видов	% от общего числа видов
<i>Cladonia</i>	49	6,04
<i>Lecanora</i>	49	6,04
<i>Caloplaca</i>	24	2,96
<i>Pertusaria</i>	24	2,96
<i>Aspicilia</i>	21	2,59
<i>Lecidea</i>	21	2,59
<i>Rinodina</i>	20	2,47
<i>Verrucaria</i>	20	2,47
<i>Acarospora</i>	17	2,09
<i>Peltigera</i>	17	2,09
<i>Physcia</i>	16	1,97
<i>Lecania</i>	16	1,97
<i>Arhonia</i>	15	1,85
<i>Ramalina</i>	15	1,85
<i>Usnea</i>	14	1,73
<i>Umbilicaria</i>	13	1,60
<i>Bacidia</i>	11	1,36
<i>Rhizocarpon</i>	11	1,36
Всего: 18	373	46%

На их долю приходится 373 вида (46% от общего числа видов) в сумме составляющие 373 вида (46% от общего числа видов). Оставшиеся 185 родов включают 438 видов (54% от общего числа видов), из них два рода *Bryoria* и *Parmelia* содержат по 10 видов, роды *Collema* и *Opegrapha* по 9 видов, три рода *Circinaria*, *Endopyrenium*, *Ochrolechia* по 8 видов, роды *Candelariella*, *Gyalecta*, *Toninia* представлены каждый 7 видами, 5 родов *Arthopyrenia*, *Buellia*, *Calicium*, *Diploschistes*, *Phaeophyscia* содержат по 6 видов, роды *Enchylium*, *Lecidella*, *Melanohalea*, *Parmotrema*, *Stereocaulon*, насчитывают по 5 видов, 15 родов представлены каждый 4 видами (0,49%). Остальные роды насчитывают по 1-3 вида, в том числе 89 родов представлены только одним видом (11%) от общего числа видов.

На исследуемой территории два крупных рода *Cladonia* и *Lecanora* (семейства *Lecanoraceae*) являющиеся ведущими, как среди родов этого семейства, так и среди родов лишайников региона в целом. Представители рода *Lecanora* (49 видов) отмечены на древесном субстрате, а также на выходах силикатных горных пород и известняках. Из редких и мало изученных видов рода *Lecanora* можно отметить *Lecanora oxneri* Novruz., *L. leptyroides* (Nyl.) Nilss., *L. multispora* Mak., *L. rupicola* (L.) Zahlbr. Первый является эндемом Azerbaijan.

Виды рода *Cladonia* включающие также 49 видов на исследованной территории произрастают главным образом на песчаной и известняковой почвах образуя напочвенные мохово-лишайниковые группировки во влажных и сухих местообитаниях. Большая часть видов распространена в широколиственных лесах Azerbaijan. Среди видов рода отмечены также и некоторые степные виды, приуроченные к аридным условиям.

Представители рода *Caloplaca* насчитывающие 24 вида на территории Azerbaijan произрастают от равнин до субальпийских высот на самых различных субстратах.

Род *Pertusaria* включает 24 вида встречающихся на коре лиственных деревьев, а также на каменистом субстрате. Среди них отмечены неморальные, гипоарктомонтанные, монтанные, средиземноморские, бореальные и эвриголарктические виды.

Род *Aspicilia* включающий 21 вид в лишенофлоре представлен в основном литофильными лишайниками растущими на камнях и скалах и видами, приуроченными к почвенному субстрату. Большая часть видов относится к ксероконтинентальному и пустынно-степному элементам. Среди них отмечены также гипоарктомонтанные, неморальные, эвриголарктические и средиземноморские лишайники.

Представители рода *Lecidea* (21 вид) отмечены на коре деревьев, а также на каменистом субстрате. Доминирующее положение занимают литофильные лишайники. Виды этого рода распределены между арктоальпийским, альпийским, бореальным, неморальным, эвриголарктическим и ксероконтинентальным географическим элементами.

Обнаруженные виды рода *Rinodina* объединяют 20 видов. Они найдены на выходах горных пород, известняках, а также на коре деревьев. В составе рода преобладают монтанные и эвриголарктические лишайники. Особого внимания заслуживает находка редкого лишайника *Rinodina boleana* Giralt. Вид впервые приводится для лишенофлоры Кавказа.

Из рода *Verrucaria* обнаружено также 20 видов. Произрастание видов рода *Verrucaria* в основном связано с влажными местообитаниями. Представители рода являются типичными для горных территорий. Среди видов этого рода интерес представляют редкие высокогорные виды, как: *Verrucaria floerkeana* DT. et Sarnth., собранный на высоте (2700 м); *V. submersella* Serv. (2800 м), *V. muralis* Ach. (3500 м).

Род *Acarospora* представлен 17 видами. Представители рода относятся к накипным лишайникам, произрастающие на известняковых камнях и скалах. Среди них отмечены монтанные, неморальные, ксероконтинентальные, эвриголарктические, арктоальпийские, гипоарктомонотантные и бореальные виды.

Представители рода *Peltigera* также включают 17 видов, распространенные главным образом на почве, а также замшелых камнях, скалах, реже на коре деревьев у основания стволов. Из обнаруженных на исследуемой территории видов, большая часть относится к мультитрехиональному географическому элементу. Остальные представлены бореальными, неморальными, гипоарктомонотанными и эвриголарктическими видами.

Представители рода *Physcia* (16 видов), отмечены, на коре деревьев, на каменистых субстратах, а некоторые виды, как *Physcia-caesia* (Hoffm.) Füllg. и др. отмечены и на почве. Представители рода характерны, как для неморальных широколиственных лесов, так и для горных и аридных ландшафтов.

Род *Lecania* также включает 16 видов, встречающиеся на коре деревьев, а также на горных породах.

Равное число видов (по 15) содержат роды *Arthonia* и *Ramalina*. Первый является обитателем древесных пород. Среди представителей рода *Arthonia* преобладают неморальные виды, растущие в основном на коре лиственных деревьев.

Виды рода *Ramalina* встречаются на коре деревьев и на каменистых породах.

Представители рода *Usnea* включают 14 видов. Они распространены в хвойных и широколиственных горных лесах. В основном представлены неморальными и бореальными видами.

В растительном покрове Азербайджана существенную роль играют также лишайники родов *Bacidia*, *Rhizocarpon*, *Umbilicaria*, приуроченные к горным ландшафтам.

Анализируя состав ведущих семейств и родов лихенофлоры исследуемого региона, следует отметить, что их основу составляют полиморфные семейства и роды типичные для лихенофлор умеренной Голарктики.

Ведущее положение семейств *Lecanoraceae*, *Physciaceae*, *Teloschistaceae* в лихенофлоре Азербайджана подчеркивает специфику флоры аридного региона. С другой стороны, высокое положение во флоре таких семейств, как *Parmeliaceae*, объединяющего значительное количество эпифитных лишайников, особенно из рода *Bryoria*, *Parmelia*, *Usnea*, а также *Cladonia-ceae*, *Peltigeraceae*, характеризует ее принадлежность к лихенофлорам неморального и бореального типа лесных флор Голарктики. Большое количество в характеризующей лихенофлоре видов семейств *Physciaceae*, *Verrucariaceae*, *Lecideaceae*, *Rhizocarpaceae*, *Umbilicariaceae*, подчеркивает ее горный характер. Наличие же семейств *Acarosporaceae*, *Hymeneliaceae*, *Collemtaceae*, сближает ее с лихенофлорами Древнего Средиземья.

Таким образом, исходя из вышеизложенного в характеризующей лихенофлоре сочетаются черты, характерные с одной стороны, для аридных, с другой - для неморальных, бореальных и средиземных лихенофлор Голарктики, что указывает на гетерогенность состава лихенофлоры Азербайджана. Это очевидно обусловлено прежде всего природными условиями исследуемой территории, а также особенностями истории формирования флоры.

На основании географического анализа выделены 13 географических элементов: альпийский, арктоальпийский, гипоарктомонотанный, бореальный, неморальный, монотанный, океанический, эвриголарктический, средиземноморский, тропический, ксероконтинентальный, пустынно-степной и мультитрехиональный (Алвердиева, 1999, 2009, 2010).

Анализ показал, что из характерных, слагающих лихенофлору Азербайджана элементов наибольшим количеством видов отмечен неморальный элемент (151 вид, 18,6%), затем бореальный (136 видов, 16,8%), монотанный (74 видов, 9,12%), ксероконтинентальный (86 видов, 10,6%) арктоальпийский (58 видов, 7,15%), и гипоарктомонотанный (44 видов, 5,43%). Эти шесть элементов объединяют 549 видов, что составляет 68% от общего числа видов. Остальные элементы также играют не менее значительную роль в географическом спектре лишайников исследуемого региона. Учитывая неоднородность природных условий (горная, равнинная, степная, полупустынная части), его лихенофлора может быть охарактеризована, с одной стороны, как неморально-бореально-монотанная, а с другой - как ксероконтинентальная со значительным участием мультитрехиональных и эвриголарктических видов.

На основании распределения видов лишайников по элементам флоры установлено, что доминирование неморальных видов в лишайнофлоре обусловлено участием представителей семейств *Lecanoraceae* (21 вид), *Physciaceae* (18), *Parmeliaceae* (14), *Ramalinaceae* (14). Роды *Lecanora*, *Physcia*, *Parmelia*, *Ramalina* представлены видами, относящихся к различным географическим элементам. Они произрастают во многих экотопах, но доминируют в основном в лесах Азербайджана. Поэтому виды этих родов в неморальных условиях играют значительную роль. С другой стороны, богатство видов семейства *Cladoniaceae* (18 видов) оказывает влияние на бореальную флору лишайников исследуемого региона. Остальные семейства по географическим элементам флор занимают незначительное место.

В лишайнофлоре региона выявлены лишайники с 16 типами ареала. Доминирующее положение во флоре занимают виды с мультирегиональными 381 вид (47%), (при учете числа мультирегиональных лишайников, включенных в состав других элементов) и голарктическим - 148 видов (18,2%) типом ареалов. Во всех географических элементах преобладают виды с мультирегиональным и голарктическим типом ареала. В сумме они составляют (65% от общего числа видов лишайнофлоры). Виды лишайников с евразийским типом ареала насчитывают 81 вид (10%). К лишайникам с панголарктическим типом ареала относятся 50 видов (6,17%), с евразийско-американским 42 вида (5,18%), еврамериканским 37 (4,56%), европейским 30 видов (3,70%), азиатским 7 видов (0,86%), кавказским 6 видов (0,74%), пантропическим 4 вида (0,49%), азиатско-американским 3 вида (0,37%), евразийско-северо-африканским 3 вида (0,37%). Лишайники с евразийско-африканским, евразийско-северо-африканско-североамериканским, еврамерикано африканским представлены каждый 2 видами (0,25%), а лишайники с кавказско-среднеазиатским типом ареала представлены одним видом (0,25%), что составляет 0,12% от общего числа видов.

Таким образом, на основании проведенного анализа можно сказать, что лишайнофлора Азербайджана не однородна и представляет собой комплекс различных географических групп лишайников, отражающих экологические особенности и географическое положение региона.

Биоморфологический анализ региональных лишайнофлор в настоящее время является неотъемлемой частью экологического анализа флор лишайников (Голубкова, 1974). Результат длительного эволюционного приспособления лишайников к условиям окружающей среды той или иной территории привел к отбору видов,

которые по морфологическим и эколого-биологическим особенностям наиболее соответствовали экологическим режимам этих районов. Главнейшие неблагоприятные экологические факторы для растений - это недостаток влаги и неустойчивый тепловой режим.

Для биоморфологического анализа лишайнофлоры Азербайджана мы руководствовались классификацией жизненных форм Н.С. Голубковой (Голубкова, 1974, 1983), на основе которой все жизненные формы лишайников подразделены на 3 большие экологические группы - эндогенные, эпигенные и кочующие. На этой основе выделены самые крупные единицы классификации - отделы. Типы внутри отделов выделяются на основе характера направления роста слоевища (плагиотропные, ортотропные жизненные формы и промежуточные между ними - плагио-ортотропные). Классы жизненных форм внутри типов разделяются на основе морфологических типов строения слоевища лишайников: накипные, умбиликатные, листоватые, кустистые (Алвердиева, 2010, 2011).

В результате анализа экобиоморф лишайников Азербайджана установили, что к отделу Эндогенные относятся 41 вид, из них эндофлеоидная жизненная форма представлена 17 видами, эндолитная жизненная форма 24 видами, что составляет 5,06% от общего числа видов.

Среди экобиоморф лишайников преобладают эпигенные плагиотропные жизненные формы 640 видов (т. е. 79%). Наибольшее число принадлежит к классу накипных 475 видов (т.е. 59%). Листоватые жизненные формы представлены 146 видами (18%). Ортотропная жизненная форма насчитывает 70 видов (8,63%). Плагиоортотропная жизненная форма представлена классом бородавчато- или чешуйчато-кустистыми лишайниками (56 видов, т.е. 6,04%). Плагиотропная эндогенная жизненная форма включают 41 вид (5,06%) и отличается бедностью видового состава.

В классе накипных лишайников первое место занимает группа однообразно-накипных форм 365 видов (45%). В составе однообразно-накипных форм в ксеротических местообитаниях обильно представлена зернисто-бородавчатая, плотнокорковая и ареолированная формы. Последнюю можно рассматривать как приспособленную к резким перепадам температуры на поверхности скал (Голубкова, 2001). К числу ксерофитных жизненных форм, помимо ареолированной (72 вида, т.е. 8,88%), можно отнести также группы накипных диморфных (53 вида, т.е. 6,54%), чешуйчатых (56 видов, т.е. 6,86%), умбиликатных (19 видов, т.е. 2,28%), свободноживущих жизненных форм (5 видов, т.е. 0,60%).

Анализ распределения лишайников по биоморфам и экологическим группам показал, что в исследуемой лихенофлоре преобладают накипные лишайники, включающие 524 вида. Далее идут листоватые (146), а затем кустистые (122 вида). Среди них наибольшим числом видов представлены эпифитные лишайники - 338 видов, что связано с разнообразием лесных экотопов. Чуть меньше, эпилитные лишайники - 312 видов, значительно меньшим числом видов представлены эпигейные - 161 вид (Алвердиева, 2009).

Накипные лишайники в Азербайджане отмечены повсеместно, а распространение листоватых и кустистых лишайников, для развития которых необходимы относительно увлажненные экотопы сосредоточены в основном в лесной, горнолесной зоне Большого Кавказа, Малого Кавказа и Талыша.

Таким образом, анализ экологических групп лишайников исследуемой территории показал, что во всех группах основная масса видов представлена накипными формами. Эти наблюдения согласуются с литературными данными (Голубковой, 1974, 2001; Джураева, 1992) относительно того, что накипной тип слоевища является основным приспособлением лишайников, произрастающих в суровых условиях жарких и холодных пустынь.

На исследуемой территории выявлено 125 редких видов, из которых 13 занесены в Красную Книгу Азербайджана (2-ое издание) (Алвердиева, 2013), а также 166 реликтовых видов лишайников из 29 семейств и 45 родов (Новрузов, Алвердиева, 2011). Из них 157 видов отмечено на Большом Кавказе, 105 в Талыше и 79 видов на Малом Кавказе.

ЛИТЕРАТУРА

- Alverdiyeva S.M.** (1999) Yuxarı Qarabağın lixeno florasının coğrafi elementləri. Azərbaycan florası. *Bitkilərin istifadəsi və qorunması*. Bakı: s. 34-37.
- Alverdiyeva S.M.** (2004) Gədəbəy rayonunun şibyələri. *AMEA Botanika İnstitutunun elmi əsərləri*, 25: 261-264
- Azərbaycan Respublikasının Qırmızı kitabı.** (2013) Nadir və nəslə kəsilməkdə olan bitkilər və göbələklər. 2-ci nəşr. Bakı: s. 294-296, s. 298-300.
- Bayramova A.A.** (2006) Kiçik Qafqazın şimal-şərqindən Azərbaycan üçün yeni şibyə növləri. *AMEA Botanika İnstitutunun elmi əsərləri*, 26: 58-61.
- Bayramova A.A.** (2007) Kiçik Qafqazın şimal-şərq hissəsinin şibyə florası və genofondun mühafizəsi. *Biol. elm. namiz. ... dis.* Bakı: 170 s.

- Qənbərov D.Ş.** (2006) Naxçıvan Muxtar Respublikası ərazisindən Azərbaycan florası üçün yeni şibyələr. *AMEA Naxçıvan bölməsinin xəbərləri (təbiət və texniki elmlər seriyası)*, №4: 194-198.
- Qənbərov D.Ş.** (2007) Naxçıvan Muxtar Respublikasının epigey şibyələri və onların indikatorluq xüsusiyyətləri. *Biol. elm.namiz. ... dis.*, Bakı: 145 s.
- Azərbaycan Respublikasının ekoloji atlası** (2010) Dövlət torpaq və xəritəçəkmə komitəsi. Bakı kartografiya fabriki: 176 s.
- Novruzov E.A.** (2003) Qarayazı qorugundan Azərbaycan üçün yeni şibyə və mamırlar. *AMEA Gəncə Regional Elm Mərkəzinin Xəbərlər məcmuəsi*, №1: 58-60.
- Novruzov E.A.** (2004) Qarayazı Dövlət qoruğu ərazisində təbii və aqroekosistemlərin epifit sinuziyaları, onların ekoloji monitorinqdə istifadə olunması. *Biol. elm.namiz. diss.*, 157 s.
- Paşayev T.Y.** (2005) Naxçıvan MR-nın lixeno-florası üçün yeni şibyə növləri. *Azərbaycan elminin inkişafı və regional problemləri*. Bakı: s. 343-347.
- Paşayev T.Y.** (2008) Naxçıvan Muxtar Respublikasının şibyə florası. *Biol. elm.namiz. ... dis.*, Bakı: s. 178
- Zərbəliyev S.M.** (1995) Şirvanın şibyə florası və onun mühafizə yolları. *Biol. elm. namiz. ... dis avtoref*, Bakı: 28 s.
- Алвердиева С.М.** (1987) Лихенофлора Апшерона. *Дис ... канд биол наук*. Баку: 134 с.
- Алвердиева С.М.** (1990) Видовой состав флоры лишайников Апшерона. 6 2249 *Деп. в ВИНТИ, Ин-т Ботаники АН Азерб. ССР*. Москва: 31 с.
- Алвердиева С.М.** (1999) Таксономическая характеристика лихенофлоры Верхнего Карабаха. *Azərbaycan Florası. Bitkilərin istifadəsi və qorunması*. Bakı: s. 67-70
- Алвердиева С.М.** (2000) К флористико-систематическому анализу лишайников Нагорного Карабаха. *Труды IX Международного симпозиума "Нетрадиционное растениеводство Эниология, экология и здоровье"*. Алушта: с. 162-164.
- Алвердиева С.М.** (2004) Новый для Кавказа лишайник из рода *Parmelia* Ach. *Доклады НАН Азербайджана*, 60: 120-121.
- Алвердиева С.М.** (2007) Биоразнообразие лишайников Азербайджана. *Материалы IV Межд. научн. конф. С.-Петербург*: с. 19-20.
- Алвердиева С.М.** (2007) Видовой состав лишайников юго-западной части Малого Кавказа. *Труды Ин-та Ботаники НАН Азербайджана*, 27: 142-145
- Алвердиева С.М.** (2007) Флористико-систематический анализ лишайников юго-западной части Малого Кавказа. *Труды Межд. научн. конф., посвящ. 75-летию ин-та ботаники и фитоинтродукции Алматы*. Алма-Ата: с. 89-91.

- Алвердиева С.М. (2009) Ботанико-географический анализ лишайников Азербайджана. *Изв. НАН Азербайджана*, **64** (№3-4): 32-39.
- Алвердиева С.М. (2009) Новые и редкие виды лишайников для Кавказа и Азербайджана. *Труды Ин-та Ботаники НАН Азербайджана*, **29**: 184-188.
- Алвердиева С.М. (2009) Экологические группы лишайников Азербайджана. *Вестник Иссык-Кульского Университета* (Киргизия), (№24): 82-84.
- Алвердиева С.М. (2010) Ботанико-географический анализ лишайников Азербайджана II. *Известия НАН Азербайджана, биол. науки*, **65**(№3-4): 20-25.
- Алвердиева С.М. (2010) Биоморфологический анализ лишайников Азербайджана. *Материалы XII Межд конф. «Биологическое разнообразие Кавказа»*. Махачкала. 114-116.
- Алвердиева С.М. (2010) Жизненные формы лишайников Азербайджана. *Труды Ин-та Ботаники НАН Азербайджана*, **30**: 146-149.
- Алвердиева С.М. (2011) Классификация жизненных форм лишайников Азербайджана. *Труды Центр. бот. сада НАН Азербайджана*, **8**: 144-150.
- Алвердиева С.М. (2011) Флора лишайников Ахсуинского района. *Научные труды Института Ботаники НАН Азербайджана*, **31**: 191-194.
- Алвердиева С.М. (2012) Таксономический анализ лишайнофлоры Азербайджана. *Известия НАН Азербайджана, биол. и мед. науки*, **67**: 25-29.
- Алвердиева С.М., Новрузов В.С. (2014) Конспект лишайников Азербайджана. Баку: Элм, 240 с.
- Бархалов Ш.О. (1969) Листоватые и кустистые лишайники Азербайджана. Баку: 307 с.
- Бархалов Ш.О. (1975) Лишайнофлора Талыша. Баку: 152 с.
- Бархалов Ш.О. (1983) Флора лишайников Кавказа. Баку: 338 с.
- Голубкова Н.С. (1974) Жизненные формы лишайников Антарктиды. *Новости сист. Низших раст.* (Л.: Наука), **11**: 55-74.
- Голубкова Н.С. (1983) Анализ флоры лишайников Монголии. Л.: Наука, 248 с.
- Голубкова Н.С. (2001) Лишайники пустыни Гоби (Монголия) и их адаптивная стратегия. *Новости систематики низших растений* (СПб.), **35**: 129-140.
- Джурова З. (1992) Изменение лишайникового покрова от пояса пустынь до верхнегорного пояса Копетдага. *Изв. АН ТССР, сер. биол. наук*, (№4): 17-22.
- Новрузов В.С. (1990) Флорогенетический анализ лишайников Большого Кавказа и вопросы их охраны. Баку: Элм, 1990, 324 с.
- Новрузов В.С., Алвердиева С.М. (2011) Реликтовость и эндемизм лишайников Азербайджана. *Матер. II межд. конф.* Гянджа: с. 73-77.
- Окснер А.Н. (1974). Определитель лишайников СССР. *Морфология, систематика и географическое распространение*. Л.: Наука. Вып. 2: 283 с.
- Определитель лишайников СССР (1971-1973; 1975-1978), вып. 1, (1971), 410 с.; вып. 2 (1975), 275 с.; вып. 4 (1977), 343 с.; вып. 5 (1978), 304 с.
- Определитель лишайников России. СПб.: вып. 6 (1996), 203 с.; вып. 7 (1998), 166 с.; вып. 8 (2003), 277 с.; вып. 9 (2004), 339 с.; вып. 10 (2008), 515 с.
- Флора лишайников России (биология, экология, разнообразие, распространение и методы изучения лишайников). (2014) М.: СПб., 392 с.
- Alverdiyeva S.M. (2014) The first information about lichens of Kura-Araks lowland. *European Academic Research* (Romania), **2**(No 3): 3245-3254.
- Alverdiyeva S.M. (2014) The order *Lecanorales* Nannf. in the lichen biota of Azerbaijan. *European Academic research* (Romania), **2**(No 2): 1779-1788.
- Alverdiyeva S.M. (2014) Lichens of Azerbaijan. *European Academic research* (Romania), **2**(No 8): 10254-10261.
- Alverdiyeva S.M., Agayeva D.N. (2015) Lichens of the Absheron peninsula in Azerbaijan. *Новости сист. Низших растений* (С.-Петербург), **49**: 219-230.
- Alverdiyeva S.M. (2016) The present-day condition of the lichen flora of Azerbaijan. *Ciência e Técnica* (Portugal), **31**(No 8): 68-72.
- Alverdiyeva S.M. (2016) Species diversity of the lichens genus *Cladonia* P.Browne in Azerbaijan. *Sylvan. Poland*, **160**(No7): 84-90.
- Alverdiyeva S.M. (2016) Lichens of the Lesser Caucasus within Azerbaijan. *Sylvan. Poland*, **160**(No 10): 102-113.
- Cannon P.F., Kirk P.M., Minter D.W., Stalpers J.A. (2008) Dictionary of the Fungi. 10th ed. CAB International: 784 p.
- Arup U., Søchting U., Frödén P. (2013) A new of the family *Teloschistaceae*. *Nordic journal of Botany*, **31**(No 1): 16-83.
- Otálora M., Jørgensen P.M., Wedin M. (2014) A revised generic classification of the jelly lichens. *Collembataceae. Fungal Diversity*, **64**: 275-293.

Azərbaycanın Lixenoflorası

S.M. Alverdiyeva

AMEA Botanika İnstitutu

Azərbaycan lixenoflorasının müxtəlifliyi tədqiq edilmişdir. Bu region üzrə bütün lixenoloji məlumatların ümumiləşdirilməsi nəticəsində, nomenklatur dəyişikliklərlə əlaqədar, 811 növ, 202 cins və 67 fəsilədən ibarət lixenofloranın müxtəlifliyi müəyyən edilmişdir

Açar sözlər: *Şibyələr, lixenoфlora, fəsilə, cins, növ, Azərbaycan*

Lichenflora of Azerbaijan

S.M. Alverdiyeva

Institute of Botany, Azerbaijan National Academy of Sciences

The diversity of lichenflora of Azerbaijan has been researched. As a result of generalization of all lichen data on this region due to nomenclatural revisions the level of diversity of its lichen flora, comprising of 811 species, 202 genera and 67 families was determined.

Keywords: *Lichens, lichenflora, family, genus, species, Azerbaijan*

Azərbaycanda *Ranunculus* L. Cinsi Növlərinin Təyinedici Cədvəli

T.M. Əkbəri, P.X. Qaraxani*, T.A. Qasımova

AMEA Botanika İnstitutu, Badamdar yolu, 40, Bakı AZ1004, Azərbaycan; *E-mail: p.garakhani@mail.ru

Məqalədə Azərbaycan florasında *Ranunculus* L. cinsinə daxil olan növlərin yeni təyinedici cədvəli göstərilmişdir.

Açar sözlər: *Ranunculus*, təyinedici cədvəl, növ, Azərbaycan

Ranunculaceae *Ranales* sırasında ən böyük fəsilə hesab olunur. Fəsilənin növləri mülayim və soyuq ərazilərdə yayılmışdır. Əksəriyyəti ot, nadir hallarda yarım kol və lianlardır. Yarpaqları qarşı-qarşıya və növbəli düzülür, yarpaqaltlıqları yoxdur. Çiçəkləri müxtəlif çiçək qrupunda toplanmış, nadir hallarda tək-tək yerləşmiş ikicinsli, aktinomorf, bəzən ziqomorf, entomofil bitkilərdir. Çiçəkyanlığı müxtəlif, sadə və ya ikiqat, staminodiyalar və nektarlıqlardan ibarətdir. Erkəkciklər çox və ya qeyri müəyyən sayda, nadir hallarda 3 (2) ədəd olur. Dişiklikləri çox, sərbəst, bəzən 5(3) - 1 sayda olur. Yumurtalıq üst vəziyyətdə, bırıqvalı, yumurtacıqlar müxtəlif saydadır. Qaymaqçiçəklilər ilk baharda, bəzən qarın altında çiçəkləyir. Meyvələri bir neçə yarpaqcıqdan ibarət olan fındıqca və ya çalov meyvədir. Fəsilənin bəzi nümayəndələri alkaloid-lərlə zəngindir, zəhərli nümayəndələri demək olar ki, çoxdur. Onlar üçün erkəkciklərlə əlaqədar nektarlıqların olması xarakterik hesab olunur. Qaymaqçiçəklilər fəsiləsinin cinsləri içərisində Qaymaqçiçəyi cinsi (*Ranunculus* L.) geniş yayılmışdır. Bu cins bütün dünyada yayılmış 400-ə qədər növü birləşdirir.

Cins *Ranunculus* L. 1753 sp.pl. 1;548.p.p.

Cinsin növləri bir və ya çoxillik bitkilərdir. *Ranunculus* cinsinin çox növlərində qarışıq kök sistemi. Lakin, əsas kök və əlavə köklərdən ibarətdir. Əsas kök ya seçilmir, ya da əlavə köklərlə qarışır.

Çiçəkləri aktinomorf, ikicinsli, sarı rəngdə, kasa yarpaqları və ləçəkləri 5 ədəd, gineseyi apokarpdır. Erkəkciklər çoxdur (Гроссгейм, 1934, 1949).

Nektarlıqlar, ləçəklər dairə üzrə, qalan hissələr isə spiral şəklində qabarıq çiçək yatağı üzərində yerləşirlər. Yumurtalıqda bir ədəd yumurtacıq yerləşir və üst vəziyyətdədir. Meyvələr qabarıq çiçək yatağı üzərində yığılmış fındıqca və ya toxumcaya bənzərdir (Лыфферов, 2006a, б; Флора СССР, 1937).

Lectotypus: *R. auricomus* L.

Azərbaycan florasında cins İ.İ.Karyagin (Карягин, 1953) tərəfindən öyrənilmişdir. Karyagin cinsi heç bir yarımconsə, seksiyaya ayırmamış, cinsə aid 31 növ olduğunu göstərmişdir. Son ədəbiyyat məlumatlarına əsaslanaraq (Конспект флоры Кавказа, 2012) müəyyən olunmuşdur ki, Azərbaycan

florasında *Ranunculus* cinsi 2 yarımcons, 9 seksiya, 2 yarımseksiyada toplanmış, 24 növ, 7 yarımnövdən ibarətdir.

Bütün şimali yarımkürəsinin mülayim qurşağında yayılmış 250 növdən Azərbaycanda 24 növə rast gəlinir. Bizim tərəfimizdən bu növlərin yeni təyinedici cədvəli tərtib edilmişdir.

1. Ağ çiçəkli su bitkiləridir. Yarpaqları sapşəkilli hissələrə bölünmüşdür.....yarımcons *Batrachium*...2
- + Sarıçiçəkli quru bitkiləridir. Yarpaqları barmaqvari və ya lələkvari bölümlüdür.....yarımcons *Ranunculus*.....3
2. Fındıqcameyvə başcıqlıdır.....*R.trichophyllus*
+ Fındıqcameyvə başcıqlı olub, 50-80 mm-dir.....*R.rioni*
3. Birillikdir.....4
+ Çoxillikdir.....9
4. Meyvələmə vaxtı çiçək oxu yoğunlaşmış, içiboş, bir neçə qövsvari əylən olur.....*R.chius*
+ Meyvələmə vaxtı çiçək oxu yoğunlaşmış, düz olur.....5
5. Fındıqcameyvə buruncuqludur.....6
+ Fındıqcameyvə buruncusuzdur.....7
6. Kasa yarpağı kənara qatlanmışdır.....*R. sceleratus*
+ Kasa yarpağı qabarıqdır.....*R.ophioglossifolius*
7. Fındıqcameyvə kənardan yastı enli haşiyəli, kənardan uzun dolu tikanlıdır *R.arvense*
+ Fındıqcameyvə kənardan tikansız, kəskin haşiyəlidir.....8
8. Fındıqcameyvə iridir, səthi uzun tikancıqlarla doludur.....*R.muricatus*
+ Fındıqcameyvə kiçikdir, səthi tikansız, üzəri qabarcıqlıdır.....*R.cornutus*
9. Çoxillikdir.....12
+ Birillik və ya ikiillikdir.....10
10. Ağımtıl-gümüşü-ipək bitkidir, yumşaq tükcüklüdür.....*R.illyricus*
+ Demək olar ki, çılpaq bitkidir.....11
11. Kasayarpağı aşağıdan qatlanmışdır. Kökətrafi yarpaqlar üç bölümlüdür.....*R.oxyspermus*
+ Kasayarpağı uzanmışdır. Kökətrafi yarpaqlar lələkvari bölümlüdür.....*R.cicutarius*

12. Yarpaqları bütöv, bütövkənarlı və ya seyrək dişciklidir.....13
- + Yarpaqları barmaqvari və ya lələkvari bölümlü və ya parçalanmışdır.....14
13. Başcıqda toplanmış meyvə şarvaridir.....
.....*R. lingua*
- + Başcıqda toplanmış meyvə dəyirmi-tərsinə yumurtəşəkillidir.....*R. strigillosus*
14. Kökümsovlu bitkilərdir.....16
- + Yosunlaşmış köklərə malik bitkilərdir.....15
15. Kökünü yarpaqlar uzunsov saplaqlı, çıpaqdır.....*R. aucheri*
- + Kökünü yarpaqlar üç dərən bölümlüdür, dişikli və ya kürəkşəkillidir.....*R. polyrhizos*
16. Kasa yarpağı aşağıya doğru dartılmışdır.....17
- + Kasa yarpağı genişlənmişdir.....18
17. Gövdə yumşaq tükcüklərlə örtülmüşdür.....
.....*R. elegans*
- + Gövdə aşağıya doğru yönəlmiş uzun, sərt tükcüklərlə örtülmüşdür.....*R. grandiflorus*
18. Yarpaqları əsasından 3-5 bölümlüdür.....19
- + Yarpaqları əsasına qədər 3-5 bölümlü deyil.....21
19. Çılpaq, yüksələn və ya aşağı hissədən yayılan və yerüstü zoğları sürünən bitkidir..... *R. repens*
- + Düz, bəzən yüksələn gövdəyə malik bitkidir, ancaq yerüstü zoğları yoxdur.....20
20. Orta seqment çox qısa enli saplaqcıqlı, yan seqmentlər oturaqdır.....*R. buhsei*
- + Orta seqment uzun saplaqcıqlı, yan seqmentlər qısa saplaqcıqlı və ya oturaqdır. Seqmentlərin hissələri xətvəridir.....*R. meyerianus*
21. Hürümçək toruna bənzər yunlu bitkidir. Yarpaqları qalın, dəyirmi-ürəkşəkilli, üç bölümlü, dişikli seqmentlidir.....*R. arachnoideus*

- + Hürümçəktorunabənzər tükcüksüz bitkidir.....22
22. 15 sm hündürlüyündə kiçik bitkidir. Gövdə bir-iki çiçəklidir.....*R. crassifolius*
- + Çox hündür, adətən 20-60 sm hündürlüyündə iri yarpaqlı bitkidir.....23
23. Gövdə sıx və adətən cod tükcüklüdür.....
.....*R. baydarae*
- + Gövdə dağınıq və adətən yumşaq tükcüklüdür.....
.....*R. oreophyllus*

ƏDƏBİYYAT

- Гроссгейм А.А. (1934) Флора Кавказа. Баку: АН СССР, Т. 4: 342 с.
- Гроссгейм А.А. (1949) Определитель растений Кавказа. М.: Сов наука, 747 с.
- Карягин И.И. (1953) Род *Ranunculus* L. Флора Азербайджана. Баку: АН Азерб. ССР, Т.4: 72-99.
- Конспект флоры Кавказа (2012) В 3-х томах. СПб.: М.: Товарищество научных изданий КМК, Т.3, ч. 2: 622 с.
- Луферов А.Н. (2006а) К таксономии некоторых азиатских видов лютика (*Ranunculus*). Бюл. Главн. ботан. сада, вып. 192: 95-97.
- Луферов А.Н. (2006б) Род *Ranunculus* L. Флора средней полосы европейской части России. 10-е изд. Москва: Товарищество научных изданий КМК, 600 с.
- Овчинников П.Н. (1937) Род *Ranunculus* L. Флора СССР. М.; Л., Т. 7: 351-509.

Ключ Для Определения Видов Рода *Ranunculus* L. В Азербайджане

Т.М.Акбери, П. Х. Гарахани, Т.А.Гасумова

Институт ботаники НАН Азербайджана

В статье приводится новый ключ для определения видов рода *Ranunculus* L. во флоре Азербайджана.

Ключевые слова: *Ranunculus*, ключ определения, вид, Азербайджан

Identification Key For The Determination Of The Species Of The *Ranunculus* L. Genus In Azerbaijan

T.M. Akbari, P.Kh. Garakhani, T.A. Gasimova

Institute of Botany, Azerbaijan National Academy of Sciences

A new identification key of the species belonging to the *Ranunculus* L. genus in the Azerbaijan flora is given in the article.

Keywords: *Ranunculus*, identification key, specie, Azerbaijan

Перспективы Исследования Растительных Веществ С Целью Создания На Их Основе Новых Фитопрепаратов

С.В. Серкеров

Институт ботаники НАН Азербайджана, Бадамдарское шоссе, 40, Баку AZ 1004, Азербайджан;
E-mail: s. serkerov@mail.ru

«Растения – это фармацевтические фабрики, подаренные человечеству Богом»

С.В. Серкеров

Экономическая стабильность и независимость любой развивающейся страны неразрывно связана с развитием собственной фармацевтической промышленности. Ни одна страна в мире не в состоянии производить даже минимальный перечень жизненно важных лекарственных средств. По оценкам экспертов Всемирной Организации Здравоохранения (ВОЗ) достаточным собственным производством считается выпуск 30-40% от всего перечня необходимых препаратов (Международная Фармакопея, 1969). Если взять опыт Казахстана в 1997 году в Казахстане разработана и утверждена Государственная программа развития фармацевтической и медицинской промышленности, основной целью которой являлось увеличение перечня и объема производимых отечественных средств (обычно составляет не более 5%) и рост объема фармацевтической продукции идет, в основном, за счет импорта субстанции и изготовления из них готовых лекарственных форм.

Импортные лекарства по цене не доступны большей части населения. Разработка отечественных синтетических лекарств требует громадных затрат, кадров высочайшей квалификации и долгого времени. ВОЗ, учитывая аналогичное положение в большинстве стран мира рекомендует в качестве приемлемой альтернативы использование лекарственных растений и продуктов их переработки. Растения, как возобновляемый материал являются потенциальным источником новых природных соединений, обладающих широким спектром фармакологической активности.

Богатые растительные ресурсы Азербайджана открывают перед исследователями огромные перспективы и широкие возможности в плане поиска новых биологически активных веществ и создания на их основе практически ценных препаратов. При этом приоритетными задачами считаются выявление потенциальных источников биологически активных соединений, химическое изучение растений, выделение в индивидуальном состоянии, установление строения молекул растительных веществ, при необ-

ходимости их химическая модификация и определение физико-химических и биологических свойств. Решение этих задач в дальнейшем позволяет разработать инновационные технологии по производству лекарственных препаратов на основе Азербайджанского растительного сырья.

Особый интерес, на мой взгляд, представляют растения семейств *Amaranthaceae*, *Asteraceae*, *Apiaceae*, *Canaaceae*, *Lamiaceae*, *Magnoliaceae*, *Lauraceae* как источники быстро растущей группы природных терпеноидов - сесквитерпеновых γ -лактонов.

Известно, что в настоящее время из веществ, продуцируемых растениями 7000 соединений используются в качестве сердечных препаратов, противоопухолевых средств, гормонов, диуретиков, антибиотиков, противовоспалительных, защищающих (восстанавливающих) память, анальгетиков и т.д. (Адекенов, 1997). Так, хинин, известный антималярийный препарат, полученный из южноамериканского растения *Cinchona ledgeriana* Moens ex Trement, Резерпин, применяемый для снижения кровяного давления и как транквилизатор из корней индийского растения *Rauwolfia serpentina* (L.) Benth et Kurz. Z-Dona для лечения болезни Паркинсона, получают из тропического растения *Mucuna deerin-giana*=*M. pruriens* (L.) DC. Эфедрин производят из китайской эфедры *Ephedra sinica* Stapf. Дигиталин и дигоксин сердечные препараты из наперстянки (*Digitalis purpurea* L.). Эвкалиптол, антисептик из австралийских эвкалиптовых деревьев, для лечения заболеваний горла в виде мази, бронхита и астмы в качестве ингаляций. Аспирин, наиболее широко используемый в мировой медицинской практике препарат, впервые был экстрагирован из листьев и стеблей *Salix alba* L. и наземной части *Filipendula ulmaria* (L.) Maxim (Зузук и др., 2005; Churin et al., 2008). Пикротоксин, применяемый как стимулятор нервной системы и в случае отравления барбитуратами, получают из *Anamirta cocculus* (L.) Wight. & Arn. растения, произрастающего в тропиках на юго-востоке Азии (Hamburger and Hostettman, 1991). Ан-

тинеопластическая активность *Catharantus roseus* (L.) G.Don. (*Aporocynaceae*) привела к выделению и установлению структуры активных бисиндольных алкалоидов винбластина и винкристина, которые составляют в настоящее время основу одноименных коммерческих противоопухолевых препаратов (Cerzon, 1980). Дитерпеновый алкалоид таксол стал одним из наиболее перспективных компонентов, выявленных в последние годы путем скрининга природных соединений на противоопухолевую активность.

Впервые выделенный в исследовательском институте Триангла Уоллом из *Taxus brevifolia* Nutt. (*Taxaceae*), позже было обнаружено и в других видах *Taxus*, таких как европейский тисс - *T. baccata* L. (Wani et al., 1971). Таксол стал коммерческим препаратом благодаря усилиям Национального Института Рака США и компании Бристол Майер. Главным препятствием применения таксола в клинике оказалось крайне ограниченное количество природного сырья, т.к. активный компонент в небольшом количестве содержится лишь в коре растения. Для получения 2,5 кг таксола, необходимого для клинических испытаний Национальный Институт Рака США заключил договор о поставке 27 тон коры *Taxus brevifolia*, что потребовало уничтожения 12000 деревьев. Реальный подход к решению проблемы найден французскими исследователями как частичный синтез таксола из представителей того же ряда обнаруженных в листьях (Taxol..., 1966).

Сесквитерпеновый лактон артемизинин, выделенный в 1972 году китайскими исследователями из полыни однолетней (*Artemisia annua* L.) представляет новую группу антималярийных препаратов с высокой шизонтоцидной активностью против плазмодия в крови человека (Zhu and Cook, 2012).

Среди большого числа фитопрепаратов, разработанных на основе растительных веществ в АО Международном холдинге Центр фитохимии Министерства образования и Науки РК (г. Караганда), следует особо отметить противоопухолевой препарат "Арглабин", созданный на основе сесквитерпенового лактона арглабин, впервые выделенного С.М.Адекеновым из полыни гладкой (*Artemisia glabella* Kar. et Kir.) (Адекенов и др., 1988; Argabin..., 1997). Клинические испытания препарата "Арглабин" проводились в 1994-1996 гг. на базе Карагандинского и межобластного Онкологического центра решением фармакологического Комитета МЗ РК на 72 больных с III-IV степенью опухолевого процесса с различными локализациями (Argabin..., 1997).

Автором настоящей работы из растений семейств *Asteraceae* и *Apiaceae*, произрастающих в Азербайджане (более чем 50 видов) выделены в индивидуальном состоянии и установлены строения нескольких десятков новых для науки сесквитерпеновых лактонов (абзиндиол, шоночалин Д, алханен, алханин, алханол, артапшин, артапшинин, джейранбатанолид, сплендолид, артесовин, ферооподин, фердизин, дегидрооподин, ооподин, бадхызинин, бадхызин, изобадхызин, бадхызидин, дигидробадхызинин, семоподин, ферулин, ферулидин, опоферзин и др.), новые для науки производные кумарина (метоксифурокумарин, транс-диверсин, псорогераклин, пейсерутин, пейсерутенин, 3'-окси-4'-β-сенециоилокси-3',4'-дигидросеселин, 3'-α-ангелоилокси-4'-β-окси-3',4'-дигидросеселин и др.). Кроме того, из растений упомянутых семейств выделены в индивидуальном виде и идентифицированы большое число кумаринов, которые являются рецептурными компонентами препаратов широко применяемые в медицинской практике при лечении различных заболеваний. Также получены известные вещества кумарины, такие как лейцеданин, прангенин, ксантотоксин, изопимпинеллин, оксипейцеданин гидрат, остол, обладающие антиканцерогенной активностью. Из них остол также обладает выраженными коронарорасширяющими и пресорными свойствами (Абышев и др., 2003).

Следует отметить, что сесквитерпеновые лактоны это группа природных соединений обладающие свойствами: антигельминтными, кардиотоническим, противоожоговым, противовоспалительным, противомикробным, противоопухолевым и др. В связи с этим становится понятным огромный интерес, который проявляют к сесквитерпеновым лактонам не только фитохимики, ботаники, фармакологи, но и клиницисты. Из новых сесквитерпеновых лактонов только бадхызин нами изучен на уровне клинических испытаний. На основании результатов полученных фармакологических исследований на кафедре фармакологии Санкт-Петербургского Санитарно Гигиенического Медицинского Института под руководством профессора П.П.Денисенко (1966 г.) Фармакологический Комитет Минздрава РФ разрешил клинические изучения "нового оригинального препарата бадхызин, как противоожогового, противовоспалительного препарата. Проведенные нами клинические изучения препарата "Бадхызин" в клинике ожоговых поражений Санкт Петербургской Военно-медицинской Академии позволили клиницистам рекомендовать препарат «Бадхызин» на применение в широкой медицинской практике в качестве противоожогового, противовоспалительно

го препарата. В клинике кожных болезней Санкт-Петербургского Санитарно-Гигиенического Медицинского Института препарата «Бадхызин» применяли для лечения больных с трофическими язвами. Анализируя полученные данные при клиническом изучении препарата, клиницисты пришли к выводу, что указанный препарат «Бадхызин» обладает выраженным положительным эффектом при лечении трофических язв. Его лечебное действие значительно превышает действие препаратов применяемых для лечения трофических язв (Серкерев, 2005).

Также исследованы мнестические свойства бадхызина (в Институте физиологии им. А.Караева НАНА проф. Анвар Меликовым - ныне живет и работает в Турции). Установлено что лечебное действие бадхызина превышает более чем в два раза действие известного препарата «ноотропил» (пирацетам) (Меликов и др., 1993).

Выявлена высокая антирадикальная активность нового сесквитерпенового лактона алханина, выделенного из полыни душистой (*Artemisia fragrans* Willd.).

В настоящее время накоплен значительный материал по выделению и установлению строения десятки новых для науки сесквитерпеновых лактонов, кумарин производных, стероидных и других соединений; выделены и идентифицированы большое число известных веществ, принадлежащие к различным группам природных соединений.

Для того, чтобы результаты этих фундаментальных исследований нашли свое логическое продолжение необходимо проведение более углубленных фармакологических изучений на уровне требований клинических испытаний, полученных в индивидуальном состоянии новых соединений и создание на их основе новых оригинальных, высокоэффективных препаратов.



Схема. Фитохимическое исследование растительного сырья

С этой целью необходимо создание самостоятельной структуры (сектор) при биологическом отделении НАНА, которая на основе бюджетного финансирования будет разрабатывать взаимосвязанные научно-исследовательские темы, объединенные в единую самостоятельную программу в едином руководстве по выше прилагаемой схеме. Отметим, что аналогичная структура функционирует в Казахстане (г. Караганда) под названием «Международный Холдинг-центр фитохимии Министерства образования и науки КР».

ЛИТЕРАТУРА

- Абышев А.З., Агаев С.М., Керимов Ю.Б.** (2003) Химия и фармакология природных ку-
маринов. Баку: 112 с.
- Адекенов С.М.** (1997) Развитие фитохимии и
перспективы создания новых лекарственных
препаратов. *Поиск и создание методов полу-
чения фитопрепаратов*. Алматы: Гылым, с. 3-
22.
- Адекенов С.М., Рахимов К.Д., Айтуганов
К.А., Кагарлицкий А.Д.** (1988) О противо-
опухолевой активности сесквитерпеновых лак-
тонов. *Сборник работ по химии*. Алма-Ата,
ДСП, вып. II: 112-115.
- Зузук Б.М., Куцук Р.В., Недоступ А.М. и др.**
(2005) Ива белая. *Salix alba* L. (аналитический
обзор). *Провизор*, №15: 16-18.

- Международная Фармакопея** (1969) Издание
2-ое. Женева: ВОЗ, 983 с.
- Меликов Э.М., Серкерев С.В., Мовсумов Г.Д.,
Мир-Бабаев Н.Ф.** (1993) Сесквитерпеновый
лактон «Азерин» обладает мнестическими
свойствами. *Бюллетень экспериментальной
биологии и медицины* Москва: Медицина, с.
166-168.
- Серкерев С.В.** (2005) Терпеноиды и фенолпро-
изводные растений семейств *Asteraceae*,
Apiaceae Баку: CBS Production, 312 с.
- Cerzon K.** (1980) Anticancer agents based on natu-
ral product models. New York: Academic Press,
p. 271-317.
- Churin A.A., Masnaia N.V., Sherstoboev E., Shi-
lova I.V.** (2008) Effect of *Filipendula ulmaria* ex-
tract on immune system of CBA/Calac and
C57Bl/6 mice. *Eksp. Klin. Farmakol.*, 71(5): 32-36.
- Hamburger M., Hostettmann K.** (1991) Bioac-
tivity in plants: the link between phytochemistry
and medicine. *Phytochemistry*, 30 (12): 3864-3874
- Muromtsev G.S., Butenko R.G., Tikhonenko T.I.**
(1997) Argabin. It's structure properties and us-
age. USA, Virginia: Virginia Beach, 38 p.
- Taxol (paclitaxel)** (1996) *Scientific Proceedings
Bristol-Myers Squibb Company Princeton*. USA:
New Jersey, 173 p.
- Wani M.C., Taylor H.L., Wall M.E., Coggon
J.P., McPail A.T.** (1971) Plant antitumor agents
J. Am. Chem. Soc., 93(9): 2325-2327.
- Zhu C., Cook S.P.** (2012) Synthetic scheme for to-
tal synthesis of artemisinin. *J. Am. Chem. Soc.*,
134: 13577-13579.

Azərbaycanın Bozqır Yaylasının Briofitlərinin (*Bryophyta*, *Marchantiophyta*) Məlumat Siyahısı

T.P. Qasimov

AMEA Botanika İnstitutu, Badamdar yolu, 40, Bakı AZ1004, Azərbaycan; E-mail: tgasimov@hotmail.com

Məqalədə Azərbaycanın Bozqır yaylasında aparılan tədqiqatlar nəticəsində müəyyən edilən briofitlərin məlumat siyahısı verilmişdir. Briofloristik tədqiqatlar nəticəsində müəyyən edildi ki, yaylada yayılan yarpaqgövdəli mamırkimilər 16 fəsilə, 30 cinsə aid 71 taksonla, ciyərötu mamurları isə 5 fəsilə, 5 cinsə aid 5 taksonla təmsil olunur. Yarpaqgövdəli mamurlar içərisində takson sayına görə *Pottiaceae* (27), *Grimmiaceae* (8), *Bryaceae* (7) və *Orthotrichaceae* (5) fəsilələri üstünlük təşkil edir. Takson sayına görə *Bryum* (7), *Grimmia* (7), *Tortula* (5), *Syntrichia* (5), *Didymodon* (5) və *Orthotrichum* (5) ən zəngin cinslərdir.

Açar sözlər: Bozqır yaylası, ciyərötu mamurları, yarpaqgövdəli mamurlar, məlumat siyahısı, takson

GİRİŞ

Bozqır yaylası, Böyük Qafqazın cənub yamacları ilə Alazan-Həftəran vadisi arasında yerləşir. T.S.Babakışiyeva və S.H.Səlimova görə (2008) Bozqır yaylası şimaldan Alazan-Həftəran vadisi, cənubdan Kür çayı, qərbdən Ceyrançölün qılınçvari silsiləsi, şərqdən isə Bozdağla nəhayətlənir (ASE, 1980). Azərbaycanın Bozqır yaylasının florası haqqında ilkin məlumat A.V.Fominin (1906) əsərində rast gəlinir. Daha sonra, A.L.Rollovun (1908) əsərində də yaylanın bitkiliyi haqqında müəyyən qədər məlumatlar mövcuddur. Bozqır yaylasının florasının geniş şəkildə öyrənilməyə başlanılması, 1926-cı ildən sonrakı dövrlərdə respublikamızda kənd təsərrüfatı və heyvandarlığın inkişafı ilə əlaqədardır. Bu sahədəki tədqiqat işlərinə A.A.Qrosşeymin (1926, 1929, 1932), M.F.Saxokiyanın (1931), L.İ.Prılıpkonun (1950, 1954, 1972), T.M.Tağıyevin (1960) və başqalarının əsərlərini misal göstərmək olar. 1976-cı ildən başlayaraq, akademik V.S.Hacıyevin rəhbərliyi altında yaylanın Ceyrançöl massivində aparılan geobotanika tədqiqatları Bozqır yaylasının bitki örtüyünün ətraflı öyrənilməsi ilə nəticələnmişdir (Гаджиев и др., 1979). Azərbaycanın müstəqillik əldə etdikdən sonrakı dövrdə ölkəmizdə iqtisadiyyatın inkişafı ilə əlaqədar olaraq, Bozqır yaylasının Ceyrançöl və Acınohur massivlərinin qış otlaqları yenidən tədqiq edilməyə başlandı. Bu tədqiqat işləri S.Z.Əhmədova (2004, 2005) tərəfindən Ceyrançöl və Acınohurda, K.K.Əsədova (2006, 2008) tərəfindən isə Ceyrançöldə aparılmışdır. Bozqır yaylasının flora və bitkiliyinə dair ən son məlumatlara əsasən yayla ərazisində 114 fəsiləyə aid, 705 cinsdə ümumiləşən 1018 ali sporlu, çıpaqtoxumlu və çiçəklili bitki növü göstərilir (Babakışiyeva, Musayev, 2008). Həmin növlərdən 97-si endemik bitki növləridir ki, onlardan da 80-i Qafqaz endemləridir.

Bu da onu göstərir ki, ərazinin bitki örtüyünün təxminən 10 %-i endem taksonlardır. Lakin, indiyədək aparılan tədqiqat işlərinin heç birində Bozqır yaylasının brioflorası tədqiq edilməmişdir. 2012-ci ildən başlayaraq, ilk dəfə olaraq, tərəfimizdən Bozqır yaylasının briofitləri tədqiq olunmağa başlandı (Qasimov, 2015). Bu tədqiqatlarda yaylanın əhatə etdiyi ərazinin briofit müxtəlifliyi ümumilikdə araşdırılmış (Qasimov, 2016; Gasimov & Novruzov 2016), eləcə də yaylanın brioflorası ayrı-ayrı fəsilələr və cinslər üzrə öyrənilmişdir (Qasimov, 2016). Ərazidən Azərbaycan üçün yeni bir neçə briofit növü aşkar edilmişdir (Qasimov, Kürschner & Parolly., 2016). Lakin bu tədqiqatların heç birində ərazinin briofitlərinin takson siyahısı tam göstərilməmişdir. Bu məqalənin əsas məqsədi, Azərbaycanın Bozqır yaylasının briofit müxtəlifliyini dəqiqləşdirərək takson siyahısını tərtib etməkdir.

MATERIAL VƏ METODLAR

2012-2016-cı illərdə Bozqır yaylası massivindəki ərazilərdə aparılmış çöl tədqiqatlarında briofitlərə aid nümunələr toplanılmışdır. Bu baxımdan yaylanın yerləşdiyi Ceyrançöldə, Acınohur-Sarıca qış otlaqlarında və yaylada lokal şəkildə yayılan tuqay meşəsində tədqiqat işləri yerinə yetirilmişdir. Bununla bağlı Ağstafa, Tovuz, Şəmkir və Samux (Ceyrançöldə), eləcə də Şəki və Qax rayonlarında (Acınohur-Sarıca) müvafiq tədqiqat sahələri seçilmişdir. Qeyd edilən yerlərdən toplanılan briofit nümunəri əl lupaları və müasir işıq mikroskopları vasitəsilə araşdırılmışdır. Təyinat morfoloji xüsusiyyətlər nəzərə alınaraq bir sıra təyinedicilərdən və monoqrafiyalardan istifadə etməklə (Игнатова, Игнатова, 2003-2004; Smith, 2004; Kürschner, Frey, 2011) aparılmışdır.

Etiketləşdirilmiş herbari nümunələrinin bir nüsxəsi Berlin Botanika Bağ və Botanika Muzeyinə (BBBM), digər nüsxəsi isə AMEA Botanika İnstitutunun lichenobrioloji herbari fonduna depozit edilmişdir. Briofit siyahısının nomenklatur tərtibi ciyərötu mamırları üçün L.Soderström və b. (2002), yarpaqgövdəli mamırkimilər üçün isə M.O.Hill və b. (2006) sisteminə görə aparılmışdır. Fəsilə daxilində olan cinslərin, cins daxilində olan taksonların siyahıya alınması latın əlifbasının sırasına uyğun verilir.

NƏTİCƏLƏR

Azərbaycanın Bozqır yaylasından toplanılan 500 briofit nümunəsinin təyinatı nəticəsində 21 fəsilə, 35 cinsə aid 76 takson müəyyən edilmişdir. Ərazidən toplanılan taksonlardan 5 fəsilə, 5 cinsə aid 5 takson ciyərötu mamırlarına, 16 fəsilə, 30 cinsə aid 71 takson isə yarpaqgövdəli mamırlara aiddir. Bozqır yaylasının floristik siyahısı tərtib edilər kən ən son nomenklatur yeniliklər nəzərə alınmışdır. Müəyyən edilən taksonların floristik siyahısı aşağıda verilir. Taksonun adı ilə yanaşı ən çox istifadə edilən sinonimləri də göstərilmişdir:

MARCHANTIOPSIDA

Aytoniaceae Cavers

1. *Reboulia* Raddi

1. *hemisphaerica* (L.) Raddi

Cephaloziellaceae Doum

2. *Cephaloziella* (Spruce) Schiffn.

1. *divaricata* (Sm.) Schiffn.

Radulaceae (Dumort.) Müll. Frib.

3. *Radula* Dumort.

1. *complanata* (L.) Dumort.

Porellaceae Cavers

4. *Porella* L.

1. *platyphylla* (L.) Pfeiff. [*Madotheca platyphylla* (L.) Dumort.]

Frullaniaceae Lorch

5. *Frullania* Raddi

1. *dilatata* (L.) Dumort.

BRYOPSIDA

Polytrichales M.Fleisch.

Polytrichaceae Schwagr.

1. *Polytrichum*

1. *juniperinum* Hedw.
2. *piliferum* Schreb. ex Hedw.

Encalyptales Dixon

Encalyptaceae Schimp.

2. *Encalypta* Hedw.

1. *ciliata* Hedw.
2. *rhaptoparpa* Schwagr
3. *vulgaris* Hedw.

Funariales M.Fleisch.

Funariaceae Schwagr.

3. *Funaria* Hedw.

1. *hygrometrica* Hedw.

Grimmiales M.Fleisch.

Grimmiaceae Arn.

4. *Schistidium* Bruch & Schimp.

1. *apocarpum* (Hedw.) Bruch & Schimp.

5. *Grimmia* Hedw.

1. *alpestris* (F.Weber & D.Mohr) Schleich.,
2. *anodon* Bruch & Schimp
3. *laevigata* (Brid.) Brid. [*G. campestris*

Hook.]

4. *orbicularis* Bruch ex Wilson

5. *ovalis* (Hedw.) Lindb. [*G. commutata* Bruch & Schimp.]

6. *pulvinata* (Hedw.) Sm.

7. *trichophylla* Grev. [*G. britannica* A.J.E. Sm., *G. robusta* Ferg., *G. trichophylla* Grev. var. *robusta* (Ferg.) A.J.E. Sm.]

Dicranales H.Philip. ex M.Fleisch.

Fissidentaceae Schimp.

6. *Fissidens* Hedw.

1. *dubius* P. Beauv. [*F. cristatus* Wilson]
2. *taxifolius* Hedw

Ditrichaceae Limpr.

7. *Ceratodon* Brid.

1. *purpureus* (Hedw.) Brid.

8. *Ditrichum* Timm ex Hampe

1. *flexicaule* (Schwägr) Hampe

9. *Pleuridium* Rabenh.

1. *subulatum* (Hedw.) Rabenh.

Pottiales M.Fleisch.

Pottiaceae Schimp

10. *Aloina* Kindb.

1. *aloides* (D.J. Koch ex Schultz) Kindb.
2. *ambigua* Bruch & Schimp.) Limpr. [*A. aloides* (Schultz) Kindb. var. *ambigua* (Bruch & Schimp.) E.J.Craig, *A. ericaefolia* Kindb.]

11. *Barbula* Hedw.

1. *convoluta* Hedw.
2. *unguiculata* Hedw. [incl. var. *cuspidata* (Schultz) Brid., var. *robusta* Lindb.]

12. *Crossidium* Jur.

1. *crassinerve* (De Not) Jur

13. *Didymodon* Hedw.

1. *acutus* (Brid.) K. Saito [*Barbula acuta* (Brid.) Brid., *B. gracilis* (Schleich.) Schwägr.]
2. *fallax* (Hedw.) R. H. Zander [*Barbula fallax* Hedw.]

3. *luridus* Hornsch. ex Spreng. [*Barbula lurida* (Hornsch) Lindb., *B. trifaria* auct non (Hedw.) Mitt.]

4. *rigidulus* Hedw. [*Barbula rigidula* (Hedw.) Mitt., *D. mamillosus* (Crundw.) M.O.Hill]

5. *vinealis* (Brid.) R. H. Zander [*Barbula vinealis* Brid.]

14. Phascum Hedw.

1. *cuspidatum* Hedw.
2. *cuspidatum* var. *piliferum* (Hedw.) Hook. & Taylor

15. Pleurochaete Lindb.

1. *squarrosa* (Brid.) Lindb.

16. Pterygoneurum Jur.

1. *ovatum* (Hedw.) Dixon [*P. cavifolium* Jur.]

17. Syntrichia Brid

1. *caninervis* Mitt. [*S. desertorum* (Broth.)

J.J.Amann, *Tortula caninervis* (Mitt.) Broth., *T. desertorum* Broth.]

2. *caninervis* var. *gypsophila* (J.J. Amman ex G. Roth) Ochrya [*Tortula caninervis* subsp. *spuria* (J.J.Amann) W.A.Kramer var. *gypsophila* ex G.Roth), *Tortula spuria* J.J.Amann]

3. *montana* Nees [*S. intermedia* Brid., *Tortula intermedia* (Brid.) De Not.]

4. *papillosa* (Wilson) Jur. [*Tortula papillosa* Wilson]

5. *ruralis* (Hedw.) F. Weber & D. Mohr [*Tortula ruralis* (Hedw.) P.Gaertn., B.Mey. & Scherb.]

18. Tortula Hedw.

1. *canescens* Mont
2. *inermis* (Brid.) Mont. [*Syntrichia inermis* (Brid.) Bruch]

3. *lindbergii* [*Tortula lanceolata* (Hedw.) R.H.Zander, *Pottia lanceolata* (Hedw.) Mull.Hal.]

4. *muralis* Hedw.

5. *truncata* (Hedw.) Mitt. [*Pottia truncata* (Hedw.) Bruch & Schimp.]

19. Trichostomum Bruch

1. *brachydontium* Bruch
2. *crispulum* Bruch

20. Weissia Hedw

1. *controversa* Hedw.

Bryales Limpr

Bryaceae Schwagr.

21. Bryum Hedw.

1. *algovicum* Sendtn. Ex Müll.Hal. [*B. angustirete* Kindb. ex Macoun, *B. pendulum* (Hornsch.) Schimp.]

2. *argenteum* Hedw.

3. *caespiticum* Hedw. [*B. badium* (Brid.) Schimp.]

4. *capillare* Hedw.

5. *dichotomum* Hedw. [*B. bicolor* Dicks., *B. dunense* A.J.E. Sm. & H Whitehouse]

6. *moravicum* Podp. [*B. flaccidum* Brid., *B. laevifolium* Syed, *B. subelegans* Kindb.]

7. *torquescens* Bruch & Schimp

Orthotrichales Dixon

Orthotrichaceae Arn.

22. Orthotrichum Hedw.

1. *affine* Schrad. ex Brid. [*O. fastigiatum* Bruch ex Brid.]

2. *anomalum* Hedw.

3. *cupulatum* Hoffm. Ex Brid.

4. *diaphanum* Schrad. ex Brid.

5. *rupestre* Schleich. ex Schwägr.

Hypnales (M.Fleisch.) W.R.Buck & Vitt

Amblystegiaceae Kindb.

23. Amblystegium Schimp.

1. *serpens* (Hedw.) Schimp. [*A. juratzkanum* Schimp.]

Leskeaceae Schimp.

24 Leskeae Hedw.

1. *polycarpa* Hedw.

Thuidiaceae Schimp.

25. Abietinella Müll.Hal.

1. *abietina* (Hedw.) M.Fleisch. [*Thuidium abietinum* (Hedw.) Schimp.]

Brachytheciaceae Schimp.

26. Brachythecium Schimp.

1. *albicans* (Hedw.) Schimp.

27. Homalothecium Schimp.

1. *lutescens* (Hedw.) H. Rob.
2. *sericeum* (Hedw.) Schimp.

Hypnaceae Schimp.

28. Hypnum Hedw.

1. *cupressiforme* Hedw. s.l.
2. *cupressiforme* Hedw. var. *cupressiforme*
3. *vaucheri* Lesq.

Leucodontaceae Schimp.

29. Leucodon Schwägr.

1. *immersus* Lindb. [*L. caucasicus* Jur. & Milde]

2. *sciuroides* (Hedw.) Schwägr.

Anomodontaceae Kindb.

30. Anomodon Hook. & Taylor

1. *attenuatus* (Hedw.) Huebener
2. *viticulosus* (Hedw.) Hook. & Taylor

ƏDƏBİYYAT

Azərbaycan Sovet Ensiklopediyası (ASE) (1980) Bakı 2: 219

Babakişiyeva T.S., Musayev S.H. (2008) Bozqır yaylası və onun florası. *AMEA Botanika İnstitutunun Elmi əsərləri*, XXVII: 26 32.

Qasimov T.P. (2016) Azərbaycanın bozqır yaylasında *Bryum* Hedw. (*Bryaceae*, *Bryophyta*) cinsinin növlərinin morfoloji təsviri, ekologiyası və antimikrob aktivliyi. *AMEA-nın Mikrobiologiya İnstitutunun Elmi Əsərləri*, 14(Nö1): 58 63

Qasimov T.P. (2015) Bozqır yaylasında *Grimmia* Hedw. cinsinin növ müxtəlifliyi. *Azərbaycan Milli Elmlər Akademiyası Mərkəzi Nəbatat Bağının Elmi Əsərləri*, XIII: 167-169

Qasimov T.P. (2016) Bozqır yaylasının ceyrançöl düzünün mamırkımilərinin (*Bryophyta*, *Marchantiophyta*) sistematik analizi və perspektivli növləri

- haqqında. *Gənc Alimlərin Beynəlxalq Elmi Konfransı*, Gəncə: s. 337-340.
- Асадова К.К.** (2006) Рациональное использование и улучшение зимних пастбищ Джейранчельского массива. *Аггарная наука Азербайджана*, 162-164.
- Асадова К.К.** (2008) Степная растительность зимних пастбищ Джейранчеля. *Труды Института Ботаники Национальной Академии Наук Азербайджана*, XXVIII: 142-146.
- Ахмедова С.З.** (2004) Биоразнообразие экосистемы растительного покрова Джейранчельского и Аджиноурского массивов Азербайджана. Монография. Гянджа: с. 104.
- Ахмедова С.З.** (2005) Формирование пустынных фитоценозов Джейранчель Аджиноурского массивов. *Известия НАН Азербайджана*, №3-4: 81-85.
- Гаджиев В.С., Маилов А.И.** (1979) Учет и пути улучшения зимних пастбищ Азербайджана. В кн: *Кормопроизводство*, Москва: с. 45.
- Гроссгейм А.А.** (1926) Краткий очерк растительного покрова Азербайджана. *Матер. по райониров. Азерб. ССР* (Баку), 1-2: 42 с.
- Гроссгейм А.А.** (1929) Введение в геоботаническое обследование зимних пастбищ Азербайджана. Баку: 73 с.
- Гроссгейм А.А.** (1932) Растительный покров пастбищ Азербайджана и его кормовое значение. Баку: 78 с.
- Игнатов М.С., Игнатова Е.А.** (2003, 2004) Флора мхов средней части Европейской России. М.: 2003, Т. 1: *Sphagnaceae Hedwigiaceae* с. 1-608, М., 2004. Т. 2: *Fontinalaceae – Amblystegiaceae*, с. 609-960.
- Прилипко Л.И.** (1950) Краткий геоботанический очерк южных склонов БК (в пределах Азна). *Труды бот. ин-та АН Аз. ССР*, XV: 31-33.
- Прилипко Л.И.** (1954) Растительный покров Азербайджана. Баку: Элм, 120 с.
- Прилипко Л.И.** (1972) Геоботаника в Азербайджане. *Обзор исследований и публикаций. Бот. журн.* (М.), №12: 1610-1620.
- Роллов А.Х.** (1908) Дикорастущие растения Кавказа, их распространение, свойства и применение. Тифлис: с. 20-31.
- Сахокия М.Ф.** (1931) Очерк растительности зимних пастбищ Шекинского нагорья. *Труды по геоб. обследов. пастбищ. Азербайджана*, сер. А., 9: 19-23.
- Тагиев Т.М.** (1960) Улучшение и рациональное использование зимних пастбищ Джейранчеля в связи с динамикой запаса пастбищных кормов. *Автореф. канд. дисс.*, Баку: 25 с.
- Фомин А.А.** (1906) Солончаки и сопровождающие их формации в Восточном и Южном Закавказье. *Вестник Тифлисского бот. сада*, вып. 2: 18-22.
- Gasimov T.P., Novruzov, V.S.** (2016) Bryophytes of Jeyranchol Plateau (Azerbaijan). *Symposium on EuroAsian Biodiversity*, Turkey: Antalya, p. 56
- Hill M.O., Bell N., Buruggeman-Nannenga M.A., Brugues M., Cano M.J., Enroth Flatberg K.I., Frahm J-P., Gallego M.T., Garilleti R., Guerra J., Hedenäs L., Holyoak D.T., Hyvärinen J., Ignatov M.S., Lara F., Mazimpaka V., Munoz J. and Söderström L.** (2006) An annotated checklist of the mosses of Europe and Macronesia. *Journal of Bryology*, 28: 198-267.
- Kürschner H., Frey W.** (2011) Liverworts, Mosses and Hornworts of Southwest Asia. Stuttgart: Nowa Hedwigia: 240 p.
- Qasimov T., Kürschner H., & Parolly G.** (2016) Three new moss records from the Bozqır yaylası area of Azerbaijan. *Herzogia*, 29: 805-809.
- Smith A.J.E.** (2004) The moss flora of Britain and Ireland. 2 ed. Cambridge: Cambridge University Press, 1012 p.
- Söderström, L., Urmi, E. & Váňa, J.** (2002) Distribution of *Hepaticae* and *Anthocerotae* in Europe and Macaronesia. *Lindbergia*, 27: 3-47.

**Аннотированный Список Бриофитов (*Bryophyta*, *Marchantiophyta*)
Бозгырского Плато Азербайджана**

Т.П. Гасымов

Институт ботаники НАН Азербайджана

В статье дается список таксонов мохообразных Бозгырского плато Азербайджана. В результате бриофлористических исследований выявлен 71 таксон листостебельных мхов из 30 родов и 16 семейств, 5 таксонов печеночных мхов из 5 родов и 5 семейств. Доминирующие по числу таксонов семейства листостебельных мхов соответственно: *Pottiaceae* (27), *Grimmiaceae* (8), *Bryaceae* (7), *Orthotrichaceae* (5). В категории родов самыми богатыми по разнообразию таксонов являются *Bryum* (7), *Grimmia* (7), *Tortula* (5), *Syntrichia* (5), *Didymodon* (5) и *Orthotrichum* (5).

Ключевые слова: Бозгырское плато, печеночные мхи, листостебельные мхи, аннотированный список, таксон

**Checklist of bryophytes (*Bryophyta*, *Marchantiophyta*)
in Bozqir Plateau of Azerbaijan**

T.P. Gasimov

Institute of Botany, Azerbaijan National Academy of Sciences

The list of taxa of bryophytes in Bozgyr plateau of Azerbaijan has been presented in the paper. Briofloristic research revealed that mosses were represented with 71 taxa belonging to 30 genera and 16 families, hepatics were represented with 5 taxa belonging to 5 genera and 5 families. According to the amount of taxa the richest moss families are *Pottiaceae* (27), *Grimmiaceae* (8), *Bryaceae* (7), *Orthotrichaceae* (5), and the richest genera are *Bryum* (7), *Grimmia* (7), *Tortula* (5), *Syntrichia* (5), *Didymodon* (5) and *Orthotrichum* (5).

Keywords: Bozgyr plateau, liverworts, mosses, annotated checklist, taxa

Abşeron Şəraitində *Quercus* L. Cinsinə Aid Bəzi Növlərin Tədqiqi

E.O. İsgəndər^{1*}, Z.H. Abbasova², G.S. Məsimzadə¹

¹AMEA Mərkəzi Nəbatat Bağı, Badamdar yolu, 40, Bakı AZ1004, Azərbaycan

²AMEA Dendrologiya İnstitutu, Mərdəkan qəsəbəsi, S.Yesenin küç., 89, Bakı AZ1044, Azərbaycan.

*E-mail : acae55@hotmail.com

Məqalədə Azərbaycana introduksiya edilməmiş 3 palıd növünün Abşeron şəraitində bioloji xüsusiyyətləri o cümlədən, çoxalması və inkişafı öyrənilmişdir. Tədqiqatlar nəticəsində müəyyən olunmuşdur ki, tədqiq edilən növlər normal cücərti verərək böyüyüb inkişaf edirlər.

Açar sözlər: *Quercus* L., introduksiya, çoxalma, toxum, inkişaf, Abşeron

GİRİŞ

İntroduksiya zamanı seçilən materialın gətirilib-diyı yer və hansı keyfiyyətdə olması eksperimental işlər üçün böyük əhəmiyyət kəsb edir (Курбанов, 2009; Курбанов, 1984). Yəni, istifadə ediləcək materialın oxşar iqlim zonalarına və yaxud fərqli iqlim şəraitinə gətirilməsi arasında növlərin uyğunlaşması baxımından böyük fərq vardır. Buna görə də tədqiqat obyektinə aid olan bitki növlərinin hansı iqlim bölgəsində yayıldığı tədqiqat işində xüsusi əhəmiyyətə malikdir.

Məlumdur ki, bitkilər sadəcə öz xüsusiyyətlərinə uyğun ətraf mühit şəraitində olanda bu növlər asanlıqla böyüyüb, inkişaf edirlər (İsgəndər, 1999). Fərqli xüsusiyyətlərə malik olan taksonların ekoloji istəkləri müxtəlif olur və bu istəklərə uyğun olmayan ekoloji şərait bu bitki növlərinin inkişafına və yayılmasına mane olur.

İqlim analoqları nəzəriyyəsində göstərilir ki, tədqiqata aid bitkilərin introduksiyasının normal olması üçün iqlim əsas amillərdən biridir (Базилевская, 1964; Искендеров, Кулиев, 1990). Aparılmış təcrübələrin nəticəsi göstərmişdir ki, yeni şəraitə introduksiya ediləcək taksonun təbii şəraitdə yayıldığı ərazinin ekoloji şəraiti, introduksiya olunan yerin ekoloji şəraitindən nə qədər çox fərqlənərsə, o zaman introduksiyanın nəticəsi bir o qədər müvəffəqiyyətli olmur.

Həmçinin, yeni növlərin introduksiyanın perspektivliyi toxumların coğrafi mənşəyindən də çox asılıdır (Искендеров, 1993). Mənşəyi müxtəlif olan toxumlar introduksiya prosesinə bu və ya digər dərəcədə təsir edən amillərdəndir. İntroduksiya zamanı yeni şəraitdə bitkilərin verdiyi hər hansı bir reaksiya vacibdir. Bu baxımdan bitkidə gedən fizioloji proseslərin gedişatı, o cümlədən tənəffüs, fotosintez, morfoloji orqanlarda baş verən dəyişənliklərin öyrənilməsi bitkilərin yeni şəraitdə introduksiyasının perspektivli olmasına təsir edir.

Ümumiyyətlə, introduksiyanın nəzəri əsasları praktik təcrübələrin nəticələrinə əsaslanır. Buna

görə də praktik təcrübələri apararkən yeni şəraitdə introduksiya ediləcək yeni növlərin seçilməsi, introdusentlərin müxtəlif istiqamətli xüsusiyyətlərinin öyrənilməsi və qiymətləndirilməsi tədqiqat işinin yerinə yetirilməsində vacib məsələlərdən biridir. Tədqiqat işi *Quercus* L. cinsinə aid 3 növ növ üzərində aparılmış və Abşeron şəraitində tədqiq olunan növlərin bioloji xüsusiyyətləri öyrənilməyə çalışılmışdır.

MATERIAL VƏ METODLAR

Tədqiqat materialını Azərbaycan florasında olmayan və introduksiya edilməmiş 3 növ (*Quercus coccifera* L., *Quercus brantii* Lindley, *Quercus cerris* L. var *cerris*) palıd bitkisi olmuşdur. Öyrənilən bitki növlərinin toxumları və tingləri Türkiyədən gətirilmişdir. Tədqiqatlar Abşeron şəraitində (AMEA Mərkəzi Nəbatat Bağı və Dendrologiya İnstitutu) aparılmışdır. Tədqiqat işinin əsas məqsədi tədqiq edilən yeni növlərin introduksiyası ilə bağlı olaraq çoxalma, böyümə və inkişaf, yeni şəraitə uyğunlaşma imkanlarını öyrənmək və Abşeron şəraitində perspektivliyini müəyyən etməkdən ibarət olmuşdur. Tədqiq olunan bitkilərin toxumla çoxaldılması M.K.Firsova (Фирсова, 1955) və V.V.Oqiyevskiy (Огиевский и др., 1974) və b., Q.N.Zaytsev (Зайцев, 1981), P.E.Levina (Левина, 1981a), P.S.Levina (Левина, 1981b) cücərtilərin morfolojiyası İ.T.Васильченко (Васильченко, 1960) metodikalarından istifadə edilərək həyata keçirilmişdir.

Öyrənilən bitki növləri üzərində fenoloji müşahidələr Г.Н.Зайтцев (Зайцев, 1981) metodikasına görə aparılmışdır.

Tədqiq olunan bitkilərin təsnifatı Lyman Benson (Фирсова, 1955), Classification USDA Plants (<https://plants.usda.gov/classification.htm>) APG III, IV (15.<https://ru.wikipedia.org/wiki/Система> APG III; <https://ru.wikipedia.org/wiki/Система> APG IV) görə verilmişdir.

NƏTİCƏLƏR VƏ ONLARIN MÜZAKİRƏSİ

Tədqiqat işinin məqsədi tədqiq edilən bitki növlərinin Abşeron şəraitində çoxalma prosesini və alınacaq cücərtilərin yeni şəraitdə bioekoloji xüsusiyyətlərini tədqiq etmək üçün açıq və qapalı şəraitdə bitki toxumları xüsusi hazırlanmış torpaq sahəsinə səpilməsidir. Toxumlar əkilməmişdən öncə onların ölçüsü və çəkisi öyrənilmişdir. Aparılan təcrübə işlərin yekunundan məlum olmuşdur ki, *Quercus brantii* Lindley, növünə aid toxumun eni 1,5 sm, uzunluğu 2,6 sm, *Quercus coccifera* L. 2,0-2,4 sm, *Quercus cerris* var. *cerris*, isə 1,8-2,3 sm-ə qədər olur. Tədqiq edilən bitkilərin qozalarının ağırlığı 7,0-9,5-11,0 q arasında olduğu müəyyən edilmişdir (Cədvəl 1 və Şəkil 1).

Oduncaqlı bitkilərinin cücərtilərinin istənilən şəraitdə morfoloji xüsusiyyətlərinə görə təymin edilməsi vacib məsələlərdən biridir. Tədqiq edilən palıd növlərinin cücərtilərinin morfoloji quruluşu o cümlədən hipokotilin eni, uzunluğu və rəngi öyrənilmişdir. Tədqiqatlardan məlum olmuşdur ki, tədqiq olunan bitkilərdə hipokotilin diametri 2, uzunluğu isə 4-5 mm arasında dəyişilir.

Aparılan tədqiqat nəticəsində aydın olmuşdur ki, vırginil dövrü öyrənilən palıd növlərinin cücərməsi zamanı ləpə yarpaqları torpaq üzərinə çıxmır, deməli, bu bitki növlərində cücərmə epikotildir.

Öyrənilən bitkilərin toxumla çoxaldılması üçün təcrübələr qoyulmuş və alınan nəticələr aşağıdakı cədvəldə verilmişdir (Cədvəl 2).

Cədvəldən göründüyü kimi aparılan təcrübələrin nəticəsindən məlum olmuşdur ki, nisbətən aşağı cücərmə faizi (64%) *Quercus coccifera* növündə qeydə alınmışdır. Bu palıd növündə nisbətən aşağı cücərmə faizinin alınmasını yığılan toxumların tam yetişməməsi ilə əlaqələndirmək olar. Aparılan tədqiqat işlərinin nəticəsi göstərmişdir ki, tədqiq olunan bitkilərdən iki növ (*Quercus brantii* və *Quercus cerris* var. *cerris*) Abşeron şəraitində yüksək cücərmə faizi vermiş və alınmış cücərtilər normal böyüyüb inkişaf edirlər.

Beləliklə, aparılan tədqiqat işlərinin yekunundan belə nəticəyə gəlmək olar ki, tədqiq olunan palıd növləri Abşeron şəraitində normal cücərti verərək böyüyüb inkişaf edirlər.

Cədvəl 1. Tədqiq edilən bitki toxumlarının morfoloji göstəriciləri

Növlər	Toxumların toplandığı yer	Çanaq-cığn uzunluğu	Çanaqcığn eni (sm)	Qozanın uzunluğu (sm)	Qozanın eni (sm)	Meyvə saplağı (sm)	Çanaqcıqlı ağırlıq (q)	Çanaqcıqsız ağırlıq (q)
<i>Q. brantii</i>	Türkiyə	4	1,5	2,6	1,5	0,8	12,1	9,5
<i>Q. coccifera</i>	Türkiyə	3	1,6	2,4	2	0,4	10,5	6,9
<i>Q. cerris</i>	Türkiyə	2,8	1,4	2,3	1,8	0,5	11,2	11

Cədvəl 2. *Quercus* L. növlərinin toxumlarının cücərmə faizləri

Növ	Toxumun toplandığı yer	Əkin tarixi	Cücərmə tarixi	Cücərmə faizi
<i>Q. brantii</i>	Türkiyə	21.11.2013	12.04.2003	96%
<i>Q. coccifera</i>	Türkiyə	08.11.2013	29.04.2003	64%
<i>Q. cerris</i>	Türkiyə	08.10.2013	07.05.2003	98%

*Quercus brantii**Quercus coccifera**Quercus cerris* var. *cerris*

Şəkil 1. Öyrənilən bitki toxumları

ƏDƏBİYYAT

- İsgəndərov E.O.** (1999) Qafqaz florasının bəzi nadır və nəslə kəsilməkdə olan oduncaqlı bitkilərin tədqiq edilməsi. *Azərbaycan florası: Bitkiçiliyin istifadəsi və qorunması*. Bakı: Elm, 369-373.
- Базилевская Н.А.** (1964) Теория и методы интродукции растений. М: МГУ, 129 с.
- Васильченко И.Т.** (1960) Всходы деревьев и кустарников. Определитель. М.-Л.: АН СССР, 301 с.
- Зайцев Г.Н.** (1981) Логический анализ всхожести семян. *Бюлл. ГБС, вып. 122*: 74-80.
- Зайцев Г.Н.** (1981) Фенология древесных растений. М.: Наука, с. 119.
- Искендеров Э.О., Кулиев К.М.** (1990) Размножение некоторых редких и исчезающих древесных растений Кавказа в условиях Апшерона. *Бюлл. Бот. Сада АН СССР* (М.: Наука), №155: 66-70
- Искендеров Э.О.** (1993) Оценка перспективности интродукции редких и исчезающих древесных видов Кавказа в условиях Апшерона. *Бюлл. ГБС, вып. 169*: 8-11.
- Курбанов М.Р.** (1984) Комплексная оценка семеноводности и качество семян древесных растений при интродукции. *Пробл. развития семеноводства и семеновод. интродуцентов*, с. 45-51
- Курбанов М.Р., Искендер Э.О.** (2009) Изучение и сохранение редких и исчезающих древесных растений Азербайджана в *ex situ* и *in situ* *Вестник Киевского НУ им. Т.Шевченко, сер. биотрофика и сохранение растительного разнообразия*, с. 138-139.
- Левина Р.Е.** (1981а) Вопросы биологии семенного размножения. Ульяновск: Гос. Пед. Ин-т, 139 с.
- Левина Р.С.** (1981б) Репродуктивная биология семенных растений. М.: Наука, 94 с.
- Огиевский В.В., Родин А.Р., Рувцов Н.И.** (1974) Лесные культуры и мелиорация 12-е изд., перераб. и доп. М.: Лесная промышленность, 376 с.
- Фирсова М.К.** (1955) Методы исследования и оценки качества семян. М.: Сельхозгиз, 375 с.
- https://ru.wikipedia.org/wiki/Система_APG_III
https://ru.wikipedia.org/wiki/Система_APG_IV
<https://plants.usda.gov/classification.htm>

Исследование Некоторых Видов Рода *Quercus L.* В Условиях Апшерона

Э.О. Искендер¹, З.Х. Аббасова², Г.С. Масимзаде¹

¹Центральный ботанический сад НАН Азербайджана

²Институт дендрологии НАН Азербайджана

В статье приводятся данные биологических особенностей, размножения и развития интродуцированных в Азербайджан 3-х видов дуба в условиях Апшерона. В результате исследования выявлено, что изученные виды имеют нормальную всхожесть, растут и развиваются.

Ключевые слова: *Quercus L.*, размножение, семена, развитие, Апшерон

A Study Of Some Species Of *Quercus L.* Under Conditions Of Absheron

E.O. Iskender, Z.H. Abbasova, G.S. Masimzade

¹Central Botanical Garden ANAS

²Institute of Dendrology, ANAS

The article presents the data of the study of the biological characteristics, reproduction and development of 3 oak species unintroduced in Azerbaijan, under conditions of Absheron. The study revealed normal growth, germination and development of the investigated species.

Keywords: *Quercus L.*, reproduction, seeds, development, Absheron

Формирование Биологической Массы И Потребление Элементов Питания Посевами Льна Масличного В Зоне Сухой Степи Украины

А.Л. Рудик

ДВНЗ «Херсонский государственный аграрный университет», ул. Стритенська, 23, Херсон 73006, Украина; E-mail: oleksandr.rudik@gmail.com

Исследованы процессы формирования наземной массы и поглощения элементов питания посевами льна масличного. Установлено, что максимальное образование сухой массы, наивысшее накопление посевами азота и калия происходит на семидесятый, а фосфора - на восьмидесятый день после появления массовых всходов. Усиление фона минерального питания увеличивает биологическую массу посевов и аккумулированное в ней количество элементов питания. Наибольшее суточное поглощение элементов питания происходило между 30 и 60 днями после всходов культуры. Определяющим в поглощении растениями биогенных элементов является нарастание биологической массы, что сопровождается «эффектом разбавления» их содержания в органах растения.

Ключевые слова: Лен масличный, биологическая масса, минеральные удобрения, азот, фосфор, калий, орошение

ВВЕДЕНИЕ

В современном сельскохозяйственном производстве существенная роль принадлежит системе минерального питания, вследствие чего эффективность использования удобрений определяет уровень прибыльности всего технологического комплекса. Учитывая, что в основании системы «почва растение климат урожай» положено растение с его объективными биологическими потребностями, исследование динамики ростовых процессов и потребления биогенных элементов имеет важное научное и практическое значение.

Изучению проблем минерального питания льна масличного посвящено много научных работ, проводимых в разных почвенно-климатических зонах (Кузнецова, 2004; Шваб и Мирончук, 2007; Вишневская, 2011). Ими установлено влияние удобрения на элементы структуры, величину и качество урожая, определены оптимальные диапазоны норм удобрения. В зоне проведения исследований такие работы проводились в Институте земледелия южного региона НААН Украины (Биднина, 2010). Однако динамика поглощения элементов в течение периода вегетации культуры, установление потребности растения в специфических условиях сухой Степи без орошения и при орошении, на наш взгляд, требуют доработки.

Исследования преследовали цель изучить динамику формирования биологической массы и потребления азота, фосфора, калия растениями льна масличного в условиях естественного и искусственного увлажнения.

МАТЕРИАЛЫ И МЕТОДЫ

Системные полевые исследования выполнены на производственной базе Асканийской ГСХОС НААН Украины. Почва опытного участка темно каштановая тяжелосуглинистая слабосолонцеватая, с мощностью гумусового горизонта 42-51 см. В пахотном слое содержится в среднем 2,15% гумуса, 50 мг/кг легкогидролизуемого азота, 24 мг/кг подвижного фосфора и 400 мг/кг обменного калия. Реакция почвенного раствора слабо щелочная, ближе к нейтральной (рН-6,8-7,0).

Культуру выращивали в соответствии с зональными рекомендациями. Объектом исследования был отечественный стандарт, сорт Південна ніч (*Pivdenna nich*), посев осуществлялся с междурядьями 15 см, с нормой высева 6 млн.шт/га. Поливной режим предусматривал предполивной порог 65-70% НВ в слое 0,7 м. Фазы роста и развития льна отмечали в соответствии с ГОСТ 4511: 2006 «Лен долгунец. Термины и определения понятий». Растительные образцы отбирали с интервалом в десять дней после фазы «полные всходы» в двух несмежных повторениях на площади 0,1 м². Растения высушивали при температуре 105°C до постоянной массы. Содержание азота, фосфора и калия определяли из единственной вытяжки после мокрого сжигания по методу Гинзбурга с последующим определением азота по методу Кьельдаля, фосфора по методу Мерфи-Райли калориметрически на КФК 2, а калия - на пламенном фотометре (Гинзбург и Щеглова, 1960). Учету и анализу подлежала только наземная часть рас-

тений, что необходимо учитывать при интерпретации результатов.

Погодные условия периода исследований характеризовались существенными превышениями температурного режима и отклонениями обеспеченностью осадками от средних значений. За счет запасов почвенной влаги и поступления осадков первой половины вегетации культуры наиболее благоприятным был 2011, а наименее 2012 и 2013 года.

РЕЗУЛЬТАТЫ И ОБСУЖДЕНИЕ

Накопление биологической массы растениями происходит в соответствии с «большой кривой роста» (табл. 1). В течение первых тридцати дней от появления всходов сухая масса нарастала медленно, её прирост находился в пределах 0,41–0,59 т/га без орошения и 0,46–0,67 т/га при орошении. Этот этап соответствовал началу бутонизации и на его протяжении количество сухого вещества в среднем увеличилось в два раза. В последующем происходило резкое нарастание сухого вещества, которое продолжалось до 70 дня наблюдения без орошения и до 80 дня при орошении, что соответствовало фазе зеленой спелости. За этот межатмосферный период масса растений увеличилась в 5,6 раза при естественном увлажнении и в 6,4 раза при орошении, достигая максимальных значений. В зависимости от фона минерального питания она составляла 4,45–6,21 т/га без орошения и 5,67–7,80 т/га при орошении. В последующем происходило постепенное уменьшение наземной массы, что характерно для позднего генеративного периода и было связано с активным отмиранием листьев.

Достоверное влияние внесения минеральных удобрений на процесс формирования наземной массы проявилось по истечении 20 дней

вегетации, а положительный эффект усиливался в течение последующих пятидесяти дней. Улучшение влагообеспеченности посевов увеличивало эффективность удобрений и продлеvalo период их положительного воздействия. Наивысшее количество сухой биологической массы, независимо от режима влагообеспеченности растений, отмечалось на максимальном фоне питания $N_{90}P_{60}K_{60}$. Однако повышение фона питания снижало размер прироста сухой массы, что особенно проявлялось на фоне естественного увлажнения. Положительное влияние орошения выражалось только спустя сорок дней от полных всходов, что было связано с графиком проведения поливов.

В литературе достаточно хорошо освещена неравномерность как ростовых процессов, так и поглощения растениями элементов питания (Церлинг, 1990, Кошкин 2005). Их содержание в отдельных органах меняется в течение периода вегетации культуры в соответствии с возрастными физиологическими изменениями (Мосолов, 1960, Белопухов, 2002). Известны также особенности влияния почвенной среды, погодных условий, отдельных элементов технологии выращивания на их поглощение.

Накопление наземной биомассой льна масличного азота имело динамику синусоиды, отличия между отдельными вариантами были математически достоверными. Максимальное количество азота посевы накапливали на седьмую декаду от всходов культуры, после чего, вследствие отмирания листовой массы, наблюдался усиливающийся обратный процесс. На фоне внесения минеральных удобрений и орошения происходило некоторое смещение точки максимального потребления на более поздний период. В соответствии с формированием большей наземной массы при внесении удобрений и орошения возрастало и количество азота, сконцентрированного в ней.

Таблица 1. Динамика накопления сухой массы посевами льна масличного, т/га (среднее за 2011–2013 гг.)

Фон минерального питания (А)	Дни от полных всходов (В)									
	10	20	30	40	50	60	70	80	90	100
Без орошения										
Без удобрений	0,47	0,68	0,88	2,18	3,23	3,91	4,45	4,42	4,37	
N ₄₅ P ₃₀ K ₃₀	0,50	0,73	0,96	2,58	3,96	4,88	5,49	5,40	5,30	
N ₆₀ P ₄₅ K ₄₅	0,51	0,76	1,04	2,74	4,24	5,26	5,96	5,88	5,79	
N ₉₀ P ₆₀ K ₆₀	0,51	0,79	1,10	2,88	4,42	5,45	6,21	6,16	6,10	
НСР ₀₅	А – 0,08-0,12; В – 0,12-0,19; АВ – 0,24 – 0,37									
При орошении										
Без удобрений	0,47	0,70	0,93	2,50	4,12	4,75	5,40	5,67	5,61	5,58
N ₄₅ P ₃₀ K ₃₀	0,50	0,76	1,06	2,87	4,76	5,62	6,61	6,97	6,92	6,86
N ₆₀ P ₄₅ K ₄₅	0,51	0,80	1,13	3,06	5,07	6,01	7,06	7,41	7,31	7,27
N ₉₀ P ₆₀ K ₆₀	0,53	0,84	1,20	3,20	5,31	6,29	7,41	7,80	7,76	7,70
НСР ₀₅	А 0,11-0,14; В 0,17-0,22; АВ 0,33 0,44									

Накопление фосфора изменялось подобно логарифмической функции. Увеличение количества этого элемента, аккумулированного наземной массой посевов, происходило практически до созревания культуры и оставалось на уровне, близком к максимальному значению. Больше влияние на исследуемый показатель имело внесение минеральных удобрений по сравнению с орошением.

Динамика накопления калия была подобной потреблению азота. Максимальное накопление калия при всех сочетаниях факторов было отмечено на семидесятые сутки. В дальнейшем происходил процесс уменьшения количества калия, аккумулированного в наземной массе растений.

Для оценки динамики поступления элементов питания в растения льна произведены расчеты их суточного потребления (Рис 1.)

Внесение минеральных удобрений влияло на абсолютные значения количества поглощенных элементов питания, не изменяя общей динамики их потребления.

В целом наибольшее поглощение элементов питания происходило между 30 и 60 днями после всходов культуры. Наиболее динамичными были изменения в потреблении азота и калия, тогда как поступление фосфора отличалось большей стабильностью и равномерностью на протяжении вегетационного периода. На сороковой день всходов посевы льна потребляли ежедневно 3,07 кг/га азота, 1,04 кг/га фосфора и 2,57 кг/га калия. При орошении потребление было выше и составляло, соответственно, 3,23; 1,59 и 3,67 кг/га. С удлинением вегетационного периода культуры при улучшении влагообеспеченности посевов отмечается продолжение периода интенсивного поглощения элементов питания и смещения времени наступления отрицательного баланса.

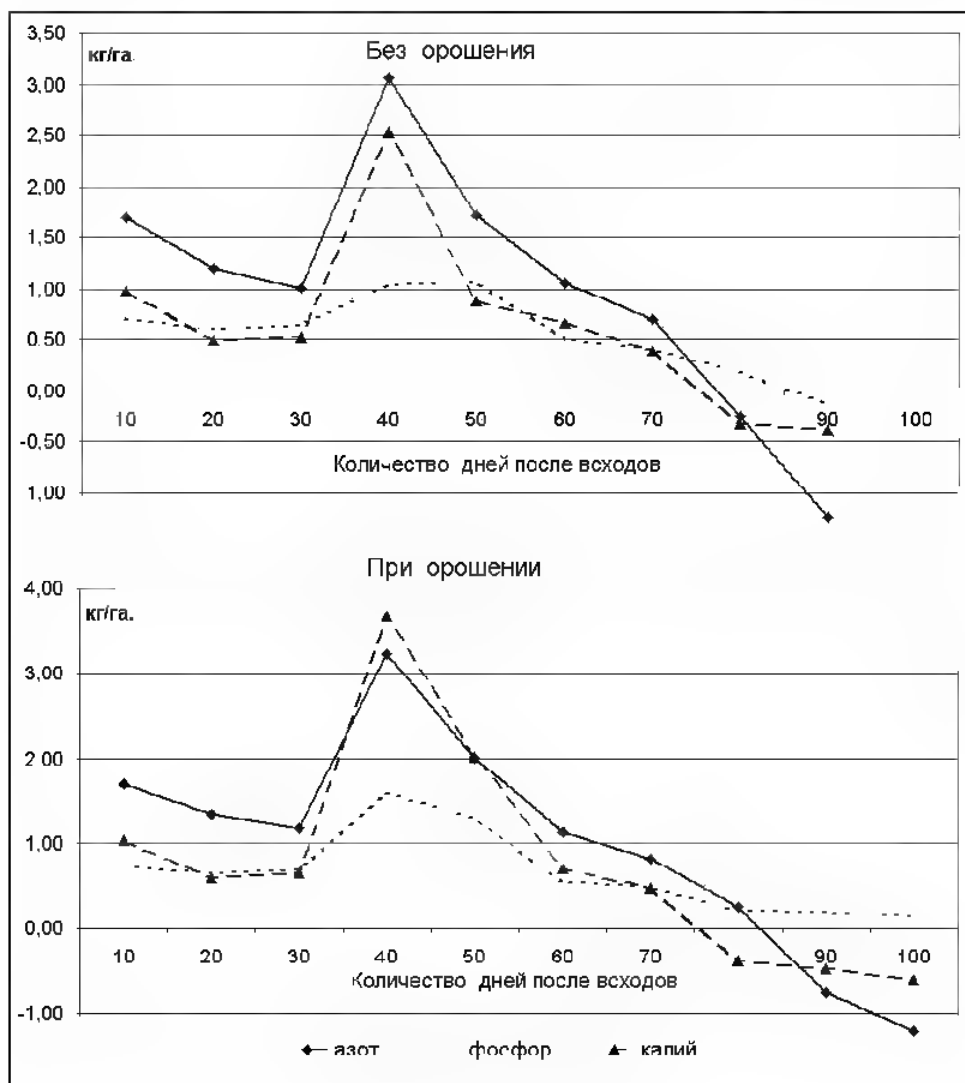


Рис. 1. Суточное потребление биогенных элементов посевами льна масличного на фоне питания $N_{60}P_{45}K_{45}$, кг/га.

Корреляционный анализ отобразил высокую степень зависимости между биологическим поглощением элементов и количеством сырой 0,79-0,9 и сухой 0,94-0,98 биологической массы. Процентное содержание биогенных элементов находилось в тесной обратной зависимости от биологической массы растений, что опосредствованно свидетельствует об «эффекте разбавления» в периоды быстрого роста льна. Коэффициент корреляции составлял - 0,73 для азота, и - 0,74 и - 0,55 для фосфора и калия, соответственно.

ЗАКЛЮЧЕНИЕ

Определяющее значение в формировании величины выноса биогенных элементов имеет нарастание биологической массы льна масличного. Система минерального питания должна предусматривать высокий уровень обеспеченности посевов элементами питания в третью - шестую декаду от всходов культуры за счет совокупного влияния основного внесения удобрений и подкормки.

ЛИТЕРАТУРА

- Белопухов С.Л. (2002) К вопросу об извлечении химических элементов льном из почвы. *Известия Тимирязевской с.-х. академии*, 4: 34-40.
- Биднина И.О. (2010) Производительность и качество льна масличного в зависимости от уровня минерального питания в условиях юга Украины. *Автореф. дис. на получение степени канд. с.-г наук: спец. 06.01.09 «Рослинництво»*. Херсон: 18 с.
- Вишневская Ю.С. (2011) Вплив системи удобрення на структуру і урожайність сортів льна масличного. *Збірник наукових праць ННЦ «Інститут землеробства НААН»*, 334: 92-96.
- Гинзбург К.Е., Щеглова Г.М. (1960) Определение азота, фосфора и калия в растительном материале из одной навески. *Почвоведение*, 5: 100-105.
- Кошкин Е.И. (под ред.) (2005). Частная физиология полевых культур. М.: Колос, с. 213-267.
- Кузнецова Г.Н. (2004) Оптимизация минерального питания льна масличного в Южной Лесостепи Западной Сибири. *Автореф. дис. на соискание степени канд. с.-х наук: спец. 06.01.04 «Агрохимия»*. Омск: 18 с.
- Мосолов И.В. (1960) Физиологическое обоснование питания растений по фазам роста и развития. Питание растений и применение удобрений. *Труды ВНИИ удобр. и агропочвоведения*. 36: 5-18.
- Церлинг В.В. (1990) Диагностика питания сельскохозяйственных культур. *Справочник*. М.: Агропромиздат, 235 с.
- Шваб С.Б., Мирончук В.П. (2007) Урожайность льна масличного в зависимости от норм высева семян и удобрения. *Межведомственный тематический научный сборник «Земледелие» ВД «ЕКМО»*. Київ, 79: 110-114.

Formation Of The Biological Mass And Nutrient Element Consumption By The Flax Oilseed Crops In The Dry Steppe Zone Of Ukraine

A.L. Rudik

Kherson State Agricultural University, Ukraine

The processes of the biological mass formation and consumption of nutrient elements by the flax oilseed crops under the impact of irrigation and mineral fertilizers have been studied. It was established, that the maximum dry mass formation, the highest accumulation of nitrogen and potassium by the crops occurred on the seventieth day and phosphorus on the eightieth day after appearance of the mass shoots. Strengthening of the mineral nutrition background increased the biological mass of crops and accumulation of nutrient elements in them. The maximum daily uptake of the nutritive elements was between the thirtieth and sixtieth days after appearance of the crop shoots. The increase of the biological mass is the determining factor in the uptake of biogenic elements by plants, which is accompanied by the "dilution effect" of their content in plant organs.

Keywords: Flax oilseed, biological mass, mineral fertilizers, nitrogen, phosphorus, potassium, irrigation

Ukraynanın Quru Çöl Zonasında Yağlı Kətan Əkinləri Tərəfindən Qida Elementlərinin Udulması və Bioloji Kütlənin Formalaşması

А.Л. Рудик

Xerson Dövlət Aqrar Universiteti, Ukraina

Suvarma və mineral gübrələrin təsiri ilə adi (yağlı) kətan əkinləri tərəfindən qida elementlərinin udulması və yerüstü hissənin formalaşması prosesləri tədqiq edilmişdir. Müəyyən edilmişdir ki, maksimum quru kütlənin yaranması, əkinlər tərəfindən azot və kaliumun ən yüksək miqdarda toplanması kütəvi cücərtilərin meydana gəlməsindən 70 gün, fosforun isə 80 gün sonra baş verir. Mineral qidalanma fonunun gücləndirilməsi əkinlərin bioloji kütləsini və onda akkumulyasiya olunan qida elementlərinin miqdarını artırır. Qida elementlərinin ən yüksək gündəlik udulması kultura cücərtilərinin meydana gəlməsindən sonra 30-60-cı günlər arasında baş vermişdir. Bitkilər tərəfindən biogen elementlərin udulmasında müəyyənədicə göstərici bioloji kütlənin artmasıdır ki, bu da bitki orqanlarında onların miqdarının “durulaşma effekti” ilə müşayiət olunur.

Açar sözlər: *Adi (yağlı) kətan, bioloji kütlə, mineral gübrə, azot, fosfor, kalium, suvarma*

Azərbaycan Dendroflorasında Olan Çılpaqtoxumlu (*Pinophyta* və ya *Gymnospermae*) Bitkilərin Mənşəyi və Statusu

S.Q. Qarayev

AMEA Mərkəzi Nəbatat Bağı, Badamdar yolu, 40, Bakı AZ 1004, Azərbaycan;
E mail: qarayev.1974@mail.ru

Məqalədə Azərbaycanın təbii florasında yayılmış və introduksiya olunmuş çılpaqtoxumlu bitkilərin mənşəyi, tarixi təkamülü müxtəlif müəlliflərin əsərlərini ümumiləşdirərək araşdırılmışdır. Çılpaqtoxumlu bitkilər öz başlanğıclarını Poleozoy erasının Devon dövrünün ikinci yarısından götürmüşdür. Müasir flora məxsus bitkilərin areallarının formalaşması Kaynazoyun əvvəllərinə təsadüf edir. Kaynazoy erasının üçüncü dövrünün Paleosen və Eosen mərhələlərində iqlim isti və rütubətli olmuşdur. Bu dövrdə Poltav florası - əsasən həmişəyaşıl bitkilər üstünlük təşkil etmiş, onların arealları Arktikadan Antarktidaya qədər genişlənməmişdir. Üçüncü dövrün Oligosen mərhələsinin əvvəllərindən etibarən həmişəyaşıl Poltav florasını yarpaqlarını tökən Turqay florası sıxışdırmağa başlamışdır. Məqalədə həmçinin Azərbaycan dendroflorasında olan çılpaqtoxumlu bitkilərin müasir təsnifat əsasında ümumi siyahısı və statusları verilmişdir.

Açar sözlər: Çılpaqtoxumlular, sistematika, status, fəsilə, cins və növlər, areal, nadir, turqay florası, Poltav florası

GİRİŞ

Çılpaqtoxumlular qədim bitkilər olub, öz başlanğıclarını 360-370 milyon əvvəl - Poleozoy erasının Devon dövrünün ikinci yarısından götürmüşdür. Mezozoy erasında çılpaqtoxumlular inkişafının ən yüksək mərhələsinə çatmışlar. Bu dövrdə istisəvər bitkilər hegomonluq etmişlər. Mezozoy erasının sonlarında kəskin soyuqların düşməsi ilə əlaqədar, bitkilərin çoxu məhv olmağa başlayırlar. Çılpaqtoxumlular ikinci dəfə öz başlanğıclarını Mezozoyun soyuqadavamlı formalarından götürmüşlər. Bu formaların əmələ gəlməsi, yerin materikdaxili buzlaşması ilə əlaqədar olmuşdur. Kaynazoy erasında çılpaqtoxumluların soyuqadavamlı növləri Şimal yarımkürəsinin mülayim və mülayim-soyuq iqlim qurşaqlarında geniş areallarda yayılmışlar. Bu bitkilər həmin yerlərin müsair dövr florasında da üstünlük təşkil edirlər. Çılpaqtoxumluların özlərindən əvvəlki bitki quruluşları ilə müqayisədə bu cür geniş yayılması, onların toxumla çoxalması amili mühüm yer tutur. Toxum yumurtacıq inkişafından əmələ gəlir. Yumurtacıq dəyişkənliyə uğramış makrosporangidir. Yumurtacıq makrosporanginin üzərində açıqda yerləşdiyindən, ondan əmələ gələn toxum da açıqda yerləşir. Ona görə bu bitkilər çılpaqtoxumlular adlanır. Toxumdan ilk olaraq rüseym kökcüyü inkişaf edir. Ağac bitkilərinin əmələ gəlməsində kökün, uzunmüddətli funksiyaya daşıyan kambinin, mexaniki möhkəmliyi şərtləndirən su ötürən toxumaların formalaşması vacib rol oynamışdır. Müasir çılpaqtoxumluların əksəriyyəti ağac və kol-şəkilli bitkilərdir. Təkamülün qədim mərhələ-

lərində otşəkilli növləri də olmuşdur (Qurbanov, 2009; Зубкевич, 2003; Криптофович, 1957).

Bütün çılpaqtoxumlular müxtəlifsporlu bitkilərdir. Mikrosporangilərdə mikrosporlar formalaşır. Qılaf ilə örtülmüş, böyüyən mikrosporları-erkək gametofitləri tozucuq adlandırırlar. Müxtəlif sayda hüceyrələrdən təşkil olunan tozucuq əsasən küləklə yayılır. Örtülütətoxumlulardan fərqli olaraq bunlarda yumurtacıq bağlı olmadığı üçün, tozucuq birbaşa rüseym başlanğıcına düşür. Rüseym başlanğıcının içərisində bir ədəd iri sporogen hüceyrə formalaşır. Daha sonra bu hüceyrə reduksion yolla bölünərək 4 ədəd qeyri-bərabər hüceyrələri-meqasporları əmələ gətirir. Rüseym başlanğıcı mürəkkəb orqan olub, mikrosporangiyə, nitsellusdan və örtük-intequmentdən təşkil olunur. Əmələ gələn 4 meqasporadan 3 ədəd kiçik olanı məhv olur, bir ədəd böyüyü isə inkişaf edərək dişi gametofiti və ya endospermə əmələ gətirir. Mayalanmadan sonra rüseym başlanğıcından toxum inkişaf edir. Intequment toxum qabığına çevrilir, nitsellus rüseymin böyüməsinə sərf olunur. Mayalanmış yumurta hüceyrəsindən rüseym, onun kökcüyü, gövdəciyi və 2-18 ləpəli toxum inkişaf edir. Yumurtahüceyrəsi spermatozoidlə mayalanan bitkilərə *zoidoqam*, spermilərlə mayalananlara isə *sifonoqam* bitkilər deyilir (Qurbanov, 2009).

Azərbaycan florasında olan çılpaqtoxumlu bitkilər müxtəlif müəlliflər tərəfindən ayrı-ayrı taksonlar şəkilində bir sıra aspektlərdən tədqiq olunsa da, onların tarixi mənşəyi, müasir təsnifatı və statusları kompleks halda öyrənilməmişdir.

MATERIAL VƏ METODLAR

Tədqiqatın materialı Azərbaycan florasında təbii yayılmış və introduksiya olunmuş çılpaqtoxumlu bitki növləridir. Azərbaycan florasında olan çılpaqtoxumluların siyahısı (Гроссгейм, 1946; Əsədov və b., 2014; Əsgərov, 2011), sistematikas (Qurbanov, 2009; Зубкевич, 2003), nadir bitkilər (Məmmədov və b., 2016) cins və növlərin adları (Черпанов, 1981), tarixi geoloji era və dövrlər (Криштофович, 1957) görə verilmişdir.

NƏTİCƏLƏR VƏ ONLARIN MÜZAKİRƏSİ

Müasir təsnifata görə **PINOPOHYTA** və ya **GYMNOSPERMAE**- çılpaqtoxumlular şöbəsinə 6 sinif daxildir:

1. *Pteridospermopsida* - toxumlu qijilər
2. *Bennetitopsida* - bennetitlər
3. *Cycadopsida* - saqovniklər
4. *Ginkgoopsida* - kinqolar
5. *Pinopsida* və ya *Coniferopsida*- iynəyarpaqlılar və ya qozadaşıyanlar
6. *Chlamydospermatopsida* - toxumörtüklülər.

Toxumlu qijilərin və bennetitlərin nəslə kəsilmişdir. Digər 4 sinifə aid 900-ə qədər növ yer kürəsinin bütün iqlim qurşaqlarında yayılmışdır. Azərbaycan florasında təbii yayılmış və introduksiya edilmiş çılpaqtoxumluların ümumi siyahısı cədvəl 1-də verilmişdir.

1. *Cycadopsida* – saqovniklər sinfi

Gövdə və yarpaqlarının qalıqlarına əsasən Paleozoy erasının perm dövrünə, strobil və toxumlarına görə isə Mezozoyun yuxarı trias dövrünə aid edirlər. Mezozoyun sonlarında - Yura və tabaşir dövrlərində çoxlu quruplar şəklində yer kürəsində geniş yayılmışdır. Müasir florada bir fəsiləsi *Cycadaceae* Pors. (saqovnikkimilər), 10 cinsi və 120-130 növü tropik və subtropik iqlim qurşaqlarında yayılmışdır. Amerika materikində, Afrikada və Avstraliyada daha çox növ müxtəlifliyi vardır. Əsasən həmişəyaşıl bitkilərdir. Azərbaycanda Mərkəzi Nəbatat Bağında və Mərdəkan Dendrologiya İnstitutunda otaq şəraitində becərilən bir növü - Əyriyarpaq saqovnik (*Cycas revoluta* Thunb.) vardır.

2. *Ginkgoopsida* - kinqolar sinfi

Kinqolar Paleozoy erasının daş kömür dövründən məlumdur. Müasir florada bir fəsiləsi- *Ginkgoaceae* L.- Kinqokimilər və bu fəsiləyə daxil olan bir növü - *Gingo biloba* L.-İkitaylı kinqo vardır. Bu növ Mezozoyun üst tiras dövründə geniş ərazilərdə yayılmışdır. Hazırda ancaq şərq çində kiçik sahələri tutan meşələri vardır. Hundürlüyü 30 m-ə çatan, yarpaqlarını tökən ağaclardır. Mərkəzi Nəbatat Bağında və Mərdəkan Dİ-da becərilir.

3. *Pinopsida* və ya *Coniferopsida* - İynəyarpaqlılar və ya qozadaşıyanlar sinfi.

Paleozoy erasının daş kömür dövründən məlum olub, Mezozoyun yura və tabaşir dövrlərində geniş yayılmışlar. Bu sinif iki yarım sinifə bölünür:

Cədvəl 1. Azərbaycan florasında olan çılpaqtoxumlu bitkilər, statusları və mənşəyi St - status. t - təbii yayılanlar, i - introduksiya olunanmışlar, n - nadir, r - relikv bitkilər.

Cins və növlər	St	Era və dövrlər	Cins və növlər	St	Era və dövrlər
1	2	3	4	5	6
1. <i>Cycadopsida</i> - Saqovniklər sinfi, <i>Cycadales</i> - Saqovniklər sırası, <i>Cycadaceae</i> Pors. - Saqovnikkimilər fəsiləsi.					
<i>Cycas revoluta</i> Thunb.-Əyriyarpaq saqovnik	i	Mezozoy-yura, tabaşir			
2. <i>Ginkgoopsida</i> - Kinqolar sinfi, <i>Ginkgoales</i> - Kinqolar sırası, <i>Ginkgoaceae</i> L. - Kinqokimilər fəsiləsi.					
<i>Gingo biloba</i> L.-İkitaylı kinqo	i	Mezozoy üst trias			
3. <i>Pinopsida</i> və ya <i>Coniferopsida</i> - İynəyarpaqlılar və ya Qozadaşıyanlar sinfi, <i>Pinales</i> və ya <i>Coniferales</i> - İynəyarpaqlılar sırası, <i>Araucariaceae</i> Henkel - Araukariyakimilər fəsiləsi					
<i>Agathis speciosa</i> Juss.-Adi aqatis	i	Paleozoy-perm			
<i>Taxodiaceae</i> F.W.Neger. - Taksodiyakimilər fəsiləsi					
<i>Sequoiadendron giganteum</i> Lindl.- Momont ağacı;	i	Mezozoy	<i>Cunninghamia lanceolata</i> Lamb. Neştərvarı qunıqamıya;	i	Mezozoy
<i>Sequoia sempervirens</i> Endl. Həmişəyaşıl sekvoya;	i	yura,	<i>Taxodium distichum</i> Rich.-Adi taksodium	i	yura,
<i>Cryptomeria japonica</i> D.Don.-Yapon kriptomeriyası,	i	tabaşir			tabaşir

1	2	3	4	5	6
Cupressaceae Rich.ex Bartl.-Sərvkımilər fəsiləsi					
<i>Cupressus arizonica</i> Bull.-Arizona sərvı	i	Mezozoy-yura,	<i>Juniperus foetidissima</i> Willd.-Ağrıyıl ardıc;	n	Mezozoy yura,
<i>C. benthamii</i> Endl.-Bentamiya sərvı;	i		<i>J. oblonga</i> Bieb.-Uzunsov ardıc,	t	tabaşır,
<i>C. lusitanica</i> Mill.-Luzitan sərvı;	i	tabaşır,	<i>J. oxycedrus</i> L.		Kaynozoy-
<i>C. sempervirens</i> L.-Həmişəyaşıl sərv	i		<i>C. Koch</i> -Çoxməyvəli ardıc,	t	Paleosen,
<i>C. torulosa</i> D.Don.-Torula sərvı,	i	Kaynozoy-	<i>J. pygmaea</i> C.Koch.-Cırdan ardıc;	t	Eosen
<i>Chamaecyparis lawsoniana</i> Parl.-Lavson sərvpəri;	i	Paleosen,	<i>J. sabina</i> L.-Qazax ardıcı;	n	
<i>Ch. nootkatensis</i> Spach.-Nutkan sərvpəri,	i	Eosen	<i>J. virginiana</i> L.-Virginiya ardıcı;	i	Mezozoy yura,
<i>Ch. pisifera</i> Sieb et Zucc.-Noxudyarpaq sərvpəri;	i	Mezozoy-yura,	<i>J. depressa</i> Stev.-Alçaqboylu ardıc;	t	tabaşır,
<i>Thuja occidentalis</i> L.-Qərb tuyaş;	i	tabaşır,	<i>J. chinensis</i> L.-Çin ardıcı,	i	Kaynozoy
<i>T. plicata</i> D.Don.-Nəhəng tuya;	i	Kaynozoy	<i>J. communis</i> L.-Adı ardıc	i	Paleosen, eosen.
<i>Platycladus orientalis</i> (L.) Franco-Şərq tuyaş və ya şərq biotası	i	Paleosen, eosen,			
		Tabaşır			
Taxales - Qaraçöhrə sırası					
Taxaceae S.F.Gray - Qaraçöhrəkımilər fəsiləsi					
<i>Taxus baccata</i> L. Gıləmeyvəli qaraçöhrə	n	Mezozoy tabaşır,			
Pinaceae Lindl. Şamkımilər fəsiləsi					
<i>Abies nordmanniana</i> Spach - Nordman və ya Qafqaz ağ şamı;	i	Mezozoy-	<i>P. eldarica</i> Medw. - Eldar şamı	e,r	Mezozoy-
<i>Picea excelsa</i> Link. Adı küknaş;	i	tabaşır,	<i>P. halepensis</i> Mill. - Hələb şamı	i	
<i>P. orientalis</i> Link. Şərq küknaş;	i		<i>P. kochiana</i> Klotzsch ex C. Koch - Kox şamı,	n	tabaşır,
<i>P. pungens</i> Engelm.-Tikanlı küknaş;	i	kaynozoy-	<i>P. pallasiana</i> Don. - Krim şamı;	i	kaynozoy-
<i>Tsuga canadensis</i> Carr. Kanada tsuqası.	i	paleosen,	<i>P. pinaster</i> Sol. - Sahıl şamı;	i	
<i>Larix europaea</i> DC.-Avropa qara şamı	i	eosen,	<i>P. montana</i> Mill. - Dağ şamı;	i	paleosen,
<i>Cedrus atlantica</i> Manet.-Atlant sıdrı;	i	olıqosen	<i>P. pinea</i> L. - İtaliya şamı;	i	eosen,
<i>C. deodora</i> G.Don.f.-Himalay sıdrı,	i		<i>P. longifolia</i> Roxb. Uzunarpaq şam,	i	olıqosen
<i>C. libani</i> Rich.-Livan sıdrı	i		<i>P. puthunda</i> Stev. - Pitsunda şamı;	i	
<i>Pinus banksiana</i> Lamb.-Banks şamı;	i		<i>P. ponderosa</i> Dougl.-Sarı şam;	i	
			<i>P. sylvestris</i> L.-Adı şam	i	
			<i>P. strobus</i> L.-Veymut şamı;	i	
4.Chlamydospermatopsida - Toxumörtüklülər sinfi,					
Ephedrales - Acılıq sırası,					
Ephedraceae Dumort - Acılıqkımilər fəsiləsi.					
<i>Ephedra intermedia</i> Schrenk.-Ortaboy acılıq;	t	Mezozoy yura,	<i>E. procera</i> Fisch.et C.A. Mey.-Boylu və ya qaya acılığı	t	Mezozoy yura,
<i>E. distachya</i> L.-İkisünbül acılıq;	t		<i>E. equisetina</i> Bunge. -Qatırquyruq acılıq	n	tabaşır
<i>E. kokanika</i> Regel.-Kırpıklı acılıq;	i	tabaşır			

Cordaitidae - kordaitlər yarımşinfi.

Bu yarımşinfiyə bir sıra - **Cordaitales** (kordaitlər) və bir fəsilə **Cordaitaceae** - kordaitkımilər daxildir. Bu sıra daş kömür dövründə bataqlıq və quru ərazilərdə geniş meşələr əmələ gətirmişlər. Daş komurün formalaşmasında iştirak etmişlər. Perm dövründə global iqlim dəyişiklikləri ilə əlaqədar olaraq, quru və kəskin soyuqlara dözməyərək, tamamilə məhv olmuşlar.

Pinidae - iynəyarpaqlılar yarımşinfi.

Üst daş kömür dövründə, şimal yarımkürəsinin mülayim iqlim zonasında əmələ gəlmişlər. İlk iynəyarpaqlılar lokal buzlaşma ilə əlaqədar quraqlıq səbəbindən kseromorf struktura malik olmuşlar. Perm-in sonu, triasin əvvəllərində kəskin soyuqlar iynəyarpaqlıların inkişafını ləngitmişdir. Araukari-lər, podakarplar və şamlar məhz bu dövrdə əmələ gəlmişdir. Lakin onların fəsilələrə diferensasiyası tam baş verməmişdir. Perimin sonunda iynəyarpaq

lıların arelları Cənub yarım kürəsinə doğru genişlənməyə başladı. Triasda isə onlar bütün yer kürəsinə yayılmağa başladılar. İynəyarpaqlıların inkişafının çiçəkləmə dövrü, muasir cins və növlərə ayrılması yura və tabaşır dövrlərində baş vermişdir. Müasir floraya məxsus bitkilərin areallarının formalaşması Kaynazoyun əvvəllərinə təsadüf edir. Kaynazoy erasının üçüncü dövrünün Paleosen və Eosen mərhələlərində iqlim isti və rütubətli olmuşdur. Bu dövrdə Poltav florası - əsasən həmişəyaşıl bitkilər üstünlük təşkil etmişdir. İynəyarpaqlılar üçün əlverişli olan bu şəraitdə onların arealları Arktikadan Antarktidaya qədər genişlənməmişdir. Üçüncü dövrün Olıqosen mərhələsinin əvvəllərindən etibarən həmişəyaşıl Poltav florasını yarpaqlarını tökən Turqay florası əvəz etməyə başladı. Bu proses Avropadan başlayıb, şimala doğru getmişdir. O cümlədən Aralıq dənizi ətrafını və Qafqazı da əhatə etmişdir. Turqay florasında *Fagus* L., *Ulmus* L., *Betula* L.,

Quercus L., *Juglans* L., *Pterocarya* Runth., *Acer* L., *Vitis* L., *Zelkova* Spch., və s. yarpağını tökən cinslər üstünlük təşkil etmişlər. Oliqosenin ortalarında Türqay florası Asiyadan Yaponiyaya, saxalından Kazaxistana, Urala, Avropada Şotlandiya, İngiltərəyə qədər yayılır və iynəyarpaqlıların areallarını sıxışdırmağa başlayır.

Avropa və Asiyada buzlaşma ilə əlaqədar isti sevon birkilər, eləcə də iynəyarpaqlıların bir çox qurupları məhv olmağa başlayır. Yalnız soyuqda-vamlı və nisbətən cavan növlər məhv olmadılar. Sonradan bu növlər mülayim və mülayim-soyuq iqlimə uyğunlaşaraq, geniş yayıldılar. Asiyanın cənub-şərq ərazilərini buzlaşma əhatə etmədiyindən, bu ərazilərdə qədim növlər öz varlıqlarını qoruyub saxlamışlar. Amerikada dağlar əsasən meredien boyu yerləşdiyi üçün, buzlaşma dövründə istisevən bitkilər öz areallarını cənuba doğru dəyişmişlər. İndi də Amerikanın Sakit okean sahillərində İynəyarpaqlıların çoxlu reliktnövləri vardır.

İynəyarpaqlıların əksəriyyəti həmişəyaşıl olub, ağac və kol şəkillidirlər. Çılpaqtoxumlular arasında ən çox novə malıkdırlar (7 fəsilə, 55 cins və 600-dən çox növ).

Pinales və ya **Coniferales** - iynəyarpaqlılar sırası.

Bu sıraya 7 fəsilə daxildir. Onlardan 3-nə aid cins və növlər Azərbaycan florasında (təbii və introduksiya olunmuş) vardır:

Araucariaceae Henkel - Araukariyakimilər fəsiləsi.

Perm dövrünün indi də yaşayan ən qədim fəsilələrindən biridir. Yura və tabaşir dövrlərində araukariyakimilər bütün yer kürəsində geniş yayılmışlar. Hal hazırda bu fəsiləyə **Araucariya F. Neger.** - araukariya və **Agathis Juss.** - aqatis cinsləri daxildir. Aqatis cinsinin əsasən Avstraliya, Filippin, Yeni Zelandiyada 20 növü yayılmışdır. Azərbaycanda yalnız introduksiya edilmiş bir növünə - **Agathis speciosa Juss.** - Adi aqatisə Mərkəzi Nəbatat bağında rast gəlinir.

Taxodiaceae F.W.Neger. - Taksodiyakimilər fəsiləsinin 10 cinsi vardır. Yura dövründə meydana gələn taksodiyakimlərin geniş yayılması tabaşir dövrünə təsadüf edir. Kaynozoyun əvvəllərində bütün şimal yarımkürəsi boyunca Qrenlandiyaya qədər yayılmışdır. Hal hazırda Şimali Amerika, Cənub-Şərqi Asiyada kiçik təbii arealları vardır. Cənub yarımkürəsində Tasmaniya adasında bir cinsi (**Athrotaxis**) məlumdur. Bu fəsiləyə daxil olan ağaclar hündür (80-100 m) və uzun ömürlü (100-1000 il) olmaları ilə fərqlənirlər. Azərbaycanda Mərkəzi Nəbatat Bağında introduksiya olunmuş (**Sequoiadendron giganteum Lindl.** - Momont ağacı, **Sequoia sempervirens Endl.** - Həmişəyaşıl sekvoja, **Cryptomeria japonica D.Don.** - Yapon kriptomeriyası, **Cunninghamia lanceolata Lamb.** - Neş-

tərvəri qunningamiya, **Taxodium distichum Rich.** - Adi taksodium) bir neçə növünə rast gəlinir.

Cupressaceae Rich.ex Bartl. - Sərvkimilər fəsiləsinin geoloji tarixi Mezozoy erasının yura dövründən başlayır. Tabaşir dövründə və Kaynozoyun əvvəllərində daha geniş yayılaraq, müasir cins və növlərə diferensasiya edirlər. Müasir florada Sərvkimilər fəsiləsinin 20 cinsi və 130-145 növü Şimal və Cənub yarımkürəsində geniş areallarda yayılmışdır. Dişi qozaların quruluşuna görə bu fəsilə 3 yarımfəsiləyə bölünür:

Cupressoideae - sərvkimilər yarımfəsiləsi üçün yerini dəyişən toxum pulcuğu və ağaclaşmış qozalar xarakterdir. Yarımfəsilənin bir cinsi **Cupressus L.** - sərv 15 növü Avropanın, Afrikanın və Şimali Amerikanın mülayim isti rayonlarında yayılmışlar. Azərbaycanda Mərkəzi Nəbatat Bağında, Mərdəkan Dİ-da və Abşeron yarmadasında bir neçə növü (**Cupressus arizonica Bull.** - Arizona sərv, **C. benthamii Endl.** - Bentamiya sərv, **C. lusitanica Mill.** - Luzitan sərv, **C. sempervirens L.** - Həmişəyaşıl sərv, **C. torulosa D.Don** - Torula sərv, **Chamaecyparis lawsoniana Parl.** - Lavson sərv, **Ch. nootkatensis Spach.** - Nutkan sərv, **Ch. pisifera Sieb et Zucc.** - Noxudyarpaq sərv, **Biota orientalis Endl.** - Şərq biotası) əkilib becərilir.

Thujoideae - Tuyakimilər yarımfəsiləsinin 15 cinsi vardır. Qozaları dəricikşəkilli, ağaclaşmış pulcuqlu olur. Azərbaycanda bu yarımfəsilənin cinslərinə aid bir sıra növlər introduksiya olunaraq park və xiyabanların salınmasında istifadə olunur (**T. occidentalis L.** - Qərb tuyası, **T. plicata D.Don.** - Nəhəng tuya, **Platycladus orientalis (L.) Franco** - Şərq tuyası və ya Şərq biotası)

Juniperoideae - ardıcimilər yarımfəsiləsinə özündə 70-ə qədər növü birləşdirən bir cins **Juniperus L.** - ardıc daxildir. Ardıc cinsi Arktikadan tutmuş subtropiklərə qədər yayılmışdır. Əsasən sərilmiş formalı kollar, çox az hallarda isə 10-12 m-ə çatan ağaclarıdır. Dişi qozaları 3-8 örtücü pulcuqdan ibarətdir. Azərbaycan florasında olan ardıc növləri:

Juniperus foetidissima Willd. - Ağırıyli ardıc. Azərbaycanda Kiçik qafqazda, Naxçıvanın dağlarında bitir. Nadir bitki hesab edilir;

J. oblonga Bieb. - Uzunsov ardıc. Azərbaycanda Böyük və kiçik Qafqazda, Talışda, Türyançay Dövlət qoruğu ərazisində, Naxçıvanın dağlıq ərazilərində bitir;

J. polycarpus C.Koch. - Çoxmeyvəli ardıc. Böyük və kiçik Qafqazda, Naxçıvan dağlarında bitir;

J. pygmaea C. Koch. - Cırtdan ardıc. Azərbaycanda Böyük Qafqazda - Quba və Qusar rayonlarında, Kiçik Qafqazda - qaşqaçay hövzəsində subalp və alp quruşaqalarda qayalıqlarda yayılmışdır;

J. sabina L. - Qazax ardıc. Azərbaycanda Böyük Qafqazda dəniz səviyyəsindən 3000 m yüksəklikdə qayalıqlarda bitir. Nadir bitki hesab edilir;

***J. virginiana* L.** - Virginiya ardıcı. Təbii halda Kırımın dağlıq hissəsində və Qafqazın Qara dəniz sahilində yayılmışdır. Mərkəzi Nəbatat bağında introduksiya edilmişdir;

***J. depressa* Stev.** - Alçaqboyu ardıc. Azərbaycanda Böyük və Kiçik Qafqazda, Naxçıvanda subalp və alp qurşaqlarda qayalı və daşlı yamaclarda bitir;

***J. chinensis* L.** - Çin ardıcı. Vətəni Çin, Koreya və yaponiyadır. Mərkəzi Nəbatat Bağında introduksiya edilmişdir;

***J. communis* L.** - Adi ardıc. Vətəni avropanın şimal zonası olub, Murmanskıya qədər yayılmışdır. Mərkəzi Nəbatat Bağında introduksiya edilmişdir.

Taxales - Qaraçöhrə sırası.

***Taxaceae* S.F. Gray** - Qaraçöhrəkimilər fəsiləsinin nümayəndələri Şimal yarımkürəsində yayılmışdır. Öz başlanğıclarını tabaşir dövründən götürmüşlər. Müsair florada 4 cinsi Şimali Amerikada, Avropda, Şimali Afrikda və Asiyda yayılmışdır. Azərbaycanda qorunub saxlanılmış qara-çöhrə meşələri nadir meşələr hesab edilir. ***Taxus baccata* L.** - Gümeyvəli qaraçöhrə nadir bitki olub, Kiçik və Böyük Qafqazda, Talışda bitir

***Pinaceae* Lindl.** - Şamkimilər geolji tarixi Mezozoyun tabaşir dövründən başlasa da, onların fəsilə və cinslərə diferensiasiyası Kaynozyun alt üçüncü dövrünün paleosen, eosen və oligosen mərhələlərində də davam etmişdir Şamkimilər fəsiləsi çilpaqtoxumluların ən geniş yayılmış fəsiləsidir. Bu fəsilənin Şimal yarımkürəsində - Avropa, Asiya və Amerikda mülayim, mülayim-soyuq iqlimdə yayılmış 10 cinsi və 250 növü vardır. Şamkimilər zoğlarının formasına görə 3 əsas yarımfəsiləyə bölünür:

Abietinae - ağşamkimilər yarımfəsiləsi üçün uzun zoğların olması və qozalrın birinci il yetişməsi xarakterikdir. Azərbaycanda (Mərkəzi Nəbatat Bağında, Mərdəkan Dİ-da və Abşeronda yaşıllıqlarda) introduksiya edilmiş ***Abies nordmanniana* Spach.** - Nordman və ya Qafqaz ağ şamı, ***Picea excelsa* Link.** - Adi küknar, ***P. orientalis* Link.** - Şərqi küknarı, ***P. pungens* Engelm.** - Tikanlı küknar, ***Tsuga canadensis* Carr.** - Kanada tsuqası növlərinə rast gəlinir.

Laricoideae - qaraşamkimilər yarımfəsiləsi zoğlarının formasına görə iki tipə bölünür. Uzun və qısa zoğların üzərində yaşıl iynəyarpaqlar olur. ***Larix europaea* D.C.** - Avropa qara şamı, ***Cedrus atlantica* Manet.** - Atlant sidri, ***C. deodora* G. Don.f.** - Himalay sidri, ***C. libani* Rich.** - Livan sidri növləri Mərkəzi Nəbatat bağında və Mərdəkan Dİ-da introduksiya olunmuşdur.

Pinoideae - şamkimilər yarımfəsiləsi bir cinsə (***Pinus***) daxil olan 100-dən çox növə malikdir. İki tip zoğun olması ilə əvvəlki yarımfəsilələrdən fərqlənir. Azərbaycan florasında aşağıdakı növləri vardır:

***Pinus banksiana* Lamb.** - Banks şamı. Vətəni Şimali Amerikadır. Mərkəzi Nəbatat Bağında introduksiya edilib;

***P. eldarica* Medw.** - Eldar şamı. Eldar düzünün qərb hissəsində Eldar Oyuğunda təbii arealı vardır. Azərbaycanın endem bitki növüdür. Eyni zamanda üçüncü dövr relikt növüdür.

***P. halepensis* Mill.** - Hələb şamı. Vətəni Kiçik Asiyadır. Abşeronda yaşıllıqlarda təsadüf edilir;

***P. kochiana* Klotzsch ex C.Koch** - Kox şamı Quba, Qusar, Balakən, Xankəndi, Ağdərə, Murovdağ silsiləsində və Naxçıvanda təbii halda bitir Nadir bitkidir.

***P. pallasiana* Don.** - Kırım şamı. Vətəni Kırım və Qafqazdır. Azərbaycanın bir çox şəhərlərində yaşıllaşdırmada istifadə edilir.

***P. pinaster* Sol.** - Sahil şamı. Vətəni Aralıq dənizi ətrafı ölkələr, Qara dəniz sahilləridir. Mərkəzi Nəbatat Bağında, Mərdəkan dendrarisində, Astaralənkeran bölgəsində tək-tək nüsxələri vardır;

***P. montana* Mill.** - Dağ şamı. Vətəni Qərbi Avropa, Karpat və Balkan dağlarının Alp qurşağıdır. Mərkəzi Nəbatat Bağında, Mərdəkan dendrarisində bir neçə nüsxəsi vardır.

***P. pinea* L.** - İtaliya şamı. Vətəni Aralıq dəniz sahilləri və Kiçik Asiyadır. Azərbaycanda Gəncədə, Bərdədə, Lənkəranda və Astarada tək-tək nüsxələri vardır;

***P. longifolia* Roxb.** - Uzunyarpaq şam. Vətəni Himalay dağlarıdır. Azərbaycanda Mərdəkan Dendrarisində introduksiya edilib,

***P. pithsunda* Stev.** - Pitsunda şamı. Vətəni Qərbi Zaqafqaziya. Mərkəzi Nəbatat Bağı və Mərdəkan Dendrarisində becərilir;

***P. ponderosa* Douglas.** - Sarı şam. Vətəni Şimali Amerikadır. Mərkəzi Nəbatat Bağında, introduksiya olunub;

***P. sylvestris* L.** - Adi şam. Vətəni Avropa, Asiya. Bakıda park və xiyabanlarda təsadüf edilir;

***P. strobus* L.** - Veymut şamı. Vətəni Şimali Amerikadır. Azərbaycanda Mərkəzi Nəbatat Bağında, Gəncədə və Bərdədə nüsxələri vardır.

4. Chlamydospermatopsida - Toxumörtüklülər sinfi

Bu sinifə ***Ephedrales*** (acılıq), ***Gnetales*** (knetum) və ***Welwitschiales*** (velvitsiya) sınırları aiddir. Ümumilikdə 80-ə yaxın növü vardır. Hər bir sraya bir fəsilə, hər fəsiləyə də bir cins daxildir. Paleobotaniki materiallar olmadığından bu sinfin tarixi və mənşəyi dəqiq məlum deyildir. Bu sinfin geolji tarixinin yura və tabaşir dövründən başladığı güman edilir. Azərbaycan florasında bu sinfin ***Ephedrales*** - acılıq sırasının ***Ephedraceae* Dumort** - Acılıqkimilər fəsiləsinə daxil olan ***Ephedra* L.** - acılıq cinsinin bir neçə növü vardır. Acılıq cinsinin Aralıq dəniz sahilləri ölkələrində, Asiya və Amerikada səhra, bozqır və qayalıq sahələrdə 40 növü yayılmışdır.

***Ephedra intermedia* Schrenk.** - Ortaboy acılıq. Əsasən Orta Asiyada Qərbi Sibirə yayılmışdır

Azərbaycanda Xəzər sahili düzənlikdə, Kür-Araz ovalığında və Naxçıvan düzənliyində təsadüf edilir;

E. distachya L. - İkisümbül acılıq. Aralıq dənizinin şimalında yayılmışdır. Azərbaycanda Xəzər sahili düzənlikdə, Abşeronda, Qobustanda, Kür-Araz ovalığında, Lənkəran və Naxçıvan düzənliyində yayılmışdır;

E. kokanika Regel. - Kirpikli acılıq. Mərdəkan Dendrarisində introduksiya olunub;

E. procera Fisch. et C.A.Mey. - Boylu və ya qaya acılığı. Balkanda, Kiçik Asiyada, İranda təsadüf edilir. Azərbaycanda Böyük Qafqazda və Kiçik Qafqazın şimalında, Qobustanda daşlı çınqıllı ərazilərdə bitir.

E. equisetina Bunge. - Qatırquyruq acılıq. Təbii halda Orta Asiya, Tibetdə yayılmışdır. Azərbaycanda Naxçıvanda, Qobustanda, Şamaxıda, Sitalçay boyunca orta dağ qurşağında qayalıq yerlərdə bitir. Nadir bitkidir.

Acılıq cinsinə aid növlərin təbii areallarının ekoloji xüsusiyyətlərinə nəzər saldıqda, bu bitkilərin quraqlığa və kontinental iqlimə uyğunlaşdıqlarını, kseromorf quruluşa malik olduqlarını görürük. Bu isə onu deməyə əsas verir ki, Toxumörtüklülər sinfi öz başlanğıclarını daş komür dövründən götürmüş, perm və trias dövrlərinin soyuq və quru iqliminə uyğunlaşmışlar.

Beləliklə, Azərbaycan florasında çıpaqtoxumların 4 sinfinə, 8 fəsiləsinə, 20 cinsinə məxsus 56

növ ağac və kol bitkisinə təsadüf edilir. Bunlardan 13 növ Azərbaycanın təbii florasında yayılmışdır ki onlarında 1 növü relikt, 1 növü endem, 5 növü isə nadir bitkidir. 43 növ isə introduksiya olunmuşdur. Bu bitkilərin tarixi paleozoy erasının daş kömür dövründən başlamış, müasir cins və növlər əsasən Mezozoy erasının tabaşir, Kaynozyun alt üçüncü dövründə formalaşmışdır.

ƏDƏBİYYAT

Əsədov K.S., Mirzəyev O.H., Məmmədov F.M. (2014) Dendrologiya. Bakı: Gənclik, 483 s.

Əsgərov A.M. (2011) Azərbaycan florasının konspekti. Bakı: Elm, 204 s.

Məmmədov T.S., İskəndər E.O., Talıbov T.H. (2016) Azərbaycanın nadir ağac və kol bitkiləri. Bakı: Elm, 380 s.

Qurbanov E.M. (2009) Ali bitkilərin sistematikas. Bakı: Bakı Universiteti, 420 s.

Гроссгейм А.А. (1946) Растительные ресурсы Кавказа, Баку: АН Азерб. ССР, 671с.

Зубкевич Г.И. (2003) Систематика высших растений голосеменные. Минск: БГУ, 90 с.

Криштофович А.Н. (1957) Палеоботаника. Ленинград: 650 с

Черепанов С.К. (1981) Сосудистые растения СССР. Л.: Наука, 509 с.

Статус и Происхождение Голосемянных (*Pinophyta* или *Gymnospermae*) Растений из Дендрофлоры Азербайджана

С.Г. Гараев

Центральный ботанический сад НАН Азербайджана

В статье приводится список голосемянных растений из флоры Азербайджана, указаны их происхождение и статус, ареал естественного распространения и места интродукции. Уделено внимание геологической истории этих растений.

Ключевые слова: Голосемянные, систематика, статус, семейство, род и виды, ареал, редкий, Тургайская флора, Полтавская флора

The Origin And Status Of Gymnosperms (*Pinophyta* or *Gymnospermae*) Plants Of Azerbaijan Dendroflora

S.G. Garayev

Central Botanical Garden, Azerbaijan National Academy of Sciences

The data on the origin and historical evolution of gymnosperms spread and introduced in Azerbaijan have been generalized and investigated. The attention is paid to the geological history of these plants.

Key words: Gymnosperms, taxonomy, status, family, genus and species, areal, rare, Turgai flora, Poltava flora

Örtülü Şəraitdə Bəzi Dekorativ Lian Bitkilərinin Bioekoloji Xüsusiyyətləri Və Becərilməsi

A.D. Mehraliyev, Z.B. İslamova*

AMEA Mərkəzi Nəbatat Bağı, Badamdar yolu, 40, Bakı AZ1004, Azərbaycan; E-mail: z.islamova@mail.ru

Məqalədə örtülü şəraitdə becərilən bəzi dekorativ lianların (*Hoya cornosa* (L.f.) R.Br., *Tetrastigma vainierianum* (Baltet) Pierre ex Gagnep., *Jasminum sambac* (L.) Ait.) bioekoloji xüsusiyyətləri, böyümə və inkişaf dinamikası, aqrotexnikası öyrənilmişdir. Aparılmış tədqiqatlar nəticəsində daxili interyerlərin şaquli yaşıllaşdırılmasında istifadə edilmək üçün ən perspektivli lian bitki növləri müəyyən edilmişdir.

Açar sözlər: Örtülü şərait, lian bitkiləri, bioekologiya, vegetativ çoxaldılma, aqrotexnika

GİRİŞ

Bitkilərin, o cümlədən lianların bioekoloji xüsusiyyətlərinin, böyümə və inkişafının hər tərəfli öyrənilməsinin nəzəri və praktiki əhəmiyyəti vardır. Lianlar, bitkilər aləmində xüsusi bioloji xüsusiyyətə malik olan bitki qrupudur. Bu qrupa daxil olan bitki növlərinin gövdəsi sərbəst şəkildə dik dayana bilmir. Buna görə də onlar müxtəlif vegetativ orqanların – bığcıqların, hava kokların, yarpaq saplaqlarının və s. vasitəsilə hər hansı bir dayağa istinad edərək böyüyür və inkişaf edirlər.

Lian qrupuna daxil olan bitkilərin bir çox növləri tropik və subtropik mənşəli olduğundan, onlar əsasən örtülü şəraitdə becərilir. İntroduksiya şəraitində bu bitkilərin bioloji və ekoloji xüsusiyyətlərinin hərtərəfli öyrənilməsi, lianlardan daxili interyerlərin şaquli yaşıllaşdırılmasında istifadə edilməsi üçün ən perspektivli və davamlı növlərin seçilməsinə imkan yaradır.

MATERIAL VƏ METODLAR

Tədqiqat işləri Abşeronda örtülü şəraitdə (oranjereya və istixana) yerinə yetirilmişdir. Tədqiqat obyekti kimi aşağıdakı növlər seçilmişdir: ətli hoya

Hoya cornosa (L.f.) R.Br., Vuane tetrastiqması *Tetrastigma vainierianum* (Baltet) Pierre ex Gagnep., sanbak jasmını – *Jasminum sambac* (L.) Ait.

Bitkilərin vegetativ çoxaldılması T.V.Xromovanın (Хромова, 1980), fenoloji müşahidə Rusiya Baş Botanika Bağının əməkdaşları tərəfindən hazırlanmış metodikaya (Методика фенологических наблюдений в Ботанических садах СССР, 1979), əsas zoğların böyümə dinamikası isə A.A Molçanov və B.N.Smirnovun metodikasına (Молчанов, Смирнов, 1967) əsasən öyrənilmişdir.

NƏTİCƏLƏR VƏ ONLARIN MÜZAKİRƏSİ

Ətli hoya (*Hoya cornosa* (L.f.) R.Br.) *Apo-cynaceae* Juss. fəsiləsinin *Asclepiadoideae* R.Br. ex Burnett yarımfəsiləsinin *Hoya* R.Br. cinsinə aid olub, 3-6 m-ə qədər uzana bilən odunlaşmış gövdəyə malik, həmişəyaşıl sukkulent tipli sarmaşan lian bitkisidir. Zoğları yarımuduncaqlaşmış, yaşılmıltıboz rənglidir, yarpaqları qalın-ətli, tünd-yaşıl rəngli olub zoğ üzərində qarşı-qarşıya düzülmüşdür. Xoş ətrli çiçəkləri zoğ üzərində adətən sallaq şəkilli çətirdə toplanmışdır (şəkil 1). Yaz, yay və payız aylarında çiçəkləyir. Çiçək tacının diametri 1,5 sm-ə qədər olub beşüzvlü, ağ, mumsəkillidir, tacın mərkəzi çəhrayı rənglidir. Çiçəkləmə dövründə bitki olduqca gözəl və dekorativ görünür. Hoyanın çiçəklərindən ifraz olunan nektar şirin maye damcısı formasında onun səthində toplanaraq bitkiyə xüsusi dekorativ görünüş verir.

Hoya cinsinin adı ingilis botaniki T.Hoyanın şərəfinə adlandırılmışdır. Cinsin təxminən 200 növü məlumdur. Kulturada yarpağının forma və rənginə görə fərqlənən çoxlu bağ formaları vardır.

Təbiətdə ətli hoyaya Şərqi Hindistanda, Çinin cənubunda, Tayvanda, Vyetnamda, Malayziyada, Avstraliyada və Sakit okean adalarında rast gəlinir (Сааков, 1983). Əsasən rütubətli subtropik meşələrdə bitir. 1802-ci ildən kultura şəraitində dekorativ otaq bitkisi kimi becərilir.

Ətli hoya əsasən dekorativ bitki kimi yaşayış, ictimai və istehsalat binalarının daxili interyerlərini yaşıllaşdırılmasında uğurla istifadə edilə bilər. İsti və işıqsevən bitki olduğundan onu yaz, payız, qış ayları cənub-şərq və cənub-qərb, yay ayları isə şimal-qərb tərəfdə olan pəncərə və eyvanlarda yerləşdirmək daha məqsədəuyğundur. Aparılmış fenoloji müşahidələrin nəticəsi göstərmişdir ki, ətli hoyanın becərildiyi otağın, oranjereya və istixanaların temperaturu qış aylarında +10°-dən aşağı düşdükdə və yay aylarında uzun müddət birbaşa düşən günəş

şüalarının təsirindən yarpaqları saralır və bitkinin dekorativliyi, inkişafı zəifləyir və çiçəkləmə prosesi dayanır. Əgər bitki qış dövründə 14-16°C temperaturda saxlanılsa il ərzində bir neçə dəfə bol çiçəkləyər. İsti və işıqsevən bitki olan ətli hoya havanın rütubətinin 30-40%, əkildiyi substratın rütubəti isə orta dərəcədə (50-60%) olduqda normal böyüyür və inkişaf edir.



Şəkil 1. *Hoya carnosa* R.Br.- çətr çiçək qrupu.

Ətli hoya vegetativ üsulla (qələmlə) çoxaldılmışdır. Bu məqsədlə ana bitkinin 2 və ya 3 illik zoğlarından 2-3 buğumdan ibarət (12-15 sm uzunluqda) olan yaşıl qələmlər kəsilmişdir. Kəsilmiş hər qələmin üzərində bir və ya iki yarpaq saxlanılmaq şərti ilə qalan yarpaqlar kəsilərək təmizlənmişdir. Hazırlanmış qələmlər torf və qum qarışığında (1:2 nisbətə) ibarət olan substrata basdırılmışdır. Əkin zamanı qələmlərin 2/3 hissəsi substrata basdırılır, yarpaqlı olan bir hissəsi isə çöldə saxlanılmalıdır. Bu cür əkilmiş qələmlər az sulanmaq şərti ilə onlara tez-tez su çilənir.

Ətli hoyadan interyerlərin şaquli yaşıllaşdırılmasında perspektivli sarmaşan dibçək və ampel bitkisi kimi geniş istifadə etmək mümkündür.

Vuane tetrastiqması (*Tetrastigma vainierianum* (Baltet) Pierre ex Gagnep.) - Vitaceae Juss. fəsiləsinin *Tetrastigma* (Miq.) Planch.cinsinə aid olub, həmişəyaşıl, gövdəsi oduncaqlıdırmaşan liandır (şəkil 2). İri yarpaqlarının uzunluğu 25 sm-ə

qədər olub, beşdilimlidir. Yarpağın üst hissəsi hamar, tünd yaşıl, alt hissəsi qırmızımtıl-boz rəngli, tükcüklüdür (Caakov, 1983).

Çiçəkləri xırda, gümüşü ağ rəngli olub, yarpaq qoltuğunda yerləşən çoxçiçəkli qalxanşəkilli çiçək qrupunda toplanmışdır. Meyvəsi yumru, şirəli, gılə meyvəşəkillidir. Vətəni Avstraliya, Hindistan, Cənubi və Cənubi-şərqi Asiyanın rütubətli tropik meşələri hesab olunur.



Şəkil 2. *Tetrastigma vainierianum* (Baltet) Pierroex Gagnep—ümumi görünüşü

Abşeronda örtülü şəraitdə çiçəkləsə də, meyvə əmələ gətirməsi müşahidə olunmamışdır. Qidalı torpaqlarda becərildikdə və aqrotekniki qulluq şəraitində (zoğların dayaq üzərinə vaxtında yönəldilməsi, yan zoğların vaxtındabudanması, optimal suvarılma və qida gübrələrinin verilməsi və s.), bir vegetasiya dövründə 10 m-ə qədər uzana bilər. Ona görə də əsasən orajereyalarda, qış bağlarında və geniş işıqlı aynabəndlərdə becərilməsi məsləhətdir. Belə geniş becərilmə şəraitində yan budaqları 3-4 istiqamətdə xüsusi dayaqqlar üzərinə istiqamətlən dirməklə, bu bitkidən daxili interyerlərin dekorativ tərtibatında ekzotik element kimi uğurla istifadə etmək mümkündür.

Vuane tetrastiqmasının əsas zoğunun inkişaf dinamikası müxtəlif qida tərkibli torpaq mühitində öyrənilmişdir (cədvəl 1).

Cədvəl 1. *T. vainierianum* növünün Abşeronda örtülü şəraitdə vegetativ zoğunun illik inkişaf dinamikası (2014-2015-cü illər).

Ölçmələrin aparıldığı tarix	Qidalı torpaqda		Adi (zəif qidalı) torpaqda	
	Artım, sm	Ümumi, sm	Artım, sm	Ümumi, sm
30.01	5,0±1,0	5,0±1,0	—	—
28.02	7,0±1,0	12,0±1,0	5,0±1,0	5,0±1,0
30.03	10,0±2,0	22,0±2,0	8,0±1,0	13,0±1,0
30.04	18,0±2,0	40,0±2,0	15,0±2,0	28,0±2,0
30.05	225,0±3,0	265,0±3,0	70,0±3,0	98,0±2,0
30.06	275,0±3,0	540,0±3,0	80,0±2,0	178,0±2,0
30.07	200,0±3,0	740,0±3,0	60,0±2,0	238,0±2,0
30.08	150,0±4,0	890,0±4,0	20,0±1,0	258,0±1,0
30.09	70,0±3,0	960,0±3,0	10,0±1,0	268,0±1,0
30.10	15,0±2,0	975,0±2,0	5,0±1,0	273,0±1,0
30.11	5,0±0,1	985,0±2,0	3,0±1,0	276,0±1,0
30.12	—	985,0±2,0	—	276,0±1,0

Cədvəl 1-dən göründüyü kimi bu növ qida maddələrinə çox tələbkardır. Belə ki, əsas zoğun illik boy artımı qidalı torpaqlarda 985 sm olduğu halda, adi (zəif qidalı) torpaqlarda 276 sm olmuşdur.

Sambak jasmini (*Jasminum sambac* Ait.) - *Oleaceae* Lindl. fəsiləsinin *Jasmineae* tribinin *Jasminum* L. cinsinə aid olub, həmişəyaşıl, çoxillik sarmaşan bitkidir. O, hər hansı dayağa dolanaraq və ya dırmanaraq 4-6 m-ə qədər uzana bilər. Dayağ təbiiq etmədən, uzanan zoqları mütəmadi kəsərək, bitkiyə dibçəkdə sallanan kol forması da vermək olur. Zoqları zərif-yumşaq tükcüklüdür. Dayağa dolanan zaman tükcüklər köməkverici vasitə rolunu oynayır. Yarpaqlar açıq-yaşıl rəngli, qisasaplaqlı, yumurtavari, 2,5-10,0 sm uzunluqda olub, səthi demək olar ki, hamar və parlaqdır. Çiçəkləri xırda ağ rəngli, 5-7 ləçəkli, 3-6 ədədi bir yerdə olmaqla çətir-şəkilli formada olub, olduqca ətirlidir (şəkil 3). Yəni, becərilədiyi binada onun ətri dərhal hiss olunur. Bir çiçək 20 günə qədər yaşayır. Lakin bu müddətdə yeni çiçəklər formalaşdığından, bitkinin üzəri mart ayından dekabr ayına qədər çiçəklə örtülü olur. Bitki təbii halda Asiyanın tropik və subtropik zonalarında yayılmışdır (Головкин, Чеканова, Шахова и др., 1989).



Şəkil 3. *Jasminum sambac* Ait.-in çiçəyi.

Sambak jasmini əsasən interyerin floristik dizaynında dekorativ və ətirli bitki kimi becərilir. Eyni zamanda çiçəklərinin təmiz halda və qara çayla birlikdə dəmlənməsi ətirli içki kimi çox əhəmiyyətli bir maddədir. Bu məqsədlə həm təzə, həm də qurudulmuş çiçəklərdən istifadə edilə bilər.

Sarmaşan bitki olduğundan sambak jasmini üçün mütləq dayaq sistemi qurulmalıdır. Dayaq sistemi istifadə məqsədindən asılı olaraq müxtəlif quruluşda kvadrat, rombşəkilli, ikiqollu və s. ola bilər.

Sambak jasmini işıqsevən bitkidir. Becərilədiyi yerdə azacıq kölgəli şərait olduqda zoğun böyümə zonası saralaraq inkişafdan qalır. Bununla belə, yay aylarında, xüsusilə günorta saatlarında birbaşa bitkinin üzərinə düşən günəş şüası da onun inkişafına mənfi təsir edir.

Mülayim-isti (25-30°C) temperatur şəraitində daha intensiv inkişaf edib böyüyür. Müşahidələrimiz göstərir ki, becərilədiyi şəraitdə temperatur 35°C-dən yuxarı qalxdıqda bitkinin inkişafı zəifləyir. Qış aylarında becərilədiyi binanın temperaturu 15-16°C saxlanılmalıdır, əks halda, yəni temperatur yüksək olduqda bitkinin inkişafı dayanır. Belə olan halda, yaz-yay aylarında onun çiçəkləməsi zəifləyir.

Rütubətə tələbkardır. Apardığımız müşahidələr göstərir ki, becərilədiyi mühitdə havanın nisbi rütubəti yüksək –65-75% arasında olduqda bitki intensiv çiçəkləyir. Rütubət aşağı düşdükdə isə çiçəkləmə intensivliyi azalır, əmələ gəlmiş çiçəklər isə tez tokulur. Havanın rütubət rejimini saxlamaq üçün yaz-yay aylarında bitkinin üzərinə tez-tez su çilənməlidir. Eyni zamanda becərilədiyi torpağın da rütubəti normal olmalıdır. Qış aylarında isə suvarmalar azaldılmaqla, bitkilər mülayim temperaturlu otaqlarda saxlanılmalıdır.

Cədvəl 2. *Jasminum sambac* növünün örtülü şəraitdə qələmlərlə çoxaldılması.

Material	Qələmlərin xüsusiyyətləri					qələmlərin əkin vaxtı	qələmlərin sayı	oyanma	kallusün formalaşması	köklərin əmələ gəlməsi	bitmiş qələmlərin sayı	%-lə
	yaşı	uzunluğu (sm)	diametri (mm)	tumuruqların sayı (ədəd)	tumuruqlarası məsafə (sm)							
Oduncaqlaşmış qələm	2	12-14	8-10	3-4	4-5	10.IV	10	05.V	10.V	25.V	6	60
	2	12-15	8-10	3-4	4-5	20.VIII	10	10.IX	20.IX	05.X	5	50
Yaşıl qələm	1	12-15	4-5	3-4	4-5	20.VIII	10	05.IX	-	10.IX	8	80

Sambak jasmini qida maddələrinə də tələb-kardır. Bitki torf qarışdırılmış qidalı torpaqlarda becərilməklə bərabər, yaz və yay mövsümündə ayda iki dəfə olmaqla kompleks gübrələrlə (N, P, K,) və mikroelementlərlə (dəmır, mis, sink və s.) gübrələnməlidir. Bitki bu cür gübrələndiyi halda onun daha yaxşı inkişaf etdiyi və bol çiçəklədiyi müşahidə olunur.

Sambak jasmini əsasən vegetativ yolla zoğların əyilərək basdırılması və qələmlə çoxaldılır (cədvəl 2).

Zoğların əyilərək basdırılması üsulu ilə çoxaldılmada yan zoğlardan bir ədədi seçilir və zoğun torpağa basdırılacaq hissəsi yarpaqlardan təmizlənilir. Eyni vaxtda qidalı torpaq və qum (1:1 nisbətində) doldurulmuş dibçək ana bitki becərilən dibçəyin yanında yerləşdirilir və yarpaqdan təmizlənmiş zoğ əyilərək həmin dibçəyə basdırılır. Yeni əkilmiş bitki tez-tez suvarılmaqla, 25-30 gündən sonra ana bitkidən ayrılaraq mustəqil bitki kimi becərilir.

Qeyd etmək lazımdır ki, bu cür çoxaldılmada istixananın temperaturu 20-25°C arasında olduqda daha effektiv nəticə əldə olunur. Qələmlərlə çoxaldılma zamanı yazda oduncaqlaşmış, yayda isə həm oduncaqlaşmış, həm də yaşıl zoğlardan istifadə olunmuşdur. Qələmlər 3-4 buğumdan ibarət olan 12-15 sm uzunluğunda kəsilərək hazırlanmışdır. Hazırlanmış qələmlər çay qumu qarışdırılmış yarpaq çürüntüsü (1:1) substrata əkilir. Qələmlər əkilmiş yeri üzəri şüşə ilə örtülüb temperaturu 18-20°C olan istixanalarda saxlanılır və mütləq su çilə-nərək suvarılır. Bu şəraitdə qələmlər 40-45 gün müddətində kök əmələ gətirirlər.

2 saylı cədvəldən göründüyü kimi, ən yüksək nəticə avqust ayında yaşıl qələmlərlə çoxaldılma zamanı əldə olunmuşdur. Kök vermiş birillik qələmləri daimi yerlərinə köçürmək olar. Daimi yerin-

də sambak jasmininə qulluq, bitki üçün dayaq sisteminin qurulmasından, mütləq suvarılmasından, gübrələnməsindən, bitkinin interyerə uyğun forma-ya salınmasından ibarətdir.

Öyrənilən bitkilərdə xəstəlik müşahidə olunmamışdır. Lakin, bir sıra zərərverici həşəratlar (qanlı mənənə, unlu yastıca və ağqanad) müşahidə olunmuşdur.

Ziyanvericilərə qarşı mübarizə məqsədilə qoz yarpağının, acı bibər meyvəsinin və dəlibəngin yarpaq və ya meyvəsinin suda qaynadılmış sabunlu məhlulundan istifadə edilmişdir.

Bu məqsədlə qoz və ya dəlibəng bitkisinin 1 kq yarpağı və yaxud acı bibərin 200 q meyvəsi 10 litr suda 30 dəqiqə qaynadılmış və üzərinə 200 q xam sabun əlavə olunur. Hazırlanmış məhlul soyududan sonra süzülüb və bu məhlulun 1 litri 10 litr suya qarışdırılaraq bitkilərin üzərinə çilənmişdir.

ƏDƏBİYYAT

Головкин, Чеканова, Шахова и др. (1989) Комнатные растения: Справочник. М.: Лесн. пром-сть, 431 с.

Методика фенологических наблюдений в Ботанических садах СССР (1979) М.: ГБС АН СССР, вып. 113, с. 3-8.

Молчанов А.В., Смирнов Б.В. (1967) Методики изучения прироста древесных растений. М.: Наука, 99 с.

Сааков С.Г. (1983) Оранжерейные и комнатные растения и уход за ними. Л.: Наука, 621 с.

Хромова Т.В. (1980) Методические указания по размножению интродуцированных древесных растений черенками. М.: ВАСХНИЛ, 45 с.

Биоэкологические Особенности Некоторых Декоративных Вьющихся Растений, Выращенных в Закрытых Условиях

А.Д. Мехралыев, З.Б. Исламова

Центральный Ботанический Сад НАНА

Статья посвящена изучению в закрытых условиях биоэкологических особенностей, динамики роста и развития, агротехники выращивания некоторых декоративных лиан (*Hoya cornosa* (L.f.) R.Br., *Tetrastigma vainierianum* (Baltet) Pierre ex Gagnep., *Jasminum sambac* (L.) Ait.). В результате проводимых исследований были выявлены наиболее перспективные виды лиановых растений для использования в вертикальном озеленении внутренних интерьеров.

Ключевые слова: Закрытый грунт, лиановые растения, биоэкология, вегетативное размножение, агротехника

**Growing And Bioecological Features Of
Some Ornamental Lian Plants Under Closed Conditions**

A.D. Mehraliyev, Z.B. Islamova

Central Botanical Garden, Azerbaijan National Academy of Sciences

Bioecological features, dynamics of growth and development, agrotechnics of some decorative lianas (*Hoya cornosa* (L.f.) R.Br , *Tetrastigma vainierianum* (Baltet) Pierre ex Gagnep, *Jasminum sambac* (L.) Ait.) have been studied under closed conditions. As a result of the research the most promising types of liana plants were identified, for use in the vertical gardening of interiors

Keywords: *Closed ground, lians, bioecology, vegetative propagation, agrotechnics*

Современное Состояние Буковых Дрестостоев Большого Кавказа

А.Б. Яхьяев^{1*}, Е.П. Сафарова², Ф.С. Сейфуллаев²

¹ Архитектурно-строительный университет, ул. А. Султанова, 11, Баку AZ 1073, Азербайджан;

² Центральный ботанический сад НАН Азербайджана, Вадамдарское шоссе, 40, Баку AZ 1004, Азербайджан; *E-mail: yahyayev-azasu@bk.ru

Для определения состояния буковых дрестостоев северного региона Республики в трех хозяйствах заложено 16 пробных площадей. Состояние дрестостоев определено по внешним признакам листьев и ветвей кроны деревьев в различных условиях местопроизрастаний. Результаты проведенных исследований показали, что по степени дефолиации листьев по типам леса и дрестственным породам, количество поврежденных деревьев было различным. В мертвостоевом типе леса наблюдалось 3-6% поврежденных буковых и 17-21% грабовых деревьев; в осяницевом – соответственно, 26-32% бука, 31-40% граба и 39-42% дуба. По степени дехромации листьев в рассмотренных насаждениях преобладают здоровые деревья, составляющие соответственно: 87%, 74% и 57% от общего количества. Изучение распределения деревьев по количеству сухих ветвей показало, что в мертвостоевом типе леса основу насаждений составляют деревья 1-го класса повреждения (сухих ветвей в кроне до 10%), в осяницевом - 2-го класса повреждений (16-40%). По индексу поврежденности деревьев исследуемые насаждения относятся: в мертвостоевом типе леса – к здоровым, в разнотравном- ослабленным; в осяницевом- сильно ослабленным.

Ключевые слова: Дрестостой, состояние, листья, ветви, крона деревьев, сумма признаков, класс повреждения

ВВЕДЕНИЕ

В соответствии стандартам ИСО 8402 (ИСО 9000..., 1991) качество это совокупность свойств и характеристик продукции, которые придают ей способность удовлетворять обусловленные или предполагаемые потребности. Качество основной лесохозяйственной продукции спелых дрестостоев определяется как совокупность лесосырьевых, средпреобразующих, рекреационных и санитарно-гигиенических свойств. Как правило, высокопродуктивные дрестостой обладают относительно более высоким уровнем средпреобразующих, т.е. невесомых полезностей леса, но они не выражаются количественными показателями. Защитные и рекреационные свойства используются в процессе лес выращивания, а лесосырьевые – при главном пользовании. Качество дрестостоев в значительной мере является производным показателем их продуктивности (Алексеев, 1997; Рябоконь, 2001).

Наиболее объективной оценкой качества дрестостоев является выход 1 м³ лесопродукции. Однако на практике, особенно в процессе выращивания, такая оценка сопряжена со значительными техническими трудностями. Поэтому, для определения качества дрестостоев применяют методы квалитрии (количественной оценки качества продукции). Для объединения разноточественных показателей используют ранее

разработанные О.И. Полубояриновым (Полубояринов, 1976) комплексные показатели, рассчитанные на основании относительных показателей качества дрестостоев и параметров их весомости. Примеры практического использования комплексных показателей качества приведены в работе (Рябоконь, 1978).

В отдельных случаях встречается применение способа оценки качественного состояния отдельных дрестостоев или лесных массивов по деревьям I - III классов роста и развития по Крафту (если нет сплошного учета) или указываются категории состояния и класс роста и развития. При этом особое внимание уделяется осмотру верхней трети деревьев (Щевелина и др., 2010).

С учетом выше перечисленных методических указаний в данной работе качество буковых дрестостоев оценено по категориям состояния деревьев и насаждений в целом (Ковалев, 1999).

Цель данной работы - определить качественное состояние буковых дрестостоев Большого Кавказа в различных лесорастительных условиях.

МАТЕРИАЛЫ И МЕТОДЫ

Для решения поставленных задач, в буковых насаждениях Кубинского, Кусарского и Шабранского лесхозов выделены 16 пробных

площадей (ПП) каждые по 0,36-0,64 га. Объектами исследования были сложные по форме, смешанные по составу буковые древостои. В этих древостоях распространены: букняки мертвопокровные (*Fagetum nudum*), овсяницево-букняки (*F. mix. herbacosum*) с типом условия местопроизрастаний (ТУМ) С₂, Д₂, Д₃; букняки II-IV классов бонитета и 0,52-0,68 полноты. Исследования проводились в 2004-2009 гг и повторно для выявления изменений - через 5 лет в 2014 году. В результате были описаны 10-летние лесоводственно-таксационные данные изучаемых объектов. Исследования проводились согласно требованиям ОСТ 56-69-83. Общая характеристика изучаемых объектов представлена в таблице 1.

На этих пробных площадях производили описания каждого дерева с разделением их по шести категориям состояний. Учитывая существующие в лесоводственной практике методические положения и рекомендации (Методически указания..., 1987; Робакидзе и Торлопова, 2010; Рожков и Козак, 1989; Санитарные правила..., 1992; Шяпигене и др., 2010) по определению категории состояния деревьев и древостоев в целом, в работе была применена несколько измененная нами под буковым насаждением шестибальная шкала (Яхьяев, 2013):

I - внешне здоровое дерево без признаков ослабления, с густой темно-зеленой кроной; сухих веток в кроне не более 15%, поврежденные листья не более 10%;

II - ослабленное дерево с несколько изреженной кроной, иногда светло-зеленого цвета; сухих веток в кроне от 16 до 40%; поврежденные листья от 11 до 25%;

III - сильно ослабленное дерево с редкой кроной, иногда желтоватой окраской листвы; сухих веток от 41 до 70%; поврежденные и опавшие листья от 26 до 60%;

IV - усыхающее дерево с очень редкой желтеющей кроной, иногда состоящей из одной двух скелетных ветвей; сухих веток более 70%; поврежденные и опавшие листья от 61 до 90% ,

V - свежий сухостой, дерево усохло в текущем году или в конце прошлого сезона, иногда сохранившимися сухими желто-бурыми или бурными листьями, кора не отслаивается, сухих веток до 100%; поврежденные и опавшие листья до 100%.

VI - старый сухостой, дерево усохло более года назад

Жизненное состояние древостоев оценивали с помощью индекса средневзвешенного класса повреждения составляющих древостой деревьев (Алексеев, 1989, Репшае и Палишике, 1983, Робакидзе и Торлопова, 2010):

$$I = \sum_{i=1}^6 i \cdot w_i / W,$$

где I - индекс жизненного состояния древостоя, балл; i - индекс поврежденности деревьев, балл; w - статический вес деревьев i-го класса повреждения; W - сумма статистических весов.

По величине индекса состояния древостоев классифицировали на здоровые (индекс 0-0,5), ослабленные (0,6-1,5), сильно ослабленные (1,6-2,5), усыхающие (2,6-3,5), свежий сухостой (3,6-5,5) и старый сухостой (5,6 и более).

Таблица 1. Характеристика объектов исследования

№ ПП	Состав древо- стоя	Тип леса/ ТУМ	Возраст, лет	Средние		Число дерев-в, шт./га	Общий запас, м³/га	Класс бонитета	Сумма площадей сечений, м²/га
				Н, м	Д, см				
Кусарское лесничество Кусарского лесхоза									
1	8Бк2Гр+Кл	мрп Д₂	65-285	23	40	237	230	III	29,77
2	8Бк2Гр	ртр Д₃	60-260	23	40	208	225	III	26,12
3	7Бк3Гр+Кл	ртр Д₃	55-184	20	28	437	202	III	26,89
4	8Бк2Гр+Яс	мрп Д₂	50-212	22	32	273	181	III	21,94
Рустовское лесничество Кубинского лесхоза									
5	9Бк1Гр	овс/С₂	65-250	22	40	193	200	II	24,24
6	8Бк2Гр	овс/С₂	56-188	19	36	226	164	II	22,99
7	6Бк4Гр	овс/С₂	52-166	17	32	276	142	III	22,19
8	6Бк4Гр	ртр Д₂	76-272	22	44	109	136	II	16,57
9	7Бк3Гр	ртр Д₂	62-258	21	40	155	153	II	19,47
10	8Бк2Гр	мрп Д₂	75-286	26	44	115	170	I	17,48
11	8Бк2Гр	мрп Д₂	86-310	27	52	124	266	I	26,32
Дивичинское лесничество Шабранского лесхоза									
12	5Д3Гр2Бк	овс С₂	35-128	11	20	675	85	IV	21,19
13	4Д3Бк3Гр	овс/С₂	45-140	13	24	478	92	IV	21,61
14	4Бк3Д3Гр	овс/С₂	52-156	18	24	354	108	III	16,01
15	6Бк2Д 2Гр	ртр/Д₂	77-174	17	28	315	124	III	19,39
16	5Бк3Гр2Д	ртр Д₂	62-186	19	36	198	144	III	20,14

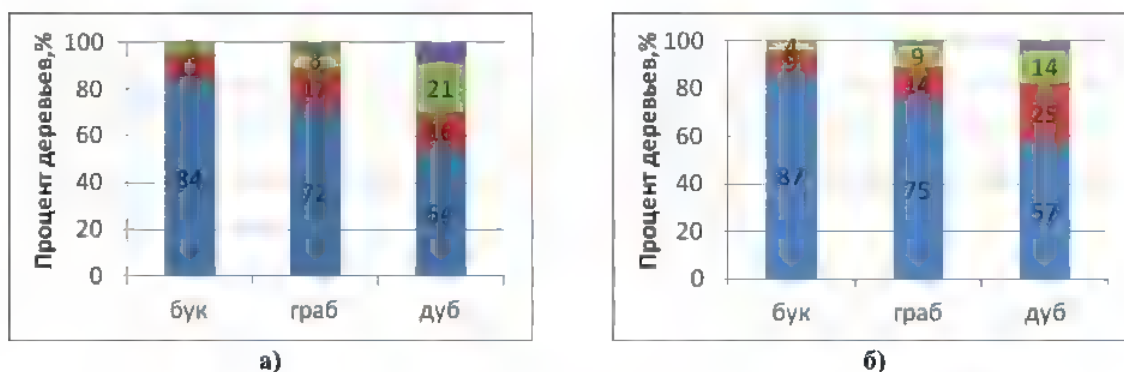


Рис. 1. Средневзвешенный класс дефолиации кроны (а) и дехромации листьев (б) деревьев.

Внешний вид дерева определяется совокупностью признаков, каждый из которых может быть достаточен для оценки поврежденности, однако наиболее информативны показатели состояния ассимиляционного аппарата. С помощью бинокля марки БПЦ с расстояния, равного высоте дерева, у всех живых деревьев на ПП в баллах (от 0 до 3) оценивали степень дехромации (изменение цвета) листьев и дефолиации (потеря листьев) кроны (Робакидзе и Торлопова, 2010). По степени дехромации и дефолиации листья деревьев распределяли на пять классов, используя следующую шкалу:

1) <10% ; 2) 11-25%; 3) 26-60%; 4) 61-90%; 5) до 100%. Кроме этого, учитывали количество сухих веток в кроне дерева по шкале: 1) <10%; 2) 11-25%; 3) 26-50%; 4) 51-99%. Состояния вершины дерева оценивали по шкале: 1) живая; 2) поврежденная; 3) усыхающая; 4) сухая (Кенпeweg, 1985).

РЕЗУЛЬТАТЫ И ОБСУЖДЕНИЕ

Оценка устойчивости буковых древостоев по степени дефолиации листьев достаточно объективна и характеризует состояние древостоя в текущем вегетационном периоде (Алексеев-97). Анализом этих показателей на пробных площадях (ПП1, ПП4, ПП10-11, ПП15-7, ПП12-14) выявлено, что древостои состоящие в основном из бука (*Fagus L.*), граба (*Carpinus L.*) и дуба (*Quercus L.*) относятся к 1-му классу повреждения листьев кроны в пределах соответственно: 76 96%; 60 87% и 55 61% (рис.1, а). Здоровых буковых деревьев по данному показателю в среднем на 17% больше граба и на 28% - дуба. Количество деревьев бука 2-го класса повреждения в 1,6 раза меньше граба, в 2,8 раза - дуба. В 3-ем классе количество поврежденных буковых деревьев уменьшалось до 4%, тогда как грабовых составило 9%, дубов 14%.

В рассмотренных насаждениях по типам леса и древесным породам количество поврежденных деревьев изменились в пределах: в мертвопокровном типе бук 3-6%, граб 17-21%; в овсяницевоом бук 26-32%, граб 31-40%, дуб 39-42%. Как видно, в свежих условиях местопроизрастаний по данному показателю здоровых буковых деревьев на 14% больше, чем граба, а в суховатых условиях - на 7 и 12% соответственно, чем граба и дуба. Деревья с потерей листьев от 61 до 100% были единичны только в овсяницевоом типе с суховатыми условиями местопроизрастаний.

Обследование жизненного состояния бука, граба и дуба по степени дехромации листьев показало, что на пробных площадях (ПП2-3, ПП8 9, ПП15 16) преобладают здоровые деревья, составляющие соответственно 87%, 74% и 57% от общего количества (рис. 1, б). Сравнительно немного деревьев имеют 11-25% пожелтевшей листвы (2-го класса повреждения), в том числе: бука 4%, граба -10% и дуба -17%. В 3-ем классе повреждения (26-60% пожелтевшие листья) встречались единичные экземпляры буковых деревьев. В 4-ом классе повреждения по данному показателю деревья этой породы отсутствуют. Полученные данные еще раз подтверждают высокую антропогенную нагрузку буковых насаждений региона в виде неурегулированной рубки и пастбы скота (Яхьяев и Юсифова, 2005).

Изучение распределения деревьев по количеству сухих ветвей показало, что в мертвопокровном типе леса распространенный в ПП1, ПП4, ПП10 11, основу насаждений составляют деревья 1-го класса повреждения (сухих ветвей в кроне 10%) со средними показателями 92% бука и 79% граба (рис. 2).

В овсяницевоом типе леса по количеству сухих ветвей основная часть деревьев относятся к 2-му классу повреждения (16-40% сухих ветвей). По породам деревья этого типа распре-

лены следующим образом: бук - 84%, граб - 72%, дуб - 54%. В 1-ом классе количество поврежденных деревьев было немного: бук - 3%, граб - 6%, дуб - 10%, а в 3-ем классе поврежденные деревья уменьшались соответственно до 4, 7 и 10%. Деревья, имеющие более 70% сухих ветвей в данном типе леса были единичны (до 2% граба и до 4% дуба).

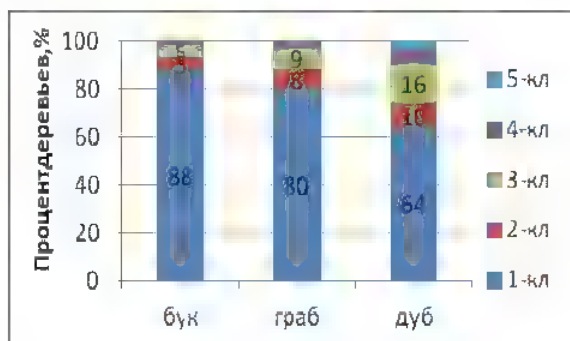


Рис. 2. Распределение деревьев по классам повреждения в зависимости от количества сухих ветвей в кроне

Как видно, по количеству сухих ветвей деревья буковых насаждений, распространенные в суховатых условиях, являются менее устойчивыми к антропогенно-климатическим воздействиям.

Во время проведенных исследований обнаружено, что значительная часть буковых деревьев пробных площадей относятся к 1-му классу повреждения. По количеству сухих ветвей в кроне более чувствительной являются деревья дуба. Анализом распределения деревьев по классам повреждения выявили, что древостои пробных площадей состоят в основном из здоровых деревьев бука, граба и дуба. При этом здоровых деревьев бука в среднем на 14% больше, чем граба. В районе исследований были обнаружены только единичные деревья граба и дуба, находящиеся в стадиях отмирающих и отмерших деревьев.

В результате проведенных работ для различных условий местопроизрастаний установили состояния буковых древостоев по сумме всех признаков повреждений деревьев: в мертвопокровном типе леса 15,8-19,0%, разнотравном - 27,2-48,7%, овсяницево - 54,6-73,1%.

По индексу поврежденности деревьев исследуемые насаждения характеризуются как: в мертвопокровном типе леса ($i=0,32-0,38$) - здоровые; в разнотравном- ($i=0,55-1,46$) - ослабленные; овсяницево ($i=1,64-2,92$) сильно ослабленные.

ВЫВОДЫ

По результатам исследований можно отметить следующее:

1. Состояние буковых древостоев оценено в трех хозяйствах региона по состоянию листьев и количеству сухих ветвей кроны.
2. Общее состояние кроны деревьев и древостоев в целом определено по сумме признаков повреждений, отражающие в шести классах повреждения.
3. По интегральным классам повреждения состояние буковых древостоев оценено следующим образом: в мертвопокровном типе леса с индексом поврежденности 0,32-0,38 как здоровые, в разнотравном (0,55-1,46) - как ослабленные, в овсяницево (1,64- 2,92), м - как сильно ослабленные насаждения.

ЛИТЕРАТУРА

- Алексеев В.А. (1989) Диагностика жизненного состояния деревьев и древостоев. *Лесоведение*, 4: 51-57.
- Алексеев А.С. (1997) Мониторинг лесных экосистем. СПб.: ЛТА, 116 с.
- ИСО 9000-ИСО 9004, ИСО 8402 (1991) Управление качеством продукции. М.: Изд-во стандартов. 39 с.
- Ковалев Б.И. (1999) Оценка степени изменения состояния лесов. *Лесное хозяйство*, 2: 45-46.
- Методические указания по оценке жизненного состояния сосны, ели и березы (1987) Каунас: 32 с.
- Полубояринов О.И. (1976) Оценка качества древесины насаждений на основе комплексного показателя. *Лесная, деревообраб. и цел.-бум. пром-сть*, 4: 39-41.
- Репшас Э.А., Палишкис Е.Е. (1983) Дигрессия и экологическая емкость лесов рекреационного назначения. *Лесоведение*, 1: 3-10.
- Робакидзе Е.А., Торлопова Н.В. (2010) Состояние древесных растений еловых фитоценозов в зоне азротехногенного действия целлюлозно-бумажного производства. *Лесной журнал*, 2: 47-56.
- Рожков А.А., Козак В.Т. (1989) Устойчивость лесов. М.: Агропромиздат, с. 39-71.
- Рябokonь А.П. (1978) О качестве стволов в древостоях различной густоты. *Лесное хозяйство*, 5: 33-36.
- Рябokonь А.П. (2001) Исследование качества древостоев. *Лесной журнал*, 1: 36-45.

- Санитарные правила в лесах Российской Федерации** (1992) М.: Экология, 17 с.
- Шяпятае Я. И др.** (1989) Оценка жизнеспособности сосны, ели и березы в условиях Литвы. *Лесное хозяйство*, 9: 33-35.
- Шевелина И.В. и др.** (2010) Таксационные особенности сосновых древостоев различных стадий рекреационной дигрессии. *Лесной журнал*, 5: 30-36.
- Яхьяев А.Б., Юсифова К.Р.** (2005) Экологическая эффективность лесов Азербайджана. *Тезисы докл. междунар. конф.* Баку: Минэкология, с. 142-143.

- Яхьяев А.Б.** (2013) Оценка состояния буковых древостоев северо-восточного склона Большого Кавказа. *Тезисы докл. междунар. науч. конф. "Current Challenges of Sustainable Forest Management in Caucasus"*. Тбилиси: с. 54.
- Kenneweg H.** (1985) Monitoring forest damage. Influences of forest damage on forestry and timber trade. *Berichte des Forschungszentr. Waldökosysteme (Waldserben) Conference. LIGNA: Hannover*, p. 38-63.

Böyük Qafqazın fıstıq Ağacılıqlarının Müasir Vəziyyəti

A.B. Yəhyayev¹, E.P. Səfərova², F.S. Seyfullayev²

¹Memarlıq və İnşaat Universiteti

²AMEA Mərkəzi Nəbatət Bağı

Respublikanın şimal regionundakı fıstıq ağacılıqlarının vəziyyətlərini müəyyən etmək üçün uç təsərrüfatda 16 təcrübə sahəsi qoyulmuşdur. Ağacılıqların vəziyyəti müxtəlif meşəbitmə şəraitlərində ağacların çətirlərindəki yarpaqların və budaqların xarici əlamətlərinə görə təyin edilmişdir. Aparılan təcrübələrin nəticəsi olaraq müəyyən edilmişdir ki, yarpaqların defoliasiya dərəcəsinə görə zədələnmiş ağacların sayı meşə tiplərinə və ağac cinslərinə görə aşağıdakı kimi dəyişir: ölü örtüklü meşə tipində fıstıq -3-6%, vələs - 17-21%; taxılota örtüklü meşə tipində fıstıq 26-32%, vələs 31-40%, palıd 39-42%. Yarpaqların dextromasiya dərəcəsinə görə tədqiq edilən ağacılıqlarda sağlam ağaclar (fıstıq - 87%, vələs - 74%, palıd - 57%) üstünlük təşkil edir. Ağacılıqların vəziyyətinin, quru budaqların sayına görə tədqiq göstərdi ki, ölü örtüklü meşə tipində ağacılıqların əsasını 1-ci zədələnmə sinifinə (quru budaqları 10%-ə qədər), taxılota örtüklü meşə tipində isə - 2-ci zədələnmə sinifinə (16-40%) aid ağaclar təşkil edir. Ağacların zədələnmə indeksinə görə tədqiq edilən ağacılıqların sağlamlıq vəziyyəti aşağıdakı kimi qiymətləndirilir: ölü örtüklü meşə tipində - sağlam, müxtəlifotlu tipdə - zəif, taxılota örtüklü tipdə - çox zəif.

Açar sözlər: Ağacılıqlar, vəziyyət, yarpaqlar, budaqlar, ağacların çətiri, əlamətlərin cəmi, zədələnmə sinifləri

Modern State Of Beech Stands Of Great Caucasus

A.B. Yakhyayev¹, E.P. Safarova², F.S. Seyfullayev²

¹Architectural and Constructional University, Azerbaijan

²Central Botanical Garden, Azerbaijan National Academy of Sciences

For evaluating the state of beech stands in the northern region of the Republic, 16 plots in 3 farms were established. The state of stands is determined by the external characteristics of the leaves and branches of the crown of trees under different growing conditions. As a result of the conducted studies it was revealed that the number of damaged trees were different according to the degree of defoliation of leaves within forest types and wood species: in the dead cover type- beech -3-6% hornbeam - 17-21%; in fescue - beech 26-32%, hornbeam - 31-40%, oak - 39-42%. In the examined stands according to the degree of leaf dechromation healthy trees prevail, which makes up 87%, 74% and 57% of the total, respectively. The study of the distribution of trees by the number of dry branches showed that in the dead cover type of forest, basis of the plantations belongs to the trees of the 1st class of damage (dry branches in the crown of 10%), in the fescue 2nd class of damage (16-40%) According to the index of tree damage, the studied plantations are healthy in the dead cover type of the forest, weakened in the mixed grass, and greatly weakened in the fescue grass.

Keywords: Stands, state, leaves, branches, tree crowns, the sum of signs, class of damage

Cənubi Xəzərin Kiçik Qızılağac Körfəzində Sıfın – *Sander lucioperca* (Linne, 1758) Bioekoloji Xüsusiyyətləri

E.H. Tahirov*, M.M. Axundov

Azərbaycan Elmi-Tədqiqat Balıqçılıq Təsərrüfatı İnstitutu, Ə. Dəmirçizadə küç., 36, Bakı AZ1008, Azərbaycan; *E-mail: azfiri@azeurotel.com

2009-15-ci illərdə Cənubi Xəzərin Kiçik Qızılağac körfəzində ixtoloji tədqiqatlar aparılarkən 119 ədəd sıf ovlanmış, onların bio-ekoloji xüsusiyyətləri (bədənin uzunluğu, kütləsi və dolğunluğu, yaş tərkibi, məhsuldarlığı s.) müəyyən edilmişdir. Kiçik Qızılağacda yaşayan digər balıqların populyasiyalarının say dinamikasına yırtıcı balıqlardan olan çay sıfının əhəmiyyətli təsir etməsi ilə əlaqədar onun ehtiyatlarının tənzimlənməsi vacib hesab olunur. Bu məqsədlə körfəzdə spinninglə həvəskar balıq ovunun inkişaf etdirilməsi təklif olunur.

Açar sözlər: Sıf, yaş tərkibi, bio-ekoloji xüsusiyyətlər, dolğunluq, yırtıcı balıqlar, məhsuldarlıq, Kiçik Qızılağac

GİRİŞ

Cənubi Xəzərin qərb hissəsində Lənkəran şəhərindən şimalda yerləşən Kiçik Qızılağac körfəzinin uzunluğu 16,7 km, eni 6,5 km, səthinin sahəsi 150 km², ən çox dərinliyi isə 2,5 m-dən bir qədər çoxdur. Viləşçay, Boladıçay və Qumbaşı çaylarının suları axıb buraya tökülür. Bu su tutarı bəndlə açıq dənizdən təcrid edilmiş və onunla əlaqəsi kanallar vasitəsi ilədir. Körfəzin suyu şirindir, lakin onun bəzi hissələrində suyun mineralaşması 2,4‰-ə qədər qalxa bilər. Alı bitkilərdən burada qamış üstünlük təşkil edir.

Müxtəlif ədəbiyyat mənbələrində (Абдурахманов, 1962; Мамедов, Аббасов, 1984; Мамедов, 1989; Кулиев, 1989, 2002; Сулейманов, 1989; Исмаилов, 1994; Ибрагимов, 2012) olan məlumatlara görə Kiçik Qızılağac körfəzinin ixtiofaunası 41 növ və yarımnöv balıqdan təşkil olunmuşdur. Bunların arasında yırtıcı həyat tərzini keçirən sıf *Sander lucioperca* (Linne, 1758) da vardır. Buranın yarım-keçici balıqlardan olan sıf həyatının çox hissəsini Xəzər dənizinin sahiləyi sularında keçirib çoxalmaq üçün şirin sulara, o cümlədən Kiçik Qızılağac körfəzinə daxil olur. Qiymətli əmtəə keyfiyyətlərinə malik olduğundan körfəzin mühüm vətəgə obyektlərindəndir. Onun bio-ekoloji xüsusiyyətlərinə ədəbiyyatda müəyyən məlumatlar olsa da, onlar keçən əsrin 80-ci illərinə qədər olan dövrdə toplanmış materiallar əsasında yazılmış və indiki zaman üçün xeyli köhnəlmişdir. Bununla əlaqədar olaraq Kiçik Qızılağac körfəzində sıfın bio-ekoloji xüsusiyyətlərinə dair yeni məlumatların toplanmasına böyük ehtiyac var idi.

MATERIAL VƏ METODLAR

2009-15-ci illərdə Kiçik Qızılağac körfəzində yaşayan balıqlara dair material toplanarkən, başqa

balıqlarla birlikdə 119 ədəd (97 ədəd yetkin, 22 ədəd körpə) də sıf ovlanaraq tədqiq olunmuşdur. Ov zamanı gözlərinin ölçüsü 32 x 32, 40x40 mm olan qurma torlardan və gözlərinin ölçüsü 12 x 12 mm, 28 x 28 mm olan sürütmə torlardan istifadə edilmişdir. Tədqiqat ümumi qəbul olunmuş ixtoloji metodlar (Чугунова, 1958; Правдин, 1966; Анохина, 1969) əsasında həyata keçirilmiş, balıqların bioloji göstəriciləri (uzunluğu, kütləsi, dolğunluğu, yaşı, cinsiyyəti və s.) müəyyən olunmuşdur. Alınmış nəticələrin etibarlılığı variasiya statistika metodu (Плюхинский, 1978) ilə hesablanmış, bu zaman orta arifmetik rəqəm (*M*) və onun səhvi (*m*) hesablanmışdır. Aparılmış tədqiqatın nəticələri göstərilərkən aşağıdakı şərti işarələrdən istifadə olunmuşdur: *TL* ümumi bədən uzunluğu, *SL* bədən uzunluğu, *P* kütlə, *P_i* içərsiz kütlə, *F* Fultona görə dolğunluq əmsali, *K* Klarka görə dolğunluq əmsali.

NƏTİCƏLƏR VƏ ONLARIN MÜZAKİRƏSİ

Tədqiqat işi apardığımız dövrdə Kiçik Qızıl ağac körfəzindən ovladığımız 97 ədəd yetkin sıfıdan 54 ədədi erkək, 43 ədədi isə dişi fərdlərdən ibarət olmuşdur. Tədqiqat olunmuş balıqların ümumi bədən uzunluğu 27,9-51,2 sm arasında dəyişilərək, orta hesabla 34,2±0,28 sm; bədənin standart uzunluğu 25,4-46,3 sm arasında dəyişilərək, orta hesabla 31,2±0,64 sm; bədənin ümumi kütləsi 278-1832 q arasında dəyişilərək, orta hesabla 464,0±51,2 q; bədənin içərsiz kütləsi 246-1583 q arasında dəyişilərək, orta hesabla 382±38,1 q; Fultona görə dolğunluq əmsali 1,13-2,68 arasında dəyişilərək, orta hesabla 1,51±0,04; Klarka görə dolğunluq əmsali isə 0,98-2,43 arasında dəyişilərək, orta hesabla 1,38±0,05 təşkil etmişdir (Cədvəl 1).

Cədvəl 1. Kiçik Qızılağac körfəzində sığın bioloji göstəriciləri

Göstəricilər	Erkək fərdlər (n=54)	Dişi fərdlər (n=43)	Hər iki cins (n=97)	P
	lim M±m	lim M±m	lim M±m	
TL (sm)	27,9 47,3 33,4±0,37	29,3 51,2 35,8±0,42	27,9 51,2 34,2±0,28	<0,05
SL (sm)	25,4-42,6 30,2±0,42	26,7-46,3 32,9±0,33	25,4-46,3 31,2±0,64	<0,05
P (q)	278-1697 441±38,9	307-1832 498±42,4	278-1832 464±51,2	<0,05
P _i (q)	246-1473 369±43,9	276 1583 407±39,6	246 1583 382±38,1	<0,05
F	1,13-2,42 1,49±0,05	1,18-2,68 1,55±0,03	1,13-2,68 1,51±0,04	<0,01
K	1,02 2,43 1,39±0,06	0,98 2,39 1,37±0,03	0,98 2,43 1,38±0,05	<0,05

Tədqiq olunmuş balıqların erkək və dişi fərdlərinin uzunluq və kütlə göstəriciləri arasında kəskin fərq qeydə alınmamışdır. Fultona görə dolğunluq əmsalının qiyməti dişi fərdlərdə erkək fərdlərə nisbətən bir qədər (orta hesabla 0,06) yüksək olmuşdur. Ümumiyyətlə tədqiqat apardığımız müddətdə məlum olmuşdur ki, sığın Fultona görə dolğunluq əmsalı əsasən qış fəslində yüksək olur. Bunun əsas səbəbi cinsi vəzirlərin bu dövrdə yetişməsidir. Kürütökmədən sonra dolğunluq əmsalı xeyli aşağı düşür (Cədvəl 1).

Tədqiq etdiyimiz ən xırda balığın yaşı 2 il, ən iri balığın yaşı isə 5 il olmuşdur. Ovda 2-3 yaşlı balıqlar üstünlük təşkil etmişdir. Yaşa görə balıqların bioloji göstəriciləri aşağıdakı kimi dəyişmişdir: bədənin ümumi uzunluğu 2 yaşlılarda 27,9 sm-lə 31,2 sm arasında dəyişərək, orta hesabla 28,9±0,46 sm; 3 yaşlılarda 29,8 sm-lə 41,3 sm arasında dəyişərək, orta hesabla 33,7±0,51 sm; 4 yaşlılarda 39,8 sm-lə 44,3 sm arasında dəyişərək, orta hesabla 41,3±0,57 sm; 5 yaşlılarda 42,4 sm-lə 51,2 sm arasında dəyişərək, orta hesabla 46,8±0,72 sm; bədənin standart uzunluğu 2 yaşlılarda 25,4 sm-lə 27,8 sm arasında dəyişərək, orta hesabla 26,1±0,57 sm; 3 yaşlılarda 26,4 sm-lə 36,6 sm arasında dəyişərək, orta hesabla 30,4±0,72 sm; 4 yaşlılarda 35,7 sm-lə 39,7 sm arasında dəyişərək, orta hesabla 36,8±0,83 sm; 5 yaşlılarda 38,8 sm-lə 46,3 sm arasında dəyişərək, orta hesabla 42,9±0,86 sm; bədənin tam kütləsi 2 yaşlılarda 278 q-la 387 q arasında dəyişərək, orta hesabla 314,7±46,2 q; 3 yaşlılarda 397 q-la 562 q arasında dəyişərək, orta hesabla 452,7±60,3 q; 4 yaşlılarda 527 q-la 997 q arasında dəyişərək, orta hesabla 681,7±64,3 q; 5 yaşlılarda 943 q-la 1832 q arasında dəyişərək, orta hesabla 1157,3±98,4 q; bədənin içəliksiz kütləsi 2 yaşlılarda 246 q-la 339 q arasında dəyişərək, orta hesabla 274,6±27,3 q; 3 yaşlılarda 347 q-la 497 q arasında dəyişərək, orta hesabla 379,4±32,9 q; 4 yaşlılarda 463 q-la 843 q arasında dəyişərək, orta hesabla 589,6±52,7 q; 5 yaşlılarda 824 q-la 1583 q arasında dəyişərək, orta

hesabla 996,4±86,7 q; Fultona görə dolğunluq əmsalı 2 yaşlılarda 1,13-2,54 arasında dəyişərək, orta hesabla 1,49±0,06; 3 yaşlılarda 1,16-2,49 arasında dəyişərək, orta hesabla 1,50±0,04; 4 yaşlılarda 1,19-2,65 arasında dəyişərək, orta hesabla 1,52±0,05; 5 yaşlılarda 1,21-2,68 arasında dəyişərək, orta hesabla 1,53±0,07; Klarka görə dolğunluq əmsalı 2 yaşlılarda 0,99-2,32 arasında dəyişərək, orta hesabla 1,37±0,04; 3 yaşlılarda 1,01-2,31 arasında dəyişərək, orta hesabla 1,39±0,07; 4 yaşlılarda 1,03-2,43 arasında dəyişərək, orta hesabla 1,40±0,06; 5 yaşlılarda 0,98-2,42 arasında dəyişərək, orta hesabla 1,36±0,05.

Yaş artdıqca sığın Fultona görə dolğunluq əmsalı artır. Belə ki, 4-5 yaşlı balıqlarda dolğunluq əmsalı ən yüksək, 2 yaşlı balıqlarda isə ən aşağı göstəriciyə malik olur. Bunun əsas səbəbi sığın aşağı yaş qruplarında boy artımının, yuxarı yaş qruplarında isə kütlə artımının daha sürətlə getməsidir.

Kiçik Qızılağac körfəzində sığın bioloji göstəricilərinin (uzunluq, kütlə, dolğunluq və s.) əvvəlki illərlə müqayisədə azalmasına və yaş tərkibinin dəyişməsinə təsir edən amillərdən biri ekoloji şəraitin pisləşməsi və balıq ovu zamanı istifadə olunan ov alətlərinin ümumi qəbul edilmiş standartlara uyğun olmamasıdır.

Ümumiyyətlə istər Kiçik Qızılağac körfəzində, istərsə də respublikamızın digər su hövzələrində son illərdə sığın ovu nisbətən aşağı yaş qrupları hesabına aparılır ki, bu da cinsi yetkinliyə çatmayan balıqların ovlanmasına və bu qiymətli balığın ehtiyatının azalmasına səbəb olur.

Tədqiqat apardığımız müddətdə o da məlum olmuşdur ki, əksər balıqlarda olduğu kimi çoxalma yaxın vaxtlarda sığınların da erkək fərdləri (67-72%) çoxalma yerinə dişilərə nisbətən daha tez gəlirlər. Lakin kürütökmə dövründə erkək və dişi fərdlərin nisbəti təxminən 1:1 kimi olur.

Ovlanmış kiçik (2-3) yaşlı balıqlar arasında erkək fərdlərin sayı dişi fərdlərə nisbətən çox olduğu halda (erkəklər 29 ədəd, dişilər 20 ədəd), böyük

(4-5) yaşlı balıqlarda erkəklərin və dişilərin sayı yaxınlaşmağa başlayır (uyğun olaraq 25 və 23 ədəd olur).

Bizim 2009-15-ci illərdə Kiçik Qızılağac körfəzində apardığımız tədqiqatlar zamanı məlum olmuşdur ki, körfəzdə sıfın əksər fərdləri 2-3 yaşında cinsi yetkinliyə çatır. Yuxarıda qeyd edildiyi kimi, Azərbaycanın digər su hövzələrində də sıfın cinsi yetkinliyə çatma vaxtında cavanlaşma müşahidə olunur. Bizim fikrimizcə su hövzələrimizdə iri balıqların intensiv ovlanması nəticəsində sıf populyasiyalarının cırılması baş verir və kürütökmədə aşağı yaşlı balıqlar daha çox iştirak edir, onlardan törənən nəsəl isə daha tez cinsi yetkinliyə çatır.

Müşahidələriniz zamanı məlum olmuşdur ki, Kiçik Qızılağac körfəzinə kürü tökmək üçün giren cinsi yetkinliyə çatmış sıfın cinsi vəziləri payızın axırlarında IV, fevral-mart aylarında isə V-VI yetkinlik mərhələsində olmuşdur.

2009-15-ci illərdə körfəzdən ovladığımız sıfın yetkinlik əmsalı oktyabr-noyabr aylarında 3,8-7,4% arasında dəyişərək, orta hesabla 5,1%, fevral-mart aylarında isə 7,1-13,5% arasında dəyişərək, orta hesabla 8,7% təşkil etmişdir.

Sıf kürüsünü bir dəfəyə tökən balıqlardandır. Bütün balıqlarda olduğu kimi yaş artdıqca onların məhsuldarlığı da artır. Kiçik Qızılağac körfəzində sıfın məhsuldarlığını müəyyən etmək məqsədilə 19 ədəd balığın kürüsü sayılmışdır. Onların məhsuldarlığı 98,7-286,9 min kürü arasında dəyişərək, orta hesabla 156,3±27,3 min kürü təşkil etmişdir.

Tədqiq etdiyimiz balıqlar arasında eyni yaşda və müxtəlif uzunluqda olan balıqların məhsuldarlığı müxtəlif olmuşdur. Belə ki, yaş və uzunluq artdıqca məhsuldarlıq da artır, lakin eyni yaşda olan daha iri balıqların məhsuldarlığı nisbətən çox olur.

Apardığımız müşahidələrə görə Kiçik Qızılağac körfəzində sıf fevral-aprel aylarında, suyun temperaturu 6,8-13,4°C olduqda, 0,3-1,4 m dərinlikdə, su bitkiləri arasında kürü tökür.

Kiçik Qızılağac körfəzində sıf körpələrinə aprelin axırlarında kütləvi halda rast gəlmək olur. 2011-ci ilin may ayının axırlarında körfəzdən uzunluğu 1,8-4,2 sm, kütləsi 0,33-0,54 q olan 22 ədəd sıf körpəsi ovlanmışdır. Uzunluğu 4,2 sm, orta kütləsi isə 0,52 q olan körpələrin mədəsində balıq kürülərinə rast gəlinmişdir. Bu onu göstərir ki, sıf körpələri fəal qidalanmaya çox tez başlayırlar.

Bizim yanvar-fevral aylarında tədqiq etdiyimiz sıf balıqları dənizdən Kiçik Qızılağac körfəzinə çoxalmaq üçün daxil olduqları üçün onların mədələrində yalnız az miqdarda külmə, şəmayı, aterina və kılka balıqlarının körpələrinin qalıqlarına rast gəlinmişdir.

Çoxalmada iştirak etdikdən sonra digər balıqlar kimi sıf da intensiv qidalanmağa başlayırlar.

2011-ci ilin aprel-may aylarında körfəzdən tədqiq etdiyimiz 6 ədəd 37,4-49,6 sm uzunluqda olan sıfın mədəsində olan qidanın 37,4%-i külmə, 24,7%-i çapaq, 21,6%-i Lənkəran şəmayısı, 16,3%-i isə digər balıqlara aid olmuşdur.

Kiçik Qızılağac körfəzində aparılan balıq ovu əsasən iri fərdlərə istiqamətləndiyindən, burada iri siflərə az rast gəlinir. Lakin onu da qeyd etmək lazımdır ki, su hövzələrində böyük yaşlı iri yırtıcı balıqların sayının çox olması iqtisadi cəhətdən ümumiyyətlə sərfəli deyil, çünki onlar daha çox vətəgə balığı yeməklə su tutarındakı vətəgə balıqların ümumi ehtiyatına mənfi təsir göstərir. Ona görə də Kiçik Qızılağac körfəzində 4-5 yaşlı sıfın ovlanması körfəzin ümumi balıq məhsuldarlığının artmasına səbəb ola bilər.

ƏDƏBİYYAT

- Абдурахманов Ю. А.** (1962) Рыбы пресных вод Азербайджана. Баку: Элм, 405 с.
- Анохина Л.Е.** (1969) Закономерности изменения плодовитости рыб. М.: Наука, 295 с.
- Ибрагимов Ш.Р.** (2012) Паразиты и болезни рыб Каспийского моря (эколого-географический анализ, эпизоотологическая и эпидемиологическая оценка). Баку: Элм, 415 с.
- Исмаилов Г.Ч.** (1994) Морфо-экологические и физиологические особенности развития Каспийского рыбца в онтогенезе. Автореф. дис. ... канд. биол. наук: Баку, 27 с.
- Кулиев З.М.** (1989) Рыбы залива Кирова Каспийского моря. Баку: Элм, 184 с.
- Кулиев З.М.** (2002) Карповые и окуневые рыбы Южного и Среднего Каспия. Баку, 215 с.
- Мамедов А.Л., Аббасов Г.С.** (1984) Питание щуки в Малом Кызылагачском заливе. Изв. АН Азерб.ССР, серия биол. наук, 4: 44-48.
- Мамедов А.Л.** (1989) Материалы по динамике численности хищных рыб некоторых водоемов Азербайджана. В материалах II Всесоюзного совещания по проблеме Кадастра и учета животного мира. Россия: Уфа, Часть III: 356-357.
- Плохинский Н.А.** (1978) Математические методы в биологии. М.: МГУ, 264 с.
- Правдин И.Ф.** (1966) Руководство по изучению рыб. М.: Пищепромиздат, 376 с.
- Сулейманов С.Ш.** (1994) Биология и динамика численности молоди основных промысловых видов рыб Малого Кызылагачского залива. Автореф. дис. ... канд. биол. наук: Баку, 21 с.
- Чугунова Н.И.** (1958) Руководство по изучению возраста и роста рыб. М.: АН СССР, 164 с.

**Биоэкологические Особенности Судака *Sander Lucioperca* (Linne, 1758)
В Малом Гызылагачском Заливе Южного Каспия**

Э.Х. Таиров, М.М. Ахундов

Научно-исследовательский институт рыбного хозяйства Азербайджана

В процессе ихтиологических исследований, проводимых с 2009 по 2015 годы в Малом Гызылагачском заливе Южного Каспия, было выловлено 119 экз судака *Sander lucioperca* (Linne, 1758), определены их биоэкологические особенности (длина, масса и упитанность тела, возрастной состав, плодовитость и пр.). В связи с тем, что судак является хищной рыбой и в значительной степени влияет на динамику численности популяций мирных рыб, регуляция его запасов имеет важное значение. С этой целью предлагается развитие спиннингового любительского рыболовства в заливе.

Ключевые слова: Судак, возрастной состав, биоэкологические особенности, упитанность, хищные рыбы, плодовитость, Малый Кызылагач.

**Bioecological Characteristics of Zander - *Sander Lucioperca* (Linne, 1758)
In The Small Gizilagach Bay of South Caspian**

E.H. Tahirov, M.M. Akhundov

Azerbaijan Research Institute of Fisheries

In 2009-15 in the Small of Bay South Caspian during the ichthyological research, 119 species of zander – *Sander lucioperca* (Linne, 1758) were caught. Their bioecological characteristics (length, weight and body fatness, age composition, length etc.) were identified. Due to the significant impact of zander, which is a predatory fish, on population dynamics of peaceful fishes, the regulation of its reserve is of great importance. To this end, the development of spinning recreational fishing in the bay is proposed.

Keywords: Pikeperch, age composition, bioecological features, body fatness, predatory fish, fertility, Small Gizilagach.

Naxçıvan Muxtar Respublikası Florası Üçün Yeni Quşarmudu (*Sorbus* L.) Növləri

T.H. Talibov, Ə.M. İbrahimov

AMEA Naxçıvan Bölməsinin Bioresurslar İnstitutu, Babək küç. 10, Naxçıvan AZ 7000, Azərbaycan;
E-mail: t_talibov@mail.ru; enver ibrahimov@mail.ru

Aparılan çoxillik tədqiqatlar, o cümlədən elmi ekspedisiyalar zamanı toplanan materialların təhlili və ədəbiyyat məlumatlarının araşdırılması nəticəsində Naxçıvan Muxtar Respublikası florası üçün yeni olan *Sorbus albobii* Zinserl., *S. armeniaca* Hedl., *S. buschiana* Zinserl., *S. caucasica* Zinserl., *S. fedorovii* Zaikonn., *S. kusnetzovii* Zinserl., *S. migarica* Zinserl. və *S. tamamschjanæ* Gabr. növləri müəyyən edilmişdir. Məqalədə, növlərin sinonimləri, yüksəklik qurşaqları üzrə yayılma qanunauyğunluqları, biotopu, çiçəkləmə və meyvənin yetişmə müddətləri haqqında da məlumatlar öz əksini tapmışdır.

Açar sözlər: Naxçıvan Muxtar Respublikası, *Sorbus* L., yeni novlar, sistematika, yayılma arealları

Naxçıvan Muxtar Respublikası bitki örtüyünün biomüxtəlifliyinə görə Azərbaycanın ən zəngin regionlarından biridir. Yabanı meyvə bitkiləri içərisində quşarmudu (*Sorbus* L.) növləri sistematik tərkibinə görə seçilir. Muxtar respublikanın quşarmudu növlərinin öyrənilməsi məqsədilə əraziyə edilən ekspedisiyalar (2005-2016) zamanı çoxlu hərbi materialları toplanılmışdır. Materialların pomoloji əlamətlərinin analizi, ədəbiyyat (İbrahimov, 2008; Talibov, İbrahimov, 2013; Гроссрейм, 1952; Прилипко, 1954) və eyni zamanda AMEA Botanika İnstitutunun (BAK), AMEA Naxçıvan Bölməsi Bioresurslar İnstitutunun və Naxçıvan Dövlət Universitetinin herbari fondlarında saxlanılan nüsxələrlə müqayisəsi nəticəsində Naxçıvan Muxtar Respublikası florası üçün yeni olan *Sorbus albobii* Zinserl., *S. armeniaca* Hedl., *S. buschiana* Zinserl., *S. caucasica* Zinserl., *S. fedorovii* Zaikonn., *S. kusnetzovii* Zinserl., *S. migarica* Zinserl. və *S. tamamschjanæ* Gabr. növləri müəyyən edilmişdir.

1. *S. albobii* Zinserl. Цинзерл. Фл. СССР IX (1939) 390 и в Addenda, 8: 493. - *S. aria* var. *concolor* Albow, Prodr. fl. Colch. (1895) 71. - *S. aria* var. *concolor* Boiss. Fl. Or. II (1872) 658, - *S. concolor* C.K.Schn., Handb. D., Laubholz. I (1906) 686; Гросср. Фл. Кавк. IV (1934) 288 **Albow quşarmudu**

Ağac və ya koldur. Tumurcuqları çılpəq və ya az tüküklüdür. Yarpaqları tərsyumurtavari və ya ellipsvaridir. Qaidədən az daralmış və ya dairəvidir. Yuxarısı sivri və ya күtdür, adətən sivri uçludur, 7-10 sm uzunluqda, 4-7 sm enindədir. Yan damarlarının sayı 8-11 күtdür, üst tərəfi çılpəq (ilk vaxtlar damarlar boyunca az tüküklü), alt tərəfi isə yaşıl və zəif tüküklüdür. Kənarları dişçiklidir, yuxarı tərəfi adətən aydın olmayan ikiqat dişçiklidir, kəskin iti dişçiklər yarpağın ayəsinə kimi çatır. Kəskin keçətüküklü olub, dişçikləri üçbucaq şəklində

sivridir. Ləçəkləri yumurtavaridir. Meyvələri dəyirmi və ya oval şəkilli olub qırmızıdır, sonralar göyərir. May-iyun aylarında çiçək açır, avqust-sentyabrda isə meyvəsi yetişir.

Tipus: *Caucasus occidentalis*, Reservatum Publicum Caucasicum, in declivibus septentrionalibus montis Abago in betuletis ad rivum, 3.VIII.1929, A.İ.Leskov et A.P. Rusaleev (LE).

Bitdiyi yer: Orta və yüksək dağlıq qurşaqlarda dəniz səviyyəsindən 1800-2000 (2200) m hündürlüklərdə seyrək meşəliklərdə və kolluqlar arasında yayılmışdır.

Yayılma yeri. Muxtar respublikanın Ordubad rayonunun Nurgüt kəndi ətrafındakı seyrək meşəlikdə palıd, yemişan, armud növləri ilə birlikdə və ya tək-tək 18.VII.2012. T.H.Talibov, Ə.M.İbrahimov; Şahbuz rayonunun Biçənək kəndi ərazisində palıd meşəliyi 04.VII.2014. T.H. Talibov, Ə.M.İbrahimov

Növ ilk dəfə 1929 cu ildə Y.D.Zinzerling (Цинзерлинг, 1939) tərəfindən toplanılmış herbari nümunələrinə əsasən təyin edilmişdir. Qafqaz coğrafi areal tipinə aiddir. Naxçıvan Muxtar Respublikası florasına ilk dəfə tərəfimizdən daxil edilir.

Y.D.Zinzerling (Цинзерлинг, 1939) *Sorbus* L. cinsinə daxil olan növləri sistemləşdirərkən *S. albobii* Zinserl. növünü sərbəst növ kimi qəbul etsə də, E.Ç.Qabrelyan (Габриэлян, 1978) onu *S. subfusca* (Ledeb.) Boiss. növünün sinonimi olduğunu göstərmişdir. İ.T.Zaikonnikova (Заиконникова, 1980) da Qafqazın şimal-qərbindən (Abaqo dağı) toplanılan nümunələrə əsasən təsviri verilmiş *S. albobii* Zinserl. növünün daha çox *S. subfusca* (Ledeb.) Boiss. növünə oxşadığını qeyd etsə də, digər məqaləsində (Заиконникова, 1976) onu sərbəst növ kimi qəbul etmişdir. İ.T.Zaikonnikovaya (Заиконникова, 1980) görə *S. albobii* Zinserl. və *S. subfusca* (Ledeb.) Boiss. növlərinin müstəqilliyi onla-



S. albobii Zinserl. - Albov quşarmudu



S. armeniaca Hedl. - Erməni quşarmudu

rın coğrafi yayılması və xromosom sayının müxtəlifliyi ilə də təsdiq olunmuşdur. Belə ki, *S. albobii* Zinserl. növünə demək olar ki, bütün Qafqazda rast gəlinməsinə baxmayaraq, *S. subfusca* (Ledeb.) Boiss. növünün arealı Qafqazın qərb hissəsi ilə məhdudlaşır. Həmçinin, *S. albobii* Zinserl. növü tetraploid ($2n=68$), *S. subfusca* (Ledeb.) Boiss. isə diploid ($2n=34$). Bu növlər həmçinin, morfoloji əlamətlərinin müxtəlifliyinə (yarpağın formasına, ölçüsünə, kənarına və s.) görə də fərqlənilir. Bu səbəbdən də *S. albobii* Zinserl. növünün S.K.Çerepanovun (Черепанов, 1995) da qeyd etdiyi kimi sərbəst növ olaraq qəbul olunması daha məqsədəuyğundur.

T.İ.Zaikonnikovanın (Заиконникова, 1976) məqaləsində də qeyd olunduğu kimi *S. albobii* Zinserl. növünə yalnız Dağıstan və Naxçıvan Muxtar Respublikası ərazisində rast gəlinir.

2. *S. armeniaca* Hedl. Monogr. d. Gatt. Sorbus (1901) 69; S.K.Schneid., III. Handb. d. Laubholz. I (1906) 693; Гроссг., Фл. Кавк. IV (1934) 289; Цинзерл. Фл. СССР IX (1939) 396; Гроссг., Опр. раст. Кавк., (1949) 74; Гроссг., Фл. Кавк., V (1952) 36; Прилипко, Фл. Азерб., V (1954) 58; Azərbaycanın ağac və kolları, III (1970) 45. - **Erməni quşarmudu.**

Kol və ya alçaqboylu ağacdır. Yarpaqları yumurtavari, ellipsvari və ya uzunsov ellipsvaridir. Qaidəyə yaxın hissə dərinləşmişdir. Yuxarısı sıvri və ya az- az hallarda kütdür, 6-8 sm uzunluqda, 3,5-5 sm enində olub, kənarı çox dərin olmayan 5-7 dilimlidir (aşağı dilimlər yarpaq ayası eninin yarımının 1/2-1/3 hissəsinə qədər çatır). 30-36 sıvri diş vardır. Üstdən tünd yaşıl və çıpaq, altından bozuntul və ya ağ rəngli sıx keçətükcüklüdür. Yan damarlarının sayı 9-10 cütdür, onlar yarpağın altında aydın seçilir. Çiçək qrupu çoxçiçəklidir. Kasacığın kənarları sıvri üçbucaq şəklindədir. Ləçəkləri ağ, yumurtavardır. Meyvələri 1,0-1,2 sm uzunluğunda, 0,8-1,1 sm enində olub, oval və ya dairəvidir, yarlardan azacıq basılmışdır, tək-tək və ya 3-7 ədədi birlikdə qalxanlarda toplanmışdır. Yetişmiş meyvələri qırmızı olub, quruyanda göyərir. May-iyun aylarında çiçək açır, sentyabr-oktyabrda meyvələri yetişir.

Lectotypus: Karabach orient in extreme margine sylvarum versus cucumen m. Kirs, 18.IX. 1829, Szovits (LE, isolect. BM).

Bitdiyi yer: Orta və yüksək dağlıq qurşaqlarda dəniz səviyyəsindən 1500-2300 m hündürlüklərdə daşlı-qayaş yamaclarda, arid seyrək meşəliklərdə və kolluqlar arasında yayılmışdır.

Yayılma yeri. Muxtar respublikanın Ordubad rayonunun Nürgüt kəndi ətrafındakı seyrək meşəlikdə palıd, yemişan, alma, armud, zirinc və s. növləri ilə birlikdə və ya tək-tək 18.VII.2012. T.H.Talıbov, Ə.M.İbrahimov; Şahbuz rayonunun Bıçanək

kəndi ərazisində palıd meşəliyi 04.VII.2014. T.H.Talıbov, Ə.M.İbrahimov.

Növ *S. persica* növündən yarpağının formasına, dilimlərinin dərinliyinə (*S.persica* növündə bu dərinlik yarpaq ayasının 1/4-1/5 hissəsini təşkil edir), *S.caucasica* növündən isə yarpağın forma və kiçikliyinə, qaidə hissəsinin və zirvəsinin formasına, daha az dərinliyə malik dilimlərinin olmasına (*S.caucasica* növündə bölümlər yarpaq ayasının yarım eninin 2/3 hissəsini təşkil edir) və tökülməyən kasa yarpaqcıqlarına görə fərqlənir.

Qafqaz coğrafi areal tipinə aiddir. Naxçıvan Muxtar Respublikası florasına ilk dəfə tərəfimizdən daxil edilir.

3. *S. buschiana* Zinserl. in Addenda VIII, p. 495; Гроссг., Опре. раст. Кавк., (1949) 73; Гроссг., Фл. Кавк., V (1952) 33. – **Buş quşarmudu.**



S. buschiana Zinserl. – Buş quşarmudu

Hündürlüyü 4-6 m-ə çatan alçaqboyu ağac və ya koldur. 10-11 sm uzunluqda olan yarpaqları ikili olub, bar verən zoğlarda enli və ya yumurtavari-ellipsvari, meyvəsiz zoğlarda isə neştərvardır. Yan damarlarının sayı 10-11 cütdür, kənarları ikiqat itidışlıdır. Alt səthi boz yaşılmtıl keçəvari tükcüklüdür. Qaidədən pazvardır.

Typus: Delvars, inter pagas N.Ermani et Schavlochovo, in schistosis, alt. 1850-2200 m, E. et N. Busch (LE).

Bitdiyi yer: Orta və yüksək dağlıq qurşaqlarda dəniz səviyyəsindən 1800-2200 m hündürlüklərdə daşlı qayalı yamaclarda, arid seyrək meşəliklərdə və kolluqlar arasında yayılmışdır.

Yayılma yeri. Muxtar respublikanın Ordubad rayonunun Nürgüt kəndi ətrafındakı seyrək meşəlikdə palıd, yemişan, armud növləri ilə birlikdə və ya tək-tək 16.VIII.2012. T.H.Talıbov, Ə.M.İbrahimov; Şahbuz rayonunun Bıçənək kəndi ərazisində palıd meşəliyi 09.VIII.2013. T.H.Talıbov, Ə.M.İbrahimov.

Y.D.Zinzerling (Цинзерлинг, 1939) *S.buschiana* Zinserl. növünü sərbəst növ kimi qəbul etsə də, E.S.Qabrelyan (Габриэлян, 1978) onu *S.subfusca* (Ledeb.) Boiss. növünün sinonimi olduğunu göstərmişdir. T.İ. Zaikonnikova (Заиконникова, 1980) görə *S.buschiana* Zinserl. növü yarpaqlarının formasına və bir sıra morfoloji əlamətlərinə görə *S.albovii* Zinserl. növünə oxşasa da, ondan aşağı səthi bozmtul qalın dərivari yarpaqları, sıx tükcüklü kasa yarpaqları və meyvələri ilə fərqlənir. S.K.Çerepanovun (Черепанов, 1995) əsərində də sərbəst növ olaraq qəbul olunmuşdur.

Qafqaz coğrafi areal tipinə aiddir. Naxçıvan Muxtar Respublikası florasına ilk dəfə tərəfimizdən daxil edilir.

4. *S. caucasica* Zinserl. в Зам. Герб. Инст. Бот. АН СССР IV (1923) 17 - 18; Гроссг., Фл. Кавк. IV (1934) 288; Цинзерл. Фл. СССР IX (1939) 395; Колаковск., Фл.Абх. II (1939) 297; Сосновск. Фл. Гр. V (1949) 352; Гроссг., Опре. раст. Кавк. (1949) 74; Гроссг., Фл. Кавк. V (1952) 34, - *S. aria* v. *intermedia* Акинф., Припипко, Фл. Азерб., V (1954) 58; Фл. Центр. Кавк. 1 (1894) 159. - *S. aria* v. *incisa* Альбов в Тр. Тифл. бот. сада 1 (1895) 72. - *S. scandica* auct. fl. cauc., non Fries. - *S. Woronowii*; Azərbaycanın ağac və kolları, III (1970) 45. – **Qafqaz quşarmudu**

Hündürlüyü 4-6 m-ə çatan alçaqboyu ağac və ya koldur. Yarpaqları tərsyumurtavari, dəyirmi, enli ellipsvari və ya bəzi hallarda uzunsov ellipsvari olub, qaidəyə yaxın hissəsi enli pazşəkillidir. Uc hissəsi küt və ya sivri olub, (8) 10-12 (15) sm uzunluqda və 6-11 sm enindədir. Kənarı çox da dərin olmayan 5-7 dılımlıdır (dilimlər yarpağın eninin 1 (3-1) 4 hissəsinə qədər çatır). 30-35 sivri dişi vardır, üstdən tünd yaşıl, çılpəkdir, altından isə sıx boz və ya ağmtıl keçətükcüklüdür. Yarpaqların dilimləri daxili tərəfdən tamkənarlıdır və ya yalnız yuxarı hissəsində 1-2 xırda dişi vardır. Yan damarlarının sayı 7-9 cütdür, yarpağın alt səthində damarlar aydın seçilir və keçətükcüklüdür. Çiçək qrupu çoxçiçəkli olub, çiçək saplağı keçətükcüklüdür. Kasacığı keçətükcüklü olub, dişləri üçbucaq şəklində sivridir. Ləçəkləri ağ və tərsyumurtavaridir. Meyvələri 1,0-1,4 sm uzunluğunda, 0,6-1,1 sm enində olub, bir qədər ovalşəkilli və ya azca uzun-sovdur, 7-12

(20) ədədi birlikdə qalxanlarda toplanmışdır. Yetişmiş meyvələri qırmızı olub, çılpəkdir, quruyanda göyərir. Qırmızımtıl qəhvəyi rəngli toxumları 0,5-0,6 sm uzunluqdadır. Dadı çox da şirin olmayıb, ağız büzücüdür. May-iyun aylarında çiçək açır, avqust sentyabrda isə meyvəsi yətişir.

Tipus: Kавказ, г. Бештау, 1300 м над ур. моря, 23.V.1887, И.Акинфиев (holo, LE).

Bitdiyi yer: Orta və yüksək dağlıq qurşaqlarda dəniz səviyyəsindən 1800-2200 m hündürlüklərdə meşəliklərdə, meşənin yuxarı sərhəddi boyunca daşlı-qayalı yamaclarda, kolluqlar arasında əhəngdaşlı torpaqlarda yayılmışdır.

Yayılma yeri. Muxtar respublikanın Şahbuz rayonunun Biçənək kəndi ərazisində palıd meşəliyi 08.IX.2009. T.H.Talıbov, Ə.M.İbrahimov.



S. caucasica Zinserl. - Qafqaz quşarmudu

S. caucasica Zinserl. növü *S. armenica* Hedl. və *S. persica* Hedl. növlərinə yaxındır və onlarla asanlıqla hibridləşir. *S. caucasica* Zinserl. növü nadir və nəslə kəsilməkdə olduğu nəzərə alınaraq, T.S.Məmmədov, E.O.İsgəndər və T.H.Talıbov tərəfindən Azərbaycanın nadir ağac və kolları (2016) kitabına daxil edilmiş və qorunma yolları göstərilmişdir.

Qafqaz coğrafi areal tipinə aiddir. Naxçıvan Muxtar Respublikası florasına ilk dəfə tərəfimizdən daxil edilir.

5. *S. fedorovii* Zaikonn. Ботанический. Журнал, 1974, 59, 11: 1605.- *S. subfusca* auct. non Boiss. - **Fyodorov quşarmudu.**

Hündürlüyü 2 m olan kol və ya ağacdır. Yarpaqları 7-10 sm uzunluqda, kənarları ikiqat, bəzən də dərin dişcikli olub, tərsyumurtavari və ya ellipsvaridir. Ucu sivriləşmiş, qaidəyə doğru isə pazşəkilli daralmışdır. Yarpağın alt üzündə damarlar aydın seçilir. Yarpaq saplağı qırmızı-qonur rəngdədir. Çiçəklər qalxan çiçək qrupunda toplanmışdır. Kasacığı keçətükcüklü, qabarcıqlı və küt dişlidir. Çiçək saplaqları çılpəkdir. Ləçəkləri ağ, enli ellipsvari olub, kasacıqdan demək olar ki, 2 dəfə uzundur. Meyvələri xırda, bir qədər kürəvari olub, əvvəl qırmızı, sonralar isə tünd-göyümtül rənglidir. İyun ayında çiçək açır, sentyabr-oktyabrda isə meyvəsi yətişir.



S. fedorovii Zaikonn. - Fyodorov quşarmudu

Tipus: Ossetia Australis, Ermani, in latere sinistro angustiae fl. Bolschaja Liachva, prope pagum Schavlochovo, 13.VII.1938, defl., fr. immat., L.I.Abramov (LE).

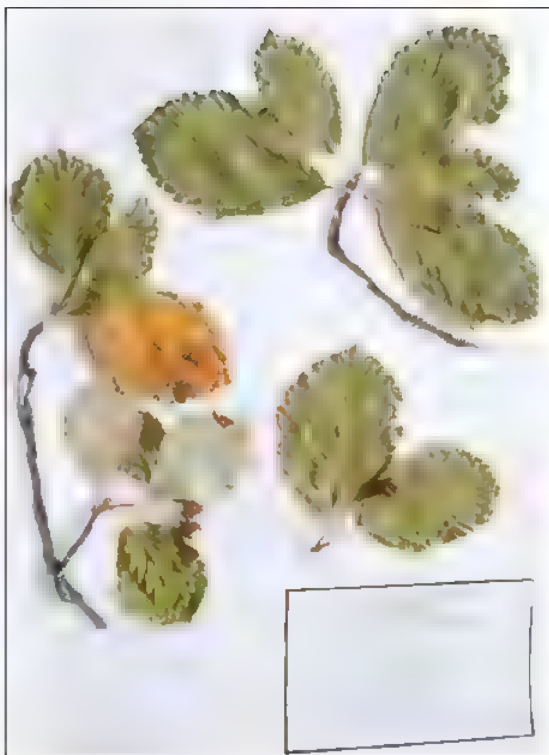
Bitdiyi yer: Orta və yüksək dağlıq qurşaqlarda dəniz səviyyəsindən 1500-2300 m hündürlüklərdə meşənin yuxarı sərhəddi boyunca daşlı qayalı yamaclarda, arid seyrək meşəliklərdə və kolluqlar arasında yayılmışdır.

Yayılma yeri. Muxtar respublikanın Şərur rayonu Axura kəndi ətrafı Hadı Kayıb, Quzuyatan əraziləri, meşə kolluq 23.VI.2009. T.H.Talıbov, Ə.M.İbrahimov

T.İ.Zaikonnikova (Заиконникова, 1974) tərəfindən Osetiya ərazisindən toplanılan herbari nümunələrinə əsasən təsvir edilmişdir. E.S.Gabrelian (Габриэлян, 1978) *S.fedorovii* Zaikonn. növünü *S.subfusca* (Ledeb.) Boiss. növünün sinonimi olduğunu qeyd edir. Müəllifə görə T.İ.Zaikonnikova *S.subfusca* (Ledeb.) Boiss. növünün polimorf olduğunu nəzərə almadan onun forma dəyişikliklərindəki müxtəlif əlamətlərindən istifadə etməklə *S.fedorovii* Zaikonn. növünün təsvirini vermişdir. Lakin toplanılan herbari nümunələri üzərində aparılan təhlillər nəticəsində aydın olmuşdur ki, *S.fedorovii* Zaikonn. növü yarpaqlarının forma və ölçüsünə, tükcüklüyünə, kənarlarının dişcikliyinə, meyvələrinə və s. görə xüsusilə fərqlənir.

Qafqaz coğrafi areal tipinə aiddir. Naxçıvan Muxtar Respublikası florasına ilk dəfə tərəfimizdən daxil edilir.

6. *S. kusnetzovii* Zinserl. Цинзерл. Фл. СССР IX (1939) 397 et Add. VIII: 496; Гроссг., Определ. Раст. Кавк. (1949) 74; Сосновск. и Махат., Определ. дер. и куст. Арм. ССР (1950) 30; Гроссг., Фл. Кавказа V (1952) 33, Прилипка, Фл. Азерб., V (1954) 56; Гачечиладзе, Дендроло. Кавказа, IV (1965) 116; Заиконникова, Ботан. журнал, 1980, 65, 9:1228; Заиконникова, Ботан. журнал, 1982, 67, 1:101; Azərbaycanın ağac və kolları, III (1970) 43.- **Kuznetsov quşarmudu.**



S. kusnetzovii Zinserl. - Kuznetsov quşarmudu

Hündürlüyü 4-5 m-ə çatan kol və ya alçaqboyu koldur. Tumurcuqları keçəvari tükcüklüdür və ya nadir hallarda çılpacdır. Yarpaqları enli, tərsellipsvari və ya ellipsvarıdır, qaidə hissəsi pazvari ensizləşir. Uc hissəsi sivri və ya nadir hallarda küt olub, 5-8 sm uzunluqda və 4-6,5 sm enindədir. Üst tərəfi çılpaq, yaşıl, alt tərəfdən isə bozuntulu sıx keçətükcüklüdür. Kənarı ikiqat dişlidir, yan damarlarının sayı 7-10 cütdür. Çiçək saplağı ağ keçətükcüklü, kasacağı ağ keçətükcüklü olub, üçbucaq şəklində dişlidir. Ləçəkləri ağ, dəyirmiləşmişdir. Meyvələri demək olar ki, kürəvaridir, 1,3 sm uzunluğunda, 1,1 sm enində olub, 11-16 ədədi birlikdə qalxanlarda toplanmışdır. Yetişmiş meyvələri qırmızımtıl olub, parlaqdır və üzəri azca tükcüklüdür. Tünd qəhvəyi rəngli toxumları 0,6-0,7 sm uzunluqdadır. May-iyun aylarında çiçək açır, sentyabr-oktyabrda isə meyvəsi yetişir.

Tipus: *Caucasus occidentalis*, Reservatum Publicum Caucasicum in rupibus et pratulis in declivio australi montis Zakan, 12.VII.1930, A.İ.Leskov (LE).

Bitdiyi yer: Orta və yüksək dağlıq qurşaqlarda dəniz səviyyəsindən 1700-2300 m hündürlüklərdə palıd meşələrində, seyrək meşələrin kənarlarında, açıq qayalı yamaclarda, kol pöhrəlikləri arasında yayılmışdır. Tək-tək və ya qruplarla palıd seyrək meşəliklərində və ya kol pöhrəliklərində *Rhamnus cathartica* L., *Viburnum lantana* L., *Lonicera iberica* Bieb., *Sorbus graeca* (Spach) Lodd. ex Schauer, *S. aucuparia* L., *Euonymus verrucosus* Scop., *Berberis iberica* Stev. & Fisch. ex DC., *Juniperus oblonga* Bieb. və s. ilə birlikdə rast gəlinir.

Yayılma yeri. Muxtar respublikanın Şahbuz rayonunun Biçənək kəndi ərazisində palıd meşəliyi 09.VIII.2013. T.H.Talıbov, Ə.M.İbrahimov; Ordubad rayonunun Nürgüt kəndi ətrafındakı seyrək meşəlikdə palıd, yemişan, alma, armud, itburnu, murdarça və s. növləri ilə birlikdə və ya tək-tək 04.IX.2015. T.H.Talıbov, Ə.M.İbrahimov

Bu növ *S. graeca* növünə yaxın olub, ondan aydın şəkildə seçilən incə dişcikli yarpaq kənarları, xarakterik tükcüklü və qırmızı rəngli çiçəkləri və meyvələri ilə fərqlənir.

A.M.Əsgərov Azərbaycan florasının konspekti (2011) kitabında Kuznetsov quşarmudunun Azərbaycanda yayıldığını göstərsə də, sonrakı əsərində (Əsgərov, 2016) bu fikri tərkib etmişdir.

T.A.Qasımova və b.-nin (Касимова и др., 2014) məlumatlarında əsasən *S. kusnetzovii* Zinserl. növünə Böyük Qafqazın bütün ərazisində orta və yüksək dağlıq qurşaqlarda dəniz səviyyəsindən 1200-2400 m hündürlüklərdə palıd meşələrində, seyrək meşələrin kənarlarında, açıq qayalı yamaclarda, kol pöhrəlikləri arasında yayıldığı qeyd edilmişdir.

S. kusnetzovii Zinserl. növü nadir və nəslə kəsilməkdə olduğu nəzərə alınaraq, T.S.Məmmədov,

E.O.İsgəndər və T.H.Talıbov tərəfindən Azərbaycanın nadir ağac və kolları (2016) kitabına daxil edilmiş və qorunma yolları göstərilmişdir.

Qafqaz coğrafi areal tipinə aiddir. Naxçıvan Muxtar Respublikası florasına ilk dəfə tərəfimizdən daxil edilir.

7. *S. migarica* Zinserl. Цинзерл. Фл. СССР IX (1939) 398 et Add. VIII: 496, tabl. 26, 3 (fol.); Гроссг., Определ. раст. Кавк.: (1949) 74; Сосн. Фл. Груз. V (1949) 353; Гроссг. Фл. Кавк. изд. V (1952) 34, tabl. 6, 2, sub *S. graeca* (excl. Petiolum); Колак. Мат. позн. фауны и флоры СССР, нов. сер. отд. бот. X (1961) 408 (Раст. мир Колхиды); Гач. Дендропл. Кавк. IV (1965) 115, рис. 19, 1 (fol.). - *S. aria* auct. non Crantz : Альбов, Тр. Тифл. бот. сада 1 (1895) 70, (Prodr. Fl. Colch.). - *S. graeca* auct. non Hedl.: Заиконн. Бот. журн., 1973, 10:167 - **Miqariya quşarmudu**

0,5-2,0 m hündürlükdə koldur. Tumurcuqları zəif keçətükcüklüdür. Yarpaqları az və ya çox dərəcədə dərivaridir, dəyirnidir, (5) 7-9 (10) sm uzunluqda, (4,5) 6 7 (8) sm enindədir, yuxarı hissəsi kütüdür. Yan damarlarının sayı 8-10 cütdür. Üst səthi damarlardan başqa çılpaq və ya zəif tükcüklüdür. Alt səthinin damarları arasındakı sıx ağ keçəvari tükcüklü, damarların üzəri isə çox zəif tükcüklüdür. Ona görə də damarlar daha tünd rəngi ilə aydın seçilir. Yarpağın kənarı aşağı hissədən tamkənarlı, yuxarıya doğru hissəsi isə (1/8 1/3) dişcikli. Dişciklər kiçik və iti olub, hər tərəfdə onların sayı 20-25 ədəddir. Yarpaq və çiçək saplağı qısa və ağ keçətükcüklüdür. Kasacıq ağ keçətükcüklü olub, çiçəkləmədən sonra aşağı əyilən üçbucaq şəkilli dişcikli. Yetişmiş meyvələri tünd qırmızımtıl olub 1,1-1,3 sm uzunluqda, 1,0-1,2 sm enindədir. May-iyun aylarında çiçək açır, sentyabr-oktyabrda isə meyvəsi yetişir.

Tipus: Megrelia, mons. Migaria, 21.VII.1936, P.Panjutin (LE).

Bitdiyi yer: Orta və yüksək dağlıq qurşaqlarda dəniz səviyyəsindən 1800-2100 m hündürlüklərdə palıd meşələrində, meşənin yuxarı sərhəddi boyunca daşlı-qayalı yamaclarda, arid seyrək meşəliklərdə və kolluqlar arasında əhəngdaşlı torpaqlarda yayılmışdır.

Yayılma yeri. Muxtar respublikanın Ordubad rayonunun Nürgüt kəndi ətrafındakı seyrək meşəlikdə ardıc, zirinc, palıd, yemişan, armud, alma, itburnu və s. növləri ilə birlikdə və ya tək-tək 02.XI.2011. T.H.Talıbov, Ə.M.İbrahimov

S.graeca növünə yaxın olub, ondan çox kiçik saplaqlı yarpaqlarına görə fərqlənir. *S. migarica* Zinserl. növündə yarpaq saplağının uzunluğu (0,2) 0,5-0,7 (1,0) sm olduğu halda, *S.graeca* növündə 1,0-1,5 və ya 1,5-2,0 sm uzunluqdadır. Yarpaq kənarının dişcikləri *S.graeca* növündə olduğu kimi yarpağın ortasından (və ya hətta ortasından əsasına

doğru) deyil, yarpağın ortasından uc hissəyə doğru toplanmışdır

İ.T.Zaikonnikovanın məlumatlarında Qafqazdan toplanılan herbari nümunələrinin sonrakı təyinatlar zamanı *S. migarica* Zinserl. növü *S. graeca* var. *cuneata* Zinserl. kimi qeyd edildiyi göstərilir. Belə təyinatlara Azərbaycan MEA Botanika İnstitutunun Herbariumunda saxlanılan nümunələrdə də rast gəlmək mümkündür (AMEA Botanika İnstitutunun Herbari fondunda saxlanılan nümunələrdə Ordubad rayonunun Məzrə və Urmus kəndləri arası (16.08.1933, Karyagin) və Urmus (02.08.1933, İsayev; 15.08.1933, Karyagin) kəndinin ətrafından toplanıldığı göstərilmişdir). Buna görə də E.S.Qabrielyan (Габриэлян, 1978) *S. migarica* Zinserl. növünü *S. umbellata* (Desf.) Fritsch var. *orbiculata* Gabr. (*S. graeca* var. *orbiculata* Zinserl.) növünün sinonimi kimi göstərmişdir. Lakin ədəbiyyat məlumatlarının araşdırılması, həm də toplanılan herbari nümunələrinin təhlili zamanı aydın olmuşdur ki, *S. migarica* Zinserl. növü morfoloji əlamətlərinin müxtəlifliyinə və coğrafi arealına görə S.K.Çerepanovun (Черепанов, 1995) da qeyd etdiyi kimi sərbəst növ olaraq qəbul olunması daha məqsədəuyğundur.



S. migarica Zinserl. - **Miqariya quşarmudu.**

İ.T.Zaikonnikova Заиконникова, 1973) da *S. migarica* Zinserl. növünün Y.D. Zinzerlinqin (Цинзерлинг, 1939) qeyd edildiyi kimi dar endemik növ olmayıb, bütün Qafqazda yayıldığını qeyd etmişdir.

Qafqaz coğrafi areal tipinə aiddir. Naxçıvan Muxtar Respublikası florasına ilk dəfə tərəfimizdən daxil edilir.

8. *S. tamamschjanae* Gabr. Биол. журн. Армении, 1969, 22, 2:42. *S. dualis* auct. p.p., non Zinserl. *S. armeniaca* auct. p.p., non Hedl. *S. roopiana* auct. p.p., non Bordz. - **Tamamşyan quşarmudu.**



S. tamamschjanae Gabr. - **Tamamşyan quşarmudu**

Hündürlüyü 2-5 m-ə çatan kol və ya alçaq-boylu ağacdır. Yarpaqları yumurtavari və ya ellipsvari olub, 2,5-9 sm uzunluqda, 1,5-5 sm enindədir, qaidəyə yaxın hissəsi pazvari daralmışdır, uc hissəsi isə kütüdür. Üst səthi tünd yaşıl, çılpaq, alt səthi isə sıx boz və ya ağıntılı keçərtüküklüdür. Kənarı kiçik dişcikli olub, kifayət qədər dərin qısa dilimlidir. Yan damarlarının sayı 7-9 cütdür. Çiçək qrupu çoxçiçəkli qalxanvaridir. Çiçək saplağı ilk vaxtlar tükcüklü olub, sonralar çılpqlaşır. Kasacı kənarları dişcikli üçbucaq şəklində olub, qısa və iti ucludur. Ləçəkləri ağ olub, yumurtavaridir. Meyvələri 1,2 sm uzunluqda, 1,1 sm enində olub, enli ellipsvaridir, 5-11 (18) ədədi birlikdə qalxanlarda toplanmışdır. Yetişmiş meyvələri açıq narıncı rəngdə olub, parlaqdır. Açıq qəhvəyi rəngli toxumları 0,6 sm uzunluqda, 0,2 sm enindədir. Dadı çox da şirin olmayıb, ağır büzücüdür. May-iyun aylarında çiçək açıb, sentyabr-oktyabrda isə meyvəsi yetişir.

Holotipus: Armenia, in vicinitate Khosrov, supra ruinas pagi Mangjuk, ad ripam sinistram fl. Qjusus, in silva, 1800 m, 17.VI.1968, Gabrielljan (ERE, iso. LE, E).

Bitdiyi yer: Orta və yüksək dağlıq qurşaqlarda dəniz səviyyəsindən 1800-2400 m hündürlüklərdə palıd meşələrində, meşənin yuxarı sərhəddi boyunca daşlı-qayalı yamaclarda, arid seyrək meşəliklərdə və kolluqlar arasında əhəngdaşlı torpaqlarda yayılmışdır.

Yayılma yeri. Muxtar respublikanın Şərur rayonunun Qaraquş dağı Lizbirt ərazisi ətrafındakı seyrək meşəlikdə palıd, yemişan, armud, itburnu, murdarça, və nə s. növlər ilə birlikdə və ya tək-tək. 05.X.2011. T.H.Talıbov, Ə.M.İbrahimov; Şahbuz rayonunun Ayrinc kəndi ətrafı seyrək meşəlik, 09.VII.2013; Ordubad rayonunun Nürgüt kəndi ətrafındakı seyrək meşəlikdə palıd, yemişan, armud növləri ilə birlikdə və ya tək-tək 04.IX.2015. T.H.Talıbov, Ə.M.İbrahimov

S. tamamschjanae Gabr. növü ona yaxın *S. armeniaca* Hedl. növündən qaidəyə doğru pazvari daralmış (dəyirmi yox) yarpaqları, dilimlərinin forma və böyüklüyü, tükcüklüyü, damarlanması, narıncı rəngli (qırmızı yox) meyvələri, *S. persica* Hedl. növündən isə rombvari-ellipsşəkilli, üstdən tünd yaşıl altından isə yaşılmtıl ağ tükcüklü, qısa iti uclu dilimlənmiş yarpaqları, aşağı əyilmiş meyvə saplaqları və meyvələrinin rənginə görə fərqlənir.

Qafqaz coğrafi areal tipinə aiddir. Naxçıvan Muxtar Respublikası florasına ilk dəfə tərəfimizdən daxil edilir.

Sorbus albobii Zinserl., *S. armeniaca* Hedl., *S. buschiana* Zinserl., *S. caucasica* Zinserl., *S. fedorovi* Zaikonn., *S. kusnetzovi* Zinserl., *S. migarica* Zinserl. və *S. tamamschjanae* Gabr. növlərinin herbari nümunələri AMEA Naxçıvan Bölməsi Biorekurslar İnstitutunun Herbari fondunda saxlanılır.

ƏDƏBİYYAT

- Əsgərov A.M. (2011) Azərbaycan florasının konspekti. Əlavələr və dəyişiklərlə (1961-2009). Bakı: Elm, 204 s.
- Əsgərov A.M. (2016) Azərbaycanın bitki aləmi (Ali bitkilər - *Embryophyta*). Bakı: TEAS Press Nəşriyyat evi, 444 s.
- İbrahimov Ə.M. (2008) Naxçıvan Muxtar Respublikası florasında yayılan quşarmudu (*Sorbus L.*) növlərinin sistematik təhlili və yayılma zonaları. *AMEA Naxçıvan Bölməsinin Xəbərləri, təbiət və texniki elmlər seriyası*, 4: 94-97.
- Məmmədov T.S., İsgəndər E.O., Talıbov T.H. (2016) Azərbaycanın nadir ağac və kol bitkiləri. Bakı: Elm, 380 s.

- Talibov T.H., İbrahimov Ə.M.** (2013) Naxçıvan Muxtar Respublikasının dendroflorası. *AMEA Naxçıvan bölməsinin xəbərləri, təbiət və texniki elmlər seriyası*, 4: 69-77.
- Габриэлян Э.Ц.** (1978) Рябины (*Sorbus* L.) Западной Азии и Гималаев. Ереван: АН Арм. ССР, 264 с.
- Гроссгейм А.А.** (1952) Род *Sorbus* L. Флора Кавказа. М.-Л.: АН СССР, 5: 29-37
- Зайконова Т.И.** (1973) *Sorbus migarica* Zinserl. на Кавказе. *Новости сист. высш. раст.*, 10: 167-172.
- Зайконова Т.И.** (1974) Новый вид рябины на Кавказе. *Ботанический журнал*, 59(11): 1605-1608.
- Зайконова Т.И.** (1976) Критические заметки о некоторых Кавказских видах рода *Sorbus* L.. *Новости сист. высш. раст.*, 13: 116-121.
- Зайконова Т.И.** (1980) К вопросу об объеме Кавказского вида *Sorbus subfusca* (Ledeb.) Boiss. *Новости систематики высших растений*, 17: 145-152.
- Касумова Т.А., Алиева З.С., Сафкулиева Т.Д.** (2014) Обзор видов рода *Sorbus* (*Rosaceae*) в Азербайджане. *AMEA-nın Xəbərləri (biologiya və tibb elmləri)*, 69(3): 16-21.
- Прилипко Л.И.** (1954) Род *Sorbus* L. Флора Азербайджана. Баку: АН Аз. ССР, 5: 52-60
- Черепанов С.К.** (1995) Сосудистые растения России и сопредельных Государств (в пределах бывшего СССР). Санкт-Петербург: Мир и семья-95, 992 с.
- Цинзерлинг Ю.Д.** (1939) Род *Sorbus* L. Флора СССР. М.-Л.: АН СССР, 9: 372-406.

Новые Виды Рябины (*Sorbus* L.) Для Флоры Нахчыванской Автономной Республики

Т.Г. Талыбов, А.М. Ибрагимов

Институт биоресурсов Нахчыванского отделения НАН Азербайджана

На основе анализа результатов многолетних исследований, в числе собранных во время научных экспедиций материалов обнаружено новые для флоры Нахчыванской Автономной Республики виды *Sorbus albovii* Zinserl., *S. armeniaca* Hedl., *S. buschiana* Zinserl., *S. caucasica* Zinserl., *S. fedorovii* Zaikonn., *S. kusnetzovii* Zinserl., *S. migarica* Zinserl. və *S. tamamschjanae* Gabr. В статье также приводятся синонимы видов и сведения о закономерностях распространения их по высотным поясам, биотопах и сроках цветения и плодоношения.

Ключевые слова: Нахчыванская Автономная Республика, *Sorbus* L., новые виды, систематика, ареалы распространения

The New Rowanberry (*Sorbus* L.) Species For The Flora Of Nakhchivan Autonomous Republic

T.H. Talibov, A.M. Ibrahimov

Institute of Bioresources, Nakhchivan Division of Azerbaijan National Academy of Sciences

New species for the flora of the Nakhchivan Autonomous Republic - *Sorbus albovii* Zinserl., *S. armeniaca* Hedl., *S. buschiana* Zinserl., *S. caucasica* Zinserl., *S. fedorovii* Zaikonn., *S. kusnetzovii* Zinserl., *S. migarica* Zinserl. and *S. tamamschjanae* Gabr have been established on the basis of the results of a long term research, including the analysis of the collected materials during scientific expeditions and the study of the literature data. The article also provides synonyms of species and information about the regularities of their distribution over high-altitude zones, habitats and the timing of flowering and fruiting

Keywords: Nakhchivan Autonomous Republic, *Sorbus* L., new species, systematic, areas of distribution

Xəzərin Şimali Abşeron Körfəzinin Makrozoobentosu

G.S. Mirzəyev^{1*}, A.R. Əliyev²

¹ Azərbaycan Dövlət İqtisad Universiteti UNEC, *E-mail: garay.mirzoev@mail.ru

² AMEA Zoologiya İnstitutu, A.Əbbasov küç., 504-cü məhəllə, Bakı AZ 1073, Azərbaycan

Məqalə 2011-2013-cü illərdə Xəzərin Şimali Abşeron körfəzinin makrozoobentosunun fəsilələr üzrə növ tərkibinin və miqdarca inkişaf dinamikasının öyrənilməsinə həsr olunmuşdur. Şimali Abşeron körfəzində 9 sistematik qrupa mənsub olan 46 növ makroonurğasız heyvan qeyd edilmişdir. Qeyd edilən növlərdən 3-ü (*J.michaelseni*, *A.spinosa*, *C.marinus*) körfəzin faunası üçün ilk dəfə olaraq göstərilir. Maksimal növmüxtəlifliyi yaz – yay fəsilələrində (30 – 46 növ), minimal növmüxtəlifliyi isə payız fəslində (25 – 30 növ) qeydə alınmışdır. Makrozoobentik orqanizmlərin orta illik biokütəsi 95,66 q/m² – 107,92 q/m², sayı 1217 – 1453 fərd/m² arasında dəyişir. Orqanizmlərin maksimal biokütəsi yay fəslində 122,88 – 139,14 q/m², minimal göstəricisi isə payız fəslində 71,49 – 81,23 q/m² qeyd edilmişdir.

Açar sözlər: Şimali Abşeron körfəzi, makrozoobentos, biokütlə, makrozoobentik orqanizmlər, növ müxtəlifliyi

GİRİŞ

Şimali Abşeron körfəzi Xəzər dənizinin balıqçılıq təsərrüfatı üçün əhəmiyyətli hövzələrdən biridir. Körfəz Pirallahı adasını materiklə birləşdirən bənddən şimalda yerləşir. Onun sahəsi 24 km², dərinliyi 4-10 m arasında dəyişir, orta dərinliyi isə 4,7 m-dir. Son illərdə dənizdə neftin çıxarılmasının intensivləşməsi Xəzərdə ekoloji vəziyyətin gərginləşməsinə səbəb olmuşdur. Məhz buna görə də yaranmış yeni ekoloji şəraitdə Xəzərin Şimali Abşeron körfəzinin makrozoobentosun öyrənilməsinin mühüm nəzəri və praktiki əhəmiyyəti vardır. Çünki bentik orqanizmlər yalnız Xəzərdə yaşayan vətəgə əhəmiyyətli balıqların qidasını deyil, eyni zamanda Xəzər ekosistemində tarixən formalaşmış qida zəncirinin mühüm bir həlqəsini təşkil edir.

Aparılan tədqiqat işinin əsas məqsədi dəyişən ekoloji şəraitdə Şimali Abşeron körfəzində makrozoobentik orqanizmlərin fəsilələr üzrə növ tərkibinin və miqdarca yayılmasının öyrənilməsindən ibarət olunmuşdur.

Şimali Abşeron körfəzinin makrofaunası haqqında məlumatlar bir sıra tədqiqatçıların (Алиев, 1968; Гасанова, 1972; Касымов, 1987; Mirzəyev, 2012; Mirzəyev, 2008) işlərində verilmişdir. Şimali Abşeron körfəzi üçün cəmi 19 növ makrozoobentik orqanizmlər göstərilirdi. Lakin Şimali Abşeron körfəzinin makrofaunası üzrə aparılan 1999-2001-ci illərdəki tədqiqatlarda körfəz üçün işdə 6 tipə mənsub olan 109 növ onurğasız heyvan göstərilir (Süleymanova, 2006).

Qeyd etmək lazımdır ki, bu müəlliflər tərəfindən tapılan növlərdən yalnız 43-ü bizim tərəfimizdən sahilyanı zonalarda apardığımız tədqiqatlarda qeydə alınmışdır.

MATERIAL VƏ METODLAR

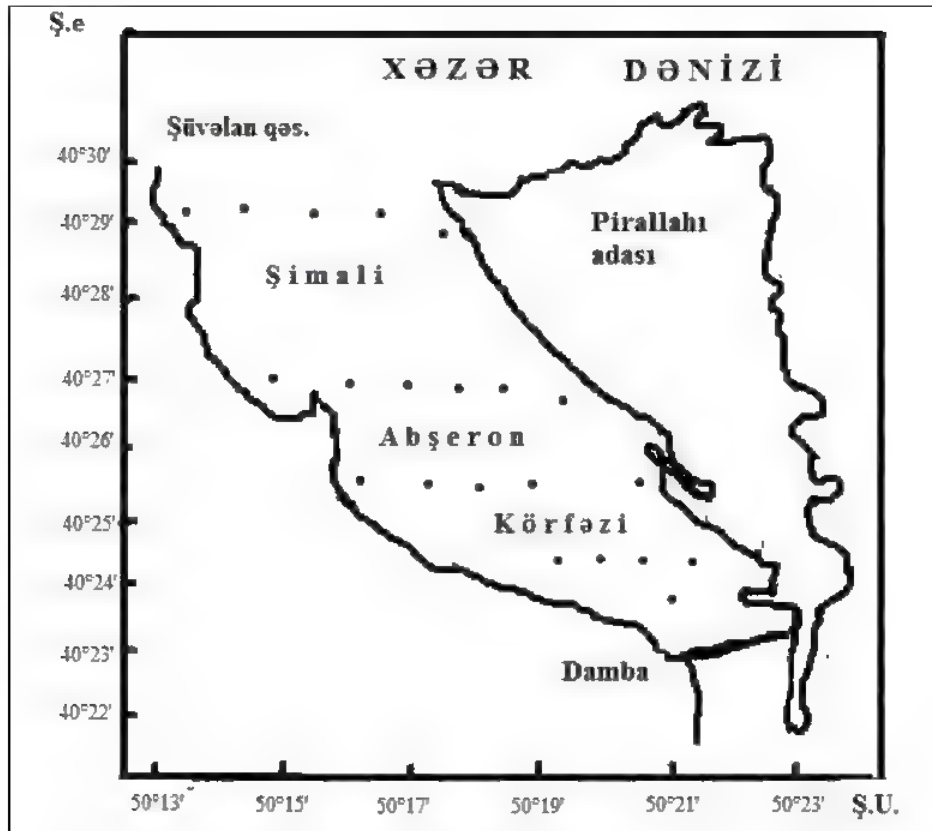
Nümunələr 2011-2013-cü illərdə fəsilələr üzrə (yaz, yay, payız) Şimali Abşeron körfəzinin sahil-boyu sularından toplanmışdır. Makrozoobentosa aid nümunələr 21 bioloji stansiyalar üzrə toplanmışdır (şəkil 1). Keyfiyyət nümunələri kəfkir, sıyrıcı və Siqsbi drağı ilə, miqdarı nümunələr isə götürmə sahəsi 0,025 m² olan Petersen dibgötürən cihazı vasitəsilə götürülmüşdür. Stansiyalardan toplanmış nümunələrə "Benqal-Roze" rəngləyici əlavə olunmuş 4%-li formalinlə fiksə edilmiş və laboratoriyaya şəraitində orqanizmlərin növ tərkibi və biokütəsi müəyyənəşdirilmişdir. Makrozoobentik orqanizmlərin say və biokütlə göstəriciləri hidrobioloji tədqiqatlarda qəbul olunmuş ümumi metodlarla öyrənilmişdir (Касымов, 2000; Романова, 1983).

Növün konkret biosenozda rolunu aydınlaşdırmaq üçün biokütlə və say göstəriciləri kifayət etmədiyindən, növlərin rastgəlmə tezliyi də aşağıdakı formula ilə müəyyən edilmişdir:

$$P = \frac{m}{n} \cdot 100\%$$

burada: *n* – biosenozda stansiyaların ümumi sayı, *m* – öyrənilən növün rast gəlinməsi stansiyaların sayıdır.

Makrozoobentik orqanizmlərin növ tərkibinin təyini üçün kitablarından istifadə edilmişdir (Атлас беспозвоночных Каспийского моря, 1968; Определитель фауны Черного и Азовского морей, 1969). Suyun hidrokimyəvi və fiziki göstəriciləri (pH, duzluluq, üst və dib temperaturu və suda həll olan oksigenin miqdarı) multisistem qeydiyyat aparatı olan WTW-Multi-340 ilə təyin olunmuşdur.



Şəkil 1. Şimali Abşeron körfəzində makrozoobentosa nümunələr toplanan bioloji stansiyaların sxematik xəritəsi. • - nümunələr toplanan bioloji stansiyalar

Cədvəl 1. 2011 – 2013 cü illərdə Şimali Abşeron körfəzinin sahiləyi zonalarında makrozoobentosunun növ tərkibi

№	Növlər	İllər								
		2011			2012			2013		
		Fəsilələr								
		Yaz	Yay	Payız	Yaz	Yay	Payız	Yaz	Yay	Payız
1	2	3	4	5	6	7	8	9	10	11
	Polychaeta									
1	<i>Nereis diversicolor</i> Muller	++	+	+	+	+	+	+	+	+
2	<i>N. succinea</i> (Leuclart)	+	+		+	+	+	+	+	
3	<i>Hypamia invalida</i> (Grube)	+	+	-	+	+	-	+	+	-
	Oligochaeta									
4	<i>Psammoryctides deserticola</i> (Grimm)	++	++	+	+	+	+	+	+	+
5	<i>Isochaetides michaelsoni</i> (Last.)*	-	+	-	-	+	-	-	+	-
	Cirripedia									
6	<i>Balanus improvisus</i> Darwin	++	++	+	+	+	+	+	+	+
7	<i>B. eburneus</i> Gould	+	+	-	+	+	+	+	+	-
	Cumacea									
8	<i>Schizorynchus eudorelloides</i> Sars	-	+	-	-	+	-	-	+	-
9	<i>Pterocuma pectinata</i> (Sow.)	+	+	-	+	+	-	+	+	-
10	<i>P. rostrata</i> (Sars)	+	+	-	+	+	-	+	+	-
11	<i>P. sowinskyi</i> (Sars)	+	+	-	+	+		+	+	
12	<i>P. grandis</i> Sars	-	+	-	+	+	-	-	-	-
13	<i>Stenocuma tenuicauda</i> (Sars)	-	+	-	+	+	-	-	-	-
14	<i>S. gracilis</i> (Sars)		+	-	+	+	+	+	+	+
15	<i>S.graciloides</i> (Sars)	++	+	+	+	+	+	+	+	-
	Mysidacea									
16	<i>Hemimysis anomala</i> Sars		+	-	+	+	+	+	+	
17	<i>Paramysis baeri</i> Sz.	+	-	+	+	+		+	+	+
18	<i>P.grimmeri</i> (Sars)	+	+	-	+	+	-	+	+	-
19	<i>P.lacustris</i> (Cz.)	+	+	+	+	+	+	-	+	-
	Amphipoda									
20	<i>Dikerogammarus haemobaphes</i> (Eichw.)	++	++	++	++	+	+	+	+	+

1	2	3	4	5	6	7	8	9	10	11
21	<i>Axelboeckia spinosa</i> (Sars)*	-	+	-	+	+	+	+	+	-
22	<i>Amathullina maximovitschi</i> Sars	+	-	+	+	+	+	+	+	+
23	<i>A. affinis</i> Sars	+	-	+	+	+	+	-	+	+
24	<i>Niphargoides robustoides</i> (Grimm.)	++	++	++	++	+	+	+	+	+
25	<i>N. compactus</i> Sars	-	+	+	-	+	-	+	+	+
26	<i>N. corpulentus</i> Sars	+	+	-	-	+	+	+	+	-
27	<i>N. grimmii</i> Sars	+	+	+	+	+	+	-	+	+
28	<i>N. obesus</i> (Sars)	-	+	+	+	+	+	+	+	+
29	<i>N. maeoticus</i> (Sow.)	++	++	++	++	+	+	+	+	+
30	<i>N. carausui</i> (Derzh. et Pjat.)	++	+	+	+	+	+	+	+	+
31	<i>N. similis</i> (Sars)	+	+	-	+	+	+	-	+	-
32	<i>N. compressus</i> (Sars)	+	+		+	+		+	+	+
Mollusca										
33	<i>Mytilaster lineatus</i> (Gmel.)	++	++	++	++	++	+	+	+	+
34	<i>Cerastoderma rhomboides</i> Lamarck	++	++	++	++	++	++	++	++	++
35	<i>Didacna baeri</i> (Grimm)	+	+	+	+	+		+	+	+
36	<i>D. longipes</i> (Grimm)	+	+	+	+	+	-	+	+	+
37	<i>Hypania plicata</i> (Eichw.)	+	+	-	+	+	-	+	+	+
38	<i>Abra ovata</i> (Phill.)	++	++	++	++	++	++	++	++	++
39	<i>Caspihydrobia conica</i> Logv. et Star.	+	+	+	+	+	+		+	+
40	<i>C. eichwaldiana</i> Gol. et Star.	+	+	-	-	+	+	+	+	+
41	<i>C. parva</i> Logv. et Star.		+		+	+	+	+	+	
42	<i>C. curta</i> Logv. et Star.	+	+	-	+	+	-	+	+	+
Decapoda										
43	<i>Palaemon elegans</i> Rathke	++	++	++	++	++	++	-	++	++
44	<i>P. adspersus</i> Rathke	-	+	+	-	+	+	-	+	+
45	<i>Rithropanopeus harrisi tridentatus</i> (Mait.)	++	++	++	++	++	++	++	++	++
Insecta										
46	<i>Chuno marinus</i> Hal.*	-	+	+	-	+	-	+	+	-
Cəmi:		34	43	25	39	46	30	36	45	28

Qeyd "+" rast gəlinən novlər, "++" dominant novlər, * - körfəz faunası üçün yeni novlər

NƏTİCƏLƏR VƏ ONLARIN MÜZAKİRƏSİ

Aparığımız 3-illik tədqiqatlarla müəyyən olunmuşdur ki, Şimalı Abşeron körfəzinin sahiləni sularında rastgəlinən makrozoobentik orqanizmlərin istər növ sayı və istərsə də miqdarca yayılması ilin fəsilələrindən asılı olaraq dəyişir. Belə ki, 2011-ci ildə Şimalı Abşeron körfəzində 9 sistematik qrupa mənsub olan 43 növ qeydə alınmışdır ki, onların 34-ü yaz, 43-ü yay və 25 növü isə payız fəslində rast gəlinmişdir. İlin bütün fəsilələrində makrozoobentik orqanizmlərin növ sayının zənginləşməsində əsas rol oynayan qrup molyuskalar və yanüzən xərçənglər olmuşdur. Molyuskalar makroben-tosun yaz fəslində 26%, yay fəslində 23%, payız fəslində 24%-ni, yanüzən xərçənglər isə ümumi növ sayının yaz fəslində 29%-ni, yay fəslində 25%-ni, payız fəslində 36%-ni təşkil edirlər. İlin bütün fəsilələrində bu qruplara daxil olan orqanizmlər arasında *M. lineatus*, *C. rhomboides*, *A. ovata*, *D. haemobaphes*, *N. robustoides*, *N. maeoticus* və *N. carausui* dominantlıq edən növlər olmuşdur (cədvəl 1).

Makrozoobentik orqanizmlərin 2011-ci ildə orta illik biokütləsi 95,66 q/m², sayı isə 1217 fərd/m² olmuşdur. Orqanizmlərin biokütlə və sayca maksimal inkişafı yaz-yay fəsilələrində qeyd edilmişdir.

Yaz fəslində bu orqanizmlərin biokütləsi 92,63 q/m², yay fəslində 122,88 q/m², sayı isə müvafiq olaraq 1229-1614 fərd/m² arasında dəyişmişdir (cədvəl 2). Tədqiqat müddətində makrozoobentik orqanizmlərin biokütləsinin formalaşmasında əsas rol oynayan orqanizmlər *C. rhomboides* 30,32 q/m² (43 fərd/m²), *M. lineatus* 26,95 q/m² (56 fərd/m²), *R. harrisi tridentatus* 5,17 q/m² (8 fərd/m²), *Balanus improvisus* 4,69 q/m² (35 fərd/m²), *P. elegans* 4,53 q/m² (8 fərd/m²) olmuşdur. Lakin sayə görə dominantlıq edən orqanizmlər isə yanüzən xərçənglərdən - *N. robustoides* - 101 fərd/m², *D. haemobaphes* - 90 fərd/m² və *N. carausui* 78 fərd/m² olmuşdur.

2012-ci ildə Şimalı Abşeron körfəzinin sahiləni sularında 46 növ makrozoobentik orqanizmlərə rast gəlinmişdir. Bu orqanizmlərin növlərinin sayı ilin fəsilələrindən asılı olaraq dəyişir. Belə ki, makrozoobentik orqanizmlərin maksimal növ sayı yaz yay fəsilələrində (39-46 növ), minimal növ sayı isə payız fəslində (30 növ) qeyd edilmişdir (cədvəl 1). 2011-ci ildən fərqli olaraq 2012-ci ildə körfəzin makrozoobentosunda novlərin sayı 43-dən 46-ya qədər artmışdır. Xüsusi ilə qeyd etmək lazımdır ki, rast gəlinən növlərdən 3 ü (*I. michael-seni*, *A. spinoza*, *C. marinus*) körfəz faunası üçün ilk dəfə məhz 2012-ci ildə qeyd edilmişdir. İlin bütün fəsil-

lərində körfəzin makrozoobentosunun növ sayının zənginləşməsi əsasən yanüzən xərçənglərin hesabına olmuşdur. Belə ki, onlar makrozoobentosun ümumi növ sayının yaz yay fəsilələrində 28%-ni, payız fəslində isə 36%-ni təşkil etmişlər. Sonrakı yerləri 10 növlə molyuskalar və 8 növlə kum xərçəngləri tuturlar. Bu orqanizmlər arasında tədqiqat müddətində, fəsillər üzrə dominantlıq edən növlər əsasən *N.diversicolor*, *Ps.deserticola*, *B.improvisus*, *M.linneatus*, *C.rhomboides*, *A.ovata*, *D.haemobaphes*, *N.robustoides*, *N.maeoticus*, *N.carausui* və *S.graciloides* olmuşdur.

2012-ci ildə makrozoobentosun miqdarca inkişafında 9 sistematik qrupa daxil olan orqanizmlər iştirak etmişdir. Makrozoobentik orqanizmlər orta illik biokütləsi 107,92 q/m², sayı isə 1453 fərd/m² olmuşdur. Əvvəlki ildə olduğu kimi, bu il də makrozoobentik orqanizmlərin biokütləyə görə maksimal inkişafı yay fəslində, minimal inkişafı isə payız fəslində qeyd edilmişdir. Belə ki, bu orqanizmlərin yay fəslində biokütləsi 139,14 q/m², sayı isə 1883 fərd/m², payız fəslində isə biokütləsi 80,57 q/m², sayı isə 1058 fərd/m² olmuşdur (cədvəl 3).

Cədvəl 2. 2011-ci ildə Şimali Abşeron körfəzinin makrozoobentosunun fəsillər üzrə inkişaf dinamikası ($\frac{\text{fərd}}{q} \cdot m^2$).

Qruplar	Növ sayı	Fəsillər			
		Yaz	Yay	Payız	Orta hesabla
<i>Polichaeta</i>	3	53 1,59	78 2,17	34 1,19	55 1,65
<i>Oligochaeta</i>	1	39 0,40	55 0,60	25 0,29	40 0,43
<i>Cirripedia</i>	2	44 8,49	64 9,18	33 6,82	47 8,16
<i>Cumacea</i>	7	95 1,53	132 2,12	39 0,96	88 1,53
<i>Mysidacea</i>	3	57 1,04	81 1,42	41 0,80	59 1,09
<i>Amphipoda</i>	13	617 5,95	739 7,84	456 4,23	604 6,00
<i>Mollusca</i>	10	296 59,34	416 81,30	168 48,07	294 62,91
<i>Decapoda</i>	3	22 14,13	36 18,06	11 9,03	23 13,74
<i>Insecta</i>	1	6 0,16	13 0,19	2 0,10	7 0,15
Cəmi:	43	1229 92,63	1614 122,88	809 71,49	1217 95,66

Cədvəl 3. 2012-ci ildə Şimali Abşeron körfəzinin makrozoobentosunun fəsillər üzrə inkişaf dinamikası ($\frac{\text{fərd}}{q} \cdot m^2$).

Qruplar	Növ sayı	Fəsillər			
		Yaz	Yay	Payız	Orta hesabla
<i>Polichaeta</i>	3	86 2,00	114 2,59	52 1,52	84 2,04
<i>Oligochaeta</i>	2	53 0,52	80 0,86	35 0,36	56 0,58
<i>Cirripedia</i>	2	62 8,75	84 9,69	44 7,04	63 8,49
<i>Cumacea</i>	8	138 2,03	208 2,66	118 1,09	155 1,93
<i>Mysidacea</i>	4	69 1,34	96 1,67	48 0,91	71 1,31
<i>Amphipoda</i>	13	666 6,47	806 8,19	527 4,94	666 6,53
<i>Mollusca</i>	10	297 67,61	418 93,28	206 53,68	307 71,52
<i>Decapoda</i>	3	38 15,11	61 19,91	24 10,86	41 15,29
<i>Insecta</i>	1	10 0,23	16 0,29	4 0,17	10 0,23
Cəmi:	46	1419 104,06	1883 139,14	1058 80,57	1453 107,92

Cədvəl 4. 2013-cü ildə Şimalı Abşeron körfəzinin makrozoobentosunun fəsilər üzrə inkişaf dinamikası ($\frac{\text{fərd}}{q} \cdot m^2$).

Qruplar	Növ sayı	Fəsilər			
		Yaz	Yay	Payız	Orta hesabla
<i>Polychaeta</i>	3	69 1,75	98 2,34	42 1,43	69 1,84
<i>Oligochaeta</i>	3	39 0,38	68 0,63	29 0,27	45 0,43
<i>Cirripedia</i>	2	52 6,96	67 9,16	34 6,50	51 7,54
<i>Cumacea</i>	8	92 1,41	139 2,01	54 0,84	96 1,42
<i>Mysidacea</i>	3	62 1,23	85 1,53	43 0,83	63 1,20
<i>Amphipoda</i>	13	698 6,77	833 8,38	557 5,38	696 6,84
<i>Mollusca</i>	9	309 71,32	438 97,15	229 56,48	325 74,98
<i>Decapoda</i>	3	29 13,13	42 17,70	19 9,39	30 13,41
<i>Insecta</i>	1	8 0,18	10 0,21	3 0,11	7 0,16
Cəmi:	45	1358 103,13	1780 139,11	1010 81,23	1382 107,82

Biokütlənin formalaşmasında 8 növün (*M.lineatus*, *C.rhomboides*, *A.ovata*, *B.improvisus*, *B.eburneus*, *P.elegans*, *P.adspersus*, *R.harrisii tridentatus*) mühüm rol oynamasına baxmayaraq bentosda dominantlıq edən qrup mollyuskalar olmuşdur. Belə ki, ümumi biokütlənin 66,27%-i bu qrupun payına düşür. Makrozoobentosda sayə görə yenə də yanuzən xərçənglər (45,83%) fərqlənirlər.

2013-cü ildə Şimalı Abşeron körfəzinin makrozoobentosunda 9 sistematik qrupa aid olan 45 növ orqanizm qeyd edilmişdir (cədvəl 1). Qeyd olunan növlərin sayı və rastgəlmə tezliyi sabit olmayıb, ilin fəsilləri üzrə dəyişilir. Belə ki, makrozoobentik orqanizmlərin maksimal növ sayı yay fəslində (45 növ), minimal növ sayı isə payız fəslində (28 növ) qeyd edilmişdir (cədvəl 1). Həmçinin bu ildə də körfəzin makrozoobentosunun biomüxtəlifliyin formalaşması əsasən amfipodlar (13 növ) və mollyuskalar (10 növ) qrupuna mənsub olan növlərin hesabına olmuşdur. Tədqiqat dövründə yanuzən xərçənglər arasında *D.haemobaphes*, *N.robustoides*, *N.maeoticus*, *N.carasui*, mollyuskalar arasında isə *M.lineatus*, *C.rhomboides*, *D.baeri* və *A.ovata* fərqlənirlər. Bu ildə də digər illərdə olduğu kimi, Şimalı Abşeron körfəzinin makrozoobentosunun miqdarca inkişafı sabit olmayıb, ilin fəsillərindən asılı olaraq dəyişilir. Belə ki, makrozoobentik orqanizmlərin biokütləyə maksimal inkişafı yaz-yay fəsillərində qeyd edilmişdir. Yaz fəslində orqanizmlərin biokütləsi 103,13 q/m², yay fəslində 139,11 q/m², sayı isə müvafiq olaraq 1358-1780 fərd/m² arasında dəyişilmişdir (cədvəl 4).

İlin bütün fəsillərində biokütlənin formalaşmasında əsasən 13 növ iştirak edir. Lakin bu növlərin arasında da tədqiqat müddətində biokütləyə dominantlıq edən *C.rhomboides* 38,33 q/m², *M.lineatus*

30,18 q/m², *R.harrisii tridentatus tridentatus* 5,38 q/m², *B.improvisus* 4,45 q/m² və *P.elegans* 4,61 q/m² olmuşdur. Makrozoobentosda sayə görə *N.robustoides* 113 fərd/m², *N.maeoticus* 102 fərd/m², *N.carasui* 88 fərd/m² və *D.haemobaphes* 100 fərd/m² fərqlənmişlər.

Beləliklə, yuxarıda qeyd edilənləri nəzərə alaraq aşağıdakı nəticələrə nail olunmuşdur.

1) 2011-2013-cü illərdə Şimalı Abşeron körfəzinin makrozoobentosunun biomüxtəlifliyinin öyrənilməsi göstərdi ki, bu illərdə körfəzin sahilboyu ərazilərində 9 sistematik qrupa mənsub olan 46 növ makrozoobentik heyvan yayılmışdır. Bu illərdə qeydə alınan növlərin 3-ü (*Isochaetides michaelsoni*, *Axelbaeckia spinosa*, *Clinio marines*) körfəz faunası üçün yenidir. Bütün illər üzrə makrozoobentik orqanizmlər arasında növlərin sayına görə dominantlıq edən qrup yanuzən xərçənglər (11-13 növ) olmuşdur. Belə ki, ümumi növlərin 28,2%-i bu qrupun payına düşür. Makrozoobentosun maksimal növ sayı yaz-yay fəsillərində (34-46 növ), minimal növ sayı isə payız fəslində (25-30 növ) qeyd edilmişdir.

2) Makrozoobentik heyvanların orta illik biokütləsi 95,66-107,92 q/m², sayı isə 1217-1453 fərd/m² arasında dəyişmişdir. Bütün illərdə orqanizmlərin biokütləyə maksimal inkişafı yay fəslində 122,88-139,14 q/m², minimal inkişafı isə payız fəslində 71,49-81,23 q/m² müşahidə edilmişdir.

3) Tədqiqat müddətində biokütlənin formalaşmasında 13 növ bentik orqanizm iştirak etmişdir ki, bunların arasında da dominantlıq edən orqanizmlər mollyuskalar və dekapodlar olmuşdur. Belə ki, onların orta illik biokütləsi 2011-ci ildə müvafiq olaraq 65,76-14,36%, 2012-ci ildə 66,27-14,16%, 2013-cü ildə isə 69,54-12,43% olmuşdur.

Əvvəlki illərdə (1968-2001) Şimali Abşeron körfəzində aparılan tədqiqat işlərinin nəticələri ilə müqayisədə müəyyən olunmuşdur ki, körfəzdə qeyd edilən makrozoobentik orqanizmlərin istər növ tərkibində, istərsə də miqdarca yayılmasında dəyişikliklər müşahidə edilmişdir. Belə ki, Şimali Abşeron körfəzində 1968-1972-ci illərdə 12-19 növ (biokütlə orta hesabla 84,08 q/m²), 1999-2001-ci illərdə 106 növ (biokütlə orta hesabla 117 q/m²) makrozoobentik orqanizm qeyd edildiyi halda, biz tərəfdən aparılan tədqiqat zamanı (2011-2013-cü illər) isə 46 növ (orta hesabla 103,8 q/m²) orqanizm qeyd edilmişdir. Qeyd edilən bu növlərin 43-ü əvvəlki illərdə qeydə alınan növlərlə eynidir. Əvvəlki illərlə müqayisədə Şimali Abşeron körfəzində makrozoobentik orqanizmlərin növ sayının 2,3 dəfə azalması müşahidə olunmuşdur. Buna əsas səbəb kimi Xəzərin ekoloji vəziyyətinin dəyişməsi ilə əlaqədar olaraq qarınayaqlı molluskaların və azqıllı qurdların növmüxtəlifliyinin azalmasını, həmçinin abiotik və biotik faktorların təsirini göstərmək olar.

2008-2012-ci illərdə aparılan tədqiqat işi ilə müqayisədə müəyyən olunmuşdur ki, Şimali Abşeron körfəzində qeyd edilən 46 növ orqanizmdən 29 növü Cənubi Xəzərin sularında rast gəlinmişdir. Maraqlı cəhət ondan ibarətdir ki, istər Şimali Abşeron körfəzində, istərsə də Cənubi Xəzərin sahilboyu sularında makrozoobentik biokütlənin formalaşmasında əsas rol oynayan qrup molyuskalar və dekapodlar, növlərin sayına görə isə üstünlük təşkil edən qrup yanuzən xərçənglər olmuşdur. Lakin Şimali Abşeron körfəzindən fərqli olaraq Cənubi Xəzərin sahilboyu sularında 4 qrupa (*Cuma-cea*, *Mysidacea*, *Oligochaeta*, *Insecta*) daxil olan orqanizmlərə rast gəlinməmişdir. Bunun əsas səbəbi bu zonada trofik şəraitin əlverişsiz olması ilə əlaqədardır.

ƏDƏBİYYAT

- Mirzəyev G.S.** (2008) Xəzərin Abşeron yarımadasının sahilboyu sularında bentik orqanizmlərin və çanaqlı xərçənglərinin növ tərkibi və yayılması. *Zoologiya İnstitutunun əsərləri*, XXVIII: 551-558.
- Mirzəyev G.S.** (2012) Orta Xəzərin Şimali Abşeron körfəzinin mikro- və makrozoobentosu (növ tərkibi və yayılması). *Zoologiya İnstitutunun əsərləri*, 30 (1): 167-171.
- Süleymanova İ.Ə.** (2006) Xəzərin Şimali Abşeron körfəzi makrozoobentosunun növ tərkibi, yayılması və inkişaf dinamikası. *Zoologiya İnstitutunun əsərləri*, XXVIII: 855-867.
- Алиев А.Д.** (1968) Видовой состав и распределение зообентоса Среднего и Южного Каспия. В сб.: *Биол. Среднего и Южного Каспия*. М.: Наука: 80-104.
- Атлас беспозвоночных Каспийского моря** (1968) М.: Пищепром., 413 с.
- Бентос Азовского моря** (1949). *Тр. АзЧер. НИРО*, вып. 3: 1-49.
- Гасанова В.М.** (1972) Сезонные изменения численности и биомассы зообентоса западного побережья Южного Каспия. *Биол. Ресурсы Каспийского моря*. Астрахань: 60-64.
- Касымов А.Г.** (1987) Животный мир Каспийского моря. Баку: Элм: 156 с.
- Касымов А.Г.** (2000) Макрозообентос. В кн.: *Методы мониторинга в Каспийском море*. Баку: "QAPP-Poliqraf": 35-38.
- Определитель фауны Черного и Азовского морей** (1969) Т. II, Ракообразные. Киев: 536 с.
- Романова Н.Н.** (1983) Методические указания к изучению бентоса Южных морей СССР. М., ВНИРО: 13 с.

Макрозообентос Северного Апшеронского Залива Каспия

Г.С. Мирзоев¹, А.Р. Алиев²

¹ Азербайджанский государственный экономический университет-UNEC

² Институт зоологии НАН Азербайджана

Статья посвящена динамике видового состава и количественного развития макрозообентоса. Выявлены относящиеся к 9 систематическим группам 46 видов макрозообентоса, 3 из которых (*I. michaelsoni*, *A. spinoza*, *C. marinus*) впервые отмечены для фауны залива. В период исследований самое большое разнообразие видов отмечено в весенне-летний сезон (30-46 видов), а слабое - осенью (25-30 видов). Среднегодовая биомасса изменялась в пределах 95,66-107,92 г/м², а численность - 1217-1453 особ./м². Максимальное развитие биомассы отмечено летом - 122,88-139,14 г/м², а минимальное - осенью 71,49-81,23 г/м².

Ключевые слова: Северный Апшеронский залив, макрозообентос, биомасса, макрозообентические организмы, видовое разнообразие

The Macrozoobenthos Of The Northern Absheron Gulf Of The Caspian Sea

G.S. Mirzoyev¹, A.R. Aliyev²

¹ *Azerbaijan State Economical University (UNEC)*

² *Institute of Zoology, Azerbaijan National Academy of Sciences*

The article is devoted to the study of the dynamics of species composition and quantitative development of macrozoobenthos of the Northern Absheron Gulf of The Caspian Sea, in 2011-2013. Forty-six macrobenthic species included 9 taxonomic groups were found in the Northern Absheron Gulf. Three of them (*I. michaelsoni*, *A. spinoza*, *C. marinus*) were revealed for the first time in the fauna of the Gulf. The maximum species diversity was observed in spring and summer seasons (30 - 46 species), and minimum - in autumn (25 - 30 species). The average annual biomass was ranged from 95.66 - 107.92 g/m², and the total number - 1217 - 1453 ind. m². Maximal development of biomass was observed in summer - 122.88 - 139.14 g/m², and the minimum - in autumn - 71.49 - 81.23 g/m².

Keywords: *Northern Absheron Gulf, macrozoobenthos, biomass, macrozoobenthic organisms, species diversity*

Yumşaq Buğda (*Triticum aestivum* L.) Genotiplərində *TdicDRF1* Geninin Tək Nukleotid Polimorfizmləri (TNP) Əsasında Müqayisəli Tədqiqi

C. Mürsəlova*, Z.İ. Əkpərov

AMEA Genetik Ehtiyatlar İnstitutu, Azadlıq prospekti, 155, Bakı AZ1106, Azərbaycan;

*E-mail: m.jamala85@gmail.com

Tədqiqat işində 48 payızlıq yumşaq buğda genotipində *TdicDRF1* (ABA- asılı olmayan) transkripsiya faktorunu kodlaşdıran genin skrininqi aparılmış və bir hissəsinin sekvensləşməsi yerinə yetirilərək tək nukleotid polimorfizmlərinə görə müqayisə edilmişdir. Tədqiq olunan nümunələrin amplifikasiya olunmuş gen fraqmentində ümumilikdə, 94 tək nukleotid polimorfizmi (TNP) müəyyən olunmuşdur ki, onlardan 48-i tranzisiya, 27-si isə transversiya tipli TNP-lərə aid olub, ümumi polimorfizmin müvafiq olaraq 51 və 29%-ni təşkil etmişlər.

Açar sözlər: TNP, sekvens, transkripsiya amili, absiz turşusu, *TdicDRF1*

GİRİŞ

Quraqlıq ən şiddətli stres amillərindən olub, bitkilərin, demək olar ki, bütün funksiyalarına təsir göstərir. Bitkilərdə quraqlıq stresinə qarşı cavab reaksiyasında iştirak edən gen məhsulları 2 əsas qrupa ayrılır: funksional və tənzimləyici zülallar. Birinci qrupa aid olan genlərin əsas funksiyası stressə tolerantlığı təmin edən zülalları sintez etməkdir (su kanal proteinləri, osmotik qoruyucuların biosintezində iştirak edən enzimlər, LEA (gec embriogeneza) zülalları və s.). İkinci qrupa isə stressə qarşı cavabda rol oynayan, genlərin ekspresiyasının və siqnal ötürülməsinin tənzimlənməsini həyata keçirən proteinkinazlar, transkripsiya amilləri (bZIP, MYC, MYB and DREB) və s. zülallar daxildir (Əliyev və b., 2014; Shinozaki and Yamaguchi 1997).

Bitkilərin quraqlıq stresinə reaksiyasının transkripsiya səviyyəsində tənzimləndiyi məlumdur. Bu stres amilinin təsiri zamanı transkripsiya səviyyəsində tənzimlənmənin absiz turşusundan asılı (ABT asılı) və yaxud asılı olmayan (ABT-asılı olmayan) və DREB zülalları vasitəsilə icra olunan (dehydration-responsive element binding protein) 2 əsas tsikli induksiya olunur (İrada et al., 2010; Hikmet et al., 2013).

Məlumdur ki, absiz turşusu (ABT) bitkilərin inkişaf proseslərində iştirak etməklə, stressə əlaqəli yolları induksiya edən bitki hormonudur. O, su stressi şəraitində sintez olunur və quraqlığa qarşı tolerantlıqda əhəmiyyətli rol oynayır (Hikmet et al., 2013). ABT-nin quraqlığa davamlılığı artırdığı, yaşlaşmanı gecikdirdiyi, fizioloji və ya mühit quraqlığında bitkilərin canlı qalmasını təmin etdiyi tədqiqatlarla sübut edilmişdir (Shinozaki and Yamaguchi, 2000).

ABT-dan asılı yolda əsasən antioksidləşdirici və osmotik qoruyucular iştirak etdiyi halda, ABT-dan asılı olmayan yolda əsas rol qoruyucu zülallar

oynayır. ABT-dan asılı olmayan yol həm də DREB vasitəli yol adlanır və əsasən suuzluğa cavabdeh elementləri birləşdirən (DREB)/C-təkrarları motivləri (CRT) zülallarını özündə cəmləyir. Onlardan *DREB1* transkripsiya faktoru əsasən soyuq stressinə, *DREB2* isə quraqlıq stressinə qarşı reaksiyada iştirak edir (Agarwal et al., 2006). Onlar transkripsiya amillərinin ERF (ethylene responsive element binding factors) qrupuna məxsusdurlar. *Arabidopsis* bitkisi 124-dən çox ERF zülalları olduğu müəyyən edilmişdir (Riechmann et al., 2000). *DREB2*-nin homoloqu olan *TdicDRF1* transkripsiya faktoru ilk dəfə yabanı buğdalarda (*T. turgidum* ssp. *Dicoccoides*) müəyyən edilmiş, klonlaşdırılmış və xarakterizə edilmişdir (Lucas et al., 2011). Quraqlıq stressinə həssas və davamlı genotiplərin müqayisəsi nəticəsində *TdicDRF1* transkripsiya amilinin müxtəlif cür ekspresiya olunduğu müəyyən edilmişdir. Beləliklə, həmin transkripsiya amilinin quraqlıq stressinə cavab reaksiyasında rolu nəzərə alınaraq quraqlığa tolerant buğda sortlarının yaxşılaşdırılmasında istifadə oluna bilər (Hikmet et al., 2013; Lucas et al., 2011).

Məlumdur ki, tək nukleotid polimorfizmləri (TNP) istənilən növün fərdləri arasında müşahidə edilən ən ümumi polimorfizm növüdür (Brookesç 1999; Deschamps and Campbell, 2010). TNP-lərin kəşfi, onların genetik marker kimi istifadəsi yüksək keyfiyyətli analizlərin aparılmasına və TNP-lər vasitəsilə genotipik qiymətləndirmə platformalarının inkişafına səbəb olmuşdur (Edwards et al., 2008; Ganai et al., 2009; Varshney et al., 2009).

Tədqiqat işində əsas məqsəd 48 müxtəlif mənşəli yumşaq buğda genotipində quraqlığa davamlı *TdicDRF1* transkripsiya amilini kodlaşdıran genin mövcudluğunun yoxlanılması və gendə tək nukleotid polimorfizmlərinin (TNP) müəyyən edilməsindən ibarət olmuşdur.

MATERIAL VƏ METODLAR

Tədqiqat materialı Buğda və Qarğıdalının Yaxşılaşdırılması üzrə Beynəlxalq Mərkəzdən (CYMMIT) əldə olunmuş müxtəlif mənşəli 48 payızlıq yumşaq buğda genotipindən (sort və yaxşılaşdırılmış xətlər) ibarət olmuşdur (Cədvəl 1). Buğda nümunələrindən DNT-nin ayrılması Varşava Təbiət Elmləri Universitetinin (SGGW) "Molekulyar biologiya" laboratoriyasında, Thompson və Murray təklif etdiyi və sonradan modifikasiya olunmuş CTAB (Cetyltrimethyl ammonium bromide) protokolu əsasında yerinə yetirilmişdir (Murray and Thompson, 1980). Ayrılmış DNT-nin keyfiyyəti və qatılığı Nanodrop 2000 cihazı ilə təyin edilmiş və tələb olunan qatılıq üzrə durulaşdırılmışdır (5 ng/μl).

PZR reaksiya qarışığının ümumi həcmi bir nümunə üçün 15 μl olmuşdur. Hər reaksiya qarışığı 5 ng/μl DNT, 1XPZR (*IX Green GoTaq®* Reaction *Buffer*) buferi (0,5 mM MgCl₂, 0,2 mM dNTP-lər, 0,2 mM düzünə, 0,2 mM əksinə praymer, 0,02 U/μl Taq polimeraza fermentindən ibarət olmuşdur. Zəncirvari Polimeraza Reaksiyası (APPLIED, Gene Amp., PCR System 9700) aparatında 3 mərhələdən və 37 tsikldən ibarət proqram əsasında yerinə yetirilmişdir.

PZR reaksiyası tamamlandıqdan sonra reaksiya məhsulu 1%-li aqaroza gelində və 220 V gər-

ginlikdə, 40-45 dəqiqə müddətində elektroforez olunmuşdur. Gellər Molecular Imager®Gel Doc™ XR system (Bio-Rad) cihazı vasitəsilə UV şüaları altında görüntülənmişdir.

TdicDRF1 transkripsiya amilinə müvafiq praymerlərin dizayn olunması üçün həmin genin NCBI (Milli Biotexnologiya İnformasiya Mərkəzi) məlumat bazasında mövcud olan mRNA ardıcılığından (GenBank: HM015905.1) istifadə olunmuşdur. Tədqiq olunan geni tam əhatə etmək üçün Primer3 (<http://primer3.ut.ee>) proqramının istifadəsi ilə bir-birinin üzərini örtən (overlapping) 3 müxtəlif praymer dizayn edilmişdir. Dizayn olunmuş praymerlərin keyfiyyəti Oligoanalyzer (<https://www.idtdna.com/calc/analyzer>) və Primer Stat (<http://www.biomol.unb.br/sms2/pcr/primer/stats.html>) proqramları ilə yoxlanılmışdır. Şerti olaraq 1ABA, 2ABA və 3ABA adlandırılmış praymerlər Genomed şirkətindən əldə edilmiş və protokola uyğun olaraq durulaşdırılmışdır. İstifadə olunmuş praymerlərin siyahısı Cədvəl 2-də verilmişdir.

Genin 3ABA praymeri vasitəsilə amplifikasiya olunmuş 3' sonluğuna yaxın fraqmenti Genomed şirkətində, Sanger metodu ilə sekvens olunmuşdur. Əldə olunmuş nəticələr *Chromas LITE 2.1.1*, CAP3, MEGA6, Tassel 5 və BioEdit kimi bioinformatik proqramların köməyi ilə analiz edilmişdir.

Cədvəl 1. Tədqiqat işində istifadə olunmuş 48 payızlıq yumşaq buğda genotipləri

№	Nümunələr	Mənşəyi	№	Nümunələr	Mənşəyi
1.	SG-U 8069	CZ	25.	COMP1/5/BEZ./TOB/8156.4/ON/3/TH*6/KF./LEE*6/K 6/TAST/SPRW /7 ALTAY/8/BURBOT 6	TCI
2.	GOBUSTAN	AZB	26.	AGRI/NAC. ATTILA	MX CIT
3.	KRASNOVODOPADSKAYA 211	KAZ	27.	DESTIN	RO-FL
4.	PROSTOR	BG	28.	DEMIR	TR ANK
5.	GEREK	TR ESK	29.	DYUOPEBUSA	MOL
6.	UBILEYNAYA 100	RUS-KR	30.	OK00421	USA-OK
7.	BAYRAKTAR	TR-ANK	31.	ALTAY	TR-ESK
8.	HAMSI I	MX TCI	32.	AKINCI 84	AZB
9.	BEZOSTAYA I	TR-ESK	33.	GRS1201/TAM202	US-ARS-Lincoln
10.	KARAHAN	TR-KON	34.	MIMA	BG
11.	MVMA/MV12 /F2098	HU MV	35.	NIKONIYA	UKR OD
12.	STARSHINA	RUS-KR	36.	LC924.PETJA	UKR-OD
13.	CO 970547-7	USA-CO	37.	PODOIMA	BG-SAD
14.	ZUBKOV	KYR	38.	STEKLOVIDNAYA24	MOL
15.	MV06-02	HU-MV	39.	DALNITSKAYA	KAZ
16.	GLORIA	RO-FL	40.	VITA	UKR
17.	LC 909 MIMA	BG-KC	41.	KHARKOVSKAYA107	RUS-KR
18.	TX96V2847	US-TX	42.	AZERI	AZB
19.	U1254-1-8-1-1/TAM-202	USA-TX	43.	453	KAZ
20.	SONMEZ	TR-ESK	44.	SG-S1915	CZ
21.	ARLIN/YUMA	USA-KSU	45.	MADSEN MALCOLM	OSU
22.	ERITR 9945	KYR	46.	7C/CNO./CAL/3 YMH/4/VP...	OSU
23.	GRUIA	RO-FL	47.	ID 80-628.3/CER/YMH ..	OSU
24.	MV DALMA	HU MV	48.	U1254 7 9 2 1/TX86A5616./RINA 6	TCI

Cədvəl 2. Dizayn edilmiş praymerlər və onların əsas göstəriciləri**GenBank: HM015905.1***Triticum turgidum* subsp. *dicoccoides* DRE-binding transcription factor 1.3 mRNA, complete cds

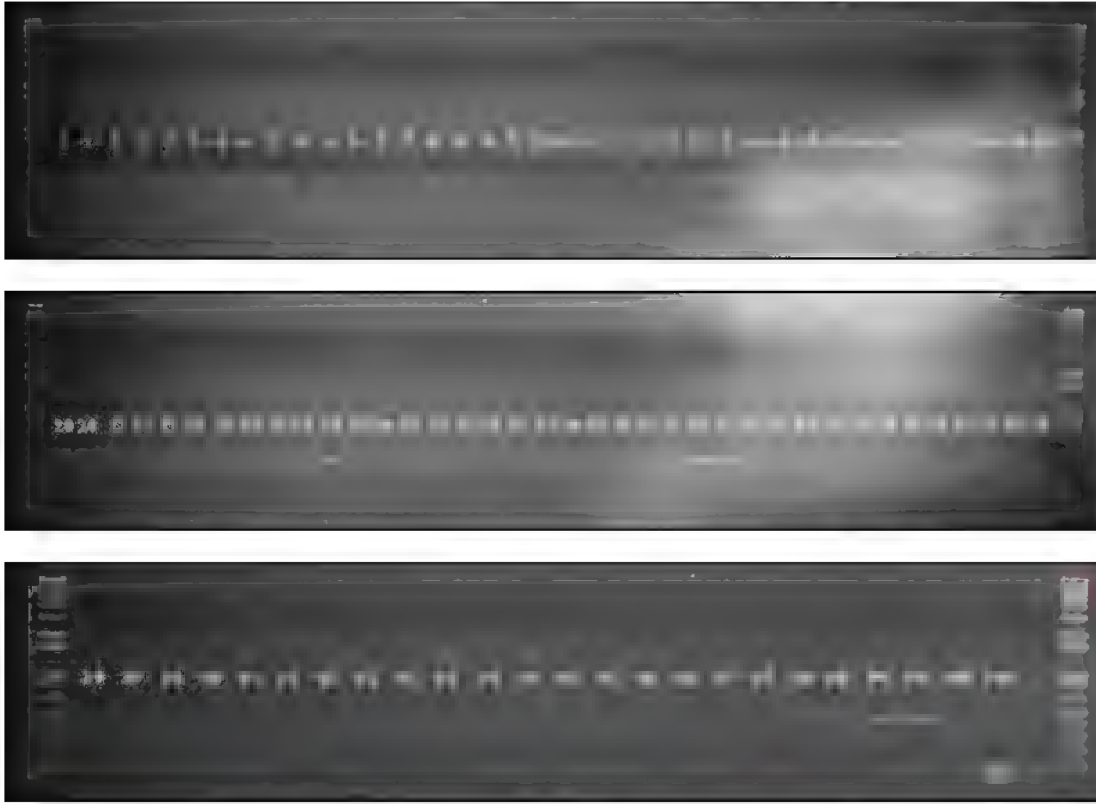
Praymer: 1ABA					
Praymer	Başlandığı mövqe	uzunluq	T _m	GC%	Ardıcılıq 5' - 3'
Düzünə praymer	2	22	67.77	59.09	TGACGGTAGATCGGAAGGACGC
Self dimer					Delta G: 4,62 kkal/mol
Əksinə praymer	333	22	63.55	50.00	CCTCTTTGAACCTTGIGGATCA
Self dimer					Delta G: -4,62 kkal/mol
Hetero dimer					Delta G: -4,67 kkal/mol
İlgək					əmələ gətirmir
Praymer: 2ABA					
Praymer	Başlandığı mövqe	uzunluq	T _m	GC%	Ardıcılıq 5' - 3'
Düzünə praymer	312	22	63.55	50.00	TGATCCACAGGGTTCAAAGAGG
Self dimer					Delta G: -4,62 kkal/mol
Əksinə praymer	751	22	60.10	50.00	CATCTGGCTGGGAGTAAATCTC
Self dimer					Delta G: -3,17 kkal/mol
Hetero dimer					Delta G: -5,02 kkal/mol
İlgək					əmələ gətirmir
Praymer: 3ABA					
Praymer	Başlandığı mövqe	uzunluq	T _m	GC%	Ardıcılıq 5' - 3'
Düzünə praymer	730	22	60.10	50.00	GAGATTTACTCCCAGCCAGATG
Self dimer					Delta G: 3,17 kkal/mol
Əksinə praymer	1150	21	60.00	47.62	ACTCGCTCATCTCAGCATCAT
Self dimer					Delta G: -4,74 kkal/mol
Hetero dimer					Delta G: 6,6 kkal/mol
İlgək					əmələ gətirmir

NƏTİCƏLƏR VƏ ONLARIN MÜZAKİRƏSİ

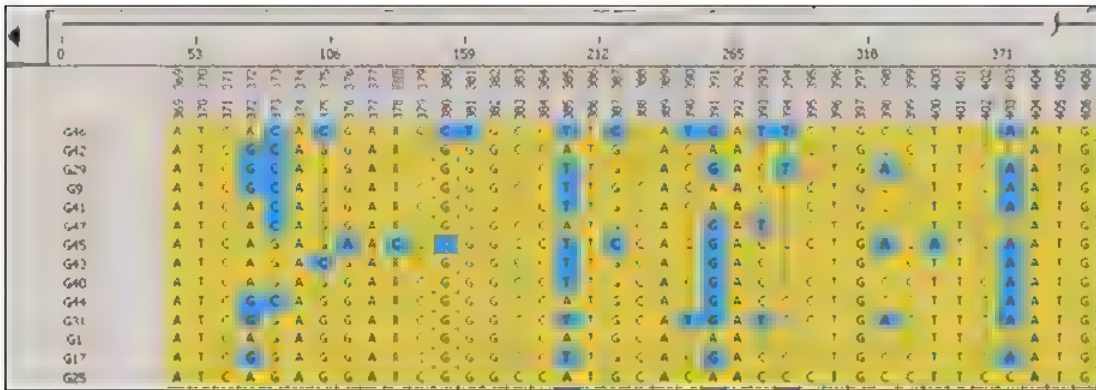
Məlum olduğu kimi hazırda genomiks haqqında məlumatlar müxtəlif açıq girişli-ictimai və girişli məhdudlaşdırılmış fərdi məlumat bazalarında saxlanılır. Ən çox istifadə edilən və ictimaiyyət üçün açıq olan məlumat bazası Milli Biotexnologiya İnformasiya Mərkəzi (MBİM-NCBI) tərəfindən idarə olunur. Tədqiqat işində, ilk növbədə öyrənilən genin amplifikasiyası məqsədilə buğdanın *Triticum turgidum* subsp. *dicoccoides* yarım-növünün *TdicDRF1* transkripsiya amilinin 1167 nukleotid cütündən ibarət olan mRNT-nin ardıcılığı (GenBank: HM015905.1) MBİM məlumat bazasından yüklənilmiş və üç hissəyə ayrılaraq müəyyən sahələrdə bir-birinin üzərini örtən (overlapping) üç cüt praymer dizayn edilmişdir (Cədvəl 2). Məlumdur ki, hər bir PZR reaksiyasının səmərəliliyi və həssaslığı istifadə olunan praymerin keyfiyyətindən çox asılıdır. Belə ki, praymerlərin uzunluğu, birləşmə temperaturu, GC tərkibi və ardıcılığı və s. əsas göstəricilər hesab olunduğundan, onların dizayn edilməsi zamanı bütün qeyd olunanlar nəzərə alınmış, düzünə və əksinə praymerlərin özləri (*self dimer*) və ya bir-birləri ilə (*hetero dimer*) dimer, həmçinin ilgək (*hairpin*) əmələ gətirmə ehtimalları yoxlanılmışdır (Singh and Kumar, 2001). İlk olaraq praymerlər 10 ədəd müxtəlif mənşəli buğda genotiplərində tədqiq olunan genin amplifikasiyası üçün istifadə edilmiş və aqaroza gəlində alınmış nəticələrə əsasən 1ABA

paymeri vasitəsilə sintez olunmuş fraqmentlərin uzunluğunun 2000-3000 n.c., 2ABA və 3ABA praymerləri vasitəsilə sintez olunmuş fraqmentlərin uzunluğunun isə 300-400 n.c.-ə bərabər olması müəyyənəşdirilmişdir. Bu isə birinci fraqmentin həm intron və ekzonlardan ibarət olduğunu söyləməyə əsas vermişdir. Digər sintez olunan fraqmentlərin uzunluğu isə praymerlərin dizayn edilməsi zamanı gözlənilən uzunluğa bərabər, yəni yalnız mRNT-də təmsil olunan müəyyən bir hissəyə uyğun olmuşdur ki, bu da onların yalnız genin hər hansısa bir ekzonuna aid hissəni əhatə etməsini göstərir. Növbəti mərhələdə tədqiq olunan 48 nümunənin hamısında hər üç praymerin istifadəsilə *TdicDRF1* geninin olub-olmaması yoxlanılmış və nəticədə bütün genotiplərdə qeyd edilən genin amplifikasiyasının getməsi müşahidə edilmişdir. Bütün tədqiq olunan buğda genotiplərində *TdicDRF1* geninin mövcudluğu aşkar edildikdən sonra genin 3' sonluğundakı təxminən 424 n.c. uzunluqlu fraqmentinin Sanger üsulu əsasında hər iki istiqamətdə (düzünə və əksinə zəncirlərin hər biri) sekvenslənməsi həyata keçirilmişdir.

Alınmış xromatogramlarda heqiqi polimorfizm ilə sekvensin xətası *Chromas LITE 2.1.1* kompyuter proqramı vasitəsilə müəyyənəşdirilmişdir. Belə ki, sekvens üçün istifadə olunmuş DNT-nin keyfiyyəti və ya miqdarı aşağı olduqda, yaxud oxunuşda hər hansı bir xəta baş verdikdə bu proses xromatogramdakı dalğalarda əlavə simvollar şəklində öz əksini tapır (məsələn N, Y və s.).



Şəkil 1. 3ABA praymeri vasitəsilə amplifikasiya olunmuş fraqmentlər.



Şəkil 2. Tək nukleotid polimorfizminin (TNP) müəyyən edilməsi, TASSEL 5.0.8.

Daha sonra fraqmentin düzünə və əksinə istiqamətdə oxunmuş eyni fraqmentləri FASTA formatına salınaraq CAP3 proqramından istifadə edilməklə kontiqlər (contigs-contiguous sequences) əldə olunmuş və bütün nümunələrin kontiqləri BioEdit Sequence Alignment Editor proqramı vasitəsilə düzləndirilmişdir (alignment). Sonra TASSEL 5.0.8 bioinformatik proqramının istifadəsi ilə bütün öyrənilən genotiplərin eyni gen fraqmentində tək nukleotid polimorfizmləri (TNP) müəyyən edilmişdir. Tək nukleotid polimorfizmlərinə daha çox genom kodlaşdırmayan hissələrində rast gəlinərsə də, kodlaşdırıcı və ya tənzimləyici funksiyalı regionlar-

da da müşahidə olunurlar. Gendəki yerinə görə TNP-lər exon, intron və promotor TNP-lər kimi fərqləndirilir. Kodlaşdırıcı sahələrdəki bu cür müxtəlifliklər isə sinonim və qeyri-sinonim TNP-lər kimi təsnifləşdirilir. Qeyri-sinonim TNP-lər zülal ardıcılığında həmin kodonun kodlaşdırdığı amin turşularının dəyişməsinə səbəb olur və bu dəyişiklik amin turşularının xarakterindən asılı olaraq konservativ və qeyri-konservativ olur. Qeyri-konservativ dəyişiklik yaradan polimorfizm, zülallarda struktur dəyişikliyinə səbəb ola bilər ki, bu da nəticədə onların funksiyasını dəyişir. Sinonim tipli mutasiyalar zamanı yaranan polimorfizm zülalda amin

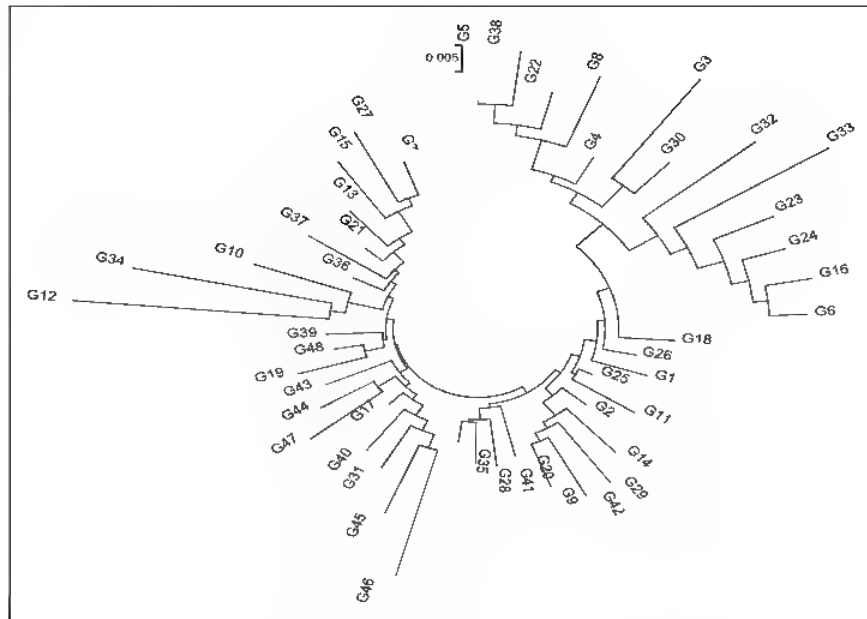
turşularının dəyişilməsinə səbəb olmur. Nukleotidlərin variasiyasına əsasən isə TNP-lərin 2 növü məlumdur: tranzisiya və tranversiya. Tranzisiya zamanı purinlər purinə (A → G), pirimidinlər isə pirimidinə çevrilir (C → T). Transversiya tipli dəyişilmə zamanı isə (A → C, A → T, G → C, G → T) purinlər pirimidinə, pirimidinlər isə purinə çevrilir.

3ABA praymeri vasitəsilə amplifikasiya olunmuş 424 n.c.-dən ibarət gen fraqmentində ümumilikdə 94 TNP müəyyən edilmişdir (Cədvəl 3, ixtisarla). Bunlardan 48-i tranzisiya tipli TNP-lərə aid olub ümumi polimorfizmin 51%-ni, 27-i isə transversiya tipli TNP-lərə aid olub 29%-ni təşkil et-

mişdir. Həmçinin öyrənilən fraqmentin 342 və 369 n.c. mövqələrində 2 İnDel (insersiya və yaxud delesiya), 17 halda isə bir nukleotidin 3 fərqli nukleotidlə əvəz olunması müşahidə olunmuşdur (məs. A/T/C). Nəzəriyyədə qeyd olunur ki, nukleotid transversiyalarının sayı tranzisiyaların sayından 2 dəfə çoxdur, əksinə tranzisiyaların rastgəlmə tezliyi 1,5-2,5 ədəd transversiyaların tezliyindən yüksəkdir. Bu isə CpG dinukleotidlərində 5-metilsitozinin timidinə görə yüksək spontan deaminləşmə (amin qrupunun ləğv edilməsi) səviyyəsi ilə izah oluna bilər (Khlestkina and Salina 2006).

Cədvəl 3. Gen fraqmentində müəyyən edilmiş Tək Nukleotid Polimorfizminin (TNP) mövqeyi (ixtisarla)

TNP-nin növü və mövqeyi	TNP-lərin rast gəlmə tezliyi	Genotiplər üzrə nukleotid əvəzedilmələri
T/A (1)	27/21	T G 2, 4; 5; 6; 7, 9, 10; 11; 12; 13, 14, 15, 16, 18, 19; 21; 23, 24; 27; 30; 34; 35; 36, 38, 41, 42, 48
	56% T 44% A	A G 1, 3; 8, 17, 20, 22; 25, 26; 28; 29; 31, 32, 33, 37, 39, 40; 43; 44, 45, 46; 47
T/G (2)	31/17	T- G1; 2, 7; 9, 10; 14, 15, 17; 19; 20, 21; 25; 26; 27, 28, 29, 31, 34, 35; 36; 37, 39, 40; 41, 42, 43, 44, 45, 46, 47; 48
	65% T 35% G	G G3, 4, 5; 6, 8, 11; 12; 13; 16, 18, 22, 23, 24, 30, 32; 33; 38
T/C (10)	43/5	T- G 1-10; 13-19; 21-29; 31-33; 35-48
	90% T 10% C	C G11, 12, 20, 30, 34
G/T (17)	45/3	G- G 1-2; 4-7; 9-37; 39-48
	94% G 6% T	T G 3, 8; 38



Şəkil 3. TNP lər əsasında 48 yumşaq buğda genotipinin klaster analizi vasitəsilə qruplaşdırılması

MEGA6 bioinformatik proqramı vasitəsilə gen fraqmentində müəyyən edilmiş TNP-lər əsasında Kimura 2-parameter metodundan istifadə edilməklə genetik məsafə matrisi qurulmuşdur. Neighbor-Joining metodu və klaster analizinin nəticəsində tədqiq olunmuş 48 yumşaq buğda genotiplərinin 424 n.c. uzunluqlu sekvenslərində mövcud olan TNP-lər nümunələri 2 əsas və 5 yarım-klasterə ayırmışdır.

1-ci yarımqrup klaster müxtəlif mənşəli 13 genotipi birləşdirərək, ümumi genotiplərin 27,1%-ni təşkil etmişdir. Bu qrupda genetik məsafə indeksinə görə genetik oxşarlıq əmsalının minimum və maksimum qiymətləri müvafiq olaraq 0,012-0,061 arasında dəyişmişdir. Belə ki, yarımqrup daxilində genetik məsafə baxımından ən yaxın genetik oxşarlıq 0,012 qiymətində 6-cı (Ubiley-naya 100) genotiplə 24-cü (Mv Dalma) genotip arasında, ən uzaq genetik məsafə isə 0,061-ə bərabər genetik məsafədə 5-ci (Gerek) genotiplə 33-cü (Grs1201/Tam202) genotip arasında aşkar edilmişdir. Genetik məsafə baxımından bir birinə oxşar (və ya yaxın) olan nümunələrin nukleotid ardıcılığına və TNP tərkibinə nəzər saldıqda, 24 nömrəli genotiplə 6 nömrəli genotipin müqayisəli analizi zamanı 5 TNP (3 transversiya - 60%, 2 tranzisiya - 40%) müəyyən edilmişdir. Göstərilən genotiplərin 424 n.c. uzunluqlu fraqmentlərində eyni nukleotid mövqelərində tək nukleotid əvəzlənməsi (TNP) həmin nümunələri eyni klasterdə birləşdirərək onların genetik oxşarlığını göstərmişdir. Genetik məsafə indeksinə əsasən bir-birindən uzaq olan nümunələr TNP-lərin sayına görə daha çox fərqlənmişlər. Belə ki, 5-ci genotiplə 33-cü genotip arasında 24 TNP müəyyən edilmişdir. Bunlardan 70,8%-nin (17) transversiya, 29,2%-nin (7) isə tranzisiya tipli TNP-lər olduğu müəyyən edilmişdir. 2-ci yarım qrup ümumilikdə 10 genotipi əhatə etmişdir ki, bu da 48 genotipin 21,7%-ni təşkil etmişdir. 3-cü yarım qrup genotiplərin 8,3% ni təşkil edərək, cəmi 4 nümunədən (G20, G28, G35, G41) ibarət ən kiçik klaster kimi qiymətləndirilmişdir. Yarımqrup daxilində genetik oxşarlıq 0,012-0,024 səviyyələrində dəyişmişdir. Qeyd etmək lazımdır ki, bu yarımqrupda geniş həddli variasiya müşahidə edilməmiş, belə ki, genotiplər bir-birindən çoxda fərqlənməmişdir. Həmçinin yarımqrupa daxil olan digər genotiplərin nukleotid ardıcılığını müqayisə etdikdə də müvafiq olaraq 6-7 TNP (tək nukleotid əvəzlənməsi) müşahidə edilmişdir. 4-cü yarımqrup 8 genotipdən ibarət olmaqla, ümumi dendrogramın 16,7%-ni, 5-ci yarım-qrup isə 13 genotipi əhatə etməklə, dendrogramın 27,1% ni təşkil etmişdir. Beləliklə, klaster analizi genotipləri TNP-lərin sayı əsasında qruplaşdırmışdır. Belə ki, TNP-lərin miqdarının (tək nukleotid əvəzlənməsi) azlığı genotipləri oxşar, çox olması isə onları uzaq genotiplər kimi ayırmışdır.

Gələcək tədqiqatlarımızda biz müəyyən etdiyimiz TNP-lərdən istifadə edərək TNP əsaslı primerlər dizayn edə bilər və həmin primerlərdən quraqlığa davamlı buğda sortlarının qiymətləndirilməsində, eyni zamanda seleksiya proqramlarında istifadə edə bilərik.

MİNNƏTDARLIQ

Tədqiqat işi Avropa Komissiyası tərəfindən maliyyələşdirilən Erasmus Mundus 2-ci Fəaliyyət Proqramı çərçivəsində elan olunmuş ALRAKIS II layihəsi əsasında yerinə yetirilmişdir. Tədqiqat işinin həyata keçməsinə dəstəyi olan Varşava Təbiət Elmləri Universitetinin (SGGW) Professoru Monika Rakoczy Trojanowskaya və institutun "Bitki seleksiyası, Genetika və Biotexnologiyası" şöbəsinin əməkdaşlarına təşəkkür edirik.

ƏDƏBİYYAT SİYAHISI

- Əliyev R.T., Abbasov M.Ə., Rəhimli V.R. (2014) Stres və bitkilərin adaptasiyası. Bakı: Elm, 348 s.
- Agarwal P.K., Agarwal P., Reddy M.K., Sopory S.K. (2006) Role of DREB transcription factors in abiotic and biotic stress tolerance in plants. *Plant Cell Reports*, **25**(12): 1263-1274.
- Brookes A. (1999) The Essence of SNPs. *Gene*, **234**: 177-186.
- Deschamps S., Campbell M. (2010) Utilization of next-generation sequencing platforms in plant genomics and genetic variant discovery. *Mol. Breed.*, **25**(4): 553-570.
- Edwards K.J., Poole R.L., Barker G.L.A. (2008) SNP discovery in plants. In: Henry R.J. (ed) *Plant genotyping II: SNP Technology*. Wallingford, Oxfordshire, pp. 1-29.
- Ganal M.W., Altmann T., Röder M.S. (2009) SNP identification in crop plants. *Curr. Opin. Plant Biol.*, **12**: 211-217.
- Hikmet B., Melda K., Kuaybe Y.K. (2013) Drought Tolerance in Modern and Wild Wheat. *The Scientific World Journal, Review Article ID 548246*, **2013**: 16 p.
- Huseynova I.M., Rustamova S.M. (2010) Screening for drought stress tolerance in wheat genotypes using molecular markers. *Proceedings of ANAS (biological Sciences)*, **65**(5-6): 132-139.
- Khlestkina E.K., Salina E.A. (2006) SNP markers: methods of analysis, ways of development, and comparison on an example of common wheat. *Genetika*, **42**: 725-730.
- Lucas S., Durmaz E., Akpınar B.A., Budak H. (2011) The drought response displayed by a DRE-

- binding protein from *Triticum dicoccoides*. *Plant Physiology and Biochemistry*, **49**(3): 346–351.
- Murray M.G., Thompson W.F. (1980) Rapid isolation of high molecular weight plant DNA. *Nucleic Acids Res.*, **8**: 4321–4326.
- Riechmann J.L., Heard J., Martin G. et al. (2000) *Arabidopsis* transcription factor: genome wide comparative analysis among eukaryotes. *Science*, **290**: 2105–2110.
- Shinozaki K., Yamaguchi-Shinozaki K. (1997) Gene expression and signal transduction in water-stress response. *Plant Physiol.*, **115**: 327–334.
- Shinozaki K., Yamaguchi-Shinozaki K. (2000) Molecular responses to dehydration and low temperature: differences and cross-talk between two stress signaling pathways. *Curr. Opin. Plant Biol.*, **3**: 217–223.
- Singh V.K., Kumar A. (2001) PCR primer design. *Mol. Biol. Today*, **2**: 27–32.
- Varshney R.K., Spurthi N., Nayak S., May G.D., Jackson S.A. (2009) Next-generation sequencing technologies and their implications for crop genetics and breeding. *Trends Biotechnol.*, **27**: 522–530.

Сравнительное Изучение Гена TdicDRF1 Различных Генотипов Мягкой Пшеницы (*Triticum aestivum* L.) На Основе Однонуклеотидных Полиморфизмов (ОНП)

Д. Мурсалова, З.И. Акпаров

Институт генетических ресурсов НАН Азербайджана

48 генотипов мягкой озимой пшеницы были подвергнуты скринингу на присутствие гена TdicDRF1, кодирующего фактор транскрипции (ABA-независимый). После частичного секвенирования их сравнивали на однонуклеотидный полиморфизм. В амплифицированных фрагментах гена исследуемых образцов в общей сложности было выявлено 94 одиночных нуклеотидных полиморфизма (ОНП), 48 из которых принадлежали к транзиционному, а 27 - к трансверсному типам, представляющим соответственно 51% и 29% от общего полиморфизма.

Ключевые слова: ОНП, секвенирование, транскрипционный фактор, абсцизовая кислота, TdicDRF1

Comparative Study Of Different Soft Wheat (*Triticum aestivum* L.) Accessions Based On The Single Nucleotide Polymorphism (SNP) Of The TdicDRF1 Gene

J. Mursalova, Z.I. Akparov

Institute of Genetic Resources, Azerbaijan National Academy of Sciences

In this study 48 genotypes of bread winter wheat were screened for the presence of the gene TdicDRF1 (ABA-independent) coding the transcription factor and after the partial sequencing they were compared by single-nucleotide polymorphism. In total, 94 single nucleotide polymorphisms (SNPs) were identified in the amplified gene fragments of the studied samples and 48 of them belonged to transition, 27 to transversion type of SNPs, representing accordingly 51% and 29% of the total polymorphism.

Key words: SNP, sequence, transcription factor, abscisic acid, TdicDRF1

Kiçik Qafqazın Şimal-Şərq Hissəsində Yayılan Bəzi Qıjıkimilərin Yeni Yayılma Sahələri Və Onların Ekoloji Xüsusiyyətləri

A.M. Əsgərov¹, L.N. Verdiyeva²

¹ AMEA Genetik Ehtiyatlar İnstitutu, Azadlıq prospekti, 155, Bakı AZ1106, Azərbaycan;
E-mail: askerov1@mail.ru

² Gəncə Dövlət Universiteti, H.Əliyev prospekti, 429, Gəncə AZ2001, Azərbaycan

Kiçik Qafqazı şimal-şərq hissəsində 2014-2016-cı illərdə aparılan ekspedisiyalar zamanı toplanılan herbari və deskriptor məlumatlarının təhlili nəticəsində bu region üçün yeni olan 3 növ (*Polypodium interjectum* Shivas, *Polystichum illyricum* (Borb.) Hahne, *Cystopteris anthriscifolia* Fomin), 1 növmüxtəlifliyi (*Polystichum aculeatum* var. *aristatum* (Christ) A.Askerov) və 1 yeni ekotip (*Adiantum capillus-veneris* L., “aşağıboyu- Gəncə”) müəyyən edilmişdir. Məqalədə həmin bitkilərin aşkar edildiyi ərazilərin üçölçülü məkan göstəriciləri, taksonların nomenklaturası, morfo-bioloji dəyişkənliyi, nomenklatur tipləri haqda məlumat verilir.

Açar sözlər: Kiçik Qafqaz, sistematika, areal, *Adiantum*, *Şirinkök*, *Cərgəvər*, *Qovuqluca*

GİRİŞ

Kiçik Qafqazın şimal-şərq hissəsi (Azərbaycan daxilində) biomüxtəliflik baxımından Qafqazın zəngin regionlarından biridir. Burada Azərbaycanda rast gəlinən əksər bitkilik tiplərinə rast gəlinir. Kiçik Qafqazın florası və biomüxtəlifliyi üzrə müxtəlif tədqiqat işləri aparılıb. Ərazinin yüksək dağ bitkiliyi (Гаджиев, 1990), ali sporlu bitkiləri (Аскеров, 1977, 1983, 1990, 2001; Əsgərov, 2005, 2016) haqda əsərlər yazılmışdır. Lakin, Kiçik Qafqazın Qıjıkimilərinin sistematiki, ekobotaniki xüsusiyyətləri hərtərəfli tədqiq edilməmişdir.

MATERIAL VƏ METODLAR

Tədqiqatın materialı 2014-2016-cı illərdə Kiçik Qafqazın şimal-şərq hissəsində ekspedisiyalar zamanı toplanılan materiallar və AMEA-nın Botanika İnstitutunun və Genetik Ehtiyatlar institutunun Herbari fondlarında (BAK, AGRİ) saxlanılan herbari nüsxələridir. Toplanan materiallar kəmərlə şəraitdə təhlil edilmişdir. İşdə müqayisəli-morfoloji, sistematiki, ekoloji metodlardan istifadə edilmişdir.

Nomenklatura məsələlərinin dəqiqləşdirilməsində Beynəlxalq Botanika Kodeksi (2009) və A.M.Əsgərovun “Azərbaycan florasının konspekti” kitabı (Əsgərov, 2011) əsas götürülmüşdür. Makrotaksonlar qıjıkimilərin təsnifatına dair bəzi mühüm mənbələr əsasında dəqiqləşdirilmişdir (Pichi-Ser-molli, 1977; Smith et al., 2006; Maarten et al., 2011). Tədqiqat ərazisində ekoloji parametrlərin əldə olunmasında Diva-Gis sistemindən istifadə

olunmuşdur. Hipsometrik hündürlük və areal kordinantları Garmin eTex 20 modeli GPS-lə ölçülmüşdür.

NƏTİCƏLƏR VƏ ONLARIN MÜZAKİRƏSİ

Kiçik Qafqazın şimal-şərq hissəsi, coğrafi anlamda Kiçik Qafqazın şimal-şərq yamacı adlanan ərazini (Müseyyibov, 1998; Azərbaycanın Milli atlası, 2014) əhatə edir və əsasən “Azərbaycanın botaniki-coğrafi rayonlaşma” sxemində (Прилип-ко, 1950) “Kiçik Qafqaz şimalı” rayonu ərazisində yerləşir. Lakin, sonuncu rayonlaşmada “KQ şim.”-in cənub sərhəddi bir qədər cənubdan aparılmış və qismən Kiçik Qafqazın mərkəzi hissəsini də əhatə etmişdir.

Bizim tədqiqat ərazisi şimaldan Kür düzünü (Kür depresiyasını) əhatə edən yovşanlı, efemerli-yovşanlı, ağotlu-yovşanlı, gəngizli-yovşanlı, səhra və yarımsəhra bitkilik formasıyları ilə səciyəylənən 400-500 metr hündürlüyə qədər olan ərazilərlə sərhədlənir. Şərqdən Samux və Goranboy inzibati rayonlarının sərhədlərini əhatə etməklə Murovdağ silsiləsinə qədər uzanır, cənub və cənub-qərbdən Murovdağ və Şahdağ silsilələri ilə əhatələnir; qərbdən isə Şahdağ silsiləsindən Kür çayının Azərbaycan ərazisinə daxil olan yerinə qədər olan ərazilərdə Ermənistanla sərhədlənir.

Aşağıda 2014-2016-cı illərdə tədqiqat ərazisindən toplanılan materialların (cədvəl) təhlili nəticəsində Kiçik Qafqazın şimal-şərq hissəsi üçün ilk dəfə aşkar edilən 3 növün, 1 növmüxtəlifliyinin və 1 yeni ekotipin morfoloji və areoloji xüsusiyyətləri haqda məlumat verilir.

Cədvəl. Tədqiqat ərazisindən toplanılan növlərin koordinatları və ekoloji göstəriciləri.

Toplanma yeri və tarixi	Növlərin adı	Yağının miqdarı (mm)	Temperatur (°C)			Coğrafi enlik və uzunluq, hündürlük (m)	Su rejimi	Yamacın cəhəti	Əldə etmə mənbəyi	Ana süxur	Relyef	Torpağın mexaniki tərkibi	Toplanma ərazisinin sahəsi (m²)
			T_{min}	T_{max}	T_{ot}								
Gəncə, Daşkəsən, Turşsu ətrafı 23. 06. 2015	<i>Adiantum capillus-veneris</i>	544	4,7	15,9	5,6	N 40°30.594' E 46°20.494' H 1086	FR	SE	PA, RS, GR	B	O 5	SA, LO, GR, SC	5
Gəncə, Hacıkənd, 23. 06. 2015	<i>Cystopteris anthriscifolia</i>	544	4,7	15,9	5,6	N 40°30.594' E 46°20.494' H 1086	FR	SE	PA, RS, GR	B	O 5	SA, LO, GR, SC	5
Tovuz, Əsrik 24. 06. 2015	<i>Polypodium interjectum</i>	554	5,7	14	4,2	N 40°47.462' E 45°35.636' H 1209	FR	SE	RS, WL, WS	B, OT	O 5	CY, GR, ST	5
Tovuz, Əsrik 24. 06. 2015	<i>Polystichum aculeatum</i> var. <i>aristatum</i>	554	5,7	14	4,2	N 40°47.462' E 45°35.636' H 1209	FR	SE	RS, WL, WS	B, OT	O 5	CY, GR, ST	5
Tovuz, Əsrik 24. 06. 2015	<i>P. illyricum</i>	554	5,7	14	4,2	N 40°47.462' E 45°35.636' H 1209	FR	SE	RS, WL, WS	B, OT	O 5	CY, GR, ST	5

Növlərin topoqrafik və iqlim göstəriciləri üzrə (yağının miqdarı (mm); T_{max} və T_{min} temperatur (°C) T_{min} / T_{max} , orta illik temperatur (°C) T_{ot} , toplanma yerlərinə dair ekoloji məlumatlar - Coğrafi enlik və uzunluq dairələri, dəniz səviyyəsindən hündürlüyü; Su rejimi: FR - sərbəst, drenajsız; Yamacın cəhəti: SE - cənub-şərq; Əldə etmə mənbəyi: PA-otlaq, RS-yolun kənarı, GR çəmən, WL-meşə zolağı və ya kənarı, WS çaykənarı, vadi, Ana süxur: B - qarışıq, OT digər, Relyef: O5 - dağətəyi 16-30%; Torpağın mexaniki tərkibi: SA - qumlu, LO - gillicəli, GR - çınqıllı, SC - qumlu-gillicəli, CY-giltorpaqlı, ST-daşlıqlı; Toplanma ərazisinin sahəsi 5m

Fəsilə Şirinkök qijilər *Polypodiaceae* Bercht. et J. Presl

Cins Şirinkök *Polypodium* L.

1. *P. interjectum* Shivas 1961, Journ. Linn. Soc., Bot. 58: 29; Valentine, 1964, Fl. Europ. 1:23; A. Бобр. 1974, Фл. евр. ч. СССР, 1:96; А. Акеров 1977, Бот. журн. 62:1029.; Кудряшова 2003, Консп. Фл. Кавк. 1:156. *P. vulgare* subsp. *prionoides* (Aschers.) Rothm. 1929, Mitt. Thür. Bot. Ver., N. F., 38:106. *P. vulgare* f. *prionoides* Aschers. 1896, in Aschers. u. Graebn. Syn. Mitteleurop. Fl. 1:94. *P. vulgare* f. *attenuatum* Milde, 1867, Fil. Eur. Atl.: 92; Рзазаде 1950, Фл. Аз. 1 : 40. *P. serratum* auct. non Saut. : Фомин 1934, Фл. СССР, 1: 89, p.p. - Aralıq ş.

Avropadan (Şotlandiya) təsvir olunub.

Tipus: "St. Cyrus, Kincardineshire, Scotland".

Kökümsovu qəhvəyi rəngli pulcuqlarla örtülüdür. Yarpaqları uzunsov lansetşəkilli, seqmentləri kənarı boyu mişar dişikli, damarlanması 2-3 qat dioxotomik budaqlanandır. Sorusları oval və ya ellipsşəkilli olub, örtüksüzdür. Sporangiyalar 10-20 saylıdır. Sporu paxlaşmışdır. 2n=222 (Şək.1).

20-40 sm hündürlükdə, iyul-avqust aylarında sporverən, çoxillik, çox vaxt epifit formalarda rast gəlinən, mezofil meşə bitkisi (əsasən fıstıq-vələs meşə formasiyası).

Avropa-Aralıq dənizi areal tipinə aid bu növün Azərbaycan (Talışda) rast gəlinməsi ilk dəfə A.Əsgərov tərəfindən (Акерров, 1977) göstəril-

mişdir. Kiçik Qafqazda ilk dəfə olaraq tərəfimizdən Göygöl ətrafı, Daşkəsən rayonunun Əmirvar kəndi və Tovuzun Əsrik meşə sahəsindən toplanılmışdır.



Şəkil 1. *Polypodium interjectum*.

Çox vaxt *Polypodium vulgare* növü ilə hibridləşir və *P. x mantoniae* (Rothm.) Shivas hibridi əmələ gətirir (Əsgərov, 2016).

Fəsilə Ayıdöşəyilər *Dryopteridaceae* R. C.Ching.

Cins Cərgəvər *Polystichum* Roth, Emend. Schott.

1. *P. illyricum* (Borb.) Hahne 1904, Allg. Bot. Zeitschr. 10:103; A. Askerov 1977, Бот. журн. 62:1027; A. Askerov 2001, Папоротники Кавказа : 120; Кудряшова 2003, Консп. Фл. Кавк. 1:164; A. Əsgərov 2016, Azərbaycan bitki aləmi : 59. - *Aspidium illyricum* Borb. 1891, Oest. Zeit. 41: 354. - İlliriy c.

Avropadan təsvir olunub.

Əsas morfoloji əlamətləri *P. aculeatum* və *P. lonchitis* növləri arasında keçid xarakterlidir. Yarpaqları lansetşəkilli, 30-50 sm uzunluğunda, 4-9 sm enindədir. Saplaqları qısa, bozuntul, lansetşəkilli pulcuqlarla örtülüdür. Seqmentləri oraşəkilli, ən aşağıdakıları üçbucaq formalı, yarpaqda damarlar bir qat çəngəlvaridir. Soruslar damarların ucunda və ya ortasında oturandır. Sporları tam yetişməyən, çox vaxt abortivdir (sterildir) $2n = 123$ (Şək. 2).



Şəkil 2. *Polystichum illyricum*.

20-60 sm. hündürlükdə, iyul-sentyabr aylarında sporverən, orta dağ qurşağınadək kölgəli meşələrdə rast gəlinən çoxillik, mezofit bitkidir.

Avropa-Qafqaz areal tipinə aid bu növ (Бобров, 1974; Кудряшова, 2003) tədqiqat ərazisindən Tovuz rayonunun Əsrək meşə sahəsindən, fıstıq-vələs meşə formasıyasından toplanılmışdır. *P. aculeatum* və *P. lonchitis* növləri arasında təbiihibrid mənşəli növdür.

2. *P. aculeatum* (L.) Roth 1799, Tent. Fl. Germ. 3, 1: 79; A. Askerov 1977, Бот. журн. 62: 1027; A. Askerov 2001, Папоротники Кавказа: 115; Кудряшова 2003, Консп. Фл. Кавк. 1:164. - *Polypodium aculeatum* L. 1753, Sp. Pl.: 1090. - *Polystichum lobatum* (Huds.) Bast 1809, Ess. Fl. Maine Loire: 367; Гроссг. 1939, Фл. Кавк., изд. 2, 1:22; Исаев 1950, Фл. Аз. 1: 28. - Tikancıqlı c.

Avropadan təsvir olunub. **Tipus:** Herb. Linn. 1251/45.

Avropa mənşəli bu növ Azərbaycanda geniş yayılmışdır və onun bir neçə növmüxtəlifliyi vardır ki, onlardan daha az rast gəlinəni var. *aris-tatum* (Christ) A. Askerov hesab edilir.

Polystichum aculeatum var. *aristatum* (Christ) A. Askerov 1983, Not. sist. geog. (Thi bilisi.), 39 : 6; A. Əsgərov 2016 Azərbaycan bitki aləmi : 60. *Aspidium lobatum* var. *aristatum* Christ 1891, Schweiz Bot Ges. 1:85.

Yarpaq saplağı bozuntul rəngli, pulcuqlarla örtülü, qaidəsində 5 ötürücü topalıdır. Yarpaq ayası 2 qat lələkvəri, qaidəsinə doğru daralan, sərt dəri-varidir. İkinci sıra seqmentlərindən ən aşağıdakı (akroskopik) qalanlardan iri; seqmentləri yumşaq, tüküklü və pərdəciklərlə örtülü, kənarları iti tikan-cıqlıdır. Sorusları oval, damarların orta hissəsindən yuxarıda yerləşən, örtüyü kənarında dişciklikdir. Sporun perisporisi qırıxıqlı, qırıxıqları qısa, ensiz, hündürdür. Bəzi əlamətləri ilə Talışdan təsvir olunan *P. kadyrovii* Askerov növünə yaxındır (Şək. 3).



Şəkil 3. *Polystichum aculeatum* var. *aristatum*.

25-100 sm hündürlükdə, iyul-sentyabr aylarında sporverən, orta dağ qurşağınadək kölgəli meşələrdə rast gəlinən çoxillik, mezofit bitkidir (əsasən fıstıq-vələs meşə formasıyası). Tədqiqat ərazisində Tovuz rayonunun Əsrək meşə sahəsindən tərkimizdən toplanılmışdır.

Şöbə Polipodiumkimilər və ya Qıjlar - *Polypodiophyta* (*Pteridophyta* s. str.)

Sınıf Polipodiumabənzərlər - *Polypodiopsida* (*Filicopsida*)

Fəsilə Qalxansızlar - *Athyriaceae* Ching (*Athyriaceae* Alston, nom. Illeg.)

Cins Qovuqluca - *Cystopteris* Bernh., nom. cons.

1. *C. anthriscifolia* Fomin 1911, Матер. Фл. Кавк. 1, 1 : 15; Фомин 1913, Птерид. Фл. Кавк. :15. - *C. fragilis* (L.) Bernh. 1805, Journ. Bot. (Götting.) 1, 2:27, p.p.; Кудряшова 2003, Консп.

Фл. Кавк. 1:162. - *C. filix-fragilis* var. *anthriscifolia* Luerss. Farnpf. 457, f. 156; Исаев 1950, Фл. Аз. 1:19. - Sivriyarpaq q.

Avropadan təsvir olunub. **Typus:** *In collibus Europae frigidioris*.

Yarpaqları 2 dəfə lələkvari bölümlü, vəzli tük cüklü, ayası və saplağı bozuntul, sonuncu sıra seqmentləri sivriuculu, damarları seqmentlərin uc hissəsində nəhayətlənəndir. Sorusu damarların hər iki tərəfində cərgəli yerləşən; örtük ovalvari, lansetşəkilli, şişkindir. Sporun səthi (perisporisi) qırışıqlıdır. $2n = 168, 252$ (Şək.4).



Şəkil 4. *Cystopteris anthriscifolia*.

20-40 sm hündürlükdə, iyul-avqust aylarında sporverən, meşələrdə, qaya çatlarında yayılan çoxillik, mezofit bitkidir. Tədqiqat ərazisindən Daşkəsən rayonunun Əmirvan kəndi, Tovuz rayonunun Əsrik meşəsindən, Gəncə-Daşkəsən magistral yolunun Bayan kəndi və Xoşbulaq ətrafından tərəfimizdən toplanılmışdır.

Şöbə Polypodiumkimilər və ya Qıjlar – Polypodiophyta (Pteridophyta s. str.)

Sınıf Polypodiumabənzərlər Polypodiopsida (Filicopsida)

Fəsilə Adiantkimilər Adiantaceae Newm.

Cins Adiant – Adiantum L.

1. A. capillus – veneris L. 1753, Sp. Pl. : 1096; Гроссг. 1939, Фл. Кавк., изд. 2, 1:34; Исаев 1950, Фл. Аз. 1:38; А.Бобр. 1974, Фл. евр. ч. СССР, 1:94; А.Аскеров 2001, Папоротники Кавказа : 58; Кудряшова 2003, Консп. Фл. Кавк. 1:155. – Zöhrətüklü a.

Cənubi Avropadan təsvir olunub. **Typus:** Herb. Linn. 1252/8, 9

Yarpaqları enli uzunsov, 2-3 qat lələkvarikəsilen, 10-35 sm uzunluğunda, parlaq yaşıl, zərif, yarpaqcıqların kənarı örtük funksiyasını yerinə yetirəndir. Saplağı çılpacaq ya da seyrək pərdəciklərlə örtülü, parlaq, qara qonuruntul rəngli, qaidəsində 1 ötürücü topalıdır. Sonuncu sıra seqmentləri pazşə-

killi, nazik saplaqcıqlı, ucdan çevrilərək xətvəri-oval, sorusları örtəndir. Sorusları uzunsov, seqmentlərin kənarında yerləşəndir. Sporlar girdə, radial simmetrikdir. $2n = 60$ (Şək.5).



Şəkil 5. *Adiantum capillus – veneris*.

30 sm-dək hündürlükdə (bizim aşkar etdiyimiz nüsxə - 10 sm-dək hünd.), iyun-avqust aylarında sporverən, rütubətli yerlərdə rast gəlinən çox illik, mezofit bitkidir.

Cənubi palearktik areal tipinə aid bu növün Azərbaycanda bir neçə xırda populyasiyaları Qafqaz və Talış regionlarından məlumdur (Аскеров, 2001). Tədqiqat ərazisindən ilk dəfə olaraq tərəfimizdən 2 dəfə toplanılmışdır: Gəncə şəhəri ətrafı, su quyusunun rütubətli divarlarında; təkrarən 06.09.2015-ci ildə Daşkəsən rayonunun Əmirvan kəndi ətrafından, şələlə ətrafı ərazidən, sucaq qayalar arasında, mamır bitkisi ilə birlikdə bu növün yeni "Alçaqboylu – Gəncə" ekotipi aşkar edilmişdir. Bu nüsxə tipik zöhrətüklü adiant nüsxələrindən ölçülərinin kiçik olması və nisbətən quraq biotoplarda rast gəlinməsi ilə seçilir.

Nadir növdür. Qismən mühafizə olunsa da, xüsusi mühafizə olunan ərazilərdən kənarda olan populyasiyaları təhlükə altındadır. Relikt, dekorativ bitkidir. Yaşıllaşdırmada, xüsusən su hovuzlarının, su fəvvarələrinin yaşıllaşdırılmasında istifadə olunur (Əsgərov, 2016).

ƏDƏBİYYAT

- Azərbaycan Respublikasının Milli atlası** (2014) Bakı: 444 s.
- Əsgərov A.M.** (2006) Azərbaycanın ali bitkiləri. Bakı: Elm, I: 248 s.
- Əsgərov A.M.** (2011) Azərbaycan florasının konspekti. (Əlavə və dəyişikliklərlə, 1961-2010). Bakı: Elm, 204 s.
- Əsgərov A.M.** (2016) Azərbaycanın bitki aləmi. Bakı: TEAS PRES, 444 s.
- Müseyyibov M.A.** (1998) Azərbaycanın fiziki coğ-

- rafiyası. Bakı: Maarif, 400 s.
- Аскеров А.М.** (1977) *Pteridophyta* Азербайджана. *Бот. журн.*, №7: 1022-1030
- Аскеров А.М.** (1983) Система папоротников Кавказа. *Заметки по сист. и географ. раст.*, вып. 39: 3-9
- Аскеров А.М.** (1990) Отдел *Pteridophyta*. В кн.: Гаджиев В.Д. и др. *Высокогорная растительность Малого Кавказа (в пределах Азербайджана)*. Баку: Элм, с. 23-28
- Аскеров А.М.** (2001) Папоротники Кавказа. Баку: Елм, 244 с.
- Бобров А.Е.** (1964) Сравнительный морфолого-анатомический анализ видов рода флоры СССР. *Бот. журн.*, 49 (№4): 534-548
- Бобров А.Е.** (1974) Папоротникообразные. Флора европейской части СССР. Наука: Л., 1: 68-99
- Гаджиев В.Д. и др.** *Высокогорная растительность Малого Кавказа (в пределах Азербайджана)*. Баку, «Елм», 1990, с. 23-28
- Исаев Я.М.** (1950) *Cystopteris* Bernh., *Polystichum* Roth, *Adiantum* L. В кн.: *Флора Азербайджана*, Баку: АН АЗССР, т. 1: 19-38
- Кудряшова Г.Л.** (2003) *Polypodiophyta*. *Конспект флоры Кавказа*, т. 1: 152-172
- Международный кодекс ботанической номенклатуры (Венский кодекс)** (2009). М.: СПБ, 282 с.
- Прилипко Л.И.** (1950) Ботанико-географические районы Азербайджана. В кн.: *Флора Азербайджана*, Баку: АН АЗССР, т.1: 7
- Рзазаде Р.Я.** (1950) *Polypodium* L. В кн.: *Флора Азербайджана*. Баку: АН АЗССР, т. 1: 40
- Christenhusz M., Zhang X-Ch., Schneider H.** (2011). A linear sequence of extant families and genera of lycophytes and ferns. *Phytotaxa*, 19: 7-54
- Pichi-Sermolli, Rudolfo E.G.** (1977) *Tentamen pteridophytorum genera in taxonomicum ordinem redigendi*. *Webbia*, 31: 315-512
- Smith A.R., Pryer K.M., Schuettpelz E., Korall P., Schneider H., Wolf P.G.** (2006) A classification for extant ferns. *Taxon*, 55(3): 705-731.

Новые Местонахождения Некоторых Папоротникообразных Северо-Восточной Части Малого Кавказа и Их Экологические Особенности

А.М. Аскеров¹, Л.Н. Вердиева²

¹Институт генетических ресурсов НАН Азербайджана

²Гянджинский государственный университет

В результате анализа гербарных материалов и информации дескрипторов, собранных во время экспедиции по северо-восточной части Малого Кавказа нами обнаружены новые для данного региона 3 вида (*Polypodium interjectum* Shivas, *Polystichum illyricum* (Borb.) Hahne, *Cystopteris anthriscifolia* Fomin), 1 разновидность (*Polystichum aculeatum* var. *aristatum* (Christ) A. Askerov) и 1 экотип (*Adiantum capillus veneris* L., “низкорослый Гянджа”). В статье приводятся данные GPS по местонахождению данных растений, их номенклатуре, морфо-биологической изменчивости и номенклатурных типах.

Ключевые слова: Малый Кавказ, систематика, ареал, Адриант, Многоножка, Многорядник, Пузырник.

**New spread areas Of Some Ferns
over North-East Part Of Lesser Caucasus And Their Ecological Properties**

A.M. Asgarov¹, L.N. Verdiyeva²

¹ *Institute of Genetic Recources, Azerbaijan National Academy of Sciences*

² *Ganja State University*

During the expeditions in 2014-2016 three new species (*Polypodium interjectum* Shivas, *Polystichum illyricum* (Borb.) Hahne, *Cystopteris anthriscifolia* Fomin), one new variety (*Polystichum aculeatum* var. *aristatum* (Christ) A.Askerov) and one new ecotype (*Adiantum capillus veneris* L., “alçaqboylu Gəncə”) spread over the north-east part of Lesser Caucasus were established according to the gathered herbary and descriptor data. GPS of the area of the plant spread, nomenclature of taxa, morpho-biological changes, and nomenclature types were presented in the article.

Keywords: *Lesser Caucasus, systematics, area, Adiantum, Polystichum, Cystopteris, Jergover, Kovukluca*

Sistemik Zədələyici Proseslər – Cərrahiyyənin Fundamental Nəzəriyyələrinə Ümumi Baxış: İntoksikasiyadan Günümüzdəki SIRS Və Sepsisə

N.Y. Bayramov*, A.Ə. İbrahimova

Azərbaycan Tibb Universitetinin I cərrahi xəstəliklər kafedrası, S.Vurğun küç., 167, Bakı AZ1022.
Azərbaycan; E-mail: nurubay2006@yahoo.com

İcmal məqalədə təbəbatın, xüsusən cərrahiyyənin ən önəmli fundamental və kliniki problemlərindən olan sistemik zədələnmə prosesinin təbiəti yaxud lokal zədələnmənin orqanizmin total zədələnməsinə gətirib çıxarma yolları haqda müasir ədəbiyyat mənbələri ətrafı təhlil edilmişdir. Sistemik zədələyici prosesin təbiəti ilə əlaqədar məlum olan birbaşa zədələyici (intoksikasiya və infeksiya) və auto-destruksiya nəzəriyyələrinin (şok, stress, metabolik və SIRS-sepsis) çatışmayan cəhətləri və klinik təbabətə gətirdikləri müddəalar haqqında qısa məlumat verilmişdir. Hazırda sistemik zədələyici proses kimi hakim nəzəriyyə hesab edilən və əsasında immun disrequlyasiyaya duran sepsisə və diffuz iltihabə xüsusi yer verilmişdir.

Açar sözlər: SIRS, intoksikasiya, sepsis, şok, septik şok, disfunksiya, iltihab, sistemik zədələyicilər

Yerli xarakterli patologiya hansı yolla orqanizmi bütövlükdə zədələyir? sualı təbabətin, o cümlədən cərrahiyyənin fundamental məsələsidir. Klinik təcrübə göstərir ki, əksər cərrahi və qeyri-cərrahi xəstəliklərdə ağırlaşma və ölümlərin ən çox rast gəlinən səbəbi bilavasitə lokal xəstəliyin özü yox, onun orqanizmdə törətdiyi ümumi zədələnmədir (təxminən 80-90%). Ona görə də, ağırlaşmaların və letallığın qarşısını almaq üçün yerli zədələnmədən sistemik zədələnməyə aparan mexanizmləri aşkarlamaq və onlara təsir vasitələri axtarmaq tarix boyu elmi təbabətin fundamental məsələsi olmuşdur.

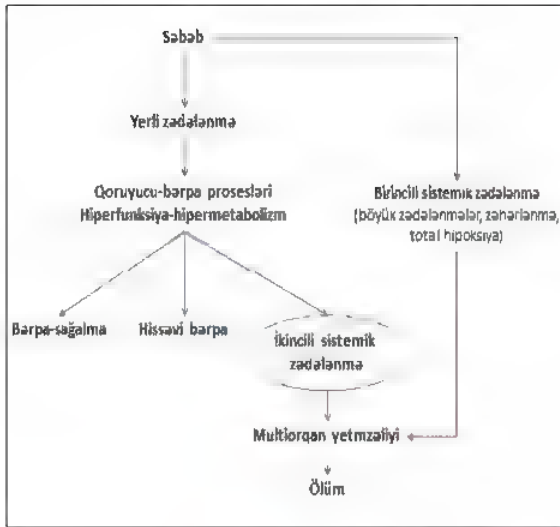
Orqanizm dedikdə daxili mühitin stabilliyini qoruyan (homeostaz) və xarici mühitlə substrat və informasiya mübadiləsini həyata keçirən sistem nəzərdə tutulur. Sağlam vəziyyət dedikdə daxili sabitlikdə və xarici əlaqədə harmoniyamı təmin edən morfo-funksional tamlıq nəzərdə tutulur. Zədələnmə orqanizmin hər hansı bir hissəsindəki hüceyrələrdə və ekstrasekullar matriksdə baş verən morfoloji və funksional pozulma kimi qəbul edilir. Hüceyrələrin zədələnməsi morfoloji olaraq özünü nekroz, apoptoz, distrofiya ilə göstərir və hipoksik, kimyəvi, fiziki, infeksiyon, immun və metabolik təsirlər hüceyrə zədələnməsinin təməl səbəbləridir (Robbins. Chapter 1...). Xəstəlik zədələnmə ilə ona qarşı reaksiyaların müstəqilliği nəticəsində meydana gələn yeni vəziyyət kimi qiymətləndirilə bilər. Xəstəlik zədələnmənin yerindən və ölçüsündən asılı olmayaraq, zədələnmə, qoruyucu-bərpa və bunların energetik-funksional təmini üçün hiperfunksiya-hipermetabolizmi kimi 3 atributiv prosesin cəmindən ibarətdir (Əliyev, 2004). Xəstəliyin gedişində 3 nəticə ola bilər: bərpa-sağalma, hissəvi bərpa və ölüm (Şəkil 1).

Birinci halda orqanizmin bərpa prosesləri morfoloji və funksional zədələnməni tam bərpa edir, hiperfunksiya aradan qalxır və orqanizm əvvəlki sağlam vəziyyətinə qaydır. Hissəvi bərpada, orqanizm əvvəlki homeostazını bərpa edir, lakin yerli xarakterli defektlər qalır (əlillik). Üçüncü halda isə zədələnmə əksər orqan və sistemlərin yetməzliyinə və ölümə səbəb olur. Multiorqan yetməzliyinin (MOY) meydana gəlməsinin iki prinsipal mexanizmi ola bilər. Birincili MOY adlanan birbaşa variantda, zədələnmə o qədər sürətli və geniş olur ki, qoruyucu və kompensator reaksiyalar ortaya çıxmağa macal tapmadan, əksər orqanlar birbaşa olaraq ağır dərəcədə zədələnir. Buna misal olaraq həyatla uyuşmayan böyük zədələnmələri, zəhərlənmə və total hipoksiyanı (asfiksiya, ani massiv qanaxmalar, ürək dayanması) göstərmək olar. İkincili MOY adlanan dolayı variantda isə, lokal zədələnməyə qarşı qoruyucu-kompensator və energetik reaksiyaların aktiv olmasına baxmayaraq orqanizmi total zədələyən proseslər başlayır ki, bu da orqanizmin bütövlükdə zədələnməsinə, orqan və sistemlərin yetməzliyinə və olumə səbəb olur. Orqanizmin total zədələnməsinə gətirib çıxaran bu prosesləri başqa adla "ümumi zədələyici proses" və ya "sistemik zədələyici proses" adlandırmaq olar.

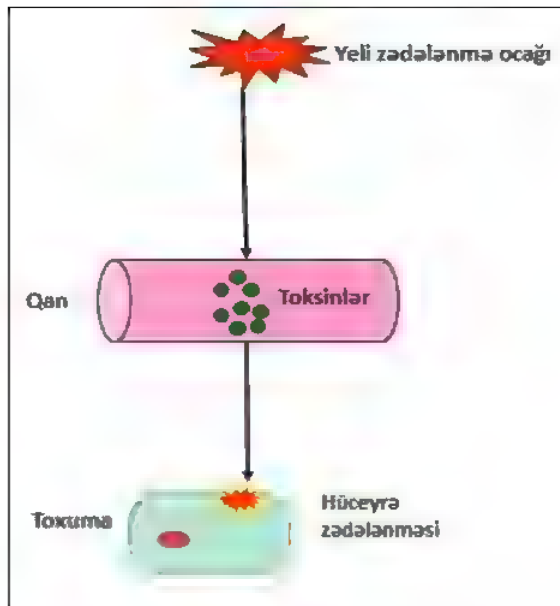
Sistemik zədələyici proseslərlə əlaqədar nəzəriyyələri mahiyyətə iki qrupda cəmləşdirmək olar: birbaşa zədələyicilər və disfunksiyonal zədələyicilər (autodestruksiya). Orqan və sistemlərdə birincili olaraq zədələnmə törədən proseslərə birbaşa zədələyicilər deyilir ki, bunlara intoksikasiyanı və infeksiyanı aid etmək olar. Disfunksiyonal və ya autodestruksiya adlanan proseslər dedikdə isə, təbii cəmiyyət qoruyucu-kompensator funksiya daşıyan reaksiyaların tənziminin pozulması və zədələyici mexa-

nizmlərə çevrilməsi nəzərdə tutulur, yəni, “öz qoruyucusu özünü zədələyir”. Autodestuksiya nəzəriyyələrinə şok, stress, metabolik və sepsis aid edilə bilər. 20-ci əsrin ortalarına qədər birbaşa zədələyici nəzəriyyələr hakim olmuş, sonrakı dövrlərdə isə autodestruksiya nəzəriyyələri ortaya çıxmışdır.

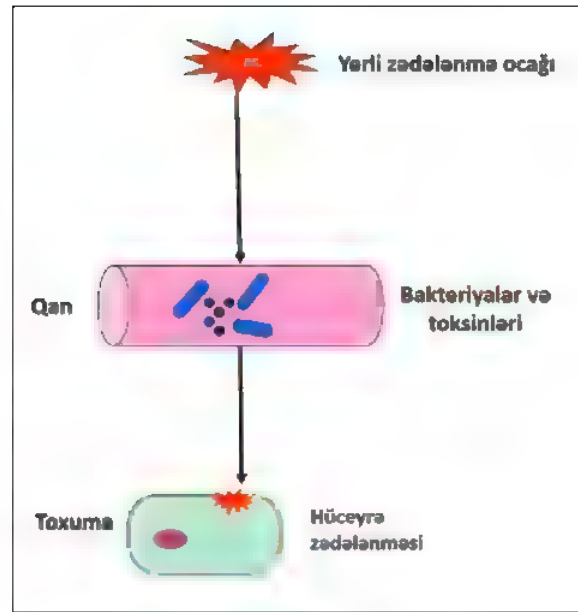
İntoksikasiya nəzəriyyəsi. Bu nəzəriyyəyə görə yerli zədələnmə nəticəsində toksinlər meydana gəlir və bunlar qana keçərək orqan və sistemləri birbaşa zədələyir (Şəkil 2). Hüceyrə və toxumaları birbaşa zədələyən maddələr toksinlər, törətdiyi total zədələnmə isə toksikoz adlanır. Xaricdən orqanizmə daxil olan ekzotoksinlərin törətdiyi toksikoz ekzotoksikoz, orqizmdə əmələ gələn toksinlərin törətdiyi total zədələnməyə endotoksikoz və ya intoksikasiya adlanır (Opal, 2010).



Şəkil 1. Xəstəliyin nəticələri



Şəkil 2. İntoksikasiya nəzəriyyəsinin sxemi



Şəkil 3. Klassik sepsis nəzəriyyəsinin sxemi

Toksin axtarışları nəticəsində nekrotoksinlər, endotoksinlər, orta çəkili molekulalar və s. kimi adlar adı altında zülal, lipid və digər orqanik təbiətli maddələr “kəşf edildi”. Lakin uzun illər aparılan axtarışlara baxmayaraq hüceyrələri birbaşa zədələyən spesifik endotoksin tapılmadı (Reitschel et al., 1994). Əksinə, məlum oldu ki, endotoksinlər kimi qəbul olunan maddələrin bir qismi orqanizmin mətabolizm məhsulları, digər bir qismi sitokinlər, fermentlər, mediatorlar və reaktiv proteinlər, başqa qismi isə mikrob məhsullarıdır. Orta molekul kütləli zülalların əksəriyyətinin sitokinlər, kəskin faza proteinləri, komplement komponentləri, kinin və s. kimi iltihabi mediatorları olduğu ortaya çıxdı. Sıdık turşusu, bilirubin və s. kimi metabolizma məhsullarının isə tokziskoz törədən səbəb yox, nəticə olduğu, hətta yüksək konsentrasiyalarda belə toksik vəziyyəti izah edə bilmədiyi ortaya çıxdı. Bu nəzəriyyəyə əsaslanaraq meydana çıxarılan detoksikasiya üsulları da problemi həll edə bilmədi, ən yaxşı halda müvəqqəti effekt göstərdi ki, bunu da iltihabyönlü sitokinlərin qismüddətli azalması ilə izah etmək olar (Raetz and Whitfield, 2002).

Klassik sepsis nəzəriyyəsi. Bu nəzəriyyəyə görə, yerli zədələnmə bölgəsindən qana keçən bakteriyalar və onun toksinləri orqan və toxumaları birbaşa zədələyərək multiorqan yetməzliyinə səbəb olurlar (Şəkil 3).

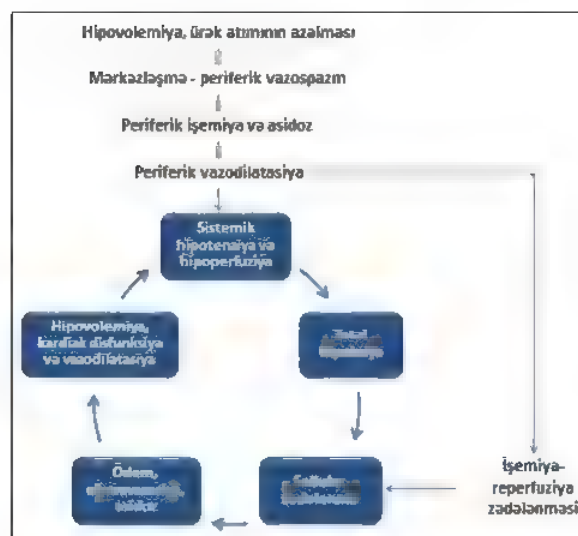
Məlum oldu ki, əksər mikroblar və ifraz etdikləri toksinlər hüceyrələri birbaşa yolla yox, dolayı yolla, iltihab hüceyrələrini aktivləşdirərək zədələyirlər. Mikroblarda olan və patogenlərə aid molekulyar patternlər (PAMP) adlanan antigenlərin leykositlərdəki uyğun reseptorlarla birləşməsi leykositə aktivasiyanı başlanan mexanizm olduğu

ortaya çıxdı (İsayev, 2005). Güclü sitotoksik təsirə malik olan bəzi ekzotoksinlərin özü də superantigen rolu oynayır və leykositləri aktivləşdirərək zədələnmə törədirlər. Digər tərəfdən, məlum oldu ki, lokal zədələnmə mikrobların orqanizmə daxil olması üçün qapı açsa da, sepsisdə iştirak edən bakteriyaların əksəriyyəti ekzogen yox, normal endogen floranın nümayəndələridir. Bakterial translokasiya ilə bağırsaqlardan qan dövrəsinə keçən mikrobların sepsisdə önəmli rol oynadığı öz təsdiqini tapdı. Üçüncüsü, məlum oldu ki, sepsis əlamətləri olan xəstələrin təxminən 40-50%-də qanda və distant toxumalarda mikroorqanizmlər tapılır. Digər tərəfdən, travma, kəskin destruktiv pankreatit və s. kimi başlanğıcda qeyri-infeksiyon patologiyalarda rast gəlinən multiorqan yetməzliyin mexanizmini infeksiyon nəzəriyyə ilə izah etmək mümkün olmadı. Nəhayət, bəlli oldu ki, bəzi virulent infeksiyalar istisna olmaqla əksər mikrobların patologiya törədə bilməsi üçün mütləq şərt kimi inkişaf mühitinin və spesifik həssaslığın olması lazımdır ki, bunlara nekrotik toxumaları, zəif immuniteti, spesifik reseptorları və hüceyrəyə giriş qapılarını aid etmək olar. Digər tərəfdən, antibiotikoterapiya bir çox xəstələrin həyatını xilas edə bilsə də, qanda mikrob tapılan xəstələrin hamısını xilas edə bilmədi (Давыдовский, 1969). Bu və digər faktlar göstərdi ki, lokal patologiyadan multiorqan yetməzliyinə gedən yolda infeksiya birincili və aparıcı sistemik zədələnmə mexanizmi deyildir, lakin prosesə ikincili qoşularaq ağırlaşdırıcı rol oynaya bilər. Ona görə də antibakterial terapiya hazırda ağır xəstələrin mütləq müalicələrindən biri kimi qəbul edilir.

Şok nəzəriyyəsi. Şok kəskin qan dövrəni yetməzliyidir, yəni orqan və toxumaların perfuziyasının kəskin azalmasıdır (hipoperfuziya) (Abboud, 1982). Hipoperfuziya adətən erkən mərhələdə hissi, sonrakı mərhələlərdə isə ümumi xarakter daşıyır, toxumaların hipoksik və işemiya-reperfuziya zədələnməsinə gətirib çıxarır. Məlumdur ki, əsas funksiyalarından biri toxumalara oksigeni çatdırmaq olan qan dövrəni bir biri ilə sıx əlaqəli iki sistemdən ibarətdir: təzyiq yaradaraq qanı hərəkət etdirən makrosirkulyasiya sistemi (ürək, böyük damarlar və qan), orqanların qan təchizatını tənzimləyən və hemato-histositar mübadiləni həyata keçirən mikrosirkulyasiya sistemi (Vincent and Backer, 2013). Qanın dövrəni təmin edən üç əsas morfo-funksional komponentdən hər hansı birinin və ya bir neçəsinin ciddi pozulması qanı hərəkət etdirən qüvvənin - qan təzyiqinin azalmasına, bu isə toxumaların hipoperfuziyasına - şoka səbəb olur: dövrə edən qan həcmının azalması (hipovolemik şok), damarların genişlənməsi (vazodilatasyon şok) və ürək fəaliyyətinin azalması (kardiogen şok) (Barber and Shires, 1996). Şok prosesinin kompensator adlanan erkən mərhələsində həyatı vacib orqanların

(beyin, ağciyər, ürək) perfuziyasını qorumaq üçün periferik orqanlarda (dəri, mədə-bağırsaq sistemi, böyrək və əzələ) vazospazm baş verir (qan dövrəsinin mərkəzləşməsi və ya subtotal hipoperfuziya) (Chien, 1967). Bu mərhələdə səbəb aradan qaldırılsa qan dövrəni bərpa oluna bilər, aradan qalxmada isə dekompensasiya adlanan növbəti mərhələ başlayır. Hipoperfuziyaya məruz qalmış periferik orqanlardakı asidoz vazodilatasiyaya səbəb olur ki, bu da bir tərəfdən bu orqanlarda işemiya-reperfuziya zədələnməsinə, digər tərəfdən isə qan təzyiqini azalmasına və orqanizmin total hipoperfuziyasına gətirib çıxarır (Şəkil 4).

Nəticədə qüsurlu dövrə meydana çıxır - hipoksiya qan dövrəni zəiflədir, bu isə hipoksiyanı dərinləşdirir (Kristensen, 1994). Total hipoperfuziyanın törətdiyi hipoksiya və sellular disfunksiya bir tərəfdən kapilyar keçiriciliyinin artmasına, ekstravazasiyaya və sellular ödəmə səbəb olaraq qanın həcmi azaldır (plazmatirmə), digər tərəfdən isə ürək fəaliyyətini zəiflədir və vazodilatasiya törədir. Nəticədə həm makrohemodinamika, həm də mikro-sirkulyasiya pozulur. Mikrosirkulyasiyanın pozulması isə öz növbəsində hipoksiyanı dərinləşdirir. "Hipoksiya - hipoperfuziya" qüsurlu dövrəni davam etdikdə həm mikrosirkulyasiyada ağır dəyişikliklər (mikrosirkulyator tıxaclar), həm də hüceyrələrdə geriye dönməz pozulmalar meydana çıxır ki, bu da refrakter mərhələ kimi qiymətləndirilir (Annane et al., 2005).



Şəkil 4. Hipoperfuziya - hipoksiya qüsurlu dövrəni

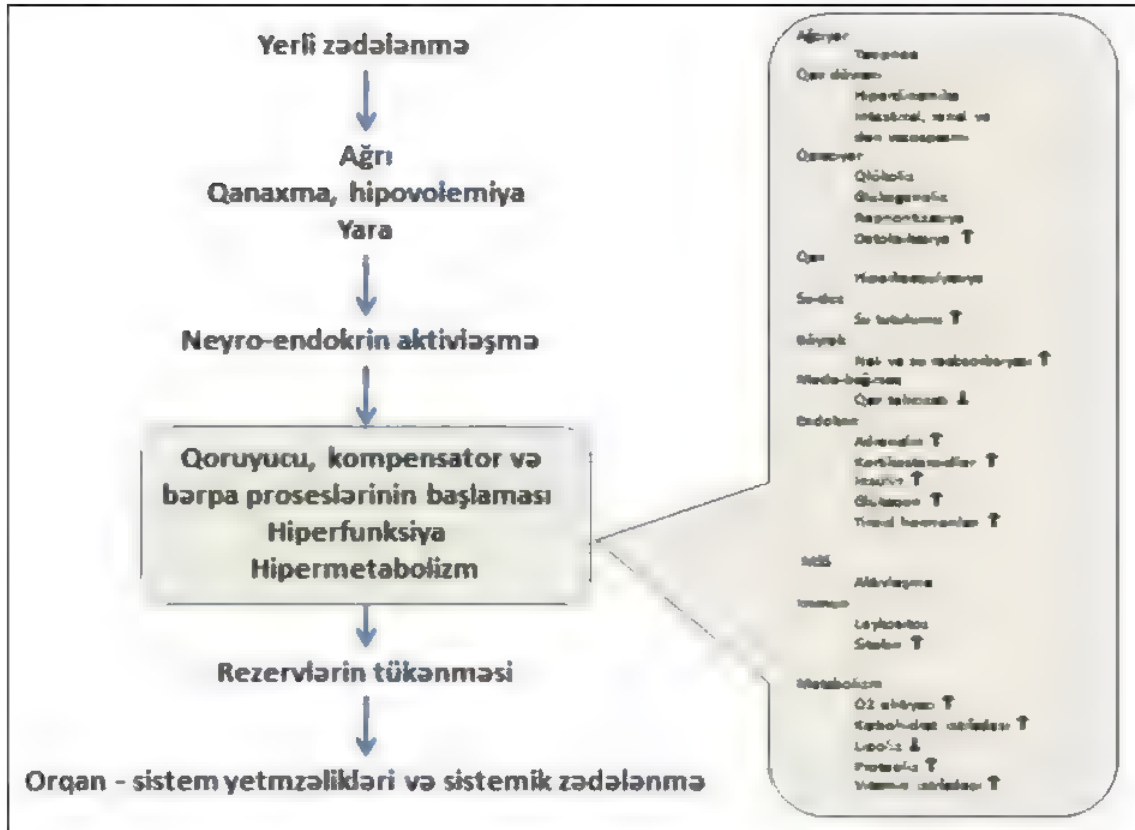
Şok nəzəriyyəsi İkinci Dünya Müharibəsindən sonra meydana çıxıb bir neçə onillik ərzində sistemik zədələyici proses kimi hakim nəzəriyyə olsa da (Singer et al., 2016), bəzi elmi-praktik problemlərin həlli baxımından tam yararlı olmadı (Shankar-Hari et al., 2016). Ancaq bu nəzəriyyə təbabət elminə çox önəmli elmi-praktik "təhfiələr" verdi. Birin-

cisi, fundamental təbabətdə yeni paradigma ortaya çıxdı: qoruyucu-kompensator reaksiya davam edərsə və ya həddini aşarsa patoloji xarakter alaraq orqanizmi zədələyə bilər. Hesab edilir ki, şok əslində orqanizmin zədələnməyə qarşı həyatqurtarma reaksiyalarından biridir və erkən mərhələdə həyatı vacib orqanların qan təchizatını qoruma xarakteri daşıyır. Lakin, vaxtında korreksiya olunmadıqda davam edərək patoloji prosesə çevrilir və orqanizmdə total sellular zədələnməyə gətirib çıxarır. İkincisi, şok nəzəriyyəsi klinik təbabətdə stabilizasiya prinsipini və bunu təmin etmək üçün hemodinamik və respirator dəstək tədbirlərini ortaya çıxardı və inkişaf etdirdi. Hemodinamik dəstək üçün infuziya və transfuziya terapiyalar, kardio- və vazotoniklər və köməkçi ürək sistemləri, oksigenoterapiya, mexaniki ventilyasiya, invaziv və qeyri-invaziv monitorizasiya və s. kimi tədbirlər ortaya çıxdı (Seymour et al., 2016).

Stress nəzəriyyəsi. Stress orqanizmin zədələnməyə ümumi səfərbərlik reaksiyası olub, zədələnmənin həyatı təhlükəsini azaltmağa, bərpa proseslərini başlatmağa və gedişinə şərait yaratmağa xidmət edir (Teodorovsky, 1972). Stress reaksiyasının əsas hərəkətverici qüvvəsi neyro-endokrin aktivləşmə hesab edilir (Goldstein and David, 2007). Klassik stress nəzəriyyəsinə görə, zədələnmə nəticəsində ağrı və qanaxma kimi amillər simpatik sinir sis-

temini və endokrin sistemi aktivləşdirir, adrenokortikotrop, kortikosteroid, adrenalin, qlukaqon kimi stress hormonlarının artmasına, kinin-kallikrein, komplement və digər humoral sistemlərin fəallaşmasına gətirib çıxarır (Şəkil 5).

Bu neyro endokrin aktivləşmə bir tərəfdən energetik substratların mobilizasiyasını (hipermetabolizm), digər tərəfdən isə həyatı vacib funksiyaların artmasını (hiperfunksiya) təşkil edərək kompensator-bərpa proseslərinin gedişini təmin edir. Nəticədə, karbohidratların (glikoliz), zülalların (zülal sintezi stress faktorlarına doğru yön dəyişdirir və itkisi artır), hətta lipidlərin katabolizmi artır, hemodinamika, oksigen ehtiyacı, respirator fəaliyyət və koaqulyasiya yüksəlir. Səbəb aradan qalxarsa neyro-endokrin reaksiya sönmür, hiperfunksiya geriliyir, bərpa və anabolik proseslər başlayır (Desborough, 2000). Lakin, stress reaksiyası davam edərsə və ya şiddəti artarsa ("həddini keçərsə") "stimulyasiya-depressiya fenomeni" ortaya çıxır - energetik və funksional rezervlər tükənir, "xaos" və ümumi zədələnmələr başlayır. Məlum oldu ki, orqanizmin cavab reaksiyasının şiddəti stimulyatorun (zədələnmənin) həcmi və müddəti ilə düz mütənəsibdir və orqanizmin rezervləri zəif olduqda funksional yetməzliliklər (disfunksiyalar) daha erkən ortaya çıxır (Giannoudis et al., 2006).



Şəkil 5. Stress nəzəriyyəsi

Stress nəzəriyyəsi sistemik zədələnmənin konkret mexanizmini ortaya çıxara bilmədi, bu zədələnmənin dolayı yolla, energetik və funksional rezervlərin tükənməsi nəticəsində meydana gələn orqan disfunksiyaları ilə bağlı olduğunu ehtimal etdirdi (şok, hipoksiya, neyro endokrin yetməzlik, yayılmış damardaxili laxtalanma və s.) (Weissman, 1990). Digər tərəfdən, anesteziya və perioperativ müalicələrlə neyro-endokrin reaksiyanın kontrol altına alınmasına və energetik təminata baxmayaraq xəstələrin hamısını sistemik zədələnmədən xilas etmək mümkün olmadı (Goldstein et al., 2007).

Bu nəzəriyyə əsasında klinik təbəttə 3 prinsipal istiqamət meydana gəldi:

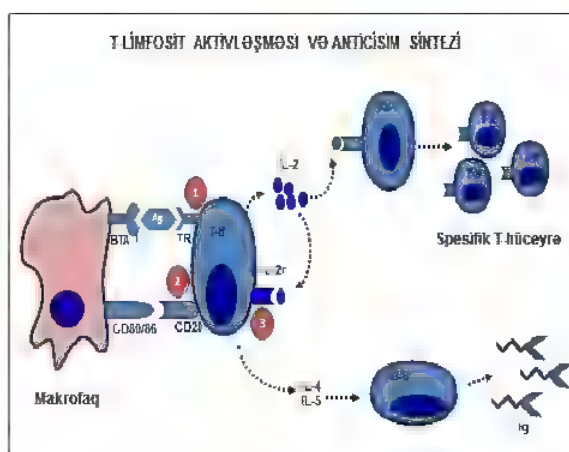
- stimulyasiyanı (zədələnməni) azaltma
- reaksiyanı azaltma
- rezervləri artırma

Stimulyasiyanı azaltma prinsipinə əsaslanaraq anesteziologiya və az invaziv cərrahiyyə inkişaf etdi. Ağrı stimulyasiyasını azaltmaq üçün yerli, regional və ümumi keyləşdirmə üsullarının təşəkkülü və bu gün də davam edən inkişafı cərrahiyyənin irəliləməsində mühüm rol oynadı (Desborough, 2000). Digər tərəfdən cərrahiyyənin təməl prinsipi “minimal zədələnmə prinsipi” ortaya çıxdı. Təbəttin əsas qanununun “zərər vermə” qanunu olduğunu nəzərə alaraq “cərrahi aqressiyanı minimuma endirmək” bugünkü cərrahiyyənin əsas prinsipi sayılır. Açıq cərrahi müdaxilələrin dəridən keçən və ya endoskopik üsullarla əvəz edilməsi, erkən bərpa proqramları (effektiv ağrıkəsicilər, drenaj və katetrlərdən minimal istifadə, erkən aktivləşdirmə və erkən qidalandırma) bu istiqamətdə atılan önəmli addımlar hesab edilə bilər (Giannoudis et al., 2006).

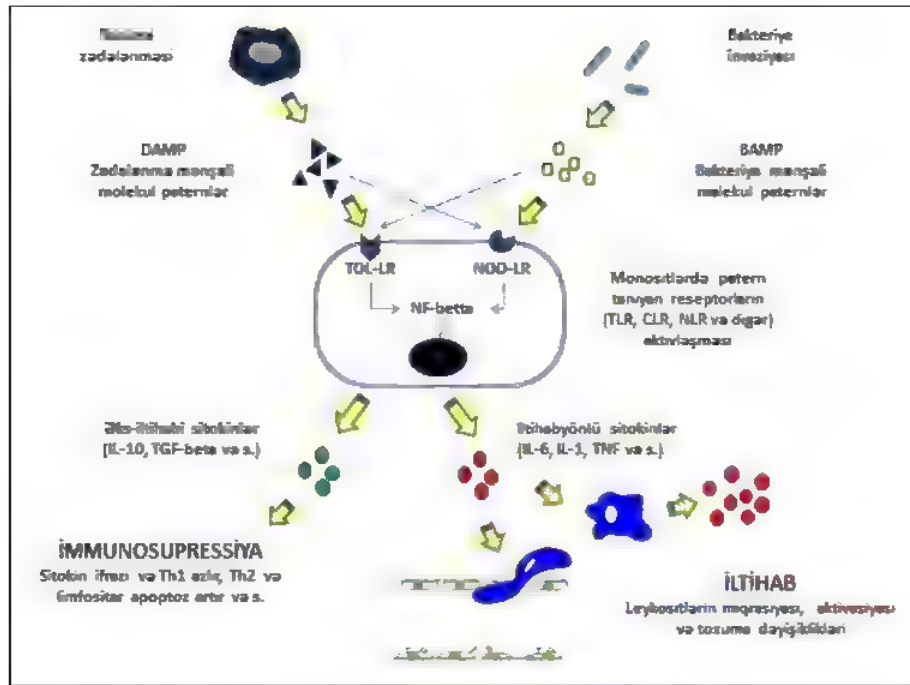
Orqanizmin funksional və energetik rezervlərinin patoloji proseslərdə önəmli roluna əsaslanaraq əməliyyat riskini və proqnozu məyyənləşdirmək üçün rezervləri qiymətləndirməyin əhəmiyyəti ortaya çıxdı, rezervləri artırmaq üçün əməliyyat önü hazırlıqların, xüsusən də qidalandırmanın vacibliyi vurğulandı (“əməliyyata yaxşı gedən, yaxşı da çıxar”) (Weissman, 1990).

Sistemik iltihabi reaksiya sindromu (SIRS) və sepsis. 1990-cı illərdən başlayaraq, lokal xəstəliyin törətdiyi sistemik dəyişikliklərdə və zədələnmələrdə aparıcı mexanizmin təbiətə iltihabi proses olduğu bildirildi və ümumi iltihab sindromu və ya sistemik iltihabi reaksiya sindromu (SIRS) və sepsis adlanan iltihabi autodestruksiya paradigmaları formalaşmağa başladı. Bundan sonra immun sistem, iltihab və iltihabi autodestruksiya çoxsaylı tədqiqatların hədəfi oldu və bir çox yeni biliklərlə yanaşı bəzi mübahisəli məsələlər də ortaya çıxdı (Alazawi et al., 2016).

Məlumdur ki, orqanizmin antigen stabilliyini təmin edən homeostatik sistem kimi qəbul edilən immun sistemin ilkin funksiyası mikrobları məhv etməkdən ibarətdir. Bundan başqa immun sistem orqanizmə daxil olan yad antigenləri rədd etmədə (orqan və toxuma köçürülməsi) və zədələnməmiş toxumaları təmizləmədə də mühüm rol oynayır. Bu sistemin iş prinsipi yad zülalları (antigenləri) spesifik anticisimlərlə (immunoqlobulinlər, T-limfositlər) birləşdirərək aradan qaldırmadan ibarətdir. Əsas komponentləri leykositlər və immunoqlobulinlər olan immun sistemin bir-biri ilə sıx əlaqəli olan iki tipi var: anadangəlmə (innat) və qazanılmış (adaptiv). Innat sistemin mühüm xüsusiyyəti antigenlə təkrar qarşılaşdıqda immun cavabın müddətinin və intensivliyinin dəyişməməsidir (yəni immun yaddaş olmur). Neytrofil, monosit-makrofaq, eozinofil, bazofil, komplement və kəskin faza zülalları (CRP, lizosim və s) innat sistemin əsas komponentləridir. Innat immun sistem yad antigenləri birbaşa olaraq bu hüceyrələrdəki spesifik reseptorların köməyi ilə tanıyır və məhv etmək üçün faqositoz, opsonizasiya və komplementar lizis kimi effektor mexanizmləri həyata keçirir. Adaptiv immun sistem xarakterik cəhəti antigenlə təkrar qarşılaşdıqda immun cavabın müddəti və ya intensivliyinin dəyişməsidir, yəni immun yaddaşın olmasıdır. Adaptiv sistemdə yad antigenlər antigen təqdim edən hüceyrələrdə işləmədən keçdikdən sonra tanınır, T-limfositlərə təqdim edilir, sonra isə bunlara qarşı spesifik sitotoksik T-limfositlər (CD8+) və ya immunoqlobulinlər hazırlanır. Spesifik anticisimlərlə yanaşı “növbəti qarşılaşmanı” tənzimləmək üçün yaddaş və requlyator (Th1, Th2, B-limfositlər) hüceyrələr də hazırlanır. Bu sistem antigeni məhv etmək üçün sitotoksikoz, antigen blokadası və faqositoz kimi effektor mexanizmlərdən istifadə edir (Şəkil 6).



Şəkil 6. Adaptiv immun cavab



Şəkil 7. İnnat immun cavab

Prinsipal fərqlərinə baxmayaraq innat və adaptiv immun sistemlər arasında sıx əlaqə vardır. Adaptiv sistem antigeni tanımaq və məhv etmək üçün innat sistemin komponentləri olan dentritik hüceyrələrdən, monositlərdən istifadə edə bilər. Digər tərəfdən innat sistem aktivləşdikdə hüceyrələrdəki antigen ekspressiyasını artıraraq adaptiv sistemi də aktivləşdirə bilər.

İltihab innat immun sistemin zədələyiciyə (mikroblar) və zədələnməyə qarşı ən effektiv reaksiyası olub, aşağıdakı 3 bioloji "vəzifəni" yerinə yetirir:

- zədələyicini məhv etmək və ya məhdudlaşdırmaq;
- zədələnmiş bölgəni nekrozdan təmizləyərək bərpa hazırlamaq;
- bərpa proseslərinə təkan vermək.

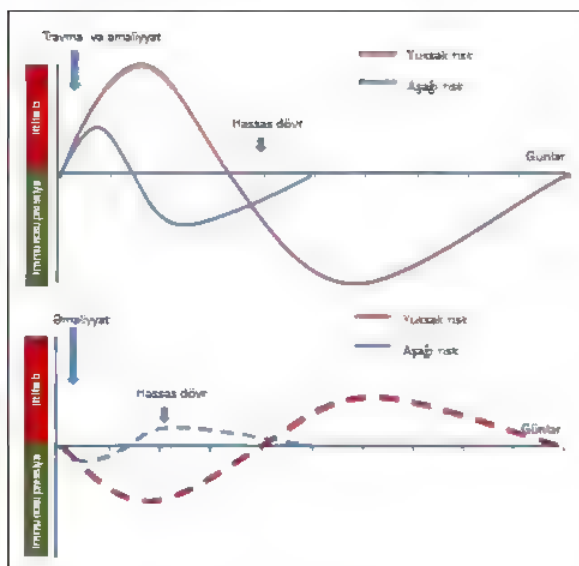
Zədələnmənin növündən və yerindən asılı olmayaraq iltihabi reaksiya eyni ardıcılıq və qanunauyğunluqla gedir: **zədələnmə və/və ya zədələyici → leykositlərin aktivləşməsi → sitokin və mediator ifrazı → humoral, damar, toxuma və ümumi dəyişikliklər** (hemostaz, vazodilatasiya, keçiriciliyin artması, ödem, nekroz, sellular disfunksiya və s.). Hesab edilir ki, mikrob və ya zədələnmiş toxuma mənşəli olan və molekulyar patternlər (matriks-lər) adlanan maddələrin leykositlərdəki (xüsusən, neytrofillərdə və makrofaqlarda) pattern tanıyan reseptorlarla birləşməsi leykositlərin aktivləşməsinə səbəb olur (Şəkil 7).

Bakteriyalara aid molekulyar patternlərə (BAMP) peptidoglikanlar, lipopolisaxarid (endotoksin), beta-galakturn, microbial DNT və RNT-lər və s. çoxsaylı maddələr aid edilir. Zədələnmə nəticəsində

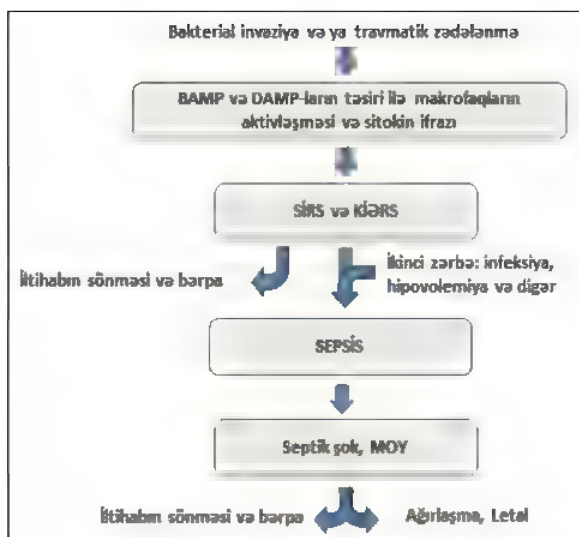
hüceyrələrdən kənara çıxan və dağılmaya aid molekulyar patternlər (DAMP) və ya alarmlar adlanan maddələrin istilik şoku proteinləri, HMG, histonlar, mitoxondrial DNT, nukleopeptidlər və s. kimi çoxsaylı nümayəndələri var. Əsasən makrofaqlarda və neytrofillərdə yerləşən çoxsaylı pattern tanıyan reseptorların (PTR) qarmağa bənzər (toll-like, TLR), düyünbənzər (node-like, NLR), C-tip lektin (CLR) və s. nümayəndələri məlumdur. DAMP və ya BAMP-ların reseptorlarla, xüsusən də monositlərdə daha çox rast gəlinən TLR4 ilə birləşməsi hüceyrədəxili siqnal sistemini işə salaraq transkripsional faktorları (NF-β, AP1, IRF3, ERK1/2 və s.) aktivləşdirir ki, bunlar da həm iltihabyönlü (İL-1, İL-6, TNF-alfa, İNF-1 və s.), həm də iltihabəleyhinə (İL-10, TGF-β, PGE2) sitokinlərin və mediatorların, hətta əlavə DAMP-ların ifrazına səbəb olurlar.

Bu ilkin sitokin ifrazı toxumada və orqanizmdə 3 qrup prosesin başlanmasına gətirib çıxarır. Bir tərəfdən, iltihabyönlü sitokinlər və yeni DAMP-lar iltihab prosesini başlatır: endotel aktivləşir, adheziv molekkullar ekspressiya olunur, bölgəyə yeni leykositlər cəlb olunur, leykositlər aktivləşir, toxuma leykositlər hücumu məruz qalır (reaktiv oksigen radikalları və peroksid zədələnməsi, leykositlər enzimləri və sellular-ekstrasellular zədələnmə, faqositoz və s.), mikrosirkulyasiya və koagulyasiya dəyişiklikləri ortaya çıxır. Digər tərəfdən qan keçən sitokinlər (TNF-alfa, İL-6, qranulosit-monosit böyümə faktoru və s.) iltihabın gedişini təmin etmək üçün sümük ilişini, qan dövranını, kəskin faza protein sintezini və energetik sistemləri aktivləşdirirlər.

Digər tərəfdən isə, makrofaqlardan ifraz olunan İL-10, transformasiyaedici böyümə faktoru (TGF-beta), prostaqlandin E2 və s. faktorlar immunosupressiyanı başladır (sitokin ifrazı azlır, Th2 limfositlər artır, Th1 azalır, limfositlər apoptoz başlayır və s.).



Şəkil 8. İltihabyönlü və iltihabəleyhinə reaksiyaların tənzimlənməsində fazalaşma (tam xəttlər) və balanslaşma konsepsiyaları (qırıq xəttlər)



Şəkil 9. Müasir SIRS və sepsis nəzəriyyəsinin sxemi

Kompensator əks-iltihabi reaksiya (KƏİRS) adlanan bu immunosupressiya iltihabi prosesin "həddini aşmasının" qarşısını alır və söndürür. Hesab edilir ki, monosit/makrofaqlar immun cavabın təşkilində və tənzimlənməsində (həm iltihabın, həm də immunosupressiyanın başlanmasında, davam etməsində və sönməsində) mərkəzi rol oynayır (Гочтишев и др., 1992).

Zədələnmə və bakterial invazyiyaya qarşı immun cavab reaksiyalarının tənzimlənməsi ilə əlaqədar iki konsepsiya var: fazalaşma və balanslaşma konsepsiyaları (Şəkil 8).

Fazalaşma konsepsiyasına görə, əvvəl stimulyasiya (iltihab) başlayır və bunun ardınca meydana gələn supressiya iltihabi söndürür. Balanslaşma konsepsiyasına görə isə, iltihabi və əks-iltihabi proseslər paralel başlayır, nəticə bu iki prosesdən hansının yüksək olmasına uyğun olaraq iltihab və ya immunosupressiya şəkilində ortaya çıxır.

Hazırkı hakim nəzəriyyəyə görə, local zədələnmənin törətdiyi sistemik dəyişikliklərdə və zədələnmələrdə immun sistemin SIRS (sistemik iltihabi reaksiya sindromu) və sepsis adlandırılan iltihabi reaksiyaları mühüm rol oynayır. SIRS innat immun sistemin zədələnməyə və zədələyiciyə qarşı həyata keçirdiyi müdafiə xarakterli sistemik reaksiyası, sepsis isə immun sistemin disfunksiyası nəticəsində meydana gələn orqan zədələnməsi kimi qəbul olunur (autodestruksiya). Bu nəzəriyyəyə görə, SIRS reaksiyasının destruktiv xarakterli sepsisə çevrilməsinin başlıca səbəbi tənzimlənmədə olan pozulmadır disrequlyasiyadır (Şəkil 9). İltihab immunosupressiya tarazlığının pozulma mexanizmi dəqiq məlum olmasa da, ehtimal olunan iki konsepsiya var: ikinci zərbə və əks-iltihabi konsepsiyalar.

İkinci zərbə konsepsiyasına görə iltihabi prosesin gedişi vaxtı əlavə zədələnmə meydana çıxarsa (məsələn, infeksiya, travma, hipovolemiya, şok və s.) immun sistemin normal SIRS reaksiyası pozulur və destruktiv xarakter alır.

İmmun disrequlyasiyanın baş verməsi ilə əlaqədar ikinci konsepsiyaya görə əks-iltihabi reaksiya adekvat olarsa SIRS-in qarşısını ala bilər, lakin həm azlığı, həm də çoxluğu SIRS-in destruktiv formaya keçməsinə gətirib çıxara bilər. Məsələn, sirrotik xəstələrdə sepsisin tez baş verməsi və ağır gətməsinin səbəbi kimi əks-iltihabi faktorların zəifliyi göstərilir.

SIRS sepsis nəzəriyyəsi sistemik zədələyici kimi orqanizmdə baş verən bir çox dəyişiklikləri izah edə bilsə də, bəzi məsələlərin həllində yetərsiz qalmaqdadır. Xüsusən, təbiətə adaptiv xarakter daşıyan bu reaksiyanın autodestruksiyaya keçməsinin dəqiq mexanizmləri məlum deyil. İnfeksiyanın qoşulmasının bu prosesdə önəmli rol oynadığı bildirilsə də, infeksiya qoşulmayan hallarda hansı mexanizmlərin rol oynadığı da dəqiq bilinmur. Digər tərəfdən, sitokinemiya və disrequlyasiya prinsipinə əsaslanaraq tətbiq edilən çoxsaylı sitokin və anti-sitokin müalicələri, iltihabəleyhinə tədbirlər sepsisin gedişində ciddi fayda verməmişdir. Bu günə qədər sepsisə yönəlmiş spesifik müalicə yoxdur və tədbirlər klassik olaraq səbəbin aradan qaldırılması və orqan dəstəyi üzərində qurulur. Bu faktlar nəzəriyyənin hələlik mükəmməl olmadığını və yeni yanaşma və biliklərə ehtiyac olduğunu göstərir.

SİRS-sepsis nəzəriyyəsi sistemik zədələyici proses kimi hələlik mükəmməl görünməsə də fundamental və klinik təbabətə bir çox faydalar gətirdi.

SİRS-sepsis nəzəriyyəsinin fundamental təbabətə gətirdiyi paradigmalardan biri stimulyasiya-supressiya ("təsir əks təsir yaradır") ideyasıdır. Şok və stress nəzəriyyələrindəki stimulyasiya-tükənmə (kompensasiya-dekompensasiya) prinsipindən fərqli olaraq SİRS nəzəriyyəsində fəaliyyətin azalması "tükənmə" nəticəsində yox, aktivləşməyə əks olan prosesin başlanması ilə əlaqədardır: immun sistemin aktivləşməsi (iltihab) ilə supressiv mexanizmlər (əks-iltihabi) işə düşür və iltihab sönür. Fazlalı və ya paralel gedən bu iki əks proses bir-birini tarazlayır, "çərçivədən çıxmanın" qarşısını alır, başqa sözlə sistem öz-özünü tənzimləyir. Bu prinsip laxtalanma sistemində də var (laxtalanma-əks-laxtalanma) və ümumilikdə insan düşüncəsindəki dualizm prinsipi ilə səsləşir. Digər bir paradigma isə, tənzimlənmənin pozulduqda zərərli prosesə - autodestruksiya çevrilməsidir ki, bu da laxtalanma ilə yanaşı oksidativ stress və digər sistemlərdə də özünü göstərməkdədir (Marshall et al., 1995).

SİRS sepsis nəzəriyyəsinin təbabətə gətirdiyi önəmli prinsiplərdən biri də odur ki, orqan disfunksiyaları olan bütün xəstələrdə sepsisi və infeksiyanı ön planda tutmaq lazımdır. SİRS-sepsis nəzəriyyəsi çərçivəsində klinik təbabətdə bir neçə yeni anlayışlar meydana çıxdı ki, bunlara, SİRS, sepsis, septik şok, orqan disfunksiyaları aid edilə bilər.

SİRS infeksiyaya və ya zədələnməyə qarşı sistemik iltihabi reaksiyası olub, adaptiv-qoruyucu xarakterli hesab edilir. Klinik olaraq 4 kriteriyadan ikisi varsa SİRS diaqnozu qoyulur (temperatur $>38^{\circ}\text{C}$ və ya $<36^{\circ}\text{C}$, taxikardiya >90 vüq/dəq, taxipnoe >20 və ya. Pa $\text{CO}_2 < 43$ kPa, leykositoz $>12 \times 10^9/\text{l}$, və ya leykopeniya $<4 \times 10^9/\text{l}$).

Əvvəllər infeksiya ilə birlikdə SİRS olduqda **sepsis** adlandırılırdı (Neviere et al., 2005). Son illər isə sepsis destruktiv proses kimi qəbul olunur və infeksiyaya qarşı immun reaksiyanın diserequlyasiyası nəticəsində meydana gələn həyatı təhlükəli orqan disfunksiyasına deyilir. Başqa sözlə, sepsis elə vəziyyətdir ki, infeksiyaya qarşı reaksiya orqanizmin özünü zədələyir. Klinik olaraq sepsis diaqnozunu qoymaq üçün iki kriteriya olmalıdır: şübhəli və ya təsdiqlənmiş infeksiya ocağı və həyatı təhlükəli orqan disfunksiyası. Orqan disfunksiyası ilkin olaraq qısa-SOFA şkalası ilə qiymətləndirilə bilər (sistolik təzyiq 100 mm Hg-dən az, şüur dəyişikliyi və ya Glasgow-13-dən az, tənəffüs sayı 22-dən çox), sonra isə SOFA şkalası ilə dəqiqləşdirilir: hər iki şkala ilə bal 2-dən çox artarsa disfunksiya qəbul edilir ki, bu letallığı 10% artırır (Vincent et al., 2016).

Septik şok sepsisin ağır formalarından biridir. Əvvəlki təriflərdə septik şok dedikdə hemodinamik

yetməzlik və infuziyanın effekti ön planda tutulurdu və infuziyon terapiyaya baxmayaraq arterial təzyiqin və hipoperfuziyanın düzəlməməsi septik şok adlandırılırdı. Hazırkı təriflərdə isə hemodinamika və infuziya ilə yanaşı sellular disfunksiya, vazopressor tətbiqi və letallığa təsir də nəzərə alınaraq aşağıdakı kimi ifadə edilir: septik şok sepsis nəticəsində meydana gələn və letallığı artıran ağır dərəcəli sirkulyator (hipoperfuziya) və sellular-metabolik disfunksiyadır. Hazırda septik şok diaqnozu aşağıdakı kriteriyalar əsasında qoyulur: sepsis əlamətləri ilə yanaşı infuziyaya cavab verməyən, vazopressor gərəkdirən hipotenziya və hiperlaktatemiya: orta arterial təzyiqi 65 mm Hg st yüksəkdə və laktatı 2 mmol/l-dən aşağı saxlamaq üçün vazopressor tətbiqi (letallıq 40%) (American College ..., 1992).

MODS -multi orqan disfunksiya sindromu 2 və daha çox orqan və sistemdə baş verən disfunksiyaya deyilir. Disfunksiya termini orqan və ya sistemin əsas funksiyasının azalması, hemostazı təmin edə bilməməsi və müdaxilə edilməsi mənasında işlədilir. Hazırda disfunksiya geriye dönmə bilən funksional pozulma kimi qiymətləndirilir, onun ağrı formaları isə yetməzlik adlandırılır (Levy et al., 2003). MODS adətən sepsisin nəticəsidir və müalicə olunmazsa letallığa səbəb ola bilər. Disfunksiyanın dərəcəsini müəyyənləşdirmək üçün çoxsaylı şkalalar var və sepsisdə özünü ən çox doğruldan SOFA klassifikasiyasıdır.

SİRS-sepsis nəzəriyyəsinin klinik təbabətə gətirdiyi önəmli faydalardan biri də ağırlıq dərəcəsinin təyin etmək üçün ən mühüm göstəricinin orqan və sistem disfunksiyası olduğunu vurğulanmasıdır (Le Gall et al., 1996). Buna əsaslanaraq SOFA, qısa-SOFA, APACHE, Marshall, Glasgow və s/ kimi orqan disfunksiyalarına əsaslanan şkalalar ortaya çıxdı.

YEKUN

Sistemik zədələyici prosesin təbiəti ilə əlaqədar klinik əhəmiyyətli nəzəriyyələri və konsepsiyaları prinsipal olaraq iki qrupda cəmləşdirmək olar. Orqan və sistemlərdə birbaşa yolla zədələnmə törətmə prinsipinə əsaslanan birinci qrupa intoksikasiya və infeksiya nəzəriyyələri aid edilə bilər. Disfunksiya və ya autodestruksiya adlanan və başlanğıcda qoruyucu-kompensator funksiyası daşıyan reaksiyaların müəyyən səbəblərdən dəyişərək zədələyici prosesə çevrilməsinə əsaslanan ikinci qrupa isə şok, stress, metabolik və SIRS-sepsis nəzəriyyələrini aid etmək olar. 20-ci əsrin ortalarına qədər ki dövrdə birbaşa zədələyici nəzəriyyələr, sonrakı dövrlərdə isə autodestruksiya nəzəriyyələri hakim olmuşdur. Bu nəzəriyyələrin əksəriyyəti sistemik zədələnməni tam izah edə bilmədi, lakin bunlara

əsaslanaraq müasir cərrahiyyənin, anesteziologiyasının və reanimasiyanın təməlini təşkil edən bir neçə fundamental və klinik müddəalar ortaya çıxdı. İntoksikasiya nəzəriyyəsi sistemik zədələnmədə humoral faktorların önəmli rol oynadığını göstərdi və buna əsaslanaraq detoksikasiya üsulları meydana çıxdı. Sistemik zədələnmənin mexanizmini qana keçən bakteriyalar və onun toksinlərinin birbaşa təsiri ilə izah edən klassik sepsis nəzəriyyəsinə əsaslanaraq antibiotikoterapiya, aseptika, antiseptika və mənbəyə nəzarət prinsipləri və tədbirləri ortaya çıxdı. Təməində hipoperfuziya bağlı hipoksik və işemik-reperfuziya zədələnməsi duran şok nəzəriyyəsinə əsaslanaraq stabilizasiya prinsipi (ilk növbədə orqanizmin oksigenasiyasını təmin etmək) formalaşdı, hemodinamik və respirator dəstək tədbirləri inkişaf etdi: infuziya və transfuziya terapiyalar, kardio- və vazotoniklər, köməkçi ürək sistemləri, oksigenoterapiya, mexaniki ventilyasiya, invaziv və qeyri-invaziv monitorizasiya və s. "Davamlı və şiddətli neyroendokrin stimulyasiya şiddətli reaksiyaya və erkən tükenməyə səbəb olur" ideyasına əsaslanan stress nəzəriyyəsinə əsaslanaraq 3 elmi-praktik istiqamət inkişaf etdi: stimulyasiyanı azaltma (keyləşdirmə, azinvaziv cərrahiyyə), reaksiyanı azaltma (neyroendokrin blok və intensiv terapiya), rezervləri artırma (perioperativ hazırlıq və qidalandırma). Son 25 ildə hakim olan SIRS-sepsis nəzəriyyəsinə görə, sistemik zədələnmənin əsasında zədələnməyə və ya zədələyiciyə qarşı immun cavabın disrequlyasiyası nəticəsində baş verən iltihabı auto-destruksiya durur. SIRS-sepsis nəzəriyyəsi əvvəlki nəzəriyyələrdən gələn prinsipləri dəstəkləməklə yanaşı, ikinci zərbədən qoruma prinsipini, sepsis və septik şokun yeni anlamını gətirdi. Lakin, immun disrequlyasiyanın korreksiyası və diffuz iltihabın aradan qaldırılması üçün spesifik tədbirlər hələki ortaya çıxmamışdır və bu sahədə fundamental və klinik tədqiqatlara böyük ehtiyac vardır.

ƏDƏBİYYAT

- Əliyev S. (2004) Patofiziologiya. Bakı: Azərbaycan nəşriyyatı, 704 s
- İsayev H.B. (2016) Cərrahi xəstəliklərin patofiziologiyası. Bakı: Müəllim, 272 s.
- Гостишев В.К., Байрамов Н.Ю., Шкроб Л.О. (1992) Закономерности реагирования иммунной системы больных с хронической гнойной инфекцией на лазерноеоблучение крови. 1-ый съезд Иммунологов и Аллергологов Азербайджана. Баку: с. 84-86.
- Давыдовский И.В. (1969) Общая патология человека. М.: Медицина, с.177-183.
- Теодореску Э.И. (1972) Общая хирургическая агрессология. Бухарест: Медиздат, с. 51-426
- Abboud F.M. (1982) Pathophysiology of hypotension and shock. In: *The Heart*. New York: p. 452.
- Alazawi W., Pirmadjid N., Lahiri R. (2016) Inflammatory and immune responses to surgery and their clinical impact. *Annals of Surgery*, 264(1): 7380
- American college of chest physician's society of critical care medicine consensus conference. definitions for sepsis and organ failure and guidelines for the use of innovative therapies in sepsis (1992) *Crit Care Med*, 20: 864
- Annane D., Bellissant E., Cavaillon J.M. (2005) Septic shock. *Lancet*, 365: 63.
- Barber A.E., Shires G.T. (1996) Cell damage after shock. *New Horiz.*, 4: 161.
- Chien S. (1967) Role of the sympathetic nervous system in hemorrhage. *Physiol. Rev.*, 47: 214.
- Desborough J.P. (2000), The stress response to trauma and surgery. *British journal of anaesthesia*, 85 (1): 109-117
- Giannoudis P., Dinopoulos H., Chalidis B., Hall G. (2006) Surgical stress response. *Injury*, 37 (Suppl 5): S3-9.
- Goldstein D.S., Kopin I.J. (2007) Evolution of concepts of stress. *The International Journal on the Biology of Stress*, 10 (2): 109-120.
- Kristensen S.R. (1994) Mechanisms of cell damage and enzyme release. *Dan. Med. Bull.*, 41: 423.
- Le Gall J., Klar J., Lemeshow S. et al. (1996) The logistic organ dysfunction system. A new way to assess organ dysfunction in the intensive care unit. *ICU Scoring Group. JAMA*, 276: 802.
- Levy M.M., Fink M.P., Marshall J.C. et al. (2003) SCCM/ESICM/ACCP/ATS/SIS International Sepsis Definitions Conference. *Crit. Care Med.*, 31: 1250.
- Marshall J.C., Cook D.J., Christou N.V. et al. (1995) Multiple organ dysfunction score: a reliable descriptor of a complex clinical outcome. *Crit. Care Med.*, 23: 1638.
- Neviere R., Manaker S., Sexton S.M., Finlay G. (2014) Pathophysiology of sepsis; May 2014.
- Robbins. Chapter 1: Cell Injury & Death (<http://www.pathologyexpert.com>).
- Opal S.M. (2010) Endotoxins and other sepsis triggers. *Contrib Nephrol. Contributions to Nephrology*, 167: 14-24.
- Raez C.R., Whitfield C. (2002) Lipopolysaccharide endotoxins. *Annu. Rev Biochem.* 71: 635-700.
- Rietschel E., Kirikae T., Schade F., Mamat U. (1994) Bacterial endotoxin: molecular relationships of structure to activity and function. *FASEB J.*, 8(2): 217-225.
- Seymour C., Liu V., Iwashyna T. et al. (2016) Assessment of clinical criteria for sepsis: for the third international consensus definitions for sepsis and septic shock (Sepsis-3). *JAMA*, 315: 762.

Shankar-Hari M., Phillips G., Levy M. et al. (2016) Developing a new definition and assessing new clinical criteria for septic shock: for the third international consensus definitions for sepsis and septic shock (Sepsis-3). *JAMA*, **315**: 775.

Singer M., Deutschman C., Seymour C. et al. (2016) The third international consensus definitions for sepsis and septic shock (Sepsis-3). *JAMA*, **315**: 801.

Vincent J., De Backer D. (2013) Circulatory shock. *N. Engl. J. Med.*, **369**: 1726

Vincent J., Moreno R., Takala J., Willatts S. et al. (2016) The SOFA (sepsis-related organ failure assessment) score to describe organ dysfunction failure. On behalf of the working group on sepsis-related problems of the European society of intensive care medicine. *Intensive Care Med.*, **22**(7): 707-710.

Weissman C. (1990) The metabolic response to stress: an overview and update. *Anesthesiology*. **73** (2): 308-327.

Системные Повреждающие Процессы - Обзор Основных Теорий Хирургии: от Интоксикации к Текущему ССВО и Сепсису

Н.Ю. Байрамов, А.А. Ибрагимова

1-я кафедра хирургических болезней Азербайджанского медицинского университета

В обзорной статье сделан подробный анализ современных источников литературы о природе процесса системного повреждения организма или о путях, которыми локальное повреждение приводит к его общему повреждению. Эти исследования являются одними из самых важных фундаментальных и клинических проблем медицины, и в частности хирургии. Также дана подробная информация о клинически важной теории и концепциях процесса системного повреждения, исследованы ответные иммунные реакции на повреждение и повреждающие факторы. Освещены проблемы, связанные с коррекцией иммунной дисрегуляции и устранением диффузного воспаления.

Ключевые слова: ССВО, интоксикация, сепсис, шок, септический шок, дисфункция, воспаление, системные повреждения

Systemic Damaging Processes – Overview Of Fundamental Theories of Surgery: From Intoxication to Current SIRS and Sepsis

N.Y. Bayramov, A.A. Ibrahimova

1 Department of Surgical Diseases, Azerbaijan Medical University

Literature resources about one of the most important fundamental and clinical problems of the medicine especially surgery, the nature of the systematic damage or the local damage leading to total damage of the organism, have been comprehensively analyzed in the review. The information on the direct damager (intoxication and infection) related to the nature of the systematic damaging process and limitations of auto-destruction theory (shock, stress, metabolic and SIRS-sepsis) and paragraphs of the clinical medicine have been presented. Special attention is paid to sepsis and diffusion inflammation, which are considered to be the dominant conceptions based on immune dysregulation.

Keywords: SIRS, intoxication, sepsis, shock, septic shock, disfunction, inflammation, systemic damages

Ağ Siçovulların Baş Beyin Strukturlarının Toxumalarında LDH və PK Fermentlərinin Fəallığının Orqanogenezdə Tətbiq Edilən Hipoksiyanın Təsir Səviyyəsindən Asılılığı

A.M. Rəşidova*, U.F. Həşimova

AMEA A.İ. Qarayev adına Fiziologiya İnstitutu, Şərifzadə küç., 78, Bakı AZ1100, Azərbaycan;

*E-mail: afag.rashidova@gmail.com

Məqalə prenatal inkişafın orqanogenez mərhələsində 5%, 10% və 12% hipoksiyanın təsirinə məruz qalmış ağ siçovulların baş beyin strukturlarında energetik mübadiləsinin LDH və PK fermentlərinin fəallığının erkən postnatal ontogenezdə və cinsi yetkinlik dövründə dəyişmə dinamikasının tədqiq etməyinə həsr olunmuşdur. Müəyyən edilmişdir ki, hər iki fermentin fəallığı hipoksiyanın təsirinə cavab olaraq etibarlı dərəcədə yüksəlir. Alınmış nəticələrin təhlili təqdim olunur.

Açar sözlər: Laktatdehidrogenaza (LDH), piruvatkinaza (PK), ağ siçovul, prenatal hipoksiya, postnatal ontogenez, baş beyin strukturları, enerji mübadiləsi

GİRİŞ

Ətraf mühitin çirklənməsinin, stress və digər xoşagəlməz amillərin təsirləri ilə əlaqədar olaraq müxtəlif xəstəliklərin sayı artmaqdadır. Bu amillər sırasında hipoksiya güclü stress faktoru kimi orqanizmə, xüsusilə də, inkişaf edən orqanizm üçün xeyli təhlükəli sayılır (Граф и др., 2008; Журавин и др., 2009). Bu baxımdan, prenatal inkişaf zamanı hipoksiyanın təsirinə məruz qaldıqdan sonra onun postnatal inkişafın müxtəlif mərhələlərində fəsadlarını aşkar etmək və yarana bilən patoloji vəziyyətin qarşısını almaq vacib bir problemdir, və tibbi praktikada aktual bir məsələ kimi olaraq qalmaqdadır (Трофимова и др., 2008).

Hipoksiyanın təsiri zamanı MSS-nin energetik mübadiləsində mühüm dəyişikliklər baş verir. Məlumdur ki, oksigenin azlığı hüceyrələrdə gedən qlükozanın tam parçalanmasına (üç karbon turşuları tsiklinə) imkan vermir və toxumalarda əmələ gələn piruvatı laktata çevirir. Bunun nəticəsində biokimyəvi proseslərin tənzimlənməsi pozulur. Baş beyin bir sıra enerji mübadiləsi fermentlərinin, o cümlədən qlikolitik tsiklin fermentləri olan piruvatkinazanın (PK; ATP: pyruvate phosphotransferase, EK 2.7.1.40) və laktatdehidrogenazanın (LDH; L-lactate: NAD oxidoreductase, EK 1.1.1.27) fəallığının kəskin prenatal hipoksiyadan sonra postnatal ontogenezin hər bir dövründə dəyişmə dinamikası enerjiasılı prosesləri pozmaqla, orqanizmi patoloji vəziyyətə gətirib çıxarır (Рашидова, 2016; Luc Pellerin and Magistretti, 2003; Mazurek et al., 2001). Bu səbəbdən, beyində enerji mübadiləsi çox yüksək səviyyədə olduğu üçün, orqanizmin fəaliyyəti ilk növbədə beyin tələblərinin təmin edilməsinə və saxlanılmasına yönəldilməlidir.

Bunları nəzərə alaraq, prenatal ontogenezin orqanogenez mərhələsində 5%, 10% və 12% hipoksi-

yaya məruz qalmış ağ siçovulların erkən postnatal ontogenezdə (17- və 30-günlük) və cinsi yetkinlik (90-günlük) dövründə baş beyin strukturlarının toxumalarında LDH və PK fermentlərinin fəallığının dəyişmə dinamikasının bir sıra göstəricilərindən müqayisəli aspektdə asılılığının öyrənilməsi və hipoksik stressdən əmələ gələn fəsadların dönrətililiyini qiymətləndirmək bu işin əsas məqsədi olmuşdur.

MATERIAL VƏ METODLAR

Tədqiqatlar Avropa elmi fondu və heyvanlara qarşı humanist münasibət haqqında Helsinki bəyanaməsinin tövsiyə etdikləri prinsip və normativ sənədlər əsasında 3 yaş dövrünə aid (17; 30- və 90-günlük) ağ siçovullar üzərində aparılmışdır. Boğaz liliğin orqanogenez mərhələsində hər gün 20 dəqiqə olmaqla 5 gün ərzində 5%, 10% və 12% oksigen, müvafiq olaraq 95%, 90% və 88% azotlu qaz qarışığı ilə xüsusi barokamerada hipoksiyaya məruz qalmış analardan alınmış balalar postnatal ontogenezin 17; 30 və 90 günlərinə çatdıqda dekapitasiya edilmişlər. Orbital, hissi hərəkəti, limbik qabıqları, hipotalamus və beyincik buz konteyneri üzərində ayrılmışdır. Baş beyin strukturlarının toxumaları 1:9 nisbətində 0,2 M tris-HCl b. (pH 7,4); 1 mM EDTA; 0,25 M saxaroza tərkibli mühitdə homogenizasiya edilmiş və 10 dəq ərzində 1000 g rejimində K-24 markalı (Almaniya) refrijeratorlu sentrifugada sentrifugalaşdırılmışdır. Alınan çöküntüdə tam dağılmamış hüceyrələr və nüvələr, toxuma qırıntıları xaric edilmişdir. Supernatant 1:20 nisbətində 0,32 M saxaroza məhlulu ilə durulaşdırılmış və təcrübələrdə istifadə olunmuşdur (Осадчая, 1999).

Kontrol-nəzarət qrupunu hipoksiyaya məruz qalmamış eyni yaşda olan heyvanlar təşkil etmişdir.

Baş beyindən differensasiya olunmuş hipotalamus, beyincik, hissi-hərəkəti, orbital və limbik qabıqlarının toxumalarında (Светухина, 1968; Pellegrino et al., 1979) LDH-nin və PK-nın ümumi və xüsusi fəallığı, zülalın miqdarı təyin olunmuşdur.

Piruvatkinaza və laktatdehidrogenaza fermentlərinin fəallığı Berqmeier-in spektrofotometrik üsulu ilə (Bergmeyer, 1973) 340 nm dalğa uzunluğunda, ümumi zülalın miqdarı Bredford üsulu ilə 0,01%-li G-250 Göy Kumassi brilliant məhlulunu istifadə edərək 595 nm dalğa uzunluğunda təyin olunmuşdur (Kruqer, 2002).

NƏTİCƏLƏR VƏ ONLARIN MÜZAKİRƏSİ

Aparığımız təcrübələrdə orqanogenez mərhələsində 5%, 10% və 12% hipoksiyaya məruz qalmış təcrübə heyvanlarından bala almışıq və həmin balaların beyində postnatal inkişafın 17, 30 və 90 günlərinə çatdıqda piruvatkinaza və laktatdehidrogenazanın fəallığını və zülalın miqdarının dinamikasını öyrənmişik. LDH və PK fermentlərin fəallığı hipotalamus, beyincik, hissi-hərəkəti, orbital və limbik qabıqlarının toxumalarında təyin edilmişdir.

Qeyd etmək istərdik ki, təcrübələrə görə 10% və 12% oksigen, müvafiq olaraq 90% və 88% azotlu qaz qarışığı ilə hipoksiyaya məruz qalmış ağ siçovullar üzərində aparılan təcrübələrin nəticələrinə əsasən demək olar ki, hər bir tədqiq olunan baş beyin strukturlarında fermentlərin fəallığının göstəricilərində hipoksiyanın faizindən asılı olan ciddi fərq izlənilməmişdir. Bu səbəbdən biz siçovulları 12% hipoksiyaya məruz qoyduqdan sonra alınan nəticələrin təhlilinə üstünlük vermişik. Təcrübələrdə alınan LDH və PK fermentlərinin dəyişmə dinamikasının göstəriciləri 2 cədvəldə öz əksini tapmışdır (Cədvəl 1 və 2).

Belə ki, 12% hipoksiyanın təsirinə məruz qalmış heyvanların baş beyin strukturlarının toxuma homogenatlarında LDH fermentinin kontrol qrup heyvanlarının ferment fəallığının göstəriciləri ilə müqayisədə əksər hallarda kəskin artması müşahidə olunur ($<0,01$; $<0,001$). Tədqiq olunan beyin strukturlarının hər birində fermentin ən yüksək göstəriciləri postnatal inkişafın 30-cu günündə qeydə alınmışdır ($<0,001$).

5% hipoksiyanın təsirinə məruz qaldıqdan sonra alınan fermentin fəallığının göstəriciləri ilə müqayisədə isə 12%-li hipoksiyanın təsiri fərqli olmuş və onlardan bir neçə dəfə yüksək olmuşlar ($<0,01$; $<0,001$). Lakin postnatal inkişafın 17-ci günündə orbital qabıqda və beyincikdə alınan göstəricilər istisna təşkil etmiş, başqa sözlə, LDH-in fəallığı aşağı düşmüşdür. Bu fərqi nisbətən etibarsız saymaq olar ($>0,05$; $<0,05$) və adı çəkilən baş beyin strukturlarının bu yaşa uyğun morfo-funksional xüsusiyyətləri ilə əlaqələndirmək olar (Cədvəl 1).

30- və 90-günlük siçovulların baş beyin strukturlarında LDH-in dinamikasında hipoksiyanın təsir səviyyəsindən asılı olaraq və kontrol göstəricilərinə nisbətən davamlı yüksəlmə müşahidə olunmuşdur. Yəni, hipoksiyanın səviyyədən asılı təsir effekti azaldıqca, fermentin fəallığı artırdı ($<0,01$; $<0,001$).

Eyni zamanda identik modeldə PK fermentinin də fəallığının dəyişməsi aşkar olunmuş və öyrənilmişdir. Aparılan tədqiqatların nəticələri göstərdi ki, orqanogenez mərhələsində 12% hipoksiyaya məruz qalmış heyvanların baş beyinin müxtəlif strukturlarının, dəqiqliklə desək, hipotalamus, beyincik, hissi-hərəkəti, orbital və limbik qabıqlarının toxumalarında PK fermentinin fəallığı dəyişilir və bu dəyişmə bir mənalı olmur.

Cədvəl 2-dən görüldüyü kimi, orbital qabıqda erkən postnatal ontogenezin 17-ci günündə PK-nın xüsusi fəallığı 10-12%-li hipoksiyanın təsirindən sonra müqayisədə həm kontrol, həm də hipoksiyanın 5%-li təsirindən sonra artmışdır. Qeyd etmək lazımdır ki, eyni mənzərə daha qabarıq şəkildə beyincikdə izlənilmişdir - burada PK-nın fəallığı kontrole nisbətən 7,5 dəfə yüksək olmuş və $1,05 \mu\text{M NADH/1 q təzə tox/1 dəq/1 mq zülal}$ təşkil etmişdir ($p<0,001$).

30-günlük siçovullarda orbital, hissi-hərəkəti, limbik qabıqlarda və hipotalamusda PK fermentinin fəallığının dinamikasında identik mənzərə müşahidə olunur. Fermentin fəallığının postnatal inkişafın 30-cu günündə baş beyin strukturlarında kontrole nisbətən kəskin artmasına baxmayaraq, beyinciğin göstəriciləri istisna təşkil etmişdir - burada 17-ci günün göstəriciləri ilə müqayisədə fermentin fəallığı nisbətən aşağı düşmüşdür və $5,62 \mu\text{M NADH/1 q təzə tox/1 dəq/1 mq zülal}$ təşkil etmişdir ($p<0,001$). Postnatal dövrü uzandıqca isə göstəricilər kontrol səviyyəsinə enməyi müşahidə olunmurdur.

90-günlük siçovullarda PK-nın xüsusi fəallığı strukturlarda aşağı düşmüş, hətta hissi-hərəkəti və limbik qabıqlarda kritik dərəcəyə çatmışdır - $1,09 \mu\text{M NADH/1 q təzə tox/1 dəq/1 mq zülal}$ və $1,6 \mu\text{M NADH/1 q təzə tox/1 dəq/1 mq zülal}$ təşkil etmişdir ($p<0,001$). Yəni, postnatal dövrü uzandıqca fermentin fəallığı azalır (Cədvəl 2).

PK fermentinin fəallığının dəyişmə dinamikasını yaş qrupundan asılılığını ümumiləşdirib qeyd etmək olar ki, 17-günlük heyvanların öyrənilən strukturlarının toxumalarında PK-nın fəallığı əsasən hər bir tədqiq olunan strukturda kontrole nisbətən təxminən 3-15 dəfə yüksəlir. 30-günlük heyvanların öyrənilən strukturlarının toxumalarında PK-fermentinin fəallığı 17-günlük heyvanlarla müqayisədə kəskin artmış, və hətta kontrol göstəricilərinə nisbətən 1,5 7,0 dəfə yüksəlmişdir. 90 günlük heyvanların tədqiq olunan strukturlarının toxumalarında isə PK fermentinin fəallığı əsasən kontrole nisbətən yüksək olmuşdur (Cədvəl 2).

Cədvəl 1. Orqanogenez mərhələsində hipoksiyaya məruz qalmış ağ siçovulların baş beyin müxtəlif strukturlarının toxumasında Laktatdehidrogenaza (LDH) fermentinin xüsusi fəallığı ($\mu\text{M NADH}$ 1 q təzə beyin toxumasının çəkisinə/1 dəq/1 mq zülalə, $\lambda=340\text{ nm}$, 25°C , $M\pm m$, p , $n=6$).

Beyin strukturları	Göstəricilər	17 gün				30 gün				90 gün			
		kontrol	təcrübə			kontrol	təcrübə			kontrol	təcrübə		
		-	5%	10%	12%	-	5%	10%	12%	-	5%	10%	12%
orbital abıq	<i>M±m</i>	0,57 ±0,03	1,75 ±0,073	0,83 ±0,079	0,79 ±0,06	0,6 ±0,04	0,98 ±0,071	1,22 ±0,084	1,28 ±0,087	0,320 ±0,028	0,356 ±0,031	3,36 ±0,31	3,37 ±0,24
	<i>p</i>		***	*	*		**	***	***		-	***	***
hissi-hərəkəti qabıq	<i>M±m</i>	0,38 ±0,027	0,53 ±0,033	0,71 ±0,062	0,78 ±0,067	0,15 ±0,01	1,14 ±0,08	1,28 ±0,095	1,31 ±0,11	0,420 ±0,036	0,510 ±0,046	2,12 ±0,19	2,38 ±0,19
	<i>p</i>		*	**	**		***	***	***		-	***	***
limbik qabıq	<i>M±m</i>	0,31 ±0,024	0,55 ±0,044	0,61 ±0,048	0,64 ±0,056	0,29 ±0,02	0,54 ±0,046	1,67 ±0,094	1,73 ±0,15	0,380 ±0,032	0,226 ±0,18	3,86 ±0,27	4,17 ±0,35
	<i>p</i>		**	**	**		**	***	***		**	***	***
hipotalamus	<i>M±m</i>	0,57 ±0,038	0,89 ±0,069	0,99 ±0,072	1,03 ±0,076	0,26 ±0,02	0,33 ±0,029	1,58 ±0,12	1,69 ±0,13	0,690 ±0,053	0,422 ±0,036	2,3 ±0,18	2,8 ±0,19
	<i>p</i>		**	**	**		-	***	***		**	***	***
beyincik	<i>M±m</i>	0,32 ±0,023	1,8 ±0,09	1,53 ±0,098	1,43 ±0,085	0,18 ±0,01	0,213 ±0,017	3,4 ±0,29	4,7 ±0,36	0,300 ±0,026	0,292 ±0,022	4,87 ±0,38	5,23 ±0,48
	<i>p</i>		***	***	***		-	***	***		-	***	***

Cədvəl 2. Orqanogenez mərhələsində hipoksiyaya məruz qalmış ağ siçovulların baş beyin müxtəlif strukturlarının toxumasında Piruvatkinaza (PK) fermentinin xüsusi fəallığı ($\mu\text{M NADH}$ 1 q təzə beyin toxumasının çəkisinə/1 dəq. 1 mq zülalə, $\lambda=340\text{ nm}$, 25°C , $M\pm m$, p , $n=6$).

Beyin strukturları	Göstəricilər	17 gün				30 gün				90 gün			
		kontrol	təcrübə			kontrol	təcrübə			kontrol	təcrübə		
		-	5%	10%	12%	-	5%	10%	12%	-	5%	10%	12%
Orbital qabıq	<i>M±m</i>	0,178 ±0,02	0,364 ±0,03	0,44 ±0,037	0,48 ±0,039	0,151 ±0,02	0,512 ±0,04	1,25 ±0,11	1,45 ±0,12	0,375 ±0,032	0,382 ±0,034	1,47 ±0,13	1,82 ±0,16
	<i>P</i>		**	***	***		***	***	***		-	***	***
hissi-hərəkəti qabıq	<i>M±m</i>	0,281 ±0,02	0,134 ±0,01	0,41 ±0,036	0,46 ±0,038	0,116 ±0,01	0,782 ±0,06	2,01 ±0,16	2,29 ±0,18	0,636 ±0,05	0,335 ±0,03	0,95 ±0,08	1,09 ±0,1
	<i>P</i>		***	*	**		***	***	***		***	**	***
limbik qabıq	<i>M±m</i>	0,208 ±0,01	0,130 ±0,01	0,39 ±0,032	0,41 ±0,03	0,174 ±0,01	0,201 ±0,02	1,03 ±0,09	1,2 ±0,11	0,719 ±0,06	0,270 ±0,02	1,43 ±0,12	1,6 ±0,13
	<i>P</i>		**	**	**		-	***	***		***	**	***
hipotalamus	<i>M±m</i>	0,214 ±0,02	0,263 ±0,02	0,89 ±0,07	0,93 ±0,07	0,136 ±0,01	0,224 ±0,02	2,02 ±0,11	2,18 ±0,13	0,868 ±0,07	0,247 ±0,02	3,52 ±0,28	3,9 ±0,34
	<i>P</i>		-	***	***		**	***	***		***	***	***
beyincik	<i>M±m</i>	0,140 ±0,01	0,682 ±0,05	0,94 ±0,08	1,05 ±0,08	0,941 ±0,07	0,148 ±0,02	5,23 ±0,31	5,62 ±0,48	0,564 ±0,05	0,211 ±0,01	2,04 ±0,17	2,23 ±0,21
	<i>P</i>		***	***	***		***	***	***		***	***	***

Yəni, hipoksiyanın təsirinə cavab olaraq postnatal dövrünün müddəti uzandıqca PK-nın fəallığının kontrol göstəricilərinə uyğun yalnız cuzi bərpə meyilliliyi müşahidə olunur. Maraqlıdır ki, müqayisədə hər iki fermentin fəallığı 30-günlük siçovulların beyin strukturlarında ən yüksək həddə olmuşdur.

Bunu belə izah etmək olar ki, postnatal inkişafın 17-ci günündə siçovulların gözləri açılma da, baş beyin formalaşması hələ yekunlaşmamışdır. Bu zaman beyin fəaliyyəti üçün az miqdarda enerji tələb olunur. İnkişafın 17-35 günlərində isə beyində neyronların miyelenməsi prosesi gedir və bu prosesə xeyli miqdarda ATF tələb olunduğu üçün bir sıra qlolikotik fermentlərin fəallaşması baş verir. Bu bizim tədqiqatlarda da sübuta yetmişdir.

Aparılan tədqiqatların nəticələri göstərdi ki, prenatal ontogenezin orqanogenez mərhələsində hipoksiyaya məruz qalmış ağ siçovulların erkən postnatal ontogenezdə (17 və 30 gün) və cinsi yetkinlik zamanı (90 gün) baş beyinin müxtəlif strukturlarının (hipotalamus, beyincik, hissi-hərəkəti, orbital və limbik qabıqlarının) toxumalarında PK fermentinin fəallığının dinamikasında əsaslı dəyişikliklər baş verir. Bu dəyişikliklər heyvanın yaşından, tədqiq olunan baş beyin strukturunun morfoloji və funksional xüsusiyyətlərindən müəyyən qədər asılıdır. PK-nın hipoksiya zamanı yüksəlməsini onun baş beyin strukturlarının sinir hüceyrələrində biosintetik və bioenergetik proseslərin tənzimi mexanizmində metabolik pozuntularının qarşısını almaq qabiliyyəti ilə izah etmək və qəbul etmək olar.

Müqayisə etdikdə görürük ki, 10% və 12% hipoksiyanın təsirinə cavab olaraq postnatal inkişafın müddəti uzandıqca PK-fəallığının kontrol göstəricilərinə uyğun bərpası əsasən müşahidə olunmur, lakin bərpaya meyillilik qismən 90-cı günə təsadüf edilir. Bunu bətdaxili orqanogenez mərhələsində hipoksiyaya məruz qalmış ağ siçovul balalarında postnatal dövrdə hipoksiyanın yaratdığı ağır və dayanıqlı fəsadların mövcudluğu ilə izah etmək olar. Bu, elmi ədəbiyyatda mövcud olan faktlarla da uzlaşır (Лукьянова, 2000; Меерсон, 1993). Yəni, təcrübə heyvanları özləri hipoksiyaya bilavasitə məruz qalmasalar da, PK-fermentinin fəallığında müşahidə olunan dəyişiklikləri analarından epigenetik, və yaxud başqa üsul ilə alındığını güman etmək olar.

LDH fermentinin fəallığının hipoksiya zamanı dəyişməsinə gəldikdə, qeyd etmək lazımdır ki, beyin toxumasının aerob mübadiləyə meyilli olmasına baxmayaraq, LDH qlikoliz prosesini anaerob şəraitində davam etdirən yeganə fermentdir. Yəni ekstremal şəraitdə baş beyin toxumalarında baş verən dəyişikliklərdə LDH-ın fəallığının artmasını onun ana eroblaşması ilə izah etmək olar. Burada LDH-ın izoferment spektrində anaerob fraksiyalarının artmasını nəzərdə tutula bilər. Qeyd etmək lazımdır ki, LDH-reaksiyaların sürət və istiqaməti, qlikolizin intensivliyi ilə üçkarbonlu turşuların tsiklində, qliko-neogenez reaksiyalarında və ya digər proseslərdə piruvatın istifadə sürəti arasında olan nisbətə göstəricisidir. Ona görə də LDH-lı reaksiya hipoksiya zamanı baş beyin toxumalarında aerob və anaerob prosesləri nisbətində baş verən dəyişiklikləri tədqiq edərək marker kimi sistem sayıla bilər.

Digər tərəfdən, orqanogenez mərhələsində hipoksiyanın mənfi təsiri qlikolizdə öz neqativ fəsadları ilə yekunlaşır. Güman etmək olar ki, bir sıra qlikolitik fermentlərini kodlaşdıran DNT zəncirinin sahələrində zədələnmə baş verir. Əgər, bu mülahizə doğru olarsa, o zaman yaranan fəsadlar dönməz olmalıdır. Bizim tədqiqatlarda, ümumiyyətlə, hipoksiyanın təsirinə cavab olaraq postnatal dövrün müddəti uzadıldıqca, 90 gün belə keçəndən sonra, laktatdehidrogenazanın fəallığının kontrol göstəricilərinə uyğun sırf bərpası, demək olar ki, müşahidə olunmamışdır. Qeyd etmək lazımdır ki, hipoksiyanın təsirinə cavab olaraq baş beyində HIF-1 zülalı (hypoxia inducible factor-1) əmələ gəlir. O, 60-dan artıq zülalı, o cümlədən qlikoliz fermentlərinin transkripsiyasının tənzimləməsində iştirak edir (Анохина и др., 2010; Semenza et al., 2006.).

Beləliklə, aparılan tədqiqatların nəticələri göstərir ki, prenatal ontogenezin orqanogenez mərhələsində 5%, 10% və 12 % oksigen, müvafiq olaraq 95%, 90% və 88% azotlu qaz qarışığı ilə hipoksiyaya məruz qalmış ağ siçovulların postnatal ontogenezdə baş beyin strukturlarının (limbik, hissi-hərəkət)

ki, orbital qabıqlarında, hipotalamus və beyincikdə) toxumalarında LDH və PK fermentlərinin ümumi və xüsusi fəallığının dəyişmə dinamikasında əsaslı dəyişikliklər baş verir. Bu dəyişikliklər heyvanın postnatal dövrünün inkişaf vaxtından, yəni yaşından, tədqiq olunan baş beyin strukturundan və fermentlərin baş beyində gedən energetik xüsusiyyətlərindən müəyyən qədər asılıdır. Alınan faktiki məlumatlar neyrokimyaya yeni informasiya verir

NƏTİCƏLƏR

1. Prenatal ontogenezin orqanogenez dövründə hipoksiyaya məruz qalmış ağ siçovulların erkən postnatal ontogenezdə və cinsi yetkinlik dövründə baş beyin strukturlarında LDH və PK fermentlərinin fəallığının dinamikasını müqayisə etdikdə görürük ki, 5%, 10% və 12%-li hipoksiyanın təsirinə cavab olaraq postnatal dövrünün müddəti uzadıldıqca onların fəallığının kontrol göstəricilərinə uyğun bərpası müşahidə olunmur.
2. Təcrübə heyvanları özləri bilavasitə hipoksiyaya məruz qalmasalarda, müşahidə olunan dəyişiklikləri analarından epigenetik, və yaxud başqa üsul ilə alındığı sübuta yetir. LDH- və PK-nın fəallığının hipoksiyanın ekspozisiyasından sonra yüksəlməsini onların baş beyin strukturlarının sinir hüceyrələrində biosintetik və bioenergetik tənzimi mexanizmində və bundan irəli gələn adaptiv-kompensator proseslərinin güclənərək metabolik pozuntuların qarşısını almaq qabiliyyəti ilə izah etmək olar.
3. Analar boğazlığın orqanogenez mərhələsində hipoksiyanın hər bir təsir səviyyəsinə məruz qaldıqda, onlardan alınan balaların baş beyin energetik mübadiləsində iştirak edən LDH və PK fermentlərinin fəallığı dəyişir və bu dəyişmə dayanıqlı olur.

ƏDƏBİYYAT

- Анохина Е.Б., Буравкова Л.Б. (2010) Механизмы регуляции транскрипционного фактора HIF при гипоксии (Обзор) *Биохимия*, **75**: 185-195.
- Граф А.В., Гончаренко Е.Н., Соколова Н.А. и др. (2008) Антенатальная гипоксия: участие в развитии патологий ЦНС в онтогенезе. *Нейрохимия*, **25(№ 1-2)**: 11-16.
- Журавин И.А., Туманова Н.Л., Васильев Д.С. (2009) Изменение адаптивных механизмов мозга в онтогенезе крыс, перенесших пренатальную гипоксию. *Доклады РАН*, **425 (№1)**: 123-125.

- Лукьянова Л.Д. (2000). Современные проблемы гипоксии. *Вест. РАМН*, №9: 3-12
- Меерсон Ф.З. (1993) Адаптационная медицина: концепция долговременной адаптации. М.: Дело, 138 с.
- Осадчая Л.М. (1999) Свободные аминокислоты нервной системы. В кн.: *Биохимия мозга*. СПб: СПбУ, с. 29-58.
- Рашидова А.М. (2016) Пренатальная гипоксия и активность пируваткиназы структур головного мозга белых крыс в постнатальном онтогенезе. *Всероссийская научная конференция с международным участием «Свободные радикалы, антиоксиданты и старение»*. Россия: Астрахань, с. 88-90.
- Светухина В.М. (1968) Цитоархитектоника новой коры мозга в отряде грызунов. *Архив анатомии, эмбриологии и гистологии*. 42(№2): 31-45.
- Трофимова Л.К., Маслова М.В., Граф А.В. и др. (2008) Влияния антенатального гипоксического стресса разной этиологии на самцов: корреляция поведенческих паттернов с изменениями активности антиоксидантной защиты и метаболизма ГАМК. *Нейрохимия*, 25(№ 1-2): 86-89.
- Bergmeyer H.U. (1973) Biochemistry information. *Methods of Enzymatic Analysis*, I: 121-122; 154-155.
- Kruger N.J. (2002) Bradford method for protein quantitation. *The protein Protocols hand-book*. 2nd ed. Ed. J.M.Walker. Totowa N.J.: Humana press Inc., p.15-21.
- Luc P., Magistretti P.J. (2003) How to balance the brain energy budget while spending glucose differently. *J. Physiology*, 546(2): 325.
- Mazurek S., Zwerschke W., Jansen-Dürr P. et al. (2001) Effects of the human papilloma virus HPV-16 E7 oncoprotein on glycolysis and glutaminolysis: role of pyruvate kinase type M2 and the glycolytic-enzyme complex. *Biochemical Journal*, 356: 247-256.
- Pellegrino S.A.P et al. (1979) Stereotaxic atlas of the rat brain. New York: Plenum Press, p. 123.
- Semenza G.L., Roth P.H., Fang H.M., Wang G.L. (2006) Transcriptional regulation of genes encoding glycolytic enzymes by hypoxia-inducible factor 1. *Journal of Experimental Biology*, 209: 3851-3861.

Зависимость Активности Ферментов ЛДГ и ПК в Тканях Структур Головного Мозга Белых Крыс от Уровня Гипоксии, Перенесенной на Стадии Органогенеза

А.М. Рашидова, У.Ф. Гашимова

Институт физиологии им. А.И.Гараева НАН Азербайджана

Статья посвящена исследованию влияния воздействия 5%, 10% и 12% гипоксии, перенесенной белыми крысами перинатально на стадии органогенеза, на динамику активности ферментов энергетического обмена ЛДГ и ПК структур головного мозга в раннем постнатальном развитии и репродуктивном периоде. Установлено, что активность указанных ферментов в ответ на воздействие гипоксии повышается. Обсуждаются полученные результаты.

Ключевые слова: Лактатдегидрогеназа (ЛДГ), пируваткиназа (ПК), белые крысы, перинатальная гипоксия, постнатальный онтогенез, структуры головного мозга, энергетический обмен

Dependence of Activity of LDH and PK in Some Brain Structures of Rats from the Hypoxia Level Endured in the Stage of Organogenesis

A.M. Rashidova, U.F. Hashimova

Institute of Physiology named after A.I.Garayev, Azerbaijan National Academy of Sciences

The aim of the article was to study the influence of 5%, 10% and 12% hypoxia endured in the stage of organogenesis on the dynamics of changes in LDH and PK activities, the enzymes of energy metabolism in the early period of post ontogenesis and reproductive period. Activities of the enzymes were found to increase under hypoxia exposure. The results obtained are being discussed.

Key words: Lactate dehydrogenase (LDH), pyruvate kinase (PK), white rats, prenatal hypoxia, postnatal ontogenesis, brain's structures, energy metabolism

Аутоиммунная Супрессия Иммунного Ответа На Конкретный Антиген

А.А. Мехтиев*, А.И. Нагиев, К.Ф. Гусейнова

Институт физиологии им. А.И. Гараева НАН Азербайджана, Шарифзаде, 78, Баку AZ1100, Азербайджан; *E-mail. arifmekht@yahoo.com

В статье приводятся результаты экспериментов по супрессии иммунного ответа на конкретный антиген с помощью аутологических антиидиотипических антител. Опыты выполнены на кроликах-самцах породы «Шиншилла». Животных иммунизировали бычьим сывороточным альбумином (БСА), из крови выделяли иммуноглобулины, методом иммуноаффинной хроматографии очищали поликлональные антитела к БСА, ферментативным путём (пепсин) их расщепляли и методом гель-хроматографии очищали F(ab)₂-фрагменты антител к БСА. Иммунизация кроликов F(ab)₂-фрагментами аутологических антител к БСА приводила к заметному ослаблению ранее выработанного иммунного ответа к БСА.

Ключевые слова: Супрессия иммунного ответа, антитела, бычий сывороточный альбумин, интерлейкин

ВВЕДЕНИЕ

Аутоиммунная природа лежит в основе целого ряда тяжёлых заболеваний, на сегодняшний день, к сожалению, не имеющих никаких иных способов лечения, кроме гормональной терапии. К таким заболеваниям относятся системная красная волчанка, проказа, аутоиммунный тиреоидит, сахарный диабет 1-го типа, детские церебральные параличи, ревматоидный полиартрит и ряд других очень тяжёлых и долго текущих патологий, зачастую завершающихся инвалидизацией больного. В основе патогенеза всех этих заболеваний лежит выраженная аутоиммунная атака на антигены собственных тканей организма-хозяина, проявляющаяся в выработке аутологических антител. В структуре иммуноглобулина G антигенную уникальность молекулы определяют F(ab)₂ фрагменты (“ab” на английском языке аббревиатура от “antigen binding”), обеспечивающие специфическое связывание молекулы иммуноглобулина с эпитопом вызвавшего иммунный ответ антигена (Пол, 1987). Исходя из сказанного, целью данного исследования являлась разработка возможности супрессии иммунного ответа на конкретный антиген путём индукции синтеза аутологических антиидиотипических антител к эпитопам F(ab)₂ фрагментов поликлональных антител, выработанных против эпитопов данного антигена.

МАТЕРИАЛЫ И МЕТОДЫ

Опыты проводили на 5 кроликах-самцах породы «Шиншилла» весом 2,0-2,5 кг. Животных иммунизировали бычьим сывороточным

альбумином (БСА) на протяжении 3 мес по следующей схеме: первые три инъекции с интервалом в 14 сут, далее 1 раз в месяц. При иммунизации подкожно вводили по 300 мкг БСА в физиологическом растворе всегда в смеси с равным объёмом полного адъюванта Фрейнда. Через 10 сут после 3-ей и последующих инъекций из краевой вены уха у кроликов забирали 50 мл крови, отделяли сыворотку и путем добавления 100%-ного раствора сульфата аммония осаждали иммуноглобулины G.

Поликлональные антитела к БСА получали методом иммунно-аффинной хроматографии путём пропускания раствора иммуноглобулинов к БСА в 0,01 М фосфатном буфере (pH 7,3) через аффинную колонку с сорбентом CNBr-сефарозы, к которому посредством ковалентных связей предварительно пришивали БСА. После нанесения иммуноглобулинов колонку отмывали 30-кратным объёмом 0,01 М фосфатного буфера и элюировали антитела 3 М раствором роданистого калия, после чего их диализовали против 0,15 М хлористого натрия в течение 6 ч, измеряли концентрацию по методу Бредфорд и хранили при температуре -70°C.

Получение F(ab)₂ фрагментов осуществляли путём ферментативного расщепления антител к БСА пепсином. Для этого антитела смешивали с пепсином в соотношении 43:1, помещали в 0,2 М раствор уксуснокислого калия (pH 3,7) и оставляли в течение ночи на водяной бане при температуре 37°C. Для контроля полноты расщепления антител пепсином их тщательно диализовали против 0,01 М фосфатного буфера и проводили электрофорез в 7,5%-ном полиакриламидном геле, в присутствии додецилсульфата натрия и с применением белков-

стандартов с известными значениями молекулярных масс

Очистку $F(ab)_2$ фрагментов антител осуществляли методом гель-хроматографии на колонке с сефадексом G-150 (1.8 X 60 см). При этом на колонку, уравновешенную 0.01 М фосфатным буфером (pH 7.2), наносили продукт ферментативного расщепления и собирали фракции. Померили концентрацию фракции $F(ab)_2$ -фрагментов антител, сконцентрировали методом ультрафильтрации и использовали для иммунизации тех же кроликов, которых ранее иммунизировали БСА. Кроликов иммунизировали $F(ab)_2$ -фрагментами всегда в смеси с равным объёмом полного адьюванта Фрейнда и забирали кровь из краевой вены уха по указанной выше схеме.

Анализ силы иммунного ответа после иммунизации БСА и уровня его супрессии в результате иммунизации $F(ab)_2$ -фрагментами собственных антител против БСА осуществляли методом твёрдофазного непрямого иммуноферментного анализа на полистироловых планшетах (Сигма, Германия). В качестве антигена использовали БСА в концентрации 20 мкг/мл в 0.1 М буфере трис-HCl (pH 8.6). Каждую пробу дублировали дважды и по завершении реакции вычисляли среднюю арифметическую. Концентрацию белка определяли по методу Бредфорд с использованием 0.01%-ного раствора Кумасси бриллиантового синего G-250, на длине волны 595 нм. В качестве первых антител использовали сыворотку кроликов, иммунизированных БСА, и сыворотку этих же кроликов после их иммунизации $F(ab)_2$ -фрагментами аутологических антител к БСА. В качестве вторых антител использовали козы противокроличьи иммуноглобулины с конъюгированной пероксидазой хрена. Визуализацию результатов реакции осуществляли с помощью субстрата пероксидазы хрена 0.05%-ного раствора ортофенилендиамина в 0.05 М цитрат фосфатном буфере (pH 4.5). Реакцию останавливали через 20 мин после добавления субстрата путем внесения в лунки по 50 мкл 3 М раствора NaOH; результаты реакции считывали на фотометре для иммуноферментного анализа "StatFax 303" ("Awareness", USA) на длине волны 492 нм (длина волны сравнения 630 нм). Результаты исследования усредняли по группам и сравнивали по *t* критерию Стьюдента.

РЕЗУЛЬТАТЫ И ОБСУЖДЕНИЕ

После иммунизации БСА у всех использованных в эксперименте кроликов методом твёр-

дофазного непрямого иммуноферментного анализа регистрировали выраженный иммунный ответ против данного антигена (Рис.). Вместе с тем, иммунизация этих же животных $F(ab)_2$ -фрагментами аутологических поликлональных антител, выработанных против БСА, приводила к существенному ингибированию иммунного ответа (Рис.).

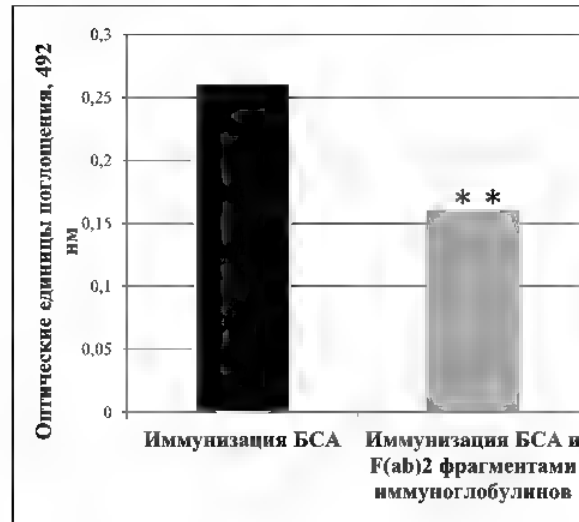


Рисунок. Влияние иммунизации кроликов $F(ab)_2$ фрагментами иммуноглобулинов к БСА на выраженность иммунного ответа против БСА. ** - $p < 0,01$

Супрессия иммунного ответа против БСА является косвенным свидетельством выработки антиидиотипических иммуноглобулинов против $F(ab)_2$ -фрагментов аутологических поликлональных антител. Такой подход позволяет осуществлять таргетную супрессию иммунного ответа против одного антигена за счёт специфического связывания антиидиотипическими антителами отдельных эпитопов уникальных $F(ab)_2$ -фрагментов поликлональных антител, выработанных против этого антигена. Вместе с тем, таргетная супрессия иммунного ответа с помощью антиидиотипических антител позволяет избежать ослабления потенциала всей иммунной системы организма, поскольку антиидиотипические антитела в иммунологическом смысле направлены только против эпитопов $F(ab)_2$ -фрагментов антител к конкретному антигену и не сенсибилизируются против Fc-фрагментов или каких-либо других эпитопов поликлональных антител, имеющих идентичную представленность в молекулах различных клонов иммуноглобулинов.

В литературе встречаются описания феномена супрессии иммунного ответа на конкретный антиген с помощью интерлейкина 10 и регуляторных Т-клеток 1-го типа (Liu et al., 2014),

антиидиотипических антител, выработанных в организме другой особи этого вида против эпитопов антител к данному антигену (гомологичные антитела; Saito et al., 1986; Rossi et al., 1989). Применение метода иммунизации аутологическими $F(ab)_2$ фрагментами поликлональных антител с целью таргетной супрессии иммунного ответа на конкретный антиген имеет преимущество перед применением с этой целью гомологичных антиидиотипических антител, поскольку последние, несмотря на принадлежность животных к одному виду, являются, в любом случае, чужеродными антигенами для организма-хозяина и служат объектами атаки и нейтрализации со стороны его иммунной системы. Вместе с тем, следует признать, что иммунизация $F(ab)_2$ -фрагментами собственных поликлональных антител может не вызвать той силы иммунного ответа в виде продукции антиидиотипических антител, которая возникает при иммунизации животных даже гомологичными антигенами в контексте полученных нами данных, $F(ab)_2$ -фрагментами поликлональных антител другого животного (Saito et al., 1986; Rossi et al., 1989). Возможно, что для усиления иммунного ответа на эпитопы аутологических $F(ab)_2$ -фрагментов антител потребуется осуществление их химической модификации.

Представленный в данной работе подход является начальным этапом исследований,

нацеленных на супрессию аутоиммунного патологического процесса, лежащего в основе различных нозологий, с помощью таргетной супрессии аутоиммунной атаки аутологическими антиидиотипическими антителами, направленными против отдельных эпитопов $F(ab)_2$ фрагментов аутоантител организма больного.

ЛИТЕРАТУРА

- Антитела. Методы** (1991) Кн. 2. Под ред. Д.Кэти. Москва: Мир.
- Пол У.** (1987) Иммунная система. Иммунология. Под ред. У.Пола. Москва: Мир, Т. 1: 14-46.
- Liu Y., Liu W., Russell M.W.** (2014) Suppression of host adaptive immune responses by *Neisseria gonorrhoeae*: role of interleukin10 and type 1 regulatory T cells. *Mucosa Immunol.*, 7(1): 65-76.
- Rossi F., Dietrich J., Kazatchrine M.D.** (1989) Antiidiotypic suppression of auto antibodies with normal polyspecific immunoglobulins. *Res. Immunol.*, 140(1): 19-31.
- Saito T., Tokuhisa T., Rayewsky K.** (1986) Induction of chronic idiotypic suppression by ligands binding to the variable (not the constant) region of the idiotypic target. *European J. Immunol.*, 16(11): 1419-1425.

Konkret Antigenə Qarşı İmmun Cavabının Autoimmun Supressiyası

A.Ə. Mehdiyev, A.İ. Nağıyev, K.F. Hüseynova

AMEA A.İ.Qarayev adına Fiziologiya İnstitutu

Məqalədə autologik antiidiotipik anticisimlərin vasitəsi ilə konkret antigenə qarşı immün cavabının supressiyası ilə bağlı eksperimentlər əks olunur. Eksperimentlər "Şinşilla" növü ada dovşanlarının üzərində aparılıb. Heyvanlar öküz zərdab albumini (ÖZA) ilə immunizə olunub, qandan immunoqlobulinlər ayrılıb, immün affın xromatoqrafiyası vasitəsi ilə ÖZA qarşı poliklonal anticisimlər təmizlənilib, enzim (pepsin) köməyi ilə onlar parçalanıb və gel-xromatoqrafiya üsulu ilə ÖZA qarşı anticisimlərin $F(ab)_2$ -fraqmentləri təmizlənilib. Ada dovşanların ÖZA qarşı autologik anticisimlərin $F(ab)_2$ -fraqmentləri ilə immunizə edilməsi, qabaqcadan yaradılmış ÖZA qarşı immün cavabının gözcəcarpan zəifləməsinə gətirib çıxarırdı.

Açar sözlər: İmmün cavabın supressiyası, anticisim, , *anmumena*, öküz zərdabı albumini, interleykin

Autoimmune Suppression of Immune Response to a Certain Antigen

A.A. Mekhtiyev, A.I. Nagiyev, K.F. Huseynova

Institute of Physiology names after A.I.Garayev, Azerbaijan National Academy of Sciences

The article concerns studies on suppression of immune response to a certain antigen with application of autologic anti-idiotypic antibodies. The experiments were carried out on the male rabbits of "Shinshilla" species. The animals were immunized with bovine serum albumin (BSA), immunoglobulins were precipitated from the blood, anti-BSA polyclonal antibodies were purified using the technique of immune affinity chromatography, they were digested with the enzyme (pepsin) and F(ab)₂-fragments of the anti-BSA antibodies were purified using the technique of gel-chromatography. Immunization of the rabbits with F(ab)₂-fragments of the anti-BSA autologic antibodies led to significant downregulation of the earlier induced immune response to BSA.

Keywords: *Suppression of immune response, antibody, bovine serum albumin, interleukin*

Öd kisəsinə Yüksək Toksikliyə Malik Peritoneal Eksudatın Yeridilməsindən Sonra Qanda Fermentlərin Qatılığının Dəyişmə Dinamikası

Q.Ş. Qarayev*, V. Fərəcli

Azərbaycan Tibb Universitetinin Elmi-Tədqiqat Mərkəzi, A. Bakıxanov küç., 23, Bakı AZ1022, Azərbaycan,
*E-mail: saglamliq2016@mail.ru

Tədqiqatın əsas məqsədi kəskin xolesistit modeli yaratmaq olmuşdur. Kəskin xolesistitin inkişafında patogen mikroorqanizmlərin və iltihabın aparıcı rolunu nəzərə alaraq biz öd kisəsinə tərkibində müxtəlif patogen mikroorqanizmlər olan və yüksək toksikliyə malik peritoneal eksudat yeritməyi məqsədəuyğun hesab etdik. Peritoneal eksudat F.F.Usikov üsulu ilə peritonit modeli yaradılmış dovşanların qarın boşluğundan götürülmüş möhtəviyyatdan Elmi-Tədqiqat Mərkəzində işlənmiş metodla hazırlanmışdır. Kəskin xolesistit model yaratmaq məqsədilə öd kisəsinə 2 ml yüksək toksikliyə malik peritoneal eksudat yeridilmişdir. Kəskin xolesistitin inkişafını izləmək üçün təcrübələrin 3,7,15 və 30-cu günlərində götürülən qanda adı çəkilən patologiya üçün xarakterik olan markerlərin o cümlədən qələvi fosfatazanın, AST, ALT, Amilaza və γ -qlütamin transferaza fermentlərinin qatılığı təyin edilmişdir. Alınmış nəticələrə əsasən müəyyən edilmişdir ki, öd kisəsinə peritoneal eksudatın yeridilməsindən sonra 15 gün müddətində qanda adı göstərilən fermentlərin qatılığı artmış, 15-ci gündən sonra isə tədricən azalmağa başlamışdır. Bunu əsas götürərək hesab edirik ki, öd kisəsinə 2 ml peritoneal eksudat yeridilməsindən sonra 15 gün müddətində kəskin xolesistit inkişaf edir və 30-cu gün artıq patoloji prosesin sönükləşməsi başlayır.

Açar sözlər: Qələvi fosfataza, AST, ALT, Amilaza, γ -qlütamin transferaza

GİRİŞ

Öd kisəsi və öd yollarınının kəskin iltihabı xəstəlikləri həzm traktının ən geniş yayılan xəstəliklərdən biri olub, müxtəlif fəsadları ilə cərrahi müdaxilənin labüdlüyünə şərait yaradır. Digər tərəfdən isə xəstəliyin cavanlar arasında artmasına meyilliliyin aşkar edilməsi bu xəstəliyi tibbin prioritet sahələrindən birinə çevrilmişdir.

Öd kisəsi və öd yollarınının kəskin iltihabı xəstəliklərinin etiologiyasına, patogenezinə, diaqnostikasına, müalicə və profilaktikasına dair çoxsaylı tədqiqatların aparılmasına və onun nəticələrinin dövrü ədəbiyyatlarda nəşr edilməsinə baxmayaraq od kisəsinin və öd yollarınının kəskin iltihabı xəstəliyin adekvat modelinin olmaması səbəbindən onun patogenezinin bir sıra məqamlarına aydınlıq gətirilməmişdir. Elə buna görə də öd kisəsi və öd yolları xəstəliklərinin müalicəsi istənilən nəticəni vermir və çox zaman cərrahi müdaxilənin tətbiqinə ehtiyac yaranır (Ахаладзе, 2003; Ильченко, 2006).

Ekspериментdə kəskin xolesistit modeli yaratmaq üçün müxtəlif metodlardan istifadə edilir ki, onların da əsasında öd axarını və öd kisəsini qidalandıran arteriyanın bağlanması durur (Дядишева и др., 2003; Мишинева и др., 2003; Мустафин и др., 2006; Рейс и др., 2011). Lakin ümumi öd axarını və onu qidalandıran arteriyanı bağlamaqla öd kisəsi və öd yolları xəstəliyi üçün xarakterik əlamətləri və inkişaf mexanizmini düzgün imitasiya etmək müm-

kün deyildir. Çünki bütün hallarda öd kisəsində iltahab yaranır və getdikcə öd kisəsi axarına doğru yönəlir və son etapda öd kisəsi axarı obliterasiya uğrayır. Digər tərəfdən öd kisəsinin axarının bağlanması onun daxilinə yeridilən *E. coli*-nin öd yollarına miqrasiyasına şərait yaratmır. Beləliklə, yaradılan modelle xəstəliyin kliniki gedişatı uyğunsuzluq təşkil edir. Ona görə də öd kisəsi və öd yollarının kəskin iltihabının adekvat modeli yaratmaq və onun əsasında inkişaf edən kəskin xolesistitin patogenezini araşdırmaq daha düzgün olardı.

Bütün bunları nəzərə alaraq biz öd kisəsinin kəskin iltihabı patologiyasını yaratmağı qarşıma məqsəd qoyduq.

TƏDQIQATIN MATERIAL VƏ METODLARI

Tədqiqatlar şinşilla cinsindən olan 26 baş dovşan üzərində aparılmışdır. Təcrübəyə götürülən heyvanlar hər iki cinsdən olub, çəkisi 2,5-3,5 kq arasında olmuşdur.

Təcrübə heyvanları 3 qrupa bölünmüşdür.

1-ci qrupa daxil olan 5 baş təcrübə heyvanlarında F.F.Usikov (1984) üsulu ilə peritonit modeli yaradılmış və ondan öd kisəsinə yeritmək üçün yüksək toksikliyə malik peritoneal eksudat hazırlanmışdır.

2-ci qrupa daxil olan 5 baş dovşan isə intakt vəziyyətində saxlanılmışdır.

3-cü qrupa daxil olan 16 dovşanda isə əsas təcrübələr aparılmış onların öd kisəsinə 2 ml yüksək toksikliyə malik peritoneal eksudat yeridilmişdir.

Təcrübələrin 3, 7, 15 və 30-cu günlərində qulaq venasından qan götürülərək qələvi fosfatazinin (QF), aspartat transaminazının (AST) və alanin transaminazlarının (ALT), γ -qlütamin transferazının (γ -QQT) qatılığı təyin edilmişdir.

Müayinələr Almaniyada Human firmasının istehsalı olan reaktiv dəstlərindən istifadə etməklə tam avtomat rejimində işləyən Bio Screen MS-2000 markalı aparat vasitəsilə icra edilmişdir.

Dovşanlarda F.F.Usikov üsulu ilə peritonit modeli yaradılmış və 72 saat sonra ondan yüksək toksikliyə malik peritoneal eksudat hazırlanmışdır. Bu məqsədlə peritonit modeli yaradılmasından 3 gün sonra sağ qalmış 4 baş dovşanda yerli keyləşdirmə yolu ilə relaparatomomiya aparılmış və möhtəviyyət elektrik sorucu vasitəsilə evakuasiya edilərək şüşə balonlara yığılmış və fizioloji məhlulla durulaşdırılmışdır. Sonra filtr kağızı vasitəsilə suzğəcdən keçirilərək şüşə balona yığılmışdır. İstifadə edilməmişdən əvvəl 3:1-ə nisbətində durulaşdırılaraq P.B.Недошвина (1972) üsulu ilə toksiklik təyin edilmiş və 5 bal sistemi ilə qiymətləndirilmişdir

0 bal - heç bir reaksiya müşahidə edilmir.

1 bal - hərəkət nisbətən zəifləyir

2 bal - hərəkət ləng olur.

3 bal - hərəkətsiz qalır.

4 bal - Maddənin vurulduğu 1-ci günün sonuna qədər ölüm baş verir.

5 bal - Maddənin vurulduğu ilk saatda ölüm baş verir.

5 bal ilə qiymətləndirilən eksudat təcrübə üçün istifadə edilmişdir.

Təcrübələrdən alınmış kəmiyyət göstəriciləri müasir dövrdə istifadə olunan metodla (Лаккин, 1990) statistik olaraq işlənmişdir. Bu zaman orta ədədi qiymət (M), orta xəta (m), mini və max. hədləri müəyyənləşdirilmişdir. Sonra qeyri parametrik üsulla Uilkokson (U) meyarından istifadə etməklə statistik dürüstlük müəyyən edilmişdir.

NƏTİCƏLƏR VƏ ONLARIN MÜZAKİRƏSİ

2-ci qrupa daxil olan təcrübə heyvanlarından götürülən qanda aparılan müayinələrin nəticələri cədvəl 1-də verilmişdir.

3-cü qrupa daxil olan təcrübə heyvanlarında aparılan müayinələr nəticəsində müəyyən edilmişdir ki, öd kisəsinə 2 ml peritoneal eksudat yeridilməsindən 3 gün sonra təcrübə heyvanlarının 37,5%-də qanda QF-nin bir o qədərində ALT-nin, 56%-də AST-nin, 94%-də amilazanın 75%-də γ -QQT-nin qatılığı normal səviyyədə qalmışdır (cədvəl 2).

Təcrübəyə götürülən heyvanların 62,5%-də QF ilə ALT-nin, 44%-də AST-nin, 6%-də amilaza ilə γ -QQT-nin qatılığı normal səviyyədən yuxarı qalxmışdır. γ -QQT-nin qatılığında paradoksal hal müşahidə edilmişdir (cədvəl 3). Təcrübəyə götürülən heyvanların 19% də qanda γ QQT nin qatılığı intakt səviyyə ilə müqayisədə aşağı düşmüşdür.

Beləliklə, bizim apardığımız təcrübələrin nəticəsi göstərir ki, öd kisəsinə yüksək toksikliyə malik peritoneal eksudatın yeridilməsi nəticəsində fermentlərin qatılığının qanda yüksək səviyyəyə qalxmasına baxmayaraq qeyd olunan artım təcrübə heyvanlarının hamısını əhatə edə bilməmişdir. AST-nin, amilazanın, γ -QQT-nin fermentləri təcrübə heyvanlarının əksəriyyətində normal səviyyəsini saxlamışdır.

Aparılan müayinələrin nəticəsində müəyyən edilmişdir ki, öd kisəsinə yeridilən yüksək toksikliyə malik eksudatın təsirindən təcrübənin 3-cü günündə qanda QF-nin qatılığı intakt vəziyyətdə olan səviyyə ilə müqayisədə 91%, ALT-nin qatılığı 113%, AST-nin qatılığı 56%, amilazanın qatılığı 11% artmışdır. γ QQT nin qatılığı isə əksinə 9% azalmışdır.

Təcrübənin 3-cü günündə alınmış kəmiyyət göstəriciləri cədvəl 3-də verilmişdir.

Buradan göründüyü kimi, yüksək toksikliyə malik peritoneal eksudatın öd kisəsinə yeridilməsi 3 gün müddətində iltihabı prosesin inkişafına səbəb olmuş və bunun sayəsində amilaza və γ -QQT-nin fermenti istisna olmaqla digər fermentlərin, o cümlədən QF-in, hər iki transaminazının qatılığı kəskin şəkildə yüksəlmişdir. Alınmış nəticəyə əsasən belə bir qənaəət gəlmək olar ki, öd kisəsinə yeridilən yüksək toksikliyə malik eksudat 3 gün müddətində qaraciyərin də fermentativ funksiyasına təsir göstərir.

Öd kisəsinə yüksək toksikliyə malik olan peritoneal eksudat köçürülməsindən 7 gün sonra öd kisəsi iltihabı ilə yanaşı patoloji prosesin qaraciyərdə də dərinləşməsi aşkar edilmişdir. Təcrübələrin nəticələrini izləyərkən aydın olmuşdur ki, qanda qələvi fosfatazının qatılığı normal olan təcrübə heyvanlarının sayı 3-cü günə müqayisədə kəskin şəkildə azalmışdır. Belə ki, qanda QF in və ALT in qatılığı normal səviyyədə olan təcrübə heyvanlarının sayı 2 başa (17%-ə) enmişdir. Qalan 10 baş (83%) dovşanlarda isə qanda QF-in qatılığı normal səviyyədən yüksək olmuşdur.

AST-nin qatılığı isə təcrübə heyvanlarının 3-də (25%-də) normal səviyyəsini saxlamışdır. 9 başda (75%) də isə normadan yüksək səviyyəyə qalxmışdır. Müəyyən edilmişdir ki, qanda normal səviyyədə qalan amilazanın qatılığıdır. Təcrübə heyvanlarının 7-dən və ya 58%-dən götürülmüş qanda amilazanın qatılığı intakt vəziyyətdə olan səviyyəni dəyişməmişdir. Yalnız 5 baş (42%) dovşandan götürülmüş qanda amilaza fermentinin qatılığı normal səviyyədən yuxarı olmuşdur.

Cədvəl 1. İntakt vəziyyətində olan dovşanlardan götürülən qanda fermentlərin qatılığı.

Sıra №	Statistik göstəricilər	Qələvi fosfataza E/L	ALT E/L	AST E/L	Amilaza	γ-qlütamin transferaza E/L
1	Min	20	1	3	28	7
2	Max	120	45	35	100	50
3	M±m	74,0±17,8	29,2±7,7	22,4±5,7	63,0±14,3	32,2±7,3

Cədvəl 2. Öd kisəsinə yüksək toksikliyə malik peritoneal eksudat yeridildikdən sonra qanda fermentlərin qatılığı normal səviyyədə qalmış təcrübə heyvanlarının sayının dinamikası.

Sıra №	Müşahidə günləri	Qələvi fosfataza	AST	ALT	Amilaza	γ-qlütamil transferaza
1	3	6 (37,5%)	6 (37,5%)	9 (56%)	15 (94%)	12 (75%)
2	7	2 (17%)	2 (17%)	3 (25%)	7 (58%)	5 (42%)
3	15	0 -	1 (12,5%)	1 (12,5%)	3 (37,5%)	2 (25%)
4	30	0 -	0 -	0 -	2 (50%)	0 -

Cədvəl 3. Öd kisəsinə yüksək toksikliyə malik peritoneal eksudat yeridilməsindən sonra qanda fermentlərin orta qatılığı.

Sıra №	Müşahidə günləri	Qələvi fosfataza	AST	ALT	Amilaza	γ-qlütamil transferaza
1	3	141,6±12,5*	62,1±8,4*	35,0±5,6**	69,9±6,4**	29,4±4,4**
2	7	197,8±18,0***	101,9±13,8****	56,6±10,0*	100,4±10,7*	44,9±5,3**
3	15	361,3±42,8***	125,0±24*	74,5±15,4*	125,6±19,3*	65,5±11,0*
4	30	350,0±69,4****	121,3±26,3****	68,5±16,6*	106,0±25,1**	80,3±8,9****

Qeyd: * - $p < 0,05$, ** - $p > 0,05$, *** - $p < 0,001$, **** - $p < 0,01$

γ-QQT fermentinin qatılığı təcrübə heyvanlarının 5-də (42%-də) normal səviyyəsini saxlamışdır. 7 başda isə (58%) normadan yuxarı qalmışdır.

Təcrübələrdən alınan kəmiyyət göstəricilərini təhlil etdikdə aydın olur ki, qanda QF-in orta qatılığı intakt vəziyyətlə müqayisədə 167%, 3-cü günə müqayisədə 71,5% artmışdır.

ALT-nin orta qatılığı intakt vəziyyətlə müqayisədə daha çox 249%, yüksəlmişdir. 3-cü günə müqayisədə isə bu artım bir o qədər də çox olmayıb 39% təşkil edir.

AST fermentinin qatılığı isə intakt vəziyyətlə müqayisədə 153%, 3 cü günə müqayisədə isə 38% artmışdır.

Yuxarıda adları göstərilən fermentlərdən fərqli olaraq qanda amilazanın və γ-QQT-nin qatılığında olan artım bir qədər mülayim xarakterli olmuşdur. Belə ki, intakt vəziyyətlə müqayisədə qanda amilazanın qatılığı 59%, γ-QQT-nin qatılığı isə 39,5% artmışdır. 3-cü günə müqayisədə elə bir ciddi fərq aşkar olunmamışdır. Qanda amilaza və γ-QQT-nin qatılığı müvafiq olaraq 30% və 22% yüksəlmişdir.

Beləliklə, aparılan təcrübələrin nəticələri göstərir ki, öd kisəsinə yüksək toksikliyə malik peritoneal eksudatın yeridilməsi, qaraciyər və od yollarında kəskin xolesistitə spesifik olan patologiya yaratmışdır.

Təcrübələrin 15-ci günü müayinələr 8 baş dovşan üzərində aparılmışdır. Onlardan götürülən qanın müayinəsindən aşağıdakı nəticələr alınmışdır.

QF-in qatılığı təcrübə heyvanlarının 100%-də normal səviyyədə yuxarı qalmışdır. ALT ilə AST-nin qatılığı isə təcrübə heyvanlarının 87,5%-də (7 başda) normal səviyyədə yuxarı qalxsa da yalnız (1 baş) təcrübə heyvanında cəmi normal səviyyəni saxlamışdır ki, bu da təcrübəyə götürülən heyvanların 12,5%-ni təşkil edir.

Digər fermentlərdən fərqli olaraq qanda amilazanın fəallığı daha az dəyişikliyə uğramışdır. Təcrübəyə götürülən heyvanların 37,5%-də (3 başda) amilazanın qatılığı normal 62,5%-də (5 başda) isə yüksək səviyyədə olmuşdur. γ-QQT-nin qatılığı isə təcrübə heyvanlarının 25% də (2 başda) normal səviyyədə qalmışdır. 75%-də isə (6 başda) onun qatılığı normal səviyyədə yuxarı qalmışdır.

Buradan göründüyü kimi öd kisəsinə yüksək toksikliyə malik peritoneal eksudatın yeridilməsinin 15-ci günü patoloji prosesin inkişafı daha qabarıq şəkildə olmuşdur. Bunun bariz nümunəsi fermentlərin qatılığı normal səviyyədə olan təcrübə heyvanlarının sayının kəskin şəkildə azalmasıdır (Cədvəl 2).

Qanda fermentlərin orta qatılığı əsasında aparılan təhlilin nəticəsi göstərmişdir ki, öd kisəsinə yüksək toksikliyə malik peritoneal eksudatın yeridilməsinin 15-ci günü artıq patoloji proses daha aydın nəzərə çarpacaq dərəcədə inkişaf etmişdir. Bunun sayəsində tədqiq etdiyimiz fermentlərin qanda normal səviyyəsini saxlayan təcrübə heyvanlarının sayı digər müşahidə günləri ilə müqayisədə xeyli azalmışdır (Cədvəl 2).

Öd kəsəsinə yüksək toksikliyə malik peritoneal eksudatın yeridilməsindən 15 gün sonra qanda tədqiq etdiyimiz fermentlərin orta qatılığı aşağıdakı qaydada dəyişmişdir.

QF-nin qatılığı intakt vəziyyətlə müqayisədə 388% ($p<0,001$), ALT nin qatılığı 328% ($p<0,05$), AST-nin qatılığı 233% ($p<0,05$), amilazanın fəallığı 99% ($p<0,01$), γ -QQT-nin qatılığı 104% artmışdır. Orta qatılığın kəmiyyət göstəriciləri cədvəl 3-də verilmişdir.

Tədqiq etdiyimiz fermentlərin dinamik artımının təhlilindən aşağıdakı nəticələr alınmışdır. Öd kəsəsinə yüksək toksikliyə malik peritoneal eksudatın yeridilməsindən 15 gün sonra qanda QF-in qatılığı 3-cü günlə müqayisədə 61%, 7-ci gündə müqayisədə isə 45% artmışdır.

ALT-nin qatılığında olan artım 3-cü günlə müqayisədə 50%, 7-ci günlə müqayisədə 18,5% təşkil etmişdir.

AST-nin qatılığının artımı 3-cü günlə müqayisədə 53%, 7-ci günlə müqayisədə isə 24%-ə bərabər olmuşdur.

Digər fermentlərdən fərqli olaraq qanda amilazanın qatılığı nisbətən az dəyişmişdir. 3-cü günlə müqayisədə 44%, 7-ci günlə müqayisədə isə 20%-dir.

γ -QQT-nin qatılığının artımı kəskin xarakter daşıyır. Qeyd olunan artım 3-cü günlə müqayisədə 55%, 7-ci günlə müqayisədə isə 31,5% təşkil edir.

Beləliklə, bizim apardığımız təcrübələrin nəticəsi göstərmişdir ki, öd kəsəsinə yüksək toksikliyə malik peritoneal eksudatın yeridilməsinin 15-ci gününü artıq patoloji proses daha aydın nəzərə çarpacaq dərəcədə inkişaf etmişdir. Ona görə də qanda fermentlərin qatılığı normal səviyyədə olan təcrübə heyvanlarının sayı digər müşahidə günləri ilə müqayisədə xeyli azalmışdır.

Öd kəsəsinə yüksək toksikliyə malik olan peritoneal eksudatın yeridilməsindən 30 gün sonra təcrübələr 4 baş dovşan üzərində aparılmışdır.

Müəyyən edilmişdir ki, amilaza fermenti istisna olmaqla qalan fermentlərin fəallığı təcrübəyə götürülən heyvanların 100% də yüksəlmişdir. Yalnız amilaza fermentinin fəallığı onlardan götürülən qanda qələvi fosfatazanın, ALT, AST-nin və γ -QQT-nin səviyyəsi isə təcrübəyə götürülən heyvanların 100%-də normadan yüksək səviyyədə olmuşdur. Lakin, adları qeyd olunan fermentlərdən fərqli olaraq amilazanın qatılığı təcrübəyə götürülən heyvanların 50%-də normal, 50%-də normadan yüksək səviyyəyə qalxmışdır.

Fermentlərin orta qatılığında olan artım aşağıdakı qaydada olmuşdur.

Qanda QF nin qatılığı intakt vəziyyəti ilə müqayisədə 373% yüksəlmişdir ($p<0,01$). ALT və AST-nin qatılıqları isə intakt vəziyyətlə müqayisədə müvafiq olaraq 315% və 206% artmışdır.

Amilaza və γ -QQT-nin orta qatılığı intakt vəziyyətlə müqayisədə müvafiq olaraq 68% və 149% yüksəlmişdir.

Buradan göründüyü kimi, təcrübənin 30-cu günündə intakt vəziyyətlə müqayisədə ən az artım amilaza fermentinin qatılığında baş vermişdir.

Təcrübələrin sonuncu günündə əvvəlki günlərlə müqayisədə aşağıdakı dəyişikliklər aşkar edilmişdir.

Müəyyən edilmişdir ki, təcrübənin 3-cü günü ilə müqayisədə qanda QF-in qatılığı 59,5%, ALT və AST-nin qatılığı 49%, amilazanın qatılığı 34% γ -QQT-nin qatılığı 63% artmışdır.

7-ci günlə müqayisədə QF-nin qatılığı 43,5%, ALT-nin qatılığı 16%, AST-nin qatılığı 17%, amilazanın qatılığı 5%, γ -QQT-nin qatılığı isə 44% yüksəlmişdir. Lakin 15-ci günlə müqayisədə fərqli nəticələr müşahidə edilmişdir. Qanda QF ilə ALT-nin qatılığı 3%, AST-nin qatılığı 9%, amilazanın qatılığı 18,5%, γ -QQT-nin qatılığı 18% azalmışdır.

Alınmış nəticələrin təhlili sübut edir ki, öd kəsəsinə yüksək toksikliyə malik eksudat yeritdikdə 15 gün müddətində qaraciyər və öd yollarında patoloji proses intensiv şəkildə inkişaf edir. Lakin 15-ci gündən başlayaraq patoloji prosesin inkişafı bərpa prosesi ilə əvəz olunur. Fermentlərin qatılığının dəyişmə dinamikası kəskin xolesistitə oxşar olduğunu əsas tutaraq hesab edirik ki, öd kəsəsinə 2 ml yüksək toksikliyə malik peritoneal eksudat yeritməklə kəskin xolesistit modeli yaratmaq olar.

ƏDƏBİYYAT

- Ахаладзе Г.Г. (2003) Гнойный холангит: вопросы патофизиологии и лечения. *Инфекция в хирургии*, №4: 10-12.
- Дядищева И.М., Мишнев О.Д., Щеголев А.И. (2003) Морфометрическая характеристика ацинусов печени собак при остром холецистите. *Бюллетень экспериментальной биологии и медицины*, №3: 353-356.
- Ильченко А.А. (2006) Заболевания желчного пузыря и желчных путей. *Руководство для врачей*. М.: Анахарсис, 44с.
- Лакин Г.Ф. (1990) Биометрия М.: Высшая школа, 352 с.
- Мишнев О.Д., Дядищева И.М., Сергеева И.М. и др. (2003) Структурно-метаболическая характеристика ацинусов печени собак при остром холецистите. *Бюллетень экспериментальной биологии и медицины*, №2: 223-226.
- Мустафин Т.И., Тимербуланов М.В., Габулдин З.Г. и др. (2006) Способ моделирования острого холецистита у собак. *Номер заявки*: 103524/14. Дата регист. 06.02.2006

Недошвина Р.В. (1972) Изучения токсичности крови обожженных собак методом биотестированной мышцах с блокированной РЕС. *Патолог. физиология*, №2: 39-42.

Рейс Б.А., Полузтков В.Л. Норка А.Е. и др. (2011) Способ моделирования острого гангрез

ного холецистита. *Номер заявки: 2011111483/14. Дата регистр. 25.03.2011.*

Усиков Ф.Ф. (984) Хирургическая модель острого гнойного перитонита. *Хирургия*, №8: 127-130

Динамика Изменения Концентрации Ферментов В Крови После Инъекции В Желчный Пузырь Высокотоксичного Перитонеального Экссудата

Г.Ш. Гараев, В. Фараджли

Научно-исследовательский центр Азербайджанского медицинского университета

Цель исследования состояла в том, чтобы создать модель острого холецистита. На основании главной роли патогенных микроорганизмов в воспалении и развитии острого холецистита, мы вводили в желчный пузырь перитонеальный экссудат, который содержал различные высокотоксичные патогенные микроорганизмы. Перитонеальный экссудат был подготовлен в научно-исследовательском центре и был взят из жидкости брюшной полости кроликов методом Ф.Ф. Усикова. Для установления модели в желчный пузырь было введено 2 мл высокотоксичного перитонеального экссудата. С целью наблюдения за развитием острого холецистита, на 3, 7, 15 и 30 дни исследования в крови определялись концентрации специфических маркеров, в том числе, щелочной фосфатазы, АСТ, АЛТ, амилазы и γ -глутамилтрансферазы. Полученные результаты показали, что после инъекции перитонеального экссудата концентрация указанных ферментов в течении 15 дней увеличивалась, после чего наблюдалось постепенное снижение. Основываясь на этой информации, мы предполагаем, что в течение 15 дней после инъекции 2 мл перитонеального экссудата в желчном пузыре развивается острый холецистит и на 30-й день скорость патологических процессов уменьшается.

Ключевые слова: *Модель острого холецистита, щелочная фосфатаза, АСТ, АЛТ, амилаза и γ -глутамилтрансфераза*

The Dynamics Of Enzyme Concentration Changes In Blood After Injection Of Highly Toxic Peritoneal Exudate To The Gallbladder

G.Sh. Garayev, V. Farajli

Research Center of Azerbaijan Medical University

The main purpose of the study was to create an acute cholecystitis model. Based on the main role of pathogenic microorganisms and inflammation in developing of acute cholecystitis, we injected peritoneal exudate, which contained different pathogenic microorganisms and had very high toxicity, into the gallbladder. The peritoneal exudates were prepared in the Research Centre and isolated from the fluid of abdominal cavity of rabbits by the method of F.F.Usikov. To establish the model, 2 ml of highly toxic peritoneal exudate was injected into the gallbladder. To observe the development of acute cholecystitis, on the 3, 7, 15 and 30 days of the study the concentration of specific markers in the blood and also the concentration of alkaline phosphatase, AST, ALT, amylase and γ -glutamyltransferase enzymes were checked. The received results showed that on the 15th day after injection of peritoneal exudate, the concentration of mentioned enzymes increased and then gradually decreased. Based on this information, we suggest that on the 15th day after injection of 2 ml peritoneal exudate into the gallbladder acute cholecystitis was developed and on the 30th day the speed of pathological processes decreased.

Keywords: *Acute cholecystitis model, alkaline phosphatase, AST, ALT, amylase, γ -glutamyltransferase*

Особенности Системы Гемостаза У Беременных С Аутоиммунным Тиреоидитом

А.Ю. Щербаков, Т.А. Меликова*

Харьковская медицинская академия последипломного образования, ул. Амосова, 58, г. Харьков 61176, Украина; *E-mail: melikova.tanya88@mail.ru

Исследованы особенности системы гемостаза у 119 беременных с аутоиммунным тиреоидитом, с различной степенью нарушения функции щитовидной железы. Данные исследований указывают на то, что у беременных с патологией щитовидной железы происходит патологическая активация системы гемостаза, которая является одной из причин акушерских и перинатальных осложнений. Она проявляется у беременных с гипотиреозом в виде хронического синдрома ДВС крови, у беременных с гипертиреозом в виде субклинической формы синдрома ДВС крови. Для беременных с эутиреозом характерна структурная гипокоагуляция.

Ключевые слова: Гемостаз, беременность, факторы свертывания, коагуляция, аутоиммунный тиреоидит

ВВЕДЕНИЕ

Важную роль в поддержании нормальной деятельности фетоплацентарного комплекса играет система гемостаза. Изменения в системе гемостаза беременной в сторону гиперкоагуляции являются физиологическими и связаны с появлением маточно-плацентарного круга кровообращения (Щербаков и др., 2012).

Согласно современным представлениям, возникновение осложнений в маточно-плацентарном бассейне при беременности является частой причиной развития первичной плацентарной недостаточности, тяжелых форм позднего гестоза, привычного невынашивания беременности (Щербаков и др., 2012; Кузьмин, 2011).

Очевидно, что исследование характера нарушений гемостаза при беременности и разработка методов своевременной коррекции будет профилактикой многих акушерских заболеваний (Дубосарская 2008; Грищенко, Ткачев, 2003; Татарчук, Сольский, 2002).

В акушерстве нарушение свертывания крови тромбгеморрагического характера развивается при многих осложнениях гестационного процесса, в основе которых лежат процессы патологической активации внутрисосудистого свертывания крови, типичные проявления декомпенсации гемостазиологической функции крови могут реализовываться в родах. Тромботические проявления нарушений гемостазиологической функции, как правило, имеют незначительные доклинические признаки, а характер реологических нарушений не всегда однороден в связи с особенностями адаптивных изменений

в системе гемостаза, развивающихся на фоне прогрессирования беременности и влияющих на них осложнений гестации (Соловьев и др., 2012; Мамаев, 2014).

Гормональные и метаболические нарушения, которые развиваются у беременных с аутоиммунным тиреоидитом (АИТ), непосредственно влияют на состояние разных органов и систем, в том числе и на состояние системы гемостаза (Соловьев и др., 2012; Медяникова, 2014).

Цель работы: Изучить особенности системы гемостаза у беременных с АИТ.

МАТЕРИАЛЫ И МЕТОДЫ

Обследовано 119 беременных женщин с патологией щитовидной железы (ЩЖ), из них I группу составили 46 женщин с диагнозом эутиреоз, как форма АИТ, во II группу вошли 39 беременных с диагнозом гипотиреоз, как исход АИТ, в III группе 34 женщины с аутоиммунным гипертиреозом во время настоящей беременности. Контрольную группу составили 30 здоровых женщин.

Обследование беременных проводилось в соответствии с Приказом МОЗ Украины №977 от 27.12.2011 «Об утверждении клинических протоколов по акушерской и гинекологической помощи».

Состояние сосудисто-тромбоцитарного гемостаза оценивали по количеству тромбоцитов (Т), индексу спонтанной агрегации тромбоцитов (ИСАТ) и патологической активации тромбоцитов (ПАТ). Об общем коагуляционном потенциале крови свидетельствовали: время рекальци-

фикации плазмы (ВР), протромбиновое время (ПТВ), тромбиновое время (ТВ), активированное частичное тромбопластиновое время (АЧТВ), которые определяли с помощью наборов реактивов научно-производственной фирмы "Simko LTD" (Львов). С помощью реактивов этой же фирмы проводилось определение фибринолитической активности плазмы крови, а именно: потенциальная активность плазмينا (ПАП), ферментативная фибринолитическая активность (ФФА), Хагеман-зависимый фибринолиз (ХЗФ), исследовали концентрацию фибриногена (ФГ). Анализировали концентрацию растворимых комплексов мономеров фибрина (РКФМ) и уровень продукта деградации фибрина (ПДФФ). Определение антитромбина III (АТ-III) в плазме проводили путем инкубации разведенной цитратной плазмы со стандартным количеством тромбина (часть тромбина при этом связывалась с АТ-III), затем во время свертывания фибриногена определяли остаточную активность тромбина (Назаренко, 2011).

Статистическая обработка результатов исследования проводилась в созданной базе на основе компьютерной программы SPSS (v. 13.0) Standard Version и Statistic v.6.0 (Stat.Soft.Inc., США). Статистическую значимость изменений в клинических исследованиях определяли с помощью параметрических критериев Стьюдента и Фишера. Проводили расчеты средней арифметической (М), ошибки средней арифметической (m) по общепринятым формулам. Критерием достоверности считали Р, равную или большую 95%, риск ошибки меньше 5%, а в долях единицы 0,05 и меньше ($P < 0,05$) (Минцер, 2010).

РЕЗУЛЬТАТЫ И ОБСУЖДЕНИЕ

Одной из задач данного исследования было выявление общих закономерностей функционирования системы гемостаза у беременных с АИТ.

Характеристика общего коагуляционного потенциала крови у обследованных беременных с АИТ в первом триместре приведена в таблице 1.

ВР, которое характеризует внутренний путь свертывания крови, имело слабую тенденцию к снижению у беременных с гипотиреозом и гипертиреозом и повышалось у беременных с эутиреозом в сравнении с контрольной группой. Практически не изменялось у этих беременных ПТВ, которое отражает активность факторов внешнего пути свертывания крови. ТВ показатель, позволяющий оценить конечный этап процесса свертывания крови, он находился в пределах нормы у всей основной группы. АЧТВ параметр, который показывает время необходимое для полного свертывания крови и образования кровяного сгустка, уменьшалось у беременных II и III групп, а в I группе оставалось в норме в сравнении с контрольной.

При исследовании главного компонента противосвертывающей системы АТ-III, мы наблюдали достоверное его снижение во II и III группах и повышение у пациенток I группы. Анализ полученных данных показал, что у беременных с эутиреозом наблюдалось незначительное снижение общего коагуляционного потенциала, а у беременных с гипотиреозом и аутоиммунным гипертиреозом он был немного повышен.

Характеристика общего коагуляционного потенциала у обследованных беременных во II триместре приведена в таблице 2. Как видно из данных таблицы 2, ВР у беременных с АИТ во II триместре имело продолжение тенденции укорочения времени, за исключением первой группы. ТВ достоверно снижалось в сравнении с контролем у пациенток II и III групп и оставалось в норме беременных I группы. ПТВ сокращалось во всей группе обследуемых. АЧТВ было достоверно укорочено у беременных II и III групп и увеличено у пациенток I группы в сравнении с контролем.

Таблица 1. Характеристика общего коагуляционного потенциала у обследованных беременных в I триместре

Группы обследованных	ВР, сек	ПТВ, сек	ТВ, сек	АЧТВ, сек	АТ-III, %
I группа (n=46)	95,85±3,50	23,05±1,16	16,72±1,10*	20,94±1,52	84,93±2,14
II группа (n=39)	90,82±1,15	22,40±1,20	16,36±1,20*	18,10±1,84*	75,12±2,20
III группа (n=34)	89,15±1,66	22,80±1,16	15,45±1,33*	16,86±1,53*	73,25±2,15*
IV группа (n=30)	92,75±3,74	22,10±0,75	14,85±0,80	21,76±2,43	80,74±2,63

Примечание: * - $P < 0,05$ в сравнении со здоровыми беременными

Таблица 2. Характеристика общего коагуляционного потенциала у обследованных беременных во II триместре

Группы обследованных женщин	ВР, сек	ПТВ, сек	ТВ, сек	АЧТВ, сек	АТ-III, %
I группа, (n=46)	93,25±2,05	19,61±0,53	15,02±1,38	44,21±1,70*	79,53±0,10
II группа, (n=39)	86,43±3,01	18,94±1,45	13,45±0,65	30,04±1,17*	72,18±1,36*
III группа, (n=34)	87,76±2,85	17,04±1,80*	12,84±0,50*	32,21±1,63*	71,12±1,80*
IV группа, (n=30)	91,80±1,60	22,14±2,04	15,65±1,20	39,52±1,50	78,25±2,01

Примечание: * - $P < 0,05$ в сравнении со здоровыми беременными

Таблица 3. Характеристика общего коагуляционного потенциала у обследованных беременных в III триместре

Группы обследованных женщин	ВР, сек	ПТВ, сек	ТВ, сек	АЧТВ, сек	АТ-III, %
I группа, (n=46)	90,43±3,60*	17,01±1,53	12,14±0,95*	38,50±1,70*	77,63±2,50
II группа, (n=39)	78,1±3,15*	18,05±1,37	11,47±0,93*	27,83±1,63	68,34±2,70*
III группа, (n=34)	81,26±3,90*	18,60±1,44	15,48±0,74	30,07±0,42	65,73±2,50*
IV группа, (n=30)	88,20±4,20	18,75±1,65	17,43±1,04	32,80±1,76	76,35±2,05

Примечание * $P < 0,05$ в сравнении со здоровыми беременными

Таблица 4. Характеристика фибриналитической системы.

Группы обследованных	Триместры беременности	ПАП, мин	ФФА, Е440/мл/час	АП, %	ФГ, г/л	ХЗФ, мин
I группа, (n=46)	I	18,01±1,05	5,82±0,43	89,55±3,01*	2,68±0,14	22,17±1,12
	II	18,90±1,12	4,74±0,27*	88,86±3,12*	2,85±0,15	22,49±1,11
	III	21,39±1,20	3,90±0,39*	99,46±4,05*	3,01±0,08	24,75±1,15
II группа, (n=39)	I	17,91±1,04	8,14±0,62*	104,35±2,98*	3,88±0,32*	19,26±1,05
	II	17,46±1,06	9,03±0,70	114,66±3,15*	4,11±0,25*	18,97±1,07*
	III	20,83±1,01	8,56±0,25	117,27±4,01*	3,98±0,22*	14,73±1,04*
III группа, (n=34)	I	20,02±1,41*	7,01±1,12	118,95±2,99*	3,91±0,14*	18,51±1,03*
	II	20,06±1,45	7,75±0,75	111,06±2,78	3,70±0,13	19,80±1,01*
	III	21,95±1,33	7,98±0,44	115,39±2,80*	3,89±0,11*	22,94±1,04
IV группа, (n=30)	I	18,02±1,03	6,98±0,75	98,45±2,03	2,78±0,19	21,38±1,07
	II	18,94±1,12	7,81±0,67	108,96±2,02	3,25±0,24	22,14±1,42
	III	22,79±1,06	7,58±0,83	109,63±2,21	2,87±0,35	23,90±1,34

Примечание: * - $P < 0,05$ в сравнении с контрольной группой.

Исследование АТ III показало достоверное его снижение у пациенток II и III групп и норму у беременных I группы в отношении к контрольной группе.

Полученные данные свидетельствуют о явном повышении коагуляционного потенциала у беременных II и III групп с АИТ во II триместре. У беременных с эутиреозом отмечено некоторое снижение коагуляционного потенциала.

Аналогичные данные для беременных с патологией ЩЖ в III триместре приведены в таблице 3. Как видно из данных таблицы 3, обращает на себя внимание достоверное, в сравнении со здоровыми беременными, снижение ВР у пациенток II и III групп и повышение ВР у пациенток I группы. ПТВ у обследованных беременных в сравнении с контрольной группой оставалось практически в тех же пределах, что и во II триместре. Более выраженная активация фибриногенеза наблюдалась у беременных во II и III группах, о чем свидетельствует укорочение ТВ в 1,4-1,5 раз в сравнении с контрольной группой. Показатели АЧТВ постепенно уменьшались у беременных II и III групп и повышались у пациенток I группы в сравнении с контрольной.

Аналогичные изменения происходили и с активностью АТ-III, снижение показателей которого отмечено у пациенток II и III групп и нормальный уровень у пациенток I группы.

Выявленные изменения общего коагуляционного потенциала у беременных с АИТ позволяют допустить, что в третьем триместре у обследованных беременных с гипотиреозом (II

группа) и гипертиреозом (III группа) развивается гиперкоагуляция, которая связана с повышением общей активности свертывания крови. Главное звено нарушений в системе регуляции агрегатного состояния крови в третьем триместре у беременных I группы, где мы наблюдаем гипокоагуляцию, может относиться к изменению противосвертывающей системы.

При исследовании сосудисто-тромбоцитарного звена гемостаза выявили, что во всех триместрах гестационного периода наблюдалось нарастание ICAT у беременных в III группе: в первом триместре 16,93±0,95ед., во втором 18,42±1,94 ед., в третьем 20,10±3,94ед. У беременных I группы этот показатель снижался в первом и втором триместрах 12,75±0,96ед. и 13,92±1,36ед. соответственно; в третьем триместре равнялся 11,03±1,36ед. У женщин с гипотиреозом данные незначительно отличались от контрольной группы: I триместр 13,45±0,78 ед., во втором 14,25±1,87 ед., в III - 14,65±0,96 ед.; в IV группе - 15,01±0,98 ед.; 15,90±1,35 ед. и 15,76±0,82 ед., соответственно.

Нами также была выявлена значительная патологическая активация тромбоцитов (ПАТ) у беременных II и III групп и снижение активности у пациенток I группы в сравнении с контрольной.

Результаты анализа показателей фибриналитической системы крови у обследованных женщин следующие: у беременных II и III групп, отмечалось увеличение ФГ в плазме крови во всех триместрах ($P < 0,05$) в сравнении с контролем. У пациенток I группы отмечено

снижение концентрации ФГ в первом и втором триместре и повышение - в третьем триместре беременности, в сравнении с контрольной группой ($P < 0,05$).

ПАП у всех обследованных беременных практически не отличался от соответствующего показателя контрольной группы.

Постепенное угнетение ХЗФ достигало степени достоверности только у беременных II и III групп. В I группе ХЗФ был немного выше в сравнении с аналогичными показателями контрольной группы. По мере прогрессирования беременности ФФА у пациенток II и III групп превышал данные контроля в 1,5-2 раза ($P < 0,05$), у беременных I группы было зарегистрировано снижение ФФА.

Как видно из данных табл. 4, в I триместре беременности антиплазмин (АП) увеличивался у беременных II группы на 15,9%, в III группе на 12,5% и в I группе этот показатель снижался на 10,15% в сравнении с контролем ($P < 0,05$). Во II триместре АП повышался во II группе на 20,1%, в III группе на 10,7% и снижался на 20,1% в I группе в сравнении с контролем ($P < 0,05$). В III триместре также наблюдалось повышение АП во II и III группах и снижение в I группе, как за счет быстросействующих антиплазминов, так и за счет медленнодействующих. Полученные результаты исследования антиплазминового потенциала крови свидетельствуют об активации антиплазминовой системы у беременных II и III групп и угнетении в I группе.

Можно сделать вывод, что первопричина роста потенциала гемокоагуляции с развитием хронического синдрома внутрисосудистого свертывания крови у беременных II и III групп в трех триместрах беременности связана с нарушениями в системе сосудисто-тромбоцитарного гемостаза.

У беременных I группы отмечалась незначительная хронометрическая гипокоагуляция, которая сочеталась со структурной гипокоагуляцией, что, возможно, было вызвано активацией противовоспалительных механизмов, а также активацией тканевого неферментного фибринолиза и ослаблением тромбоцитарного гемостаза, что согласуется с данными литературы (Маринкин, 2011).

При исследовании внутрисосудистой гемокоагуляции у обследованных беременных были получены следующие результаты: во всех триместрах у беременных II и III групп концентрация в крови РКФМ повышалась в сравнении с контрольной группой: в первом триместре $16,45 \pm 1,33$ мкг/мл во II группе, $16,80 \pm 1,75$ мкг/мл в III группе и $14,85 \pm 0,16$ мкг/мл в

контрольной. Во втором триместре $35,04 \pm 2,63$ мкг/мл во II группе, $35,19 \pm 2,82$ мкг/мл в III группе, $28,37 \pm 1,65$ мкг/мл в контрольной. В третьем триместре $32,21 \pm 1,79$ мкг/мл во II группе, $34,23 \pm 1,96$ мкг/мл в III группе и $28,95 \pm 1,54$ мкг/мл в контрольной ($P < 0,05$). У беременных с эутиреозом весомо не изменялась. Уровень ПДФФ в крови обследованных беременных II и III групп увеличивался на 12,4% и 11,7% в I триместре, на 12,9% и 15,5% во II и III триместрах, а в I группе значимых отличий не обнаружено ПДФФ ($P < 0,05$).

Результаты проведенного исследования позволяют сделать выводы, что у всех беременных с патологией щитовидной железы, особенно с субклиническим течением, отмечаются изменения в системе гемостаза. Гиперактивность тромбоцитарного и плазменного звеньев гемостаза, несвойственных сроку гестации, рассматривают как фон для развития ДВС синдрома.

В целом, для беременных с аутоиммунным гипотиреозом и гипертиреозом характерна хронометрическая и структурная гиперкоагуляция, которая не проявляется при физиологической беременности соответствующих сроков гестации. Она проявляется у беременных с гипотиреозом в виде хронического синдрома ДВС крови, у беременных с гипертиреозом в виде субклинической формы синдрома ДВС крови. Для беременных с эутиреозом характерна структурная гипокоагуляция. Основным звеном при этом у беременных II и III групп, особенно во II триместре беременности, является активация тромбоцитарно-сосудистого гемостаза с последующим вовлечением в процесс коагуляционного гемостаза. В III триместре у беременных II и III групп преобладают нарушения в системе вторичного гемостаза с активацией фибринолиза. Для беременных I группы характерна гипокоагуляция потребления, вызванная активацией противосвертывающих механизмов и ослаблением тромбоцитарного компонента гемостаза.

ЛИТЕРАТУРА

- Грищенко О.В., Ткачов О.С. (2002) Нові можливості фармакологічної корекції порушень кровообігу у фетоплацентарній системі. *Торнадо* (Харків): 42 с.
- Дубосарская З.М., Дубосарская Ю.А. (2008) Репродуктивная эндокринология. Учебно-методическое пособие. (перинатологи, акушеры и гинекологи, аспиранты). Лира ЛТД: 115 с.
- Кузьмин В.Н. (2011) Фетоплацентарная недостаточность: проблема современного акушерства. *Лечащий врач*, вып. 3: 50–54.

- Мамаев А.Н.** (2014) Практическая гемостазиология. «Практическая Медицина», руководство для врачей. 233 с.
- Маринкин И.О., Белоусова, Т.В., Плюшкин В.А.** (2011) Роль нарушений в системе гемостаза и полиморфизма генов в патологии гемостатического процесса и перинатального периода. *Вестн. Новосибир. гос. ун-та. Биология, клин мед*, 9(4): 106–110.
- Медяникова И.В.** (2014) Гемостазиологический контроль при беременности. *Клиницист*, вып.1: 47–52.
- Минцер А.П.** (2010) Статистические методы исследования в клинической медицине. *Практическая медицина*, вып.3: 41–45.
- Назаренко Г.И.** (2011) Лабораторные методы исследования в клинической медицине. К., Медицина: 238 с.
- Соловьев В.Г., Бышевский А.Ш., Карпова И.А.** (2012) Влияние эстрогенов и прогестогенов на биохимический компонент гемостаза, тромбоциты, непрерывное внутрисосудистое свертывание крови и толерантность к тромбину: коррекция их эффектов антиоксидантами. *Биомедицинская химия*, вып. 4: 429–437.
- Татарчук Т.Ф., Сольский Я.П.** (2003) Эндокринологическая гинекология. Клинические очерки. К.: Заповіт, Том 1: 300 с.
- Щербаков А.Ю., Тихая И.А., Щербаков В.Ю.** (2012) Плацентарная дисфункция на фоне эндокринной патологии. *Межд. медицинский журнал*, 3(67): 88-95.

Hamilə Qadınlarda Autoimmun Tireoidit Və Hemostaz Sisteminin Xüsusiyyətləri

A.Y. Şerbakov, T.A. Məlikova

Xarkov Tibb Akademiyasının Doktorant Təhsili , Ukrayna

Hemostaz sisteminin xüsusiyyətlərini araşdırmaq üçün, autoimmun tireoidit ilə qalxanvari vəzinin müxtəlif dərəcədə pozulması səbəbindən 119 hamilə qadın müayinə olunub. Bunlar onu göstərir ki, qalxanvari vəzinin patologiyası ilə hamilə qadınlarda hemostatik sisteminin patoloji aktivasiyası baş verir, hansı ki, mamalıq və perinatal ağırlaşmaların səbəblərindən biridir. Bu hipotireoz ilə xəstə olan hamilə qadınlarda xroniki Dissemin damardaxili laxtalanma (DDL) qan sindromu, hipertiroidizm ilə xəstə olan hamilə qadınlarda isə subklinik Dissemin damardaxili laxtalanma (DDL) qan sindromu şəkilində özünü büruzə verir. Euthyroid hamilə qadınlar üçün struktur hipokoagulyasiya xarakterdir.

Açar sözlər: Hemostaz, hamiləlik, laxtalanma faktorları, koagulyasiya, autoimmun tireoidit

Features Of The Hemostatic System In Pregnant Women With Autoimmune Thyroiditis

A.Yu. Shcherbakov, T.A. Mielikova

Kharkov Medical Academy of Postgraduate Education, Ukraine

The features of the hemostatic system in 119 pregnant women with autoimmune thyroiditis, with varying degrees of thyroid dysfunction, were studied. Data from the studies indicate that in pregnant women with thyroid pathology, pathological activation of the hemostatic system occurs, which is one of the causes of obstetric and perinatal complications. In pregnant women with hypothyroidism, these changes manifest themselves in chronic DIC syndrome of the blood, in pregnant women with hyperthyroidism in subclinical DIC form of the blood. For pregnant women with euthyroidism, structural hypo-coagulation is definitive.

Keywords: Hemostasis, pregnancy, coagulation factors, coagulation, autoimmune thyroiditis

Yumşaq Buğdanın Keyfiyyət Göstəricilərinin Dənin Rəngindən Və Sortun Genotipindən Asılılığı

Q.M. Həsənova, C.M. Təlai, S.İ. Hüseynov, G.H. Poladova

Azərbaycan Respublikası KTN Əkinçilik Elmi-Tədqiqat İnstitutu, Pirşağı qəsəbəsi, 2 saylı sovxoz, Bakı AZ1098, Azərbaycan; E-mail: qqasanova@mail.ru

Məqalədə yumşaq buğda sortlarının dəninin rəngi ilə keyfiyyət göstəriciləri arasındakı əlaqədən bəhs edilir. Müəyyən edilmişdir ki, ağ dənli yumşaq buğda sortları ilə qırmızı dənli sortlar arasındakı fərq yalnız un çıxımına görədir. Dəmyə bölgəsində ağdənli sortlar qırmızıdənli sortlara nisbətən daha keyfiyyətli olmaları ilə üstünlük təşkil etmişlər. Alınan nəticələr əsasında demək olar ki, Azərbaycan Respublikasının istər dəmyə, istərsə də suvarma şəraiti ağ dənli, yüksək keyfiyyətli yumşaq buğda sortlarının becərilməsi üçün əlverişlidir.

Acar sözlər: Buğda, keyfiyyət, un çıxımı, çörək, natura, korrelyasiya, dənin rəngi

GİRİŞ

Buğdanın seleksiyasında yüksək keyfiyyətli və çörək sənayesinin tələbatına cavab verən yumşaq buğda sortlarının (*Triticum aestivum* L.) yaranması aktual problemlərdən biri olaraq qalmaqdadır. Bu baxımdan dənin keyfiyyətinin yüksək olmasına tələbat gün-gündən artmaqdadır. Keyfiyyət dedikdə dənin həm fiziki, biokimyəvi həm də texnoloji orqanoleptik göstəriciləri nəzərdə tutulur. Fiziki cəhətdən dən iri, şüşəvanı, natura kütləsi, texnoloji göstəriciləri yəni un və çörək çıxımının və keyfiyyətinin yüksək olması vacibdir. Buğda dəninin rəngi də təcrübə əhəmiyyətə malik göstərici olmaqla, həm sortun hansı növ müxtəlifliyinə mənsub edilməsində, həm də onun növünün təyində mühüm əhəmiyyətə malikdir. Bu əlamətə görə sortlar iki növə ağdənli və qırmızıdənliyə bölünürlər.

Yumşaq buğdanın seleksiyasında əsas diqqət qırmızıdənliyə yönəldilmişdir, çünki ağ dənli sortların yığımdan sonra yetişmə müddəti qısa olur, buna da səbəb ağ dənli sortların toxum qabığına al-qırmızı pigmentin olmamasıdır (Иваненко, 2012).

Digər tərəfdən ağ dənli sortların ən arzu olunmayan xüsusiyyəti yığım dövründə ən az yağıntılardan belə iki-üç gün ərzində dənin sünbül üzərində cücərməsidir (Иваненко, 1977).

Dənin cücərməsinə səbəb alfa amilaza fermentinin aktivliyindən asılıdır, o, endospermə nişastanı parçalayır (Крупнов и др., 2012).

Dənin "cücərtisinin" ən zəif və gözlə görünməyən olması belə uyutma zamanı un çıxımını azaldır, xəmirin fiziki xüsusiyyətini zəiflədir və elastikliyi lazımı səviyyədə olmadığından ondan bışırılan çörək keyfiyyətsiz olur (Humphreys and Noll, 2002; Методы оценки технологических качеств зерна, 1971). Yığımqabağı dövrdə ağ dənli sortların sünbül üzərində çüçərməsi səbəbindən bir çox regionlarda

bu əlamətə görə daha davamlı olan qırmızıdənli sortların geniş sahələrdə becərilməsinə üstünlük verilir (Крупнов и др., 2012; Тищенко, 2012).

Ədəbiyyat məlumatlarına görə kök üzərində cücərmə toxumun səpin və texnoloji xüsusiyyətlərinə təsir göstərən əsas səbəblərdən biridir. Yığım dövrü ərəfəsində yağıntılardan miqdarının aylıq normadan artıq olduğu illər məhsuldarlığın itkisi 10-50% arasında dəyişir (Тищенко, 2012).

Ağdənli yumşaq buğda sortlarının becərilməsi xüsusilə yüksək rütubətli və yağmurlu torpaq-iqlim şəraiti olan ölkələr üçün əlverişli olmasa da, bir sıra ölkələrdə o geniş sahələrdə becərilir və onlardan makaron istehsalında istifadə olunur. Məs. Avstraliya, Hindistan, Pakistan və Meksikada ağdənli sortlara yüksək məhsuldarlığına görə yüksək önəm verilir. Qırmızıdənli sortlar isə ABŞ, Cənubi Amerika, Avropa və Asiya ölkələrinin bəzi hissələrində becərilir.

Yığımdan sonra cücərməyə davamlı elə qırmızıdənli sortlara da təsadüf edilir ki, onların un çıxımı ağ dənli sortlara nisbətən xeyli aşağı olmuşdur (Крупнов и др., 201). Bir qayda olaraq belə qırmızıdənli sortların un çıxımı ağdənli sortlardan aşağı olur (Pike and MacRitchie, 2004).

Son dövrlərdə Əkinçilik ETİ na İKARDA və SİMMİT xətti ilə hər il Azərbaycan şəraitində yoxlanılmaq məqsədilə çoxsaylı ağdənli və qırmızıdənli buğda sortnünunələri daxil olur. Burada əsas məqsəd yerli şəraitə adaptasiya qabiliyyəti yüksək, xəstəlik və zərərvericilərə davamlı, uyğun genotipləri seçmək və seleksiya prosesində hibridləşmə üçün valideyn forması kimi istifadə etməkdir. Bu istiqamətdə bir sıra qırmızıdənli sortlarla yanaşı ağdənli sortlarda yaradılmışdır. Belə sortlar Respublikada təsərrüfatlarda becərilməkdədir. Lakin taxıl tədarükündə və yerli dəyirmanlarda ağdənli buğda sortlarının un çıxımı və dəninin keyfiyyətinin aşağı olmasını əsas gətirərək daha çox qırmızıdənli sortların

qəbuluna üstünlük verir. Qırmızıdənli qrupuna daxil olan Fatimə, Qırmızı gül-1, Əkinçi 84, Zirvə 85 sortları eritrospermum, həm də lütessens, ağ dənli qrupuna daxil olan Tale-38, Nurlu-99, Əzəmətli 95, Qobustan, Ruzi-84 buğda sortları qrekum növmüxtəlifliyinə daxildir. Bu məsələnin də rindən, elmi əsaslarla öyrənilməsi tədqiqat işinin əsas məqsədi olmuşdur. Bu məqsədlə Respublikanın müxtəlif regionlarında həm dəmyə, həm də suvarma şəraitində becərilən ağdənli və qırmızıdənli yumşaq buğda sortlarının dəninin keyfiyyət göstəriciləri və onların müqayisəli tədqiqi aparılmışdır.

MATERIAL VƏ METODLAR

Tədqiqatın materialı olaraq Əkinçilik ET İnstitutunun seleksiyasına aid olan rayonlaşmış ağ və qırmızıdənli yumşaq buğda sortlarından istifadə edilmişdir. Sortlar iki torpaq-iqlim şəraitində institutun struktur tabeliyində fəaliyyət göstərən Tərtər (suvarma) və Cəlilabad (dəmyə) bölgə təcrübə stansiyalarında becərilmişdir.

Keyfiyyət analizləri müvafiq DÜST-lərə əsasən aparılmışdır. Kleykovinanın miqdarı 10839-64 DÜST-ü ilə, əllə yuyulduqdan sonra, keyfiyyəti İDK-cihazı ilə qiymətləndirilmişdir. Sedimentasiya göstəricisi 2% li sirkə turşusunda, zülalın miqdarı Kjeitec[™] 8100/8200 (FOSS) cihazında, natura kütləsi GAC 2100 cihazında, çörək bişirmək məqsədilə un çıxımı isə, Almaniya istehsalı olan Quadrumat Junior markalı dəyirməndə metodik qaydalara əsasən aparılmışdır (Методы оценки технологических качеств зерна, 1971).

Çörəyin bişirilməsi quru maya ilə laboratoriyada mövcud metodikaya əsasən, həcmi (sm³) onun keyfiyyətinin qiymətləndirilməsi isə balla klassik üsulla aparılmışdır (Методические рекомендации по оценке качества зерна, 1977).

NƏTİCƏLƏR VƏ ONLARIN MÜZAKİRƏSİ

Tədqiqat işləri 2014-2016-cı illəri əhatə edir. İlk dəfə Tərtər BTS-də becərilən və dəninin rənginə görə fərqlənən yumşaq buğda sortlarının keyfiyyət göstəriciləri müqayisə edilmişdir.

Cədvəl 1-dən göründüyü kimi, suvarma şəraitində hər iki tədqiqat ilində ağ dənli sortlarda kleykovinanın miqdarı qırmızıdənliyə nisbətən müvafiq olaraq 5,9-4,8% yüksək olmuşdur. Lakin kleykovinanın keyfiyyətinə görə qırmızıdənliyə ağdənliyə müqayisədə əsasən II keyfiyyət qrupuna (ıkiillik orta 90,1-90,6 c.g.) aid olmuşlar. Çörəyin həcmi arasındakı müqayisəli fərq isə illərdən asılı olmuşdur. Belə fərq özünü çörəyin keyfiyyətində də göstərmişdir. Un çıxımı da illərdən asılı olsa da qırmızıdənliyə ağdənliyə 17-90 q və ya 1,7-9,0% yüksək olmuşdur. Beləliklə, orta rəqəmlərin müqayisəli təhlilində əsasən deyə bilərik ki, suvarma şəraitində qırmızıdənliyə ağdənliyə nisbətən yüksək olmuşdur. Lakin hər iki qrupda ayrı-ayrı sortların keyfiyyət göstəricilərinə nəzər saldıqda, görüklük ki, belə fərq dəninin rəngindən çox sortun genetik xüsusiyyətindən asılıdır. Belə ki, Tale 38 sortunun un çıxımı az olsa, da çörəyin həcmi (500-600 sm³) və kleykovinanın miqdarı və keyfiyyəti (4-4,8 bal) qırmızıdənliyə yüksək olmuşdur. Qırmızıdənli Qırmızı gül 1 sortu isə keyfiyyət göstəricilərini tədqiqat illərindən asılı olmayaraq sabit saxlamışdır. Belə sabillik istər qırmızıdənli, istərsə də ağdənli sortlar arasında müşahidə edilməmişdir. Maraqlı haldır ki, keyfiyyət göstəriciləri arasında 2014-cü ildə korrelyasiya əlaqələri müşahidə edilməsə də, 2015-ci il göstəriciləri arasında un çıxımı ilə çörəyin həcmi ($r=0,755^*$), kleykovinanın miqdarı və keyfiyyəti arasında ($r=0,861^*$) müşahidə edilmişdir. Digər göstəricilər arasında əlaqə müşahidə edilsə də korrelyasiya əlaqəsi ehtimallı olmamışdır, bu isə tədqiq olunan sortların sayının azlığı ilə izah olunur.

Analoji tədqiqatlar Cənubi Muğanda Cəlilabad BTS-də quraq dəmyə şəraitində becərilən sadalanan sortlar üzərində aparılmışdır. Bu torpaq-iqlim şəraitində biokimyəvi və texnoloji göstəricilərlə yanaşı dəninin natura kütləsi, şüşəvariliyi də aparılmışdır. Nəzərə çarpan ilk əlamət dəninin şüşəvariliyinin öyrənilən bütün sortlarda dəninin rəngindən asılı olmayaraq yüksək olmasıdır. Digər ağdənliyə fərqli olaraq buaqroekoloji şəraitdə də Tale-38 sortunun un çıxımı aşağı olmuşdur.

Cədvəl 1. Suvarmada becərilən ağ və qırmızıdənli buğda sortlarının keyfiyyət göstəriciləri (Tərtər, 2014 və 2015).

Sortlar	Dəninin rəngi	1 kq dənindən un çıxımı, q		Kleykovina, %		İDK c.v.		Çörəyin həcmi, sm ³		Çörəyin keyfiyyəti, balla	
		2014	2015	2014	2015	2014	2015	2014	2015	2014	2015
Fatimə	qırmızı	608	580	23,2	26,4	94,2	92,8	450	400	4,7	3,3
Qırmızı gül-1	qırmızı	645	650	28,0	28,0	85,5	85,5	500	400	4,8	4,8
Aran	qırmızı	620	590	29,7	33,2	100,6	104,6	450	500	4,6	4,3
Zirvə85	qırmızı	615	605	22,4	24,8	90,2	80,5	500	520	4,8	4,4
Orta		622	606	25,8	28,1	92,6	90,8	475	455	4,7	4,2
Tale 38	ağ	410	305	30,2	33,2	97,9	102,0	500	600	4,8	4,0
Nurlu 99	ağ	735	663	32,0	32,0	104,2	114,2	450	450	4,5	3,9
Əzəmətli 95	ağ	670	609	32,8	33,6	103,0	105,7	400	500	4,8	4,0
orta		605	516	31,7	32,9	101,7	107,3	456	516	4,7	3,9

Cədvəl 2. Dəmyə şəraitində becərilən ağ və qırmızıdənli buğda sortlarının keyfiyyət göstəriciləri (2016).

Sortlar	Natura, q/l	Şüşəvarilik, %	1kq dəndən un çıxımı, q	Kleykovina, %	İDK, c.v.	Sedimentasiya, ml	Zülal, %	Çörəyin həcmi, sm ³	Çörəyin keyfiyyəti, balla
Ağdənililər									
Əzəmətli 95	729	73,0	655	32,0	73,5	42,0	15,4	500	4,5
Qobustan	703	82,0	685	32,0	78,6	34,5	14,0	650	5,0
Ruzi 84	704	60,0	620	24,4	68,6	39,0	14,0	630	5,0
Tale- 38	668	57,0	368	28,8	70,0	36,5	14,2	560	4,7
Nurlu-99	703	76,0	596	23,6	63,7	31,5	11,0	600	4,9
Orta	701	70,0	585	28,2	70,9	36,7	13,7	588	4,8
Qırmızıdənliilər									
Qırmızı gül-1	697	99,0	630	28,4	96,5	16,5	13,2	450	4,2
Əkinçi 84	704	60,0	647	27,8	89,2	36,0	12,0	550	4,7
Zirvə 85	761	64,0	650	28,4	102,4	30,0	13,0	610	4,5
Fatimə	728	66,0	640	26,4	97,5	28,5	12,2	630	4,9
Aran	744	76,0	580	28,0	97,4	30,0	12,6	650	4,7
Opta	727	73,0	629	27,8	99,6	28,2	12,6	578	4,6

Un çıxımı quraq dəmyə şəraitində də qırmızı dənliyə ağdənilələrə nisbətən aşağı olmuşdur. Bu fərq 44q və ya 4,4% təşkil etmişdir. Belə fərq dəninin şüşəvariliyində, natura kütləsində nəzərə cəsarpsada, kleykovinanın miqdarı və keyfiyyətində müşahidə olunmamışdır. Tərtər BTS-in suvarma şəraiti ilə müqayisədə Cəlilabad BTS-də qırmızıdənliyə kleykovinanın keyfiyyəti ağdənilələrə nisbətən əsasən I və II keyfiyyət qruplarına daxil olmuşlar. Eyni zamanda 2016-cı vegetasiya ilində quraq dəmyə şəraitində ağdənilələrdə sedimentasiyanın, zülalın miqdarı və çörəyin həcmi qırmızıdənliyədən yüksək olmuşdur. Çörəyin həcmi və keyfiyyəti arasında fərq o qədər də yüksək olmamışdır. 2 saylı cədvəldən göründüyü kimi becərmə şəraitindən asılı olmayaraq keyfiyyət göstəriciləri dəninin rənginə nisbətən sortun genotipindən daha çox asılıdır (cədvəl 2).

Statistik analizlər göstərdi ki, sedimentasiya ilə şüşəvarilik ($r=0,680^*$), kleykovina və zülal ($r=0,674^*$), un çıxımı ilə çörəyin keyfiyyəti ($r=0,806^*$) arasında müsbət korrelyasiya əlaqələri mövcuddur. Marafılı haldır ki, dəninin rəngindən asılı olaraq korrelyasiya əlaqələri müxtəlif olmuşdur. Ağdənilə sortlarda kleykovinanın miqdarı və keyfiyyəti arasında ($r=0,897^*$), çörəyin həcmi ilə keyfiyyəti arasında ($r=0,988^*$) müsbət korrelyasiya əlaqələri vardır. Qırmızıdənli sortlarda isə bu fərq un çıxımı ilə sedimentasiya arasında ($r=-0,933^*$) əks korrelyativ əlaqələr səviyyəsindədir.

Beləliklə, aparılan tədqiqatlar nəticəsində müəyyənləşdirildi ki, respublikanın torpaq-iqlim şəraiti ağdənilə yumşaq buğda sortlarının becərilməsi üçün xüsusilə də dəmyə şəraiti üçün optimal hesab oluna bilər. Belə ki, ağdənilələr un çıxımına görə qırmızıdənliyədən zəif olsalarda digər keyfiyyət göstərici-

lərinə görə üstünlük təşkil etmişlər. Ağ dənliyə keyfiyyət göstəricilərinə görə dəmyə şəraitində qırmızıdənliyələri üstələmiş və bu üstünlük dəninin rəngindən deyil sortun genotipindən asılı olmuşdur.

ƏDƏBİYYAT

- Иваненко А.С.** (1977) Технологические качества белозерной пшеницы, выращенной в Тюменской области. *Научные труды Горьковского СХИ*, 115: 111-114.
- Иваненко А.С.** (2012) Опыт выращивания белозерной яровой пшеницы в Тюменской области. *Аграрный Вестник Урала*, 7(99): 6-7.
- Крупнов В.А., Антонов Г.Ю., Дружинин А.Е., Крупнова О.В.** (2012) Устойчивость к предуборочному прорастанию яровой мягкой пшеницы с 6 Ag1 (6D)-хромосомой от *Agropyronin termedium*. *Вавиловский журнал генетики и селекции*, 16(№2): 444-450.
- Тищенко В.Н.** (2012) Направления селекции озимой пшеницы на улучшение технологических свойств зерна. <http://www.agromage.com>
- Методические рекомендации по оценке качества зерна** (1977) Москва: с. 172
- Методы оценки технологических качеств зерна** (1971) Москва: 136.
- Humphreys D.G., Noll J.** (2002) Methods for characterization of preharvest sprouting tolerance in a wheat breeding program. *Euphytica*, 126: 61-65.
- Pike P.R., MacRitchie F.** (2004) Protein composition and quality of some new white winter wheat. *Crop Sci.*, 44: 173-176.

Зависимость Показателей Качества Мягкой Пшеницы От Цвета Зерна И Генотипа Сорта

Г.М. Гасанова, Д.М. Талаи, С.И. Гусейнов, Г.Г. Поладова

Научно-исследовательский институт земледелия МСХ Азербайджанской Республики

Статья посвящена изучению взаимосвязи показателей качества и цвета зерна пшеницы. Установлено, что по сравнению с краснозерными сортами белозерные сорта имеют более высокое качество зерна, и уступают лишь по показателю выхода муки. Результаты анализа данных позволяют утверждать, что в Азербайджанской Республике и в условиях богары, и при орошении можно получить высококачественный урожай белозерных сортов мягкой пшеницы.

Ключевые слова: *Пшеница, качество, выход муки, хлеб, натура зерна, корреляция*

Dependence Of Quality Indicators Of Bread Wheat On The Grain Color And Genotype

G.M. Hasanova, J.M. Talai, S.I. Huseynov, G.G. Poladova

Research Institute of Crop Husbandry, Ministry of Agriculture of the Republic of Azerbaijan

The article is devoted to the study of the relationship between quality indicators and the color of wheat grain. It was established that, the only difference between white-grained and red-grained varieties is flour output. White-grained varieties had higher quality compared with red-grained ones under the rainfed conditions. The obtained results show that both rainfed and irrigated conditions of the Azerbaijan Republic are favorable for the cultivation of red-grained, bread wheat genotypes having high quality.

Keywords: *Wheat, quality, flour output, bread, grain nature, correlation, grain color*

Nəmliklə Təmin Olunmamış Şəraitdə Payızlıq Yumşaq Buğdada Reutilizasiyanın Tədqiqi

Ə.A. Cahangirov¹, A.A. Cahangirov¹, H.N. Həmidov¹, İ.M. Hüseynova²

¹Azərbaycan Respublikası KTN Əkinçilik Elmi-Tədqiqat İnstitutunun Qobustan Bölgə-Təcrübə Stansiyası, Pırşağı qəsəbəsi, 2 saylı sovxoz, Bakı AZ1098, Azərbaycan; E-mail: a.cahangir@hotmail.com

²AMEA Molekulyar Biologiya və Biotexnologiyalar İnstitutu, Mətbuat prospekti, 2A, Bakı AZ1073, Azərbaycan; E-mail: i.guseinova@mail.ru

Nəmliklə təmin olunmamış dəmyə şəraitində 21 payızlıq yumşaq buğda genotipinin reutilizasiya əmsali iqlim şəraitinə görə fərqlənən 2 vegetasiya ilində tədqiq edilmişdir. Quraq keçən ildə reutilizasiya əmsalinin qiyməti yağıntıların normal olduğu ilə nisbətən yüksək olmuşdur. Eyni zamanda qısa və orta-boylu genotiplərdə reutilizasiyanın hündürboylulara nisbətən daha yüksək qiymətə malik olması və reutilizasiya əmsali ilə bitki boyu arasında əks korrelyasiya əlaqəsinin mövcudluğu müəyyən edilmişdir. Quraqlıq stresinin kəskin olduğu ildə bu əlaqə müşahidə edilməmişdir.

Açar sözlər: Yumşaq buğda, quraq şərait, reutilizasiya əmsali

GİRİŞ

Quraqlıq, yüksək temperatur və s. kimi stres amillər kənd təsərrüfatı bitkilərinin məhsuldarlığının aşağı düşməsinə səbəb olur. Gələcəkdə insanların qida məhsullarına olan tələbatının ödənilməsində ciddi çətinliklər yarana biləcəyi ehtimalına görə, müxtəlif stres amillərinə - əlverişsiz torpaq-iqlim şəraitinə, quraqlığa, yüksək temperatura, şoranlığa və s. davamlı bitki genotiplərindən istifadə etməklə daha məhsuldar və davamlı yeni bitki sortlarının yaradılması qarşıda duran əsas məsələlərdəndir (Aliyev, 2012).

Payızlıq buğdanın məhsulunun formalaşması uzun bir vegetasiya dövrü ərzində ona təsir edən faktorlardan asılıdır. Məhsuldarlığa təsir edən ekoloji faktorlar arasında bitkilərin nəmliklə təminatı və havanın temperaturu mühüm əhəmiyyət kəsb edir. Bu baxımdan quraqlığa davamlı buğda sortlarının yaradılması vacib məsələlərdəndir. Bunun üçün isə klassik metodlarla yanaşı bitkinin fizioloji xüsusiyyətlərini nəzərdə tutan yeni metodların tətbiqinə də ehtiyac duyulur. Quraqlıq şəraitində buğda bit-kisinin formalaşmasında reutilizasiya prosesinin də mühüm rolu vardır. Reutilizasiya buğdada reproduktiv fazaya qədər sintez olunan və gövdədə ehtiyat şəklində toplanan maddələrin dənin formalaşması və dolması mərhələsində istifadə olunmasıdır. Kalaycı və b. (1998) araşdırmalarında buğda genotiplərində reutilizasiya prosesinin yalnız dən-dolma mərhələsində meydana çıxan quraqlıq stressində önəmli rol oynadığını göstərmişlər (Kalaycı et al., 1998). Blum və Pnuel buğda bitkisi-də quraqlıq stresinin boruya çıxma mərhələsinə təsadüf etdiyi, dən-dolma mərhələsində stresin yaşanmadığı və məhsuldarlığın 35 sent/ha civarında olduğu

zamanlarda reutilizasiyanın məhsuldarlığa təsir etmədiyini bildirmişlər (Blum, Pnuel, 1998). İqlim şəraitindən asılı olaraq dən-dolma mərhələsində fotosintez prosesinin zəiflədiyi hallarda gövdədə daha əvvəl toplanmış suda həll olan karbohidratların dən-dolma mərhələsində dənə daşındığı, uzun və qalın gövdələrin yüksək miqdarda ehtiyat karbohidrat toplanması səbəbiylə daha əhəmiyyətli olduğu bəzi tədqiqatlarda göstərilmişdir (Reynolds et al., 1999). Eyni zamanda qeyd olunmuşdur ki, yarpaqların saralması və bitkinin quruması prosesinin yüksək temperatur səbəbi ilə çox sürətli getdiyi hallarda saralmanın başlaması ilə yetişmə arasında zamanın az olduğu vaxtlarda reutilizasiya ilə dən-dən toplanan quru maddə miqdarı daha az ola bilər. Beləliklə, buğda bitkisi-də reutilizasiya prosesinin tədqiqinin quraq şəraitdə daha stabil məhsul verə bilən genotiplərin yaradılmasında əhəmiyyətli rol ehtimal edilir. Qeyd edilənləri nəzərə alaraq təqdim olunan iş quraq dəmyə şəraitdə payızlıq buğda bitkisi-də reutilizasiyanın tədqiqinə həsr olunmuşdur.

MATERIAL VƏ METODLAR

Tədqiqatlar 2012-2013 və 2013-2014-cü vegetasiya illərində Dağlıq Şirvanın nəmliklə təmin olunmamış dəmyə şəraitində aparılmışdır. Əkin ərazisi dəniz səviyyəsindən 780 m yüksəklikdə yerləşir və torpağı açıq şabalıdı torpaq tipinə mənsub olmaqla orta karbonatlıdır. Çoxillik məlumatlara görə bölgədə illik atmosfer çöküntülərinin miqdarı 350-400 mm təşkil edir. Düşən yağıntılar əsasən payız qış dövrlərinə təsadüf edir.

Tədqiqata payızlıq yumşaq buğdanın 12 sortu və quraq dəmyə bölgələr üçün seçilmiş 9 sabit xətti

cəlb edilmişdir. Reutilizasiya əmsalını təyin etmək üçün sünbülləmədən 20-25 gün sonra təcrübə bölməsinin 1 xəttinin 20 sm-lik hissəsində bitkinin yaşıl hissələrini qurutmaq məqsədilə bütün bitkilər islanana qədər 4%-li $[Mg(ClO_3)_2]$ - maqnezium xloratla çiləmə aparılmışdır. Çiləmədən əvvəl sünbül nümunələri götürülmüşdür. Çiləmədən iki gün sonra bitkilərin quruduğu müşahidə edilmişdir. Bitkilər tam yetişdikdən sonra həm çiləmə aparılmamış sahədən nəzarət üçün və həm də çiləmə aparılan hissədən 10 ədəd sünbül götürülmüşdür. Götürülən sünbül nümunələri 85°C-də 24 saat quruducu şkafda saxlanmış sonra dənələr sünbüldən ayrılaraq sayılmış, çəkilmə və bir dənənin çəkisi hesablanmışdır. Reutilizasiya əmsalı aşağıdakı bərabərliyə görə hesablanmışdır (Kalaycı et al., 1998):

$$R\Theta = (CSA - \dot{C}\dot{O}A) / (NA - \dot{C}\dot{O}A) \times 100\%$$

burada: RΘ - reutilizasiya əmsalı, CSA - çiləmə aparılmış sahədə bir dənənin ağırlığı (mq), CÖA – çiləmədən öncə bir dənənin ağırlığı (mq), NA-nəzarət üçün götürülmüş sahədən bir dənənin ağırlığıdır (mq).

NƏTİCƏLƏR VƏ MÜZAKİRƏSİ

Tədqiqat illərində düşən yağıntıların miqdarı və havanın temperaturu Qobustan hidrometeoroloji stansiyasından götürülmüş və nəticələr cədvəl 1-də verilmişdir. Cədvəldən göründüyü kimi yağıntıların miqdarı 2012-2013-cü ildə vegetasiya ərzində 337,7 mm, 2013-2014-cü vegetasiya ilində isə xeyli aşağı olmaqla 222,3 mm təşkil etmişdir. Eyni zamanda tədqiqat illərində havanın temperaturu da fərqli olmuşdur. Belə ki, havanın temperaturu 2012-2013-cü ildə orta çoxillik həddində, 2013-2014-cü vegetasiya ilində isə yaz aylarında orta çoxillikdən yuxarı olmuşdur. İqlim şəraitindəki qeyd olunan fərqliliklər özünü payızlıq yumşaq buğdada reutilizasiya prosesinin gedişində göstərmişdir.

Tədqiq olunan genotiplərin reutilizasiya əmsalı cədvəl 2-də verilmişdir. Cədvəldən göründüyü kimi 2013-cü ildə tədqiq olunan bütün genotiplərin reutilizasiya əmsalının orta qiyməti 13,2%, 2014-cü ildə isə 21,4% olmaqla 2013-cü ildən xeyli yuxarı olmuşdur. Göründüyü kimi 2013-cü ildə iqlim şəraitinin əlverişli keçməsi səbəbindən reutilizasiya əmsalı aşağı olmuşdur. 2013-2014-cü vegetasiya ilində isə əlverişsiz keçən iqlim şəraiti reutilizasiya əmsalının yüksək olmasına səbəb olmuşdur. Genotiplər üzrə reutilizasiya əmsalına baxdığımızda 2013-cü ildə Qırmızı gül 1, Murov 2, Vostorq və Aran sortlarında bu dəyərin digərlərindən yuxarı olduğu görünür. Bu Murov 2 sortu istisna olmaqla digərlərinin gec yetişməsi səbəbindən onlarda dən dolmanın yüksək temperatur və quraqlıq stressi dövrünə təsadüf etməsi ilə əlaqədar ola bilər. Ədəbiyyatda da gec yetişən sortların reutilizasiya əmsalının yuxarı olması və bunun vegetasiyanın axırında quraqlıq və yüksək temperatur stressi ilə əlaqədar olduğu haqqında məlumat vardır (Çekiş, 2007). Fikrimizcə, Murov 2 sortunun reutilizasiya əmsalının hər iki ildə digər genotiplərə nisbətən yuxarı olması onun fərdi bioloji xüsusiyyəti ilə əlaqədardır. Qeyd edək ki, Vostorq və Qırmızı gül 1 sortlarının reutilizasiya əmsalı 2014-cü ildə də yuxarı olmuşdur. Ədəbiyyatda quraqlıq illərdə məhsuldarlıqla reutilizasiya əmsalı arasında müsbət əlaqə olduğu haqqında məlumatlar mövcuddur (Kalaycı et al., 1998; Çekiş, 2007).

Bizim tədqiqatlarımızda isə həm əlverişli keçən 2013-cü ildə, həm də quraqlıq keçən 2014-cü ildə məhsuldarlıqla reutilizasiya arasında önəmli əlaqə müşahidə olunmamışdır. Bunun 2013-cü ildə iqlim şərtlərinin əlverişli keçməsinə görə reutilizasiyanın məhsuldarlıqda böyük önəm daşıymaması səbəbindən olduğunu düşünürük.

2014-cü ildə isə quraqlıq və temperatur stressinin kəskin olması səbəbindən əlverişsiz şəraitə uyğun olaraq bütün genotiplərdə reutilizasiyanın artması müşahidə olunmuşdur.

Cədvəl 1. 2012-2013 və 2013-2014-cü vegetasiya illərində temperaturun gedişi və yağıntıların miqdarı

Aylar	2012-2013		2013-2014		Orta çoxillik	
	Yağıntı, (mm)	Orta temp., °C	Yağıntı, (mm)	Orta temp., °C	Yağıntı, (mm)	Orta temp., °C
Sentyabr	23,1	18,0	52,0	19,5	31,0	17,1
Oktyabr	24,1	14,9	23,2	11,2	45,0	11,2
Noyabr	21,6	7,8	11,7	7,2	36,0	6,0
Dekabr	28,7	2,2	18,3	-0,7	30,0	1,7
Yanvar	27,5	1,0	20,1	0,03	26,0	-0,2
Fevral	48,2	3,2	12,5	-0,23	35,0	0,1
Mart	28,9	6,2	37,4	4,9	42,0	3,1
Aprəl	40,2	9,7	19,8	10,7	47,0	9,2
May	75,2	15,7	23,2	19,5	47,0	14,9
İyun	20,2	20,9	4,1	21,1	40,0	19,5
Cəmi:	337,7		222,3		379,0	
Orta:		9,96		9,32		8,3

Cədvəl 2. Tədqiq olunan genotiplərin reutilizasiya əmsalı (%)

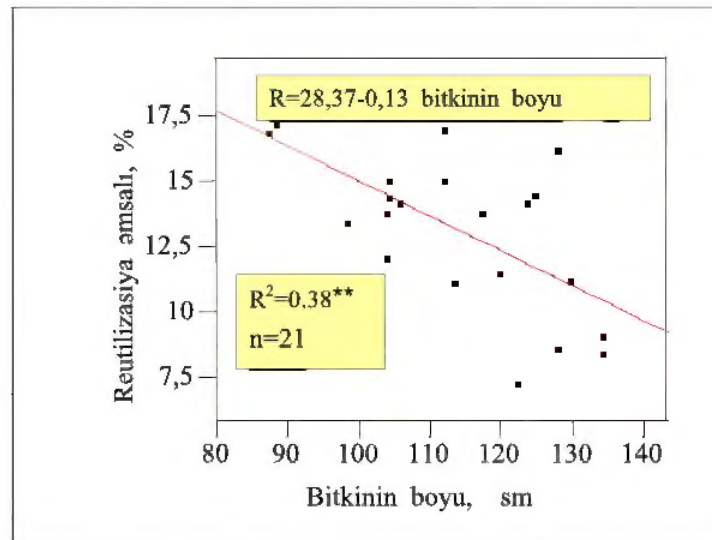
Sıra sayı	Genotiplər	illər
-----------	------------	-------

		2013	2014	Orta
1	Bezostaya 1	8,7	22,5	15,6
2	Qızıl buğda	7,3	23,3	15,3
3	Şəki 1	9,2	23,6	16,4
4	Sönməz	8,5	25,8	17,2
5	Aran	15,1	20,2	17,7
6	Vostorq	17,0	25,7	21,4
7	Murov 2	17,1	27,8	22,5
8	Qobustan	11,2	21,4	16,3
9	Tale 38	13,9	19,3	16,6
10	Fatimə	12,2	10,9	11,6
11	Qırmızı gül 1	17,3	28,7	23,0
12	Zirvə 85	14,5	19,2	16,9
13	7 WON-SA № 465	13,9	15,1	14,5
14	FERRIGINEUM 2/19	13,5	15,9	14,7
15	11 IWWYT № 20	14,6	20,2	17,4
16	12 IWWYT № 6	14,3	23,1	18,7
17	12 IWWYT № 8	14,3	15,2	14,8
18	12 IWWYT № 9	11,6	16,3	14,0
19	12 IWWYT № 17	11,3	30,4	20,9
20	7 WON-SA № 477	16,3	20,3	18,3
21	4 th FEFWSN № 50	15,1	25,5	20,3
	Orta	13,2	21,4	17,3

Lakin quraqlıq və temperatur stresinin kəskin olması səbəbindən yarpaqların saralmasının başlanması ilə yetişmə arasındakı zaman çox qısa olmuş və məhsuldarlıqda digər faktorların önəmi reutilizasiyaya nisbətən daha çox olmuşdur. Nəticədə quraq ildə genotiplərin reutilizasiya əmsalının xeyli çox olmasına baxmayaraq məhsuldarlıqla reutilizasiya əmsalı arasında korrelyasiya əlaqəsi müşahidə edilməmişdir. Bununla yanaşı əlverişsiz ildə də reutilizasiya əmsalında genotipik fərqlərin olduğu və Sönməz, Vostorq, Murov 2, Qırmızı gül 1, 12 IWWYT №17 genotiplərinin reutilizasiya əmsalının digərlərindən yuxarı olduğu müəyyən edilmişdir.

Reutilizasiyanın bitki boyu və sünbül altlığının uzunluğu ilə əlaqəsinə baxdığımızda onun bitki boyu ilə 2013-cü ildə $R^2=0,38^{**}$ (0,01 həddində etibarlı) dəyərində əks əlaqədə olduğunu (şəkil), sünbül altlığının uzunluğu ilə reutilizasiya arasında isə əlaqə olmadığını müşahidə etdik. 2014-cü ildə isə həm bitki boyu, həm də sünbül altlığının uzunluğunun reutilizasiya ilə əlaqəsinin olmadığı müəyyən olunmuşdur. Bunun isə əvvəldə qeyd etdiyimiz kimi həmin ildə kəskin quraqlıq və temperatur səbəbindən olmasını düşünürük.

Fikrimizə 2013-cü ildə Bezostaya 1, Qızıl buğda, Şəki 1, Sönməz kimi genotiplərdə reutilizasiyanın aşağı olmasının səbəbi onların çox hündür boylu olmasıdır.



Şəkil. 2013-cü ildə bitki boyu ilə reutilizasiya əmsalı arasında əlaqə

Belə ki, assimilyatların ən çox toplanmış olduqları 2-ci və 3-cü buğumalarından dənə daşınması üçün daha uzun məsafə keçməsi lazım gəldiyindən həmin genotiplərdə bu proses zəif olmuşdur. Fikrimizcə Qırmızı gül 1, Vostorq və bəzi digər genotiplərdə isə reutilizasiyanın yuxarı olmasının səbəbi bir tərəfdən onların gec yetişən olmaları ilə yanaşı həm də qısaboylu olmaları olmuşdur. Reproduktiv fazaya qədər bitkiyə verilmiş, 2-ci və 3-cü buğumalarında toplanmış radioaktiv karbon atomlarının vegetasiyanın sonunda dənə miqdarının öyrənilməsinə həsr olunmuş tədqiqatda da bunun qısaboylu genotiplərdə daha çox olduğu qeyd edilmişdir (Джангиров, 1987).

Beləliklə, №mlklə təmin olunmamış Dağlıq Şirvan bölgəsində payızlıq yumşaq buğda genotiplərində reutilizasiyanın tədqiqi həmin parametrlərin vegetasiya ilinin iqlim şərtlərindən və genotipin fərdi bioloji xüsusiyyətlərindən asılı olduğunu göstərmişdir. Reutilizasiyanın qiymətinin quraq illərdə daha yuxarı olduğu müşahidə edilmiş, eyni zamanda reutilizasiyanın qısa və orta boylu genotiplərdə hündürlüklərə nisbətən daha yüksək qiymətə malik olduğu və reutilizasiya ilə bitki boyu arasında əks korrelyasiya əlaqəsinin olduğu müəyyən olunmuşdur.

ƏDƏBİYYAT

- Çekiç C.** (2007) Kurağa dayanıqlı buğday (*Triticum aestivum* L.) islahında seleksiya kriteri olabilecek fizioloji parametrlərin araşdırılması. *Doktora tezi*. Ankara: 114 s.
- Kalaycı M., Özbek V., Çekiç C., Ekiz H., Keser M., Altay F.** (1998) Orta Anadolu şəraitində kurağa dayanıqlı buğday genotiplərinin belirlənməsi və morfoloji və fizioloji parametrlərin geliştirilməsi. *Eskişehir, Tübitak Araştırma Projesi Kesin Raporu*. 46 s
- Джангиров А.А.** (1987) Продукты фотосинтеза и особенности их утилизации у растений пшеницы различной урожайности. *Автореф. дисс. на соиск. канд. биол. Наук*. Баку, 1987, 21 с.
- Aliyev J.A.** (2012) Photosynthesis, photorespiration and productivity of wheat and soybean genotypes. *Physiol. Plantarum*, **145**: 369-383.
- Blum A., Pnuel Y.** (1998) Physiological attributes associated with drought resistance of wheat cultivars in a Mediterranean environment. *Australian Journal of Agricultural Research*, **41**(5): 799-810.
- Reynolds M.P., Skovmand, B., Trethowan, R., Pfeiffer W.** (1999) Evaluating a conceptual model for drought tolerance. In: *Molecular approaches for the genetic improvement of cereals for stable production in water-limited environments* (eds. J.-M. Ribaut, D. Poland). A Strategic Planning Workshop held at CIMMYT. Mexico, El Batan, D.F. CIMMYT.

Изучение Реутилизации Озимой Мягкой Пшеницы В Богарных Условиях

А.А. Джахангиров, Х.Н.Хамидов¹, А.А. Джахангиров¹, И.М.Гусейнова²

¹Научно-исследовательский институт земледелия МСХ Азербайджанской Республики

²Институт молекулярной биологии и юиотехнологии НАН Азербайджана

Коэффициент реутилизации 21 генотипа озимой мягкой пшеницы изучали в богарных условиях в течение 2 вегетационных годов с контрастным климатом. Было установлено, что по сравнению с годом с нормальными осадками, в засушливый год коэффициент реутилизации был выше. Кроме того, более высокий показатель реутилизации у низко- и среднерослых генотипов по сравнению с высокорослыми растениями, указывает на существование отрицательной корреляции между ростом растения и коэффициентом реутилизации. Однако в год с суровой засухой такая корреляция выявлена не была.

Ключевые слова: Мягкая пшеница, состояние засухи, коэффициент реутилизации

The Study Of Reutilization Of Autumn Bread Wheat Under Rainfed Conditions

A.A. Jahangirov¹, A.A. Jahangirov¹, H.N. Hamidov¹, I.M. Huseynova²

¹*Azerbaijan Scientific-Research Institute of Agriculture, Ministry of Agriculture of the Azerbaijan Republic*

²*Institute of Molecular Biology and Biotechnology, Azerbaijan NAS*

Reutilization coefficient of 21 genotypes of autumn bread wheat has been studied under rainfed conditions during 2 vegetation years with contrasting climate. Reutilization coefficient was found to be higher in the year of drought compared to the year with normal precipitation. Reutilization coefficient of short and medium height genotypes was higher than that of tall genotypes, which indicates a negative correlation between plant height and reutilization coefficient. However, this correlation was not observed in the year with severe drought stress.

Keywords: *Bread wheat, drought condition, coefficient of reutilization*